А. И. КИЗЛЮК

СПРАВОЧНИК

ПО УСТРОЙСТВУ И РЕМОНТУ ТЕЛЕФОННЫХ АППАРАТОВ ЗАРУБЕЖНОГО И ОТЕЧЕСТВЕННОГО ПРОИЗВОДСТВА

CIC9102E
CIC9104E
CIC9145E
CIC9192BE
ET40982
ET40992
FT58C51
HD970040D
HD970018-L
HM9100A1
HM9100B
HM9102
HM9110D
HM9112A
HM9113A
HM9121
HM91660B
HM9187
HT9102F
HT9115B
KS5804
KS5805A
KS5805B
KS5C05
KS5C06
KS58C20N
KS5851
KS5853
LC7350
LC7360
LR40981A
LR40992
LR40993
M2561AB
MC145412P
MK5092N
MK50981
MK50992N
MK50993
MK5173AN
S2560A
S25610
S7210A
STC2560C
T40992
T40993
TC31006P
TP50981AN
UM91210C
UM91260C
UM9151
UM9151-3
UM91610A
UM91611
VT91611
VT9145
W9145
WE9102
WE9104
WE9110
WE9192B
КР1002ХЛ2
КР1008ВЖ1
КР1008ВЖ2
КР1008ВЖ3
КР1008ВЖ4
КР1008ВЖ5
КР1008ВЖ6
КР1008ВЖ7
КР1008ВЖ10
КР1008ВЖ11
КС1008ВЖ12
КР1008ВЖ14
КР1008ВЖ15
КР1008ВЖ16
КР1008ВЖ17
КР1008ВЖ18
КР1008ВЖ19
КР1064ВЖ5
КР1064ВЖ7
КР1083ВЖ1
КР1091ВЖ1
КР1091ВЖ2
К145ИК8П
КР1014КТ1А
КР1026УН1
КР1038ХП1
КР1064УН1
КР1064ПП1
ЭКР1436УН1
ЭКР1436ХА1
ЭКР1436ХА2

МОСКВА
1999

А. И. КИЗЛЮК

СПРАВОЧНИК

ПО УСТРОЙСТВУ И РЕМОНТУ ТЕЛЕФОННЫХ АППАРАТОВ ЗАРУБЕЖНОГО И ОТЕЧЕСТВЕННОГО ПРОИЗВОДСТВА

Третье издание
(исправленное и дополненное)

МОСКВА
АНТЕЛКОМ
1999

Все авторские права защищены. Ни одна часть настоящей публикации не может быть воспроизведена или передана в любой форме или любыми средствами, включая фотокопирование и магнитную запись, без письменного разрешения владельца авторского права. Заявку на получение такого разрешения необходимо направлять по адресу:

123481, Москва, а/я 9, Кизлюку А.И.
E-mail - a.kizluk@relcom.ru

ДМК
издательство

Издание компьютерной и радиотехнической литературы
Оптовая продажа книг большинства российских технических издательств



В книгах серии «Ремонт и обслуживание» приводятся обширные сведения по схемотехнике, конструктивным особенностям, методикам настройки и ремонта современной бытовой радиоаппаратуры (музыкальных центров, телевизоров, автомагнитол, мониторов, радиотелефонов, видеокамер) ведущих мировых производителей. Подробно рассмотрено функционирование узлов и блоков описываемых моделей. Входящие в состав книги рисунки и схемы выполнены с высоким качеством.

Издание рассчитано на специалистов в области ремонта радиоаппаратуры, разработчиков и конструкторов бытовой электронной техники, радиолюбителей и владельцев этой аппаратуры.



- *Только пользующиеся спросом книги*
- *Издательские цены*
- *Гибкая система скидок*
- *Рекомендации при подборе ассортимента*
- *Склад в центре Москвы*

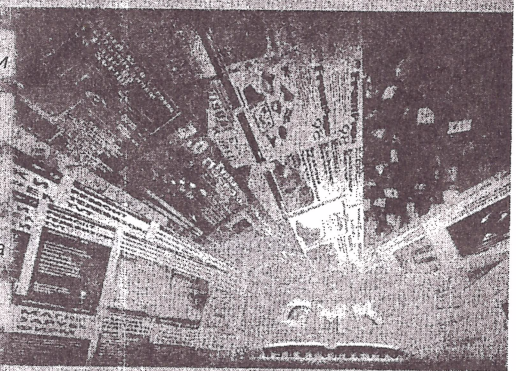

Для связи:
Тел.: *(095) 264-7536* **E-mail:** *books@dmk.ru* **Web:** *http://www.dmk.ru*

ISBN 5-89818-005-2



© А.И. Кизлюк 1998
© АНТЕЛКОМ 1998

ОГЛАВЛЕНИЕ

Введение 5

Сокращения, принятые в справочнике. 5

1. Основные понятия о работе телефонных станций и абонентских устройств 6

1.1. Коротко об отечественных телефонных сетях 6

1.2. Спаренное включение телефонных аппаратов 11

1.3. Технические характеристики и принцип работы аппаратуры АОН 13

1.4. Классификация телефонных аппаратов 16

1.5. Принципы построения кнопочных телефонных аппаратов 18

1.6. Структурные схемы кнопочных телефонных аппаратов 19

2. Разнодности и характеристики отечественных и зарубежных ИС ЭНН 23

2.1. Разновидности микросхем ЭНН 23

2.2. Принцип работы микросхем ЭНН 25

2.3. ИС ЭНН К145ИК8П 31

2.4. ИС ЭНН КР1008ВЖ2 33

2.5. Характеристики микросхем электронного набора номера 37

2.6. Назначение выводов микросхем номеронабирателей 43

2.7. Назначение кнопок клавиатуры в ТА с дополнительными функциональными возможностями 44

2.8. Порядок программирования ИС ЭНН с дополнительной памятью на 10 номеров 45

2.9. Порядок программирования ИС ЭНН с дополнительной памятью более 10 номеров 45

2.10. Порядок работы с памятью отечественной ИС КР1008ВЖ5 45

3. Разновидности и особенности схем узлов ТА 54

3.1. Вызывное устройство (ВУ) 54

3.2. Схема “отбой” 64

3.3. Схема питания ИС номеронабирателя 65

3.4. Элементы коммутации 68

3.5. Разговорный узел 71

3.6. Разговорный узел ТА с "громкой связью" 80

3.7. Микрофонный усилитель на ИС КР1026УН1 87

3.8. Микрофоны 89

4. Электрические принципиальные схемы телефонных аппаратов 93
VEF TA-D 93
VEF TA-12 95
VEF TA-32 98
VEF Rita-201, Gunta-202, Inta-203 99
ТЕЛТА-201, ТЕЛТА-204 104
ТЕЛУР-202 104
Электрические принципиальные схемы зарубежных ТА 104

5. Блокиратор параллельного телефона 122

6. Ремонт телефонных аппаратов 126
6.1. Поиск неисправностей и их устранение 126
6.2. Замена микросхемы номеронабирателя 130

7. Защита и доработка ТА 139
7.1. Защита микросхемы номеронабирателя 139
7.2. Защита импульсного ключа ТА 140
7.3. Доработка разговорного узла 141
7.4. Замена дискового номеронабирателя на кнопочный 143
7.5. Устройства для проверки микросхем и транзисторов, применяемых в телефонных аппаратах 146

8. ИС КР1008ВЖ18 и КР1008ВЖ19 149

9. Справочный материал 163
9.1. Кодовая и цветовая маркировка резисторов 163
9.2. Кодовая и цветовая маркировка конденсаторов 164
9.3. Цветовая маркировка и параметры диодов и стабилитронов 167
9.4. Параметры светодиодов 176
9.5. Цветовая и кодовая маркировка транзисторов 177
9.6. Обозначение зарубежных радиоэлементов 179
9.7. Параметры транзисторов 181
9.8. Замена зарубежных радиоэлементов 202

Литература 207

ВВЕДЕНИЕ

В настоящее время весьма популярными стали телефонные аппараты (ТА) с *тастатурным* (кнопочным) набором номера как отечественного, так и зарубежного производства. Большое количество таких аппаратов из стран Юго - Восточной Азии продаётся сейчас по доступным ценам. Но, к сожалению, оборудование отечественных телефонных станций и сетей по своим параметрам не соответствуют требованиям мировых стандартов и многих стран - производителей, а также схемотехника большинства зарубежных ТА функционально отличается от принятой в нашей стране. Это различие приводит к некачественной работе телефонных аппаратов, а нередко, и к выходу их из строя. Вместе с тем, ни объём литературы, выпускаемой до настоящего времени по данной тематике, ни полноту содержащихся в ней сведений нельзя признать удовлетворительной.

Работая над справочником, автор стремился восполнить этот пробел, особенно в части ТА зарубежного производства. Была поставлена цель провести анализ большинства схем ТА, находящихся в настоящее время в эксплуатации, обобщить и систематизировать имеющийся материал, что помогло бы обеспечить грамотное применение ТА и их ремонт. Как это удалось - судить читателю.

В справочнике приведены также данные по ряду импортных и отечественных микросхем и транзисторов, применяемых в ТА, рассмотрена возможная их взаимозаменяемость. Приведён различный справочный материал по цветовой и кодовой маркировке компонентов радиоэлектронной аппаратуры, их параметры, а также большое количество принципиальных схем телефонных аппаратов (в том числе телефонов - трубок) зарубежного и отечественного производства.

Рассмотрены вопросы ремонта и модернизации ТА, а также оригинальные способы защиты их от выхода из строя.

В справочнике уделено внимание построению ТА с частотным набором, рассмотрен принцип работы аппаратуры АОН и спаренного включения ТА.

Автор надеется, что справочник будет весьма полезен как радиолюбителям, так и ремонтным организациям.

Автор признателен Зензевееву М. А. (почётный радист СССР) за ценные замечания, сделанные им при подготовке данного издания.

Автор будет признателен читателям, сообщившим свои критические замечания и предложения, которые будут обязательно учтены в следующих изданиях справочника. Приславшие наиболее интересные материалы (схемы отечественных и зарубежных телефонных аппаратов, техническую документацию на микросхемы для телефонии, паспортные данные микрофонов и т. п.) получат бесплатно следующее издание справочника.

Отзывы и предложения направляйте по адресу:

123481 г. Москва, а/я 9. Кизлюку Анатолию.

E-mail - a.kizluk@relcom.ru

СОКРАЩЕНИЯ, ПРИНЯТЫЕ В СПРАВОЧНИКЕ

АОН - автоматический определитель номера;
АЛ - абонентская линия;
АМТС - автоматическая междугородная телефонная станция;
АРУ - автоматическая регулировка усиления;
АТСК - автоматическая телефонная станция координатная;
АТСКЭ - автоматическая телефонная станция квази - электронная;
АУ - абонентское устройство;
ВУ - вызывное устройство;
ИК - импульсный ключ;
ИС - интегральная схема;
НН - номеронабиратель;
ОЗУ - оперативное запоминающее устройство;
ОУ - операционный усилитель;
РК - разговорный ключ;
ТА - телефонный аппарат;
УНЧ - усилитель низкой частоты;
ЭАТС - электронная автоматическая телефонная станция;
ЭНН - электронный номеронабиратель.

1. ОСНОВНЫЕ ПОНЯТИЯ О РАБОТЕ ТЕЛЕФОННЫХ СТАНЦИЙ И АБОНЕНТСКИХ УСТРОЙСТВ

1.1. КОРОТКО ОБ ОТЕЧЕСТВЕННЫХ ТЕЛЕФОННЫХ СЕТЯХ

В первой главе попробуем кратко разобраться, что же такое телефонная связь и какой принцип положен в основу коммутации телефонных сетей, а также в чем заключается основное отличие отечественных телефонных аппаратов от зарубежных и каковы величины основных параметров ТА.

С 1876 года, когда Белл изобрел первый двухпроводной телефон, принцип телефонной связи практически не изменился и заключается в следующем.

Микрофон преобразует звуковые колебания в переменный ток. Этот ток передается по проводам к телефону, преобразующему его в звуковые колебания. Для обеспечения работы микрофона необходим источник питания, который и включается в цепь микрофона. Такое включение источника питания получило название "местной батареи". Для развязки цепей микрофона и телефона по постоянному току и согласования их сопротивлений необходим трансформатор. Простейшая схема ТА с местной батареей питания приведена на рис. 1.1.

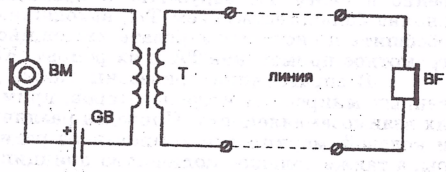

Рис. 1.1. Принцип односторонней телефонной передачи.

В настоящее время телефонные сети применяются только с центральной батареей питания микрофонных цепей ТА. Простейшая схема ТА с центральной батареей питания приведена на рис. 1.2.

Ток питания каждого микрофона проходит через дроссели L1 и L2, общие для цепей питания обоих микрофонов. Дроссели необходимы для того, чтобы не происходило замыкания переменного (разговорного) тока через центральную батарею GB, внутреннее сопротивление которой очень мало и составляет тысячные доли ома.

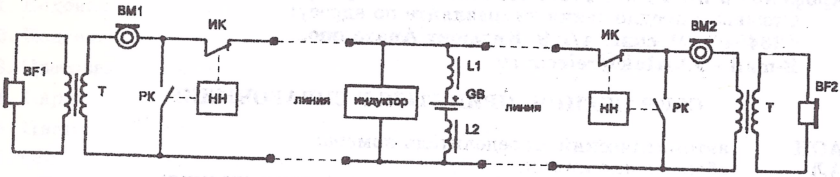

Рис. 1.2. Схема телефонной передачи с центральной батареей питания.

Дроссели L1 и L2, имея относительно небольшое сопротивление постоянному току (не более 750 Ом), обладают большой индуктивностью и их полное сопротивление переменному (разговорному) току настолько велико, что он не ответвляется в ЦБ и практически полностью замыкается через аппарат второго абонента.

На АТС в качестве дросселей часто используются двухобмоточные реле, служащие одновременно для получения сигнала о вызове станции абонентом и сигнала окончания разговора (отбоя).

Коммутация абонентов первоначально выполнялась на телефонных станциях вручную, но со временем начали применять автоматическое соединение абонентов с использованием шаговых искателей (АТС–54), координатных соединителей (АТСК), а позднее - квазиэлектронными (АТСКЭ) и электронными

(ЭАТС) схемами коммутации АТС.

Элементами автоматизации являются шаговые искатели, электромагнитные реле, многократные координатные соединители и электронные многоканальные коммутаторы с программным управлением, которые осуществляют соединение между линиями абонентов АТС. Схемы коммутации АТС управляются импульсами постоянного тока, которые создаются номеронабирателем ТА при наборе абонентом цифр номера вызываемого абонента, или двухчастотным кодом (в ЭАТС).

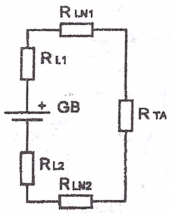

Рис. 1.3. Распределение нагрузок в АТС.

АТС осуществляет питание линии абонента постоянным напряжением 60 В (за рубежом 48 В). При снятой телефонной трубке к линии АТС в качестве нагрузки подключается микротелефонная пара трубки, в результате чего напряжение на линейных зажимах ТА падает до величины 5 ÷ 15 В в зависимости от класса ТА. Это происходит вследствие образования делителя напряжения, который состоит из сопротивления ТА - R_{TA} и сопротивлений АТС – R_{ATC} и линии (R_{LN1} и R_{LN2}). R_{ATC} включает в себя сопротивления обмоток реле R_{L1} и R_{L2} (рис. 1.3). Сопротивление линии в большинстве случаев невелико, но иногда, при длинной линии, может достигать 1000 Ом и более, и его необходимо учитывать при согласовании с ТА для компенсации потерь сигнала и максимального подавления местного эффекта (прослушивания в трубке собственного голоса). Сопротивления R_{LN1} и R_{LN2} должны быть одинаковы. Это необходимо для того, чтобы нейтрализовать действие тока линии на соседние провода, в которых могут наводиться помехи в виде постороннего разговора. Разговорный ток в прямом проводе создаёт падение напряжения с одним знаком, а в обратном проводе с противоположным знаком, и, следовательно, действия этих напряжений на соседние цепи нейтрализуются. Сопротивление центральной батареи (GB) можно не учитывать, так как его величина незначительна по сравнению с R_{ATC} и R_{TA}. R_{ATC} в зависимости от типа станции составляет для:

- АТС-54 – до 1500 Ом;
- АТСК – до 1200 Ом;
- АТСКЭ – до 700 Ом.

Электрическое сопротивление ТА постоянному току при рабочем токе 35 мА лежит в пределах 160 ÷ 600 Ом (в зависимости от класса сложности).

Электрическое сопротивление ТА постоянному току во время набора номера со стороны линейных зажимов составляет:

- при замыкании линии контактами ИК номеронабирателя ≤ 50 Ом;
- при размыкании линии контактами ИК номеронабирателя ≥ 300 кОм.

Рассмотрим простейший принцип установления соединения на АТС (рис. 1.4).

Линия абонента №1 на станции включена в абонентское реле К1, через обмотки которого осуществляется питание микрофона ВМ1 аппарата абонента, а контакты номеронабирателя (НН) - ИК (импульсный ключ) и РК (разговорный ключ) используются для управления процессом соединения.

Когда абонент №1 снимает микротелефонную трубку с рычага SB1 аппарата (рычажный переключатель переводится в верхнее положение), то замыкается цепь питания двухобмоточного реле К1 через замкнутый контакт ИК, микрофон ВМ1 и обмотку трансформатора Т. Реле К1 размыкает свой контакт К1.2 и замыкает контакт К1.1, в результате чего срабатывает реле К2. Это реле замедлено на отпускание. При отсутствии тока в течение 0,1 с якорь реле остается в притянутом состоянии.

При срабатывании реле К2 замыкается его контакт К2.2 и размыкается К2.1. Обмотка электромагнита шагового искателя К3 остаётся обесточенной, так как цепь разомкнута контактом К1.2 реле К1.

Для ТА с дисковым номеронабирателем, набор номера абонента осуществляется следующим образом: при вращении диска по часовой стрелке до пальцевого

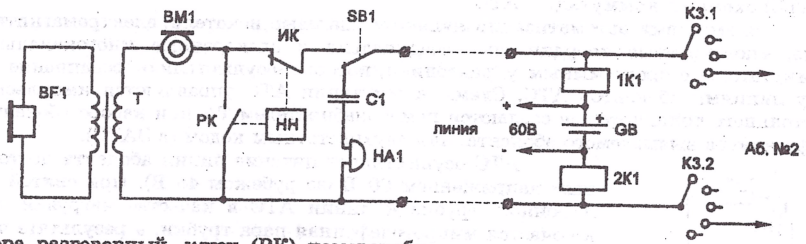

упора разговорный ключ (РК) номеронабирателя замыкает линию накоротко, а при обратном вращении импульсный ключ (ИК) размыкает линию такое количество раз, которое соответствует набранной цифре. Разговорная часть ТА, состоящая из микрофона ВМ1 и телефонного капсюля BF1 микротелефонной трубки во время вращения диска как в прямом, так и в обратном направлении, шунтируется накоротко контактом разговорного ключа (РК). После остановки диска номеронабирателя к линии вновь подключается микротелефонная пара.

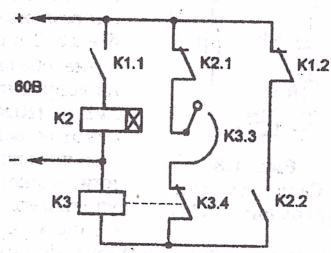

Рис. 1.4. Схема простейшей АТС.

Следовательно, при наборе абонентом номера вызываемого ТА, цепь питания обмотки реле К1 прерывается контактом ИК. В течение времени размыкания цепи (tp), контакты реле К1 возвращаются в исходное состояние. При этом создаётся цепь питания обмотки электромагнита шагового искателя К3, так как время размыкания цепи меньше времени отпускания реле К2, что приводит к перемещению контактов шагового искателя на одну позицию.

Каждое отпускание якоря реле К1 сопровождается притягиванием якоря электромагнита шагового искателя К3 и передвижением контактов К3.1 и К3.2 на один шаг.

Таким образом, при наборе, например, цифры "5", ИК НН пять раз разомкнет цепь, а, следовательно, и контакты К3.1 и К3.2 установятся на пятой позиции, соединив линию вызывающего абонента с линией вызываемого.

Когда по окончании разговора абонент положит трубку на аппарат, реле К1 обесточится и вернет контакты К1.1 и К1.2 в исходное состояние. Спустя 0.1 с реле К2 также вернется в исходное состояние, замкнув контактами К2.1 цепь питания реле К3 через сплошную ламель шагового искателя, подвижный контакт К3.3 и самопрерывающийся контакт К3.4 (цепь К2.1 - К3.3 - К3.4 предназначена для возврата шагового искателя в исходное положение по окончании разговора). При каждом притяжении якоря реле К3, контакт К3.4 размыкается, прерывая цепь пита-

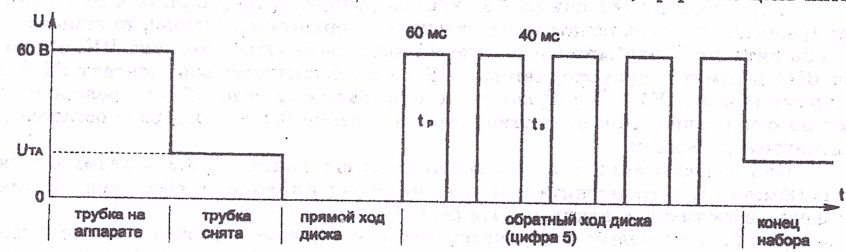

Рис. 1.5. Временная диаграмма работы дискового номеронабирателя.

ния реле К3. Последнее отпускает якорь и вновь притягивает его, так как К3.4 замыкается. Работа реле К3 продолжается до тех пор, пока подвижный контакт К3.3 не займет исходного положения и через обмотку реле К3 перестанет проходить ток.

Таким образом, если посмотреть на временную диаграмму работы номеронабирателя (рис. 1.5), то наглядно виден принцип формирования импульсной последовательности, управляющей работой АТС.

Четкость работы реле и электромагнита шагового искателя непосредственно зависит от времени размыкания контакта ИК номеронабирателя телефонного аппарата. Если время размыкания будет больше 0,1 с, то при размыкании контакта К1.2 реле К2 не сможет удержать якорь и соединения не произойдет, а АТС перейдёт в режим отбоя. При высокой частоте следования импульсов и малой их длительности электромагнит шагового искателя не успеет притянуть якорь и тогда соединения также не произойдёт.

Именно поэтому (в соответствии с ГОСТ 10710-81), к импульсным номеронабирателям ТА для обеспечения нормальной работы приборов АТС предъявляются достаточно жёсткие требования. Их временные характеристики приведены в табл. 1.1.

Табл. 1.1. Временные характеристики импульсных номеронабирателей ТА.

Характеристика	Допустимое значение	Номинальное значение
Частота создаваемых импульсов, имп./с	9 ÷ 11	10
Период повторения, мс	95 ÷ 105	100
Межсерийная пауза, мс, не менее	650 (но не более 10 с)	800
Время размыкания контактов ИК, tp, мс	53 ÷ 70	60
Время замыкания контактов ИК, ts, мс	34 ÷ 46	40
Импульсный коэффициент (отношение времени размыкания tp к времени замыкания ts контакта импульсного ключа)	1,4 ÷ 1,7	1,5

Кнопочные ТА с частотным набором номера используются при работе с электронными и квазиэлектронными АТС. Передача каждой цифры в соответствии с ГОСТ 25554-82 в частотном номеронабирателе осуществляется многочастотным кодом 2 из 8. Для этого применяются две группы частот:

- *нижняя группа частот* - **697 Гц, 770 Гц, 852 Гц, 941 Гц;**
- *верхняя группа частот* - **1209 Гц, 1336 Гц, 1477 Гц, 1633 Гц.**

Этот код обеспечивает 16 комбинаций сигнальных частот, 10 из которых используются для набора номера. Кнопки # и * используются при наборе кодов дополнительных видов обслуживания. Кнопки A, B, C и D применяются в расширенной клавиатуре. Длительность двухчастотной посылки должна быть не менее 40 мс, паузы - не менее 25 мс. Стабильность частот - не хуже ± 1,5 %.

Комбинации сигналов и соответствие частот каждой кнопке приведены в табл. 1.2.

Табл. 1.2. Многочастотный телефонный код.

Частота	1209 Гц	1336 Гц	1477 Гц	1633 Гц
697 Гц	1	2	3	A
770 Гц	4	5	6	B
852 Гц	7	8	9	C
941 Гц	*	0	#	D

Кроме сигналов набора номера от абонентского устройства (АУ) к АТС поступают сигналы, характеристики которых приведены в табл. 1.3. Все эти сигналы являются основными, т. е. обеспечивают взаимодействие АУ с АТС.

Табл. 1.3. Характеристики основных сигналов, поступающих от АУ к АТС.

Наименование сигнала	Характеристика сигнала
Вызов станции (*"поднятие трубки" при исходящем вызове*).	Непрерывное замыкание шлейфа абонентской линии (АЛ) на время ≥250 мс.
Ответ (*"поднятие трубки" при входящем вызове*).	Замыкание шлейфа АЛ на время ≥500 мс.
Отбой.	Размыкание шлейфа АЛ на время ≥400 мс (на время ≥800 мс, если используется дополнительный сигнал "нормированный разрыв шлейфа" (R).

На некоторых зарубежных ТА можно увидеть кнопку **"R"**. Эта кнопка предназначена для заказа дополнительных услуг в ЭАТС и формирует размыкание шлейфа абонентской линии на время 80 ± 40 мс.

Абоненты с АТС получают следующие виды сигналов:

- **ответ станции** - непрерывный гудок, который слышит абонент после снятия телефонной трубки;
- **посылка вызова** - сигнал вызова абонента;
- **контроль посылки вызова** - сигнал, предназначенный для информирования абонента о посылке вызова;
- **занято** - поступает при занятости абонентской линии вызываемого абонента;
- **занято — перегрузка** - поступает при занятости соединительных (межстанционных) линий или коммутационного оборудования.

Характеристики этих сигналов приведены в табл. 1.4.

Табл. 1.4. Характеристики основных сигналов, поступающих от АТС к АУ.

Наименование сигнала	Длительность, с		Уровень или напряжение	Частота, Гц
	Импульс	Пауза		
Ответ станции	Непрерывная передача		от -5 до -30 дБ	425 ± 25
Посылка вызова	0,8 ± 0,1 или 1,0 ± 0,1	3,2 ± 0,1 или 4,0 ± 0,1	16...110 В	16...50
Контроль посылки вызова	0,8 ± 0,1 или 1,0 ± 0,1	3,2 ± 0,1 или 4,0 ± 0,1	от -5 до -30 дБ	425 ± 25
Занято	от 0,3 до 0,4	от 0,3 до 0,4	от -5 до -30 дБ	425 ± 25
Занято - перегрузка	от 0,15 до 0,2	от 0,15 до 0,2	от -5 до -30 дБ	425 ± 25

В фазе "исходное состояние" входное сопротивление абонентского устройства сигналу вызывного тока должно быть не менее 2,5 кОм на частоте 25 Гц (номинальная частота посылки вызова).

Кроме основных сигналов в АТС применяются также следующие дополнительные сигналы:

- **указательный** - указывает на невозможность установления соединения или предоставления услуги, передаётся также перед механическим голосом;

- **предупреждение** - предупреждение о записи на магнитофон;
- **вмешательство** - информация о подключении оператора или третьего абонента;
- **уведомление** - информация о поступлении нового вызова;
- **предупреждение об окончании оплаченного интервала времени** - поступает в таксофон за 20 с до окончания оплаченного интервала времени;
- **неполный состав участников или отключение участника** - используется при проведении конференц - связи.

Характеристики этих сигналов приведены в табл. 1.5.

Табл. 1.5. Характеристики дополнительных сигналов, поступающих от АТС к АУ.

Наименование сигнала	Длительность, с		Уровень или напряжение	Частота, Гц
	Импульс	Пауза		
Указательный (*частоты чередуются в указанном порядке*)	0,33 ± 0,07 0,33 ± 0,07 0,33 ± 0,07	0,03 ± 0,003 0,03 ± 0,003 1,0 ± 0,25	-5 ... -30 дБ -5 ... -30 дБ -5 ... -30 дБ	950 ± 50 1400 ± 50 1800 ± 50
Предупреждение	0,4 ± 0,04	15 ± 3	-10 ... -35 дБ	425 ± 25
Вмешательство (*паузы чередуются в указанном порядке*)	0,25 ± 0,025	0,25 ± 0,025 1,25 ± 0,3	-10 ... -35 дБ	425 ± 25
Уведомление	0,25 ± 0,025	5,525 ± 0,8	-10 ... -35 дБ	425 ± 25
Предупреждение об окончании оплаченного интервала времени	0,4 ± 0,04	5,525 ± 0,8	-10 ... -35 дБ	1400 ± 20
Неполный состав участников или отключение участника	от 0,3 до 1	Посылается одиночный импульс	-10 ... -35 дБ	425 ± 25

1.2. СПАРЕННОЕ ВКЛЮЧЕНИЕ ТЕЛЕФОННЫХ АППАРАТОВ

Включение двух абонентов с разными абонентскими номерами к одной линии АТС называют спаренным включением ТА. Как правило, номера абонентов отличаются только последней или предпоследней цифрой номера. Особенность такого включения состоит в том, что при разговоре одного из абонентов аппарат другого абонента автоматически отключается. Вызов со стороны АТС поступает только на тот аппарат, номер которого был набран.

Для спаренного включения ТА на АТС применяются станционные устройства спаривания телефонов, а у абонентов устанавливаются приставки диодного разделения цепей, которые устанавливаются вместо розеток.

Принцип работы аппаратуры спаренного включения ТА показан на рис. 1.6. Станционное устройство спаривания телефонов производит постоянный опрос абонентов путём изменения полярности линии с частотой 0,5 ÷ 1,0 Гц (т.е. время опроса каждого ТА составляет 0,5 ÷ 1,0 с). Работа приставки диодного разделения основана на обеспечении питанием ТА, занявшего абонентскую линию, и блокированием цепи питания другого ТА, паралельно включенного через блокиратор. Это достигается включением в линейные цепи аппаратов блокировочных диодов так, чтобы диоды одного ТА были направлены навстречу диодам другого аппарата. Поэтому напряжение подаётся на каждый аппарат по очереди. Абонент, который первым снимет трубку, занимает линию. При этом на АТС станционное устройство спаривания устанавливает ту полярность, которая обеспечивает питание занявшего линию ТА.

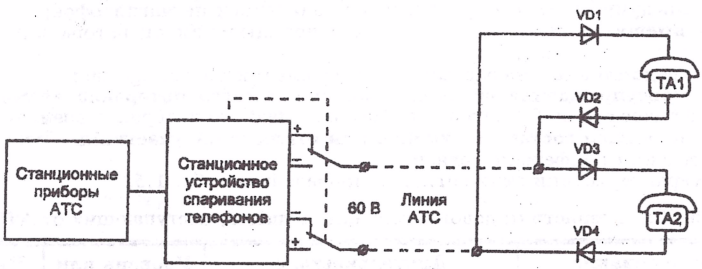

Рис. 1.6. Схема подключения спаренных телефонов.

В спаренных телефонах переменное напряжение вызывного сигнала подаётся не относительно нулевого потенциала, а относительно полярности напряжения питания вызываемого ТА. Следовательно амплитудное значение вызывного сигнала не должно превышать 60 В, иначе напряжение вызывного сигнала одного ТА будет поступать на другой.

Сигналы переменного тока (разговорного или вызывного) пропускаются диодами только того из двух ТА, с которого поступает или к которому направляется вызов. Этим обеспечивается избирательность вызова и исключается возможность подслушивания.

При посылке вызова абоненту с АТС, в зависимости от полярности на проводах общей абонентской линии, открываются диоды в одном из аппаратов и работает звонок данного аппарата. Для разряда конденсатора в цепи звонка (конденсатор не может разрядится через станционные устройства АТС из-за включенных диодов) приставки диодного разделения снабжены разрядной цепью.

На рис. 1.7 представлены схемы приставок диодного разделения цепей. В

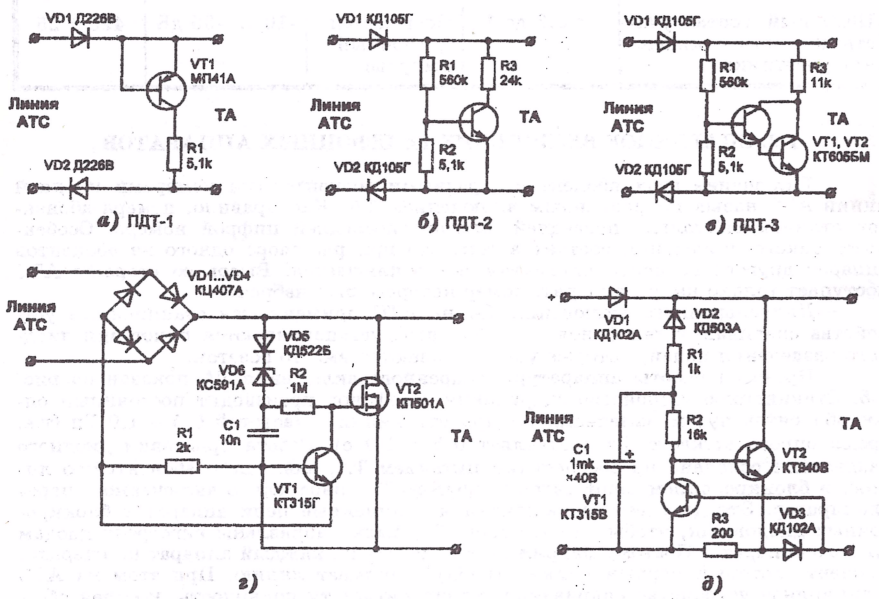

Рис. 1.7. Схемы приставок диодного разделения цепей (*а*, *б*, *в*) и адаптеров с улучшенной разрядной цепью (*г*, *д*).

приставке ПДТ–1 (рис. 1.7,*а*) транзистор VT1 с закороченными выводами "эмиттер - база" работает в режиме лавинного пробоя. При указанном на рис. 1.7,*а* включении он обеспечивает напряжение пробоя 65 ÷ 110 В. В качестве порогового элемента в приставке ПДТ–2 (рис. 1.7,*б*) использован транзистор VT1 и в ПДТ–3 (рис. 1.7,*в*) VT1, VT2, соединённые по схеме составного транзистора. Транзисторы КТ605БМ для приставки ПДТ-2 должны отбраковываться по статическому коэффициенту передачи тока (не менее 50).

Эти приставки рассчитаны для подключения ТА с электромеханическими звонками и, как правило, не обеспечивают достаточный разряд разделительного конденсатора в цепи вызывного устройства. В электронных ТА заряженный конденсатор создаёт дополнительное сопротивление в цепи вызывного устройства, что может привести к несрабатыванию вызывного устройства. В схемах на рис. 1.7,*г*,*д* в момент изменения полярности переменного тока вызывного сигнала транзисторы VT2 замыкают линию накоротко и разделительный конденсатор полностью разряжается. Использование адаптеров позволяет включать в спаренную телефонную линию автоответчики, радиотелефоны, факсы, модемы.

Применение блокираторов было вызвано нехваткой абонентских линий и позволяло подключить к АТС дополнительные номера. В настоящее время применение блокираторов не рекомендуется из-за усложнения аппаратуры АТС и присущих им недостатков:

- отсутствует возможность связи между спаренными телефонами;
- невозможность пользоваться телефонной связью при занятости линии другим абонентом;
- так как при занятии линии абонентом спаренного ТА напряжение на клеммах подключения другого аппарата пропадает, то в тех кнопочных ТА, где отсутствует дополнительное питание микросхемы номеронабирателя, возможна потеря номеров, находящихся в ОЗУ микросхемы;
- поскольку в спаренных телефонных линиях используется пониженный уровень вызывного сигнала и диоды разделения цепей ТА препятствуют разряду разделительного конденсатора в цепи вызывного устройства через станционные устройства АТС, то вызывные устройства некоторых зарубежных ТА, в которых схема рассчитана на номинальное напряжение вызывного сигнала, при спаренном включении ТА могут не работать.
- в тех ТА, в которых применяется жидкокристаллический индикатор и осуществляется его питание от линии, яркость индикатора изменяется с частотой переключения блокиратора;
- если поменять местами клеммы подключения к линии приставки диодного разделения цепей, то можно подключиться параллельно телефону другого абонента.

1.3. ТЕХНИЧЕСКИЕ ХАРАКТЕРИСТИКИ И ПРИНЦИП РАБОТЫ АППАРАТУРЫ АОН

Аппаратура АОН предназначена для *автоматического определения номера* телефона вызывающего абонента. Сведения о номере телефона вызывающего абонента необходимы для выписки счёта на оплату междугородного разговора. Аппаратура АОН кроме автоматической выдачи номера вызывающего абонента позволяет осуществить выдачу номера категории, присвоенного тому или иному абоненту.

Существует десять видов категорий:

Табл. 1.6. Категории абонентов АТС.

Категория	Характеристика
1	Абоненты квартирные, учрежденческие, имеющие право междугородной и международной связи;
2	Абоненты гостиниц, имеющие право на те же виды связи (эта категория абонентов выделена, поскольку в этом случае счёт должен быть выслан немедленно);
3	Абоненты, не имеющие права выхода на междугородные и международные сети (например, общежития);
4	Абоненты, имеющие преимущество при установлении связи (приоритет);
5	Абоненты, имеющие право связи без тарификации;
6	Категория междугородных телефонов - автоматов;

Категория	Характеристика
7	Абоненты, имеющие право кроме связи с междугородными и международными сетями получать дополнительные платные услуги;
8	Абоненты, имеющие преимущество при установлении связи в междугородных сетях и право на платные услуги;
9	Категория городских телефонов - автоматов;
0	Резерв.

Выдача номера и категории телефона вызывающего абонента осуществляется многочастотным *беспаузным* способом "два из шести". Для этой цели используются частоты **700, 900, 1100, 1300, 1500** и **1700** Гц. Действующее значение сигнала - 0,33 В. Всего применяется 12 комбинаций частот.

Код "два из шести" для АОН приведён в табл. 1.7.

Табл. 1.7. Код "два из щести" для АОН.

Значение кодовой комбинации	Комбинация передаваемых частот, Гц
1	700, 900
2	700, 1100
3	900, 1100
4	700, 1300
5	900, 1300
6	1100, 1300
7	700, 1500
8	900, 1500
9	1100, 1500
0	1300, 1500
"Начало"	1100, 1700
"Повтор"	1300, 1700

"Начало" - обозначает начало или окончание пакета двухчастотных посылок.

"Повтор" - применяется в случае, когда в номере вызывающего абонента подряд следуют одинаковые цифры. При беспаузном способе передачи информации отличить такие комбинации друг от друга невозможно.

Длительность каждой двухчастотной посылки - 40 ± 2 мс. Информация о категории и номере вызывающего абонента содержит 10 двухчастотных посылок.

Порядок выдачи цифр номера вызывающего абонента передающим устройством АОН и пример номера 495-27-74 категории 1 приведены в табл. 1.8.

Табл. 1.8. Порядок выдачи цифр номера передающим устройством АОН.

№ *п/п*	Порядок выдачи цифр номера передающим устройством АОН	Пример	
		категория и номер	частотный код
1.	"Начало"		1100, 1700
2.	Цифра категории	1	700, 900
3.	Цифра единиц номера	4	700, 1300
4.	Цифра десятков номера	7	700, 1500
5.	Цифра сотен номера	7	1300, 1700
6.	Цифра тысяч номера	2	700, 1100
7.	Третья цифра индекса станции	5	900, 1300
8.	Вторая цифра индекса станции	9	1100, 1500
9.	Первая цифра индекса станции	4	700, 1300
10.	"Начало"		1100, 1700

Аппаратура АОН состоит из передающих и приёмных устройств. Передающие устройства устанавливаются на районных АТС, приёмные на автоматической междугородной станции (АМТС). Приёмным устройством также может служить ТА местной связи с АОН. Структурная схема включения аппаратуры АОН в АТС приведена на рис. 1.8.

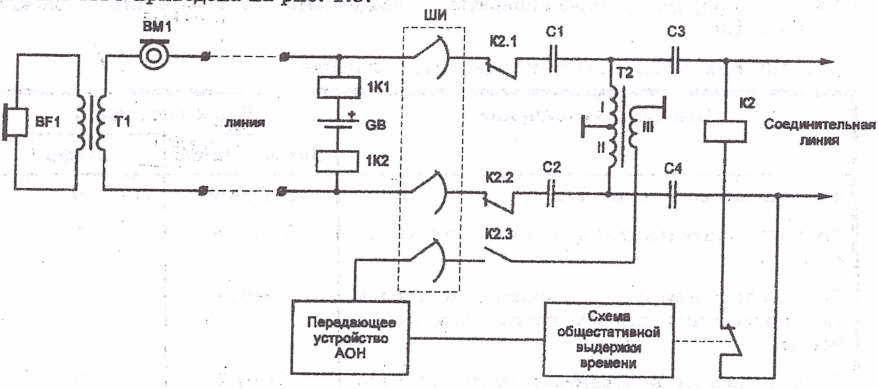

Рис. 1.8. Подключение аппаратуры АОН к АТС.

После набора номера вызываемого абонента и занятия приёмного устройства на АМТС (или ответа ТА местной связи), срабатывает реле определения номера К2 на время 400 мс. При этом замыкается контакт К2.3 и подключается передающее устройство АОН. Абонентская линия отключается контактами К2.1 и К2.2. Это необходимо для того, чтобы сигналы, появляющиеся на выходе микрофона в телефоне вызывающего абонента не влияли на передачу информации. Если за это время (400 мс) по соединительной линии от приёмного устройства поступит синусоидальный сигнал запроса частотой 500 Гц ± 1% с уровнем 4,3 дБ и длительностью 100 мс, то *схема общестативной выдержки времени* продлевает время удержания реле К2 ещё на 500 мс для передачи информации о категории и номере телефона вызывающего абонента.

Переменный ток сигнала запроса индуктируется в обмотку III трансформатора Т2 и через абонентский комплект поступает в передающее устройство АОН. Последнее, получив частотный запрос, начинает выдачу информации. Информация из передающего устройства АОН передаётся в обмотку III трансформатора, индуктируется в обмотки I и II и передаётся по соединительной линии на АМТС. Приёмные устройства на АМТС преобразуют частотные комбинации в числовой код и запоминают поступивший номер.

После получения сведений о номере и категории вызывающего абонента на АМТС начинается установление соединения к абоненту другого города.

Для повышения надёжности определения номера и категории телефона вызывающего абонента в системе АОН принят трёхкратный запуск передающих устройств. Так, если при первом запуске АОН на приёмном конце номер не определился, (по каким либо причинам информация АОН не была принята), то приёмные устройства кратковременно освобождаются (без нарушения соединения) и вновь посылают сигнал запроса для запуска передающих устройств. Если и при этом информация не будет принята, то формируется третий сигнал запроса. В случае отсутствия определения номера и после третьего запуска выход на АМТС прерывается.

Передающее устройство АОН будет работать аналогично, если сигнал запроса будет передаваться не с приёмного устройства АМТС, а с местного телефона с АОН.

1.4. КЛАССИФИКАЦИЯ ТЕЛЕФОННЫХ АППАРАТОВ И ИХ ОСНОВНЫЕ ПАРАМЕТРЫ

В зависимости от конструктивного исполнения и выполняемых функций (ГОСТ 7153-85) телефонные аппараты подразделяются на четыре класса сложности (табл. 1.9).

Табл. 1.9. Классы сложности телефонных аппаратов.

Основное исполнение	Класс сложности	
	Наименование	Шифр
Многофункциональные ТА.	Высший	0
ТА с дополнительными функциями и возможностями.	Первый	1
ТА с кнопочным номеронабирателем, тональным приёмником вызова, неугольным микрофоном.	Второй	2
ТА с дисковым номеронабирателем, электромеханическим приёмником вызова, угольным микрофоном.	Третий	3

Параметры, характеризующие качество телефонных аппаратов, можно разделить на электрические, телефонометрические, электроакустические и временные.

Основные электрические параметры ТА различных классов приведены в табл. 1.10.

Временные параметры набора для ТА с импульсным способом передачи сигналов набора номера приведены в табл. 1.11.

Телефонометрические и электроакустические параметры характеризуют качество телефонной передачи по громкости. Для их оценки используется эквивалент затухания передачи, приёма и местного эффекта, а также коэффициент гармоник на передачу и на приём. Поскольку для измерения и объективной оценки этих параметров требуется специальное оборудование, имеющееся лишь в специализированных лабораториях, эти данные в настоящем издании не приводятся.

Табл. 1.10. Основные электрические параметры ТА.

Параметр	Норма по классам сложности			
	0	1	2	3
Напряжение собственного шума, мВ, не более	0,5	0,5	0,5	0,4
Модуль входного электрического сопротивления в режиме:				
- разговорном, Ом	450 ÷ 800	450 ÷ 800	–	–
- ожидания вызова, кОм, не менее	10	10	–	–
- вызова, кОм, не менее	4	4	–	–

Параметр	Норма по классам сложности			
	0	1	2	3
Электрическое сопротивление постоянному току, Ом, в разговорном режиме при токе 35 мА в положении микротелефонной трубки:				
- вертикальном	160 ÷ 400	160 ÷ 400	160 ÷ 400	≤320
- горизонтальном	160 ÷ 400	160 ÷ 400	160 ÷ 400	≤600
Электрическое сопротивление постоянному току в режиме набора номера для ТА с импульсным способом передачи набора номера при токе питания 35 мА:				
- при замыкании шлейфа, Ом, не более	150	150	50	–
- при размыкании шлейфа, кОм, не менее	300	300	300	–
Постоянный ток, потребляемый ТА в режимах ожидания вызова и отбоя, мА, не более	1,0	0,5	0,5	–
Переменный ток, потребляемый приёмником вызывного сигнала при максимальной громкости вызывного сигнала, мА, не более	8,0	8,0	8,0	8,0
Время разрыва шлейфа для ТА, содержащих устройство нормированного разрыва шлейфа, мс	80 ± 40	80 ± 40	–	–
Значность программируемого набора номера, не менее	8	8	8	–

Табл. 1.11. Временные параметры набора номера для ТА с импульсным способом передачи сигналов набора номера.

Параметр	Норма по классам сложности			
	0	1	2	3
Период импульса в серии (Т), мс	100 ± 5	100 ± 5	100 ± 5	100 ± 10
Импульсный коэффициент	1,4 ÷ 1,6	1,4 ÷ 1,6	1,4 ÷ 1,6	1,4 ÷ 1,7
Пауза между двумя сериями импульсов, с, не менее	4Т ÷ 10Т	4Т ÷ 10Т	4Т ÷ 10Т	≥800
Программируемая пауза между двумя сериями импульсов, с, не менее	2	2	2	–

1.5. ПРИНЦИПЫ ПОСТРОЕНИЯ КНОПОЧНЫХ ТЕЛЕФОННЫХ АППАРАТОВ

В кнопочных ТА функцию механических контактов номеронабирателя выполняют электронные ключи. Их подключение несколько отличается от принятого в дисковом номеронабирателе. Рассмотрим его работу по упрощенной структурной схеме кнопочного ТА отечественного производства (рис. 1.9).

С момента нажатия кнопки на наборном поле ТА и до окончания набора, РК отключает разговорную часть. Одновременно ИК замыкает линию накоротко и размыкает ее количество раз, равное цифре набора. Таким образом, диаграмма работы кнопочного НН (рис. 1.10) получается аналогичной диаграмме работы дискового с той лишь разницей, что паузы между импульсами набора и межсерийные паузы при использовании кнопочного НН нормированы и близки к оптимальным. Это повышает стабильность работы АТС и уменьшает время соединения.

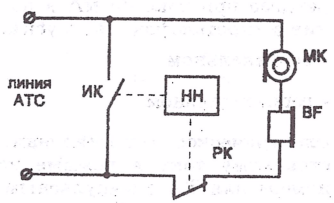

Рис. 1.9. Включение НН в кнопочных ТА отечественного производства.

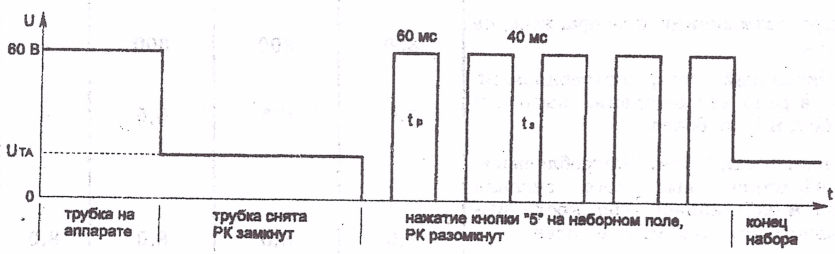

Рис. 1.10. Временная диаграмма работы номеронабирателя в кнопочных ТА отечественного производства.

В импортных ТА ИК включается последовательно с нагрузкой, в качестве которой может быть использована разговорная часть ТА (рис. 1.11,а), или в ТА более высокого класса - резистор сопротивлением 130 ÷ 150 Ом (рис. 1.11,б). В первом случае ИК коммутирует разговорную часть, во втором - разговорная часть на время набора отключается, а нагрузкой ИК является резистор Rн. Часто в зарубежных ТА для устранения щелчков во время набора номера применяется схема блокировки входов микрофонного и телефонного усилителей.

Диаграмма работы этих ТА одна и та же и представлена на рис. 1.12.

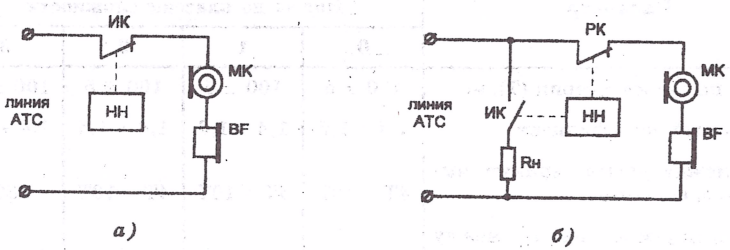

Рис. 1.11. Подключение НН в кнопочных ТА зарубежного производства.

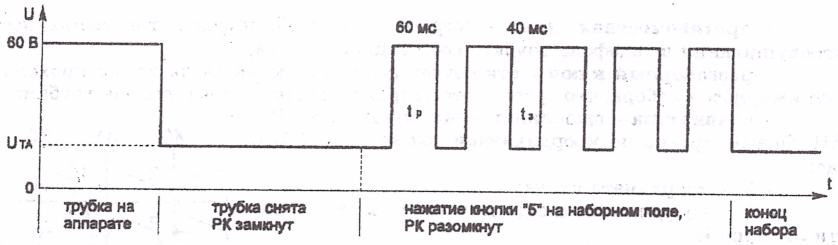

Рис. 1.12. Временная диаграмма работы номеронабирателя в кнопочных ТА зарубежного производства.

Повышенное сопротивление ИК в замкнутом состоянии может иногда приводить к сбоям в работе и неправильному соединению при использовании ТА на линиях связи отечественных АТС.

Таким образом, отличие всех вариантов заключается лишь в различии схемотехники НН, управляющих работой ИК, и в особенностях коммутации линии АТС.

1.6. СТРУКТУРНЫЕ СХЕМЫ КНОПОЧНЫХ ТЕЛЕФОННЫХ АППАРАТОВ

Структурные схемы кнопочных телефонных аппаратов приведены на рис. 1.14 + 1.16. Всем им присущи следующие основные узлы:

- **вызывное устройство (ВУ)** - предназначено для приема сигнала индуктора (вызова абонента АТС) и преобразования его в звуковые колебания;
- **диодный мост** - исключает влияние полярности напряжения линии на полярность включения ТА;
- **схема "отбой"** - осуществляет начальную установку ИС ЭНН;
- **микропереключатель** - отключает питание схемы ТА при уложенной на рычаг трубке;
- **времязадающие элементы генератора** определяют частоту внутреннего тактового генератора, от которой зависят все временные параметры сигналов вырабатываемых ИС ЭНН (частота набора, длительность импульсов и межсерийной паузы и т.п.);
- **схема питания микросхемы НН** - обеспечивает питание микросхемы во время набора номера и поддержку питания ОЗУ при уложенной на рычаг трубки;
- **микросхема номеронабирателя (ИС НН)** - изготавливается по КМОП - технологии и выполняет следующие функции:
  - опроса клавиатуры;
  - формирования сигналов набора номера, управляющих работой импульсного ключа;
  - формирования сигнала отключения разговорной части во время набора номера, управляющего работой разговорного ключа;
  - запоминания последнего или нескольких набираемых номеров;
- **импульсный ключ** - формирует импульсы набора в линию;
- **Rн** - резистор нагрузки линии, исключающий ее замыкание накоротко во время формирования импульсов набора;
- **телефонный усилитель** - усиливает речевой сигнал до уровня нормальной слышимости и согласует сопротивление линии с сопротивлением звукоизлучающего элемента;
- **микрофонный усилитель** - усиливает сигнал микрофона. В схеме рис. 1.15 сигнал микрофона, через разделительный конденсатор С, подается на вход ИК, работающего во время разговора в режиме усилителя тока;

- **противоместная схема** - устраняет местный эффект, т.е. возможность прослушивания в телефоне трубки собственного голоса;

- **разговорный ключ** - отключает разговорную часть на время прохождения импульсов набора, что устраняет неприятные щелчки в телефоне трубки;

- **клавиатура** - выполняет функцию датчика ИС НН. Она построена по координатной схеме (рис. 1.13), где:

- X - координата входа;

- Y - координата выхода или входа в зависимости от типа ИС.

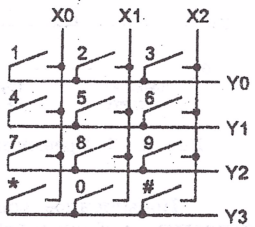

Рис. 1.13. Подключение стандартной клавиатуры к ИС НН.

Рассмотрим принцип работы ТА по структурным схемам. Структурная схема, по которой строятся ТА отечественного производства приведена на рис. 1.14.

При снятии трубки, рычажный переключатель SB подключает ТА к линии АТС. В результате образования делителя (см. рис. 1.3), напряжение на линейных зажимах снижается до величины 5 + 15 В. При этом **схема "отбой"**, вследствие подачи напряжения в схему, осуществляет начальную установку ИС НН (режим готовности к набору номера).

В режиме готовности к набору номера ИС НН вырабатывает сигналы управления ИК и РК, вследствие которых разговорный узел, состоящий из **микрофонного и телефонного усилителей** и **противоместной схемы**, посредством **разговорного ключа** подключается к линии и в трубке прослушивается ответ станции (гудок). ИК - находится в разомкнутом (закрытом) состоянии.

При нажатии кнопок **клавиатуры**, ИС НН формирует последовательности импульсов, управляющих работой ИК и РК. ИК замыкает линию накоротко и размыкает ее, формируя посылки постоянного тока управляющие работой АТС. РК отключает разговорный узел от общего провода на время следования посылок набора номера, что устраняет неприятные щелчки в телефоне трубки при наборе номера.

По окончании набора РК вновь подключает разговорный узел и в трубке слышны тональные посылки АТС, свидетельствующие об окончании процесса соединения и поступлении на линию вызываемого абонента посылок вызывного сигнала. При снятии абонентом трубки, Вы слышите его голос.

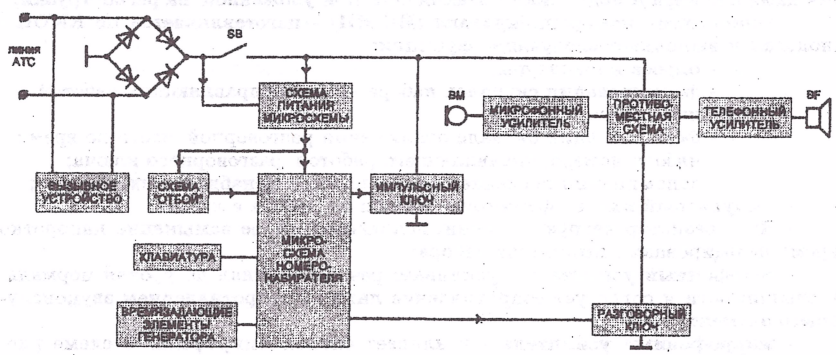

Рис. 1.14. Структурная схема кнопочного ТА отечественного производства.

По окончании разговора трубка укладывается на рычаг. Рычажный переключатель SB размыкает цепь и схема ТА переходит в дежурный режим. В дежурном режиме **схема питания микросхемы** обеспечивает подпитку ОЗУ ИС НН, в котором хранится последний набранный номер, **схема "отбой"** запрещает набор номера с клавиатуры с целью сохранения последнего набранного номера, а вызывное устройство готово к приему сигналов вызова АТС.

При поступлении сигнала вызова от АТС, **вызывное устройство** вырабатывает звуковые сигналы информирующие о вызове другим абонентом. До снятия трубки схема ТА находится в дежурном режиме. При снятии трубки ИС устанавливается в исходное состояние с той лишь разницей, что вместо ответа станции (гудка), Вы слышите голос вызывающего вас абонента.

При кратковременном нажатии на рычажный переключатель, или нажатии кнопки *"отбой"* на наборном поле **клавиатуры**, посредством **схемы "отбой"** ТА переводится в исходное состояние.

Структурная схема ТА зарубежного производства, использующего в качестве нагрузки разговорный узел, приведена на рис. 1.15.

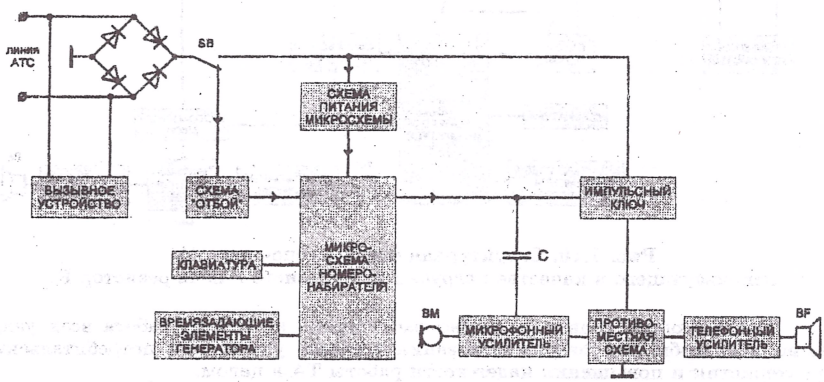

Рис. 1.15. Структурная схема кнопочного ТА зарубежного производства, использующего в качестве нагрузки разговорный узел.

Работа этой схемы несколько отличается от предыдущей. При снятии трубки переключатель SB переходит в верхнее по схеме положение. В результате этого **схема "отбой"** подключает к общему проводу соответствующий вход ИС НН, осуществляя установку последней в исходное состояние при подаче напряжения на **схему питания** ИС. В исходном состоянии, через замкнутый (открытый) ИК, к линии АТС подключается разговорный узел и в трубке слышен ответ станции.

При наборе номера ИК отключает от линии разговорный узел и подключает его вновь, формируя тем самым импульсы набора управляющие работой АТС.

По окончании набора номера ИК остается в замкнутом состоянии. Разговорный узел подключен к линии и в трубке тональные посылки АТС, свидетельствующие об окончании процесса соединения.

Во время разговора ИК выполняет функцию усилителя тока сигнала микрофона.

По окончании разговора, уложенная на рычаг трубка переводит переключатель SB в нижнее по схеме положение, снимая напряжение питания с ИС ЭНН и подключая **схему "отбой"**, которая в этом режиме запрещает набор номера и

обеспечивает подпитку ОЗУ ИС.

При поступлении сигнала вызова ВУ работает так же, как и в предыдущей схеме. При снятии трубки осуществляется начальная установка ИС, в результате чего через открытый ИК разговорный узел подключается к линии и Вы слышите голос вызывающего Вас абонента.

Структурная схема зарубежных ТА. использующих в качестве нагрузки АТС, при наборе номера, резистор R (рис. 1.16), работает аналогично схеме приведенной на рис. 1.14. Отличие состоит в том, что ИК, при наборе номера, не закорачивает линию, а замыкает ее на резистор. Разговорный ключ, в этой схеме, отключает разговорный узел от линии, а не от корпусной шины.

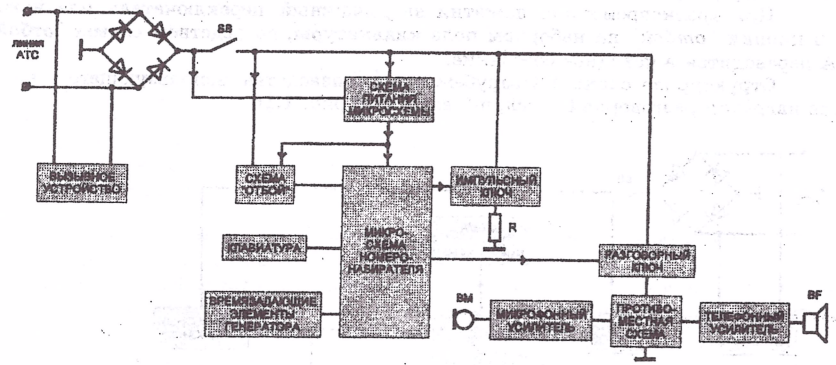

Рис. 1.16. Структурная схема кнопочного ТА, использующего в качестве нагрузки импульсного ключа резистор R.

В следующих главах подробно рассмотрена не только работа всех узлов ТА, но и способы их совершенствования с целью улучшения потребительских характеристик и повышения надежности работы ТА в целом.

2. РАЗНОВИДНОСТИ И ХАРАКТЕРИСТИКИ ОТЕЧЕСТВЕННЫХ И ЗАРУБЕЖНЫХ ИС ЭНН

Сравнивая структурные схемы ТА (рис. 1.14, 1.15, 1.16), нетрудно заметить, что всем микросхемам ЭНН присущи следующие основные входы и выходы:

- подключения клавиатуры;
- подключения времязадающих элементов генератора;
- вход схемы "отбой";
- вход питания микросхемы;
- выход "импульсный ключ";
- выход "разговорный ключ".

В микросхемах номеронабирателей выход импульсного и разговорного ключа может быть либо *"логический"*, либо с *"открытым стоком"*.

Выход с *"открытым стоком"* выполнен на n-канальном полевом транзисторе с изолированным затвором (рис. 2.1,*а*). Подключение выхода с *"открытым стоком"* показано на рис. 2.1,*б*. Сопротивление резистора Rн, как правило, составляет от 220 до 680 кОм. Когда ключ микросхемы открыт, он подключает ИК схемы на корпус и закрывает его, в результате чего линия размыкается (на линии 60 В). Если ключ микросхемы закрыт, напряжение с линии через резистор Rн открывает ИК схемы, который подключает разговорный узел и напряжение в линии падает до 5 ÷ 15 В. Напряжение пробоя такого транзистора не превышает 30 В. Поэтому, если не предпринять дополнительных мер защиты (подробно описано в разделе 6.2), то при определённых условиях выход ИК или РК микросхемы может быть пробит.

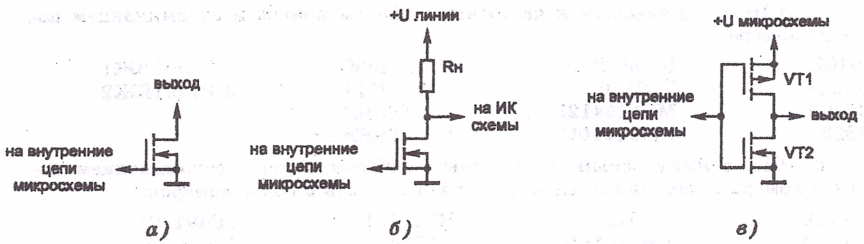

а) *б)* *в)*

Рис. 2.1. Выходы импульсного и разговорного ключей ИС ЭНН.

"Логический" выход микросхемы представляет собой КМОП - инвертор и является основной структурой всего семейства логических схем КМОП (рис. 2.1,*в*). Выход микросхемы подключает управляющий вход ИК схемы ТА либо на корпус, (через открытый транзистор VT2), либо к плюсу питания микросхемы (через открытый транзистор VT1).

В зависимости от типа выхода ИК микросхемы, к нему подключают импульсные ключи ТА, выполненные по различным схемам (они подробно рассмотрены в разделе 3.4). Следует иметь ввиду, что *все* ключи в схемах ТА закрыты при подаче на управляющий вход *"низкого"* уровня и открыты при *"высоком"*.

2.1. РАЗНОВИДНОСТИ МИКРОСХЕМ ЭНН

Микросхемы ЭНН по своим возможностям и схемотехническим особенностям можно разделить на семь основных групп:

1. ЭНН с открытым стоком выхода ИК, открытым стоком выхода РК и запоминанием последнего номера:

CIC9192BE	KS5805A	LR40993	TR50981AN
ET40982	KS5805B	MK50581	WE9192B
ET40992	KS58C05	MK50992N	ВЦ1000А
FT58C51	KS58D05	MK50993	КР1008ВЖ10
HM9100A1	KS5851	MK5173AN	КР1008ВЖ11
HM9100B	KS5853	T40992	КС1008ВЖ12
HD970040D	LR40981A	T40993	КР1008ВЖ14
KS5804	LR40992	TC31006P	КР1008ВЖ15

2. ЭНН с открытым стоком выхода ИК, логическим выходом РК и запоминанием последнего номера:

CIC9102E	UM9151	WE9102	FT9151-3
CIC9104E	UM9151-3	WE9104	КР1008ВЖ17

3. ЭНН с логическим выходом ИК, логическим выходом РК и запоминанием последнего номера:

КР1002ХЛ2	КР1008ВЖ1	КР1008ВЖ7
КР1083ВЖ3	КР1089ВЖ2	КР1064ВЖ7

4. ЭНН с логическим выходом ИК, логическим выходом РК, запоминанием последнего номера и дополнительной памятью на десять и более номеров:

LC7350	S7210A	VT91611	КР1089ВЖ1
M2561AB	STC52560C	WE9110	
S2560A	UM91610A	КР1008ВЖ5	
S25610	UM91611	КР1064ВЖ5	

5. ЭНН с импульсным и частотным набором номера и запоминанием последнего номера:

HM9102	KS58C20N	UM91260C	КР1091ВЖ1
HT9102F	LC7360	UM912611	КР1091ВЖ2
KS58006	MC145412P	КР1008ВЖ6	
KS5820	UM91210C	КР1008ВЖ16	

6. ЭНН с импульсным и частотным набором номера, запоминанием последнего номера и дополнительной памятью на десять и более номеров:

CIC9145E	HM9121	HT9115B	HM9110D
HM9112A	HM91650B	VT9145	HT9112D

7. ЭНН с частотным набором номера:

HD970019-L	HM9187	MK5092N

Табл. 2.1. Микросхемы номеронабирателей, выпускаемые в странах СНГ, и их зарубежные аналоги.

ИС ЭНН	Зарубежный аналог	Изготовитель
КР1008ВЖ10 (FT58C51)	KS5851	НПО "ИНТЕГРАЛ", г. Минск
КР1008ВЖ11	KS5805A	НПО "ИНТЕГРАЛ", г. Минск
КР1008ВЖ14	WE9192B	ПО "ЭЛЕКС", г. Александров
КР1008ВЖ16	KS58006	З-д "МИКРОН", г. Зеленоград
КР1008ВЖ17 (FT9151-3)	UM9151-3	НПО "ИНТЕГРАЛ", г. Минск
КР1091ВЖ1	UM91260C	НПО "ЭЛЕКТРОНИКА", г. Воронеж
КР1091ВЖ2	UM91261	НПО "ЭЛЕКТРОНИКА", г. Воронеж

2.2. ПРИНЦИП РАБОТЫ МИКРОСХЕМ ЭНН

Рассмотрим структуру и принцип работы микросхемы ЭНН на примере широко распространенной микросхемы фирмы "SAMSUNG" KS5805A (рис. 2.2).

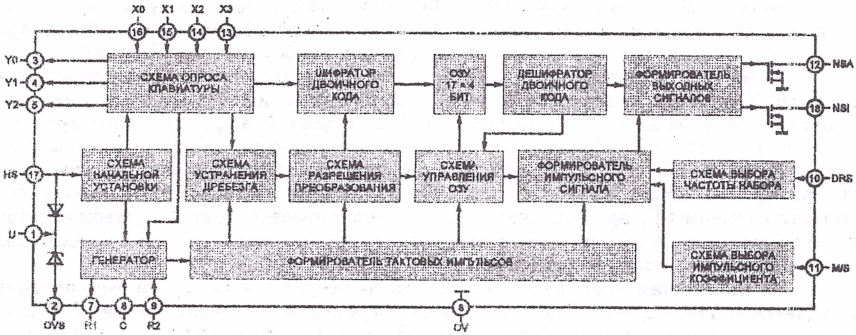

Рис. 2.2. Структурная схема ИС ЭНН KS5805A.

При подаче напряжения питания **схема начальной установки** приводит все узлы микросхемы НН в исходное состояние. При нажатии на одну из кнопок клавиатуры включается **тактовый генератор** с частотой 4 кГц, которая устанавливается RC-цепью, подключаемой к выводам 7, 8, 9. Импульсы с **тактового генератора** поступают на **формирователь тактовых импульсов**, который формирует импульсы, управляющие работой всех узлов схемы. **Формирователь импульсного сигнала** в зависимости от кода, поступающего со **схемы выбора частоты набора** формирует временной интервал межсерийной паузы (800 или 400 мс).

Схема опроса клавиатуры в момент нажатия кнопки (например "1") клавиатуры - t1 формирует на входах X1 и X2 опроса клавиатуры синфазные последовательности положительных импульсов, а на входах Y1, Y2, Y3 - синфазные последовательности отрицательных импульсов частотой 500 Гц и скважностью 2 (рис. 2.3). На входе Y0 при этом устанавливается, а на входе X0 удерживается низкий уровень.

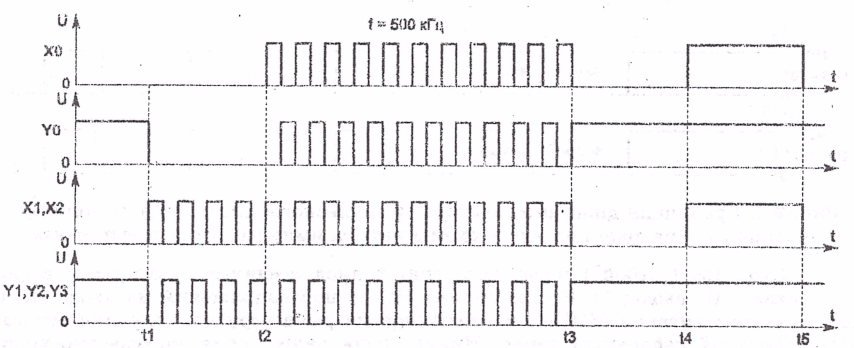

Рис. 2.3. Временная диаграмма сигналов на выводах подключения клавиатуры ИС ЭНН KS5805A.

При замыкании кнопки (в течение интервала порядка 1 мс) её контакты входят в соприкосновение друг с другом обычно от 10 до 100 раз. Чтобы на одно

нажатие кнопки микросхема не набирала несколько раз одну и ту же цифру применяется **схема устранения дребезга**. **Схема устранения дребезга** через 10 мс (длительность времени "антидребезга") включает **схему разрешения преобразования**, которая управляет работой **шифратора двоичного кода** и **схемой управления ОЗУ**. **Схема управления ОЗУ** при поступлении импульса со **схемы разрешения преобразования** записывает код набранной цифры в **ОЗУ**, а при поступлении импульса с **дешифратора двоичного кода** считывает из **ОЗУ**.

В момент отпускания кнопки на входе X0 появляются положительные, а на входе Y0 отрицательные импульсы, синхронные с импульсами на соответствующих X и Y входах. По окончании набора заданной цифры (момент времени t3) на входах X0, X1, X2 вновь устанавливается исходный низкий уровень, а на входах Y0, Y1, Y2, Y3 - исходный высокий уровень. При нажатии кнопки сброса "отбой" на входе **схемы начальной установки** (выводе 17 микросхемы) (момент времени t4), на всех входах X - устанавливается, а на Y - удерживается высокий уровень до момента отпускания кнопки (t5), после чего на входах вновь устанавливается исходное состояние.

По окончании временного интервала межсерийной паузы **формирователь выходных сигналов** разрешает работу **дешифратора двоичного кода**, который через **схему управления ОЗУ** разрешает считывание двоичного кода набранной цифры. **Дешифратор двоичного кода** преобразует код во временной интервал, на время которого снимается удержание с триггеров **формирователя выходных сигналов** и на выходе 18 микросхемы (NSI) появляется последовательность импульсов частотой 10 Гц. Число импульсов соответствует цифре нажатой кнопки. Выход разговорного ключа (NSA) с момента нажатия кнопки открывается и закрывается через 5 мс после прохождения последнего импульса набора.

Схема выбора частоты набора в зависимости от логического состояния входа DRS (вывод 10), устанавливает частоту импульсов набора при "*низком*" уровне - 10 Гц, при "*высоком*" - 20 Гц и длительность межсерийной паузы соответственно 800 и 400 мс. Временные диаграммы выходов импульсного и разговорного ключей микросхемы KS5805A приведены на рис. 2.7.

В зависимости от логического состояния входа **схемы выбора импульсного коэффициента** M/S (вывод 11), импульсный коэффициент принимает значения:

- 1,5 при уровне "0" на выводе 11;
- 2,0 при уровне "1" на выводе 11 (рис. 2.4).

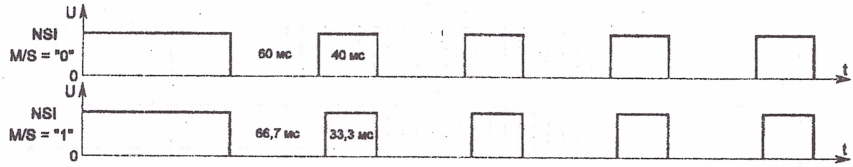

Рис. 2.4. Временная диаграмма выхода "импульсного ключа" при различных значениях напряжения на входе схемы выбора импульсного коэффициента.

Вход HS ("отбой") через встроенный диод соединён с входом питания микросхемы U (вывод 1). Это защищает ИС от перенапряжений на входе HS и поддерживает питание **ОЗУ** при уложенной на рычаг трубке, сохраняя тем самым последний набранный номер. Минимальное напряжение, которое необходимо для удержания номера в ОЗУ составляет 1,0 В.

Особенностью большинства зарубежных ИС ЭНН является то, что они имеют встроенный по питанию стабилитрон с номинальным напряжением стабилизации 3,0 В. Анод стабилитрона имеет отдельный вывод OVS. Поэтому, для обеспечения питания ИС достаточно подать напряжение на вход U с линии или с

разговорного узла через резистор, обеспечивающий номинальный ток стабилизации Iст., значение которого для ряда микросхем НН приведено в таблице 2.7. Вывод OVS следует подключить на корпус.

Наличие отдельного вывода анода стабилитрона позволяет в ряде случаев восстановить работоспособность ИС. Это возможно, если пробитый накоротко стабилитрон шунтирует питание ИС. Отключив вывод анода от корпуса, необходимо обеспечить ИС напряжением питания порядка 3 В от внешнего стабилитрона.

Выход ИК имеет защиту от перенапряжений. С выхода ИК на землю включен стабилитрон (на рис 2.2 не показан), напряжение стабилизации которого Uзащ. для некоторых типов ИС приведено в таблице 2.7.

В связи с отличиями схемотехники ТА зарубежного и отечественного производства, кратко рассмотренными в главе 1, целесообразно также рассмотреть структуру и принцип работы базовой отечественной микросхемы КР1008ВЖ1 (рис. 2.5), которую производят на з-де "ЭКСИТОН" в г. Павловский Посад и на з-де "ГРАВИТОН" в г. Черновцы.

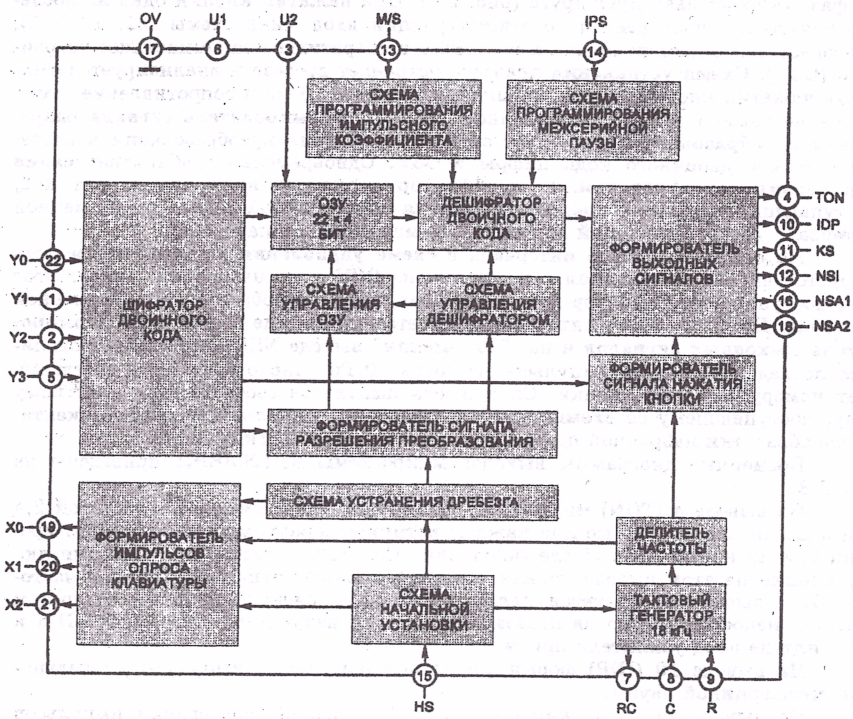

Рис. 2.5. Структурная схема ИС НН КР1008ВЖ1.

При подаче напряжения питания **схема начальной установки** устанавливает все триггеры микросхемы в исходное состояние, после чего формирует сигнал, отключающий генератор. При нажатии на одну из кнопок клавиатуры включается **тактовый генератор** с частотой 18 кГц, и **формирователь импульсов опроса клавиатуры** формирует на выводах 19, 20 и 21 последовательности импульсов с частотой 200 Гц и скважностью 3. Эти последовательности сдвинуты

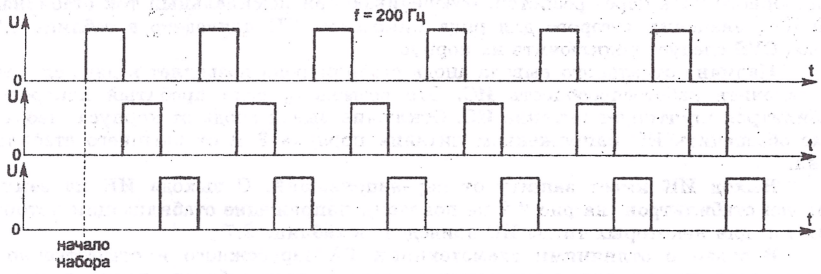

Рис. 2.6. Временная диаграмма сигналов на выводах подключения клавиатуры ИС ЭНН КР1008ВЖ1.

по фазе относительно друг друга (рис. 2.6). При нажатии кнопки одна из последовательностей поступает на соответствующий вход микросхемы (22, 1, 2, 5), преобразуется в двоичный код и поступает в оперативное запоминающее устройство (ОЗУ). **Схема устранения дребезга** устраняет дребезг и анализирует истинность нажатия кнопки (время замыкания не менее 10 мс и сопротивление замыкания не более 1 кОм). При истинном нажатии **формирователь сигнала разрешения преобразования** формирует сигнал разрешения преобразования и разрешает запись двоичного кода цифры в ОЗУ. Одновременно срабатывает **схема управления дешифратором**, и **дешифратор двоичного кода** преобразует код, поступающий со **схемы программирования межсерийной паузы** во временной интервал, соответствующий длительности межсерийной паузы.

По окончании этого интервала в **схеме управления дешифратором** формируется сигнал разрешения считывания из **ОЗУ** кода набранного числа. Этот код, поступив в **дешифратор двоичного кода**, также преобразуется во временной интервал. На время этого интервала снимается удержание с триггеров **формирователя выходных сигналов** и на *"логическом"* выходе NSI микросхемы появляется последовательность импульсов частотой 10 Гц. Число импульсов соответствует номеру нажатой кнопки. Скважность импульсов соответствует двоичному коду, поступающему со **схемы программирования импульсного коэффициента**. После обработки набранной цифры **тактовый генератор** отключается.

Временные диаграммы выходов микросхемы КР1008ВЖ1 приведены на рис. 2.8.

На выводе 4 (TON) микросхема формирует серии импульсов частотой 2,4 кГц и длительностью 50 мс при каждом истинном нажатии кнопки (момент времени t1 и t2 на рис 2.8). После заполнения ОЗУ (22 нажатия) при нажатии любой кнопки на этом выводе появляется непрерывный сигнал с указанной частотой. Этот вывод используется для формирования сигнала нажатия кнопки и подаётся непосредственно на пьезоэлектрический излучатель типа ЗП-3, ЗП-5 и т. п., или на вход усилителя приёма.

На выводе 10 (IDP) формируются положительные импульсы длительностью межсерийной паузы.

На выводе 11 (KS) "ключ подпитки" на период следования импульсов набора устанавливается *"высокий"* уровень, обеспечивающий, при необходимости подпитку ОЗУ микросхемы.

В микросхеме есть два выхода **"разговорный ключ"** - вывод 16 (NSA1) и вывод 18 (NSA2). На выводе 16 на протяжении всего набора номера удерживается *"низкий"* уровень, а на выводе 18 *"низкий"* уровень удерживается только на период следования импульсов набора. Использование выхода NSA2 предпочтительнее, поскольку позволяет в течение межсерийной паузы прослушивать линию. Если произойдёт сбой, Вы услышите гудок и не будете дожидаться окончания набора всего номера.

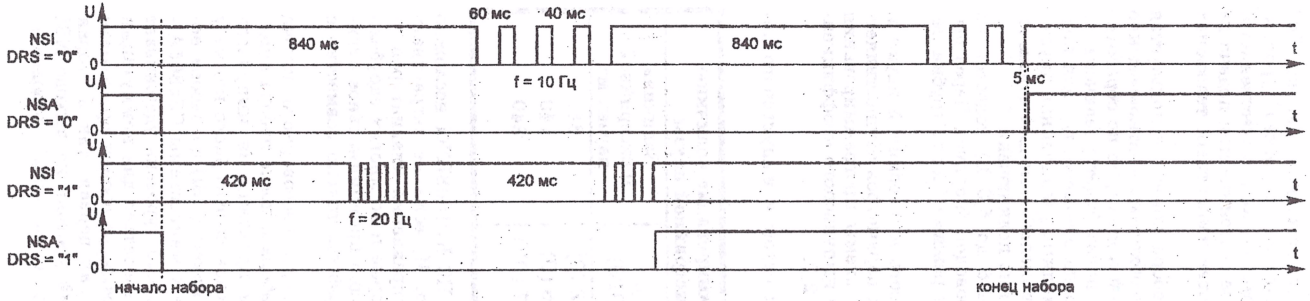

Рис. 2.7. Временные диаграммы выходов микросхемы ЭНН KS5805A.

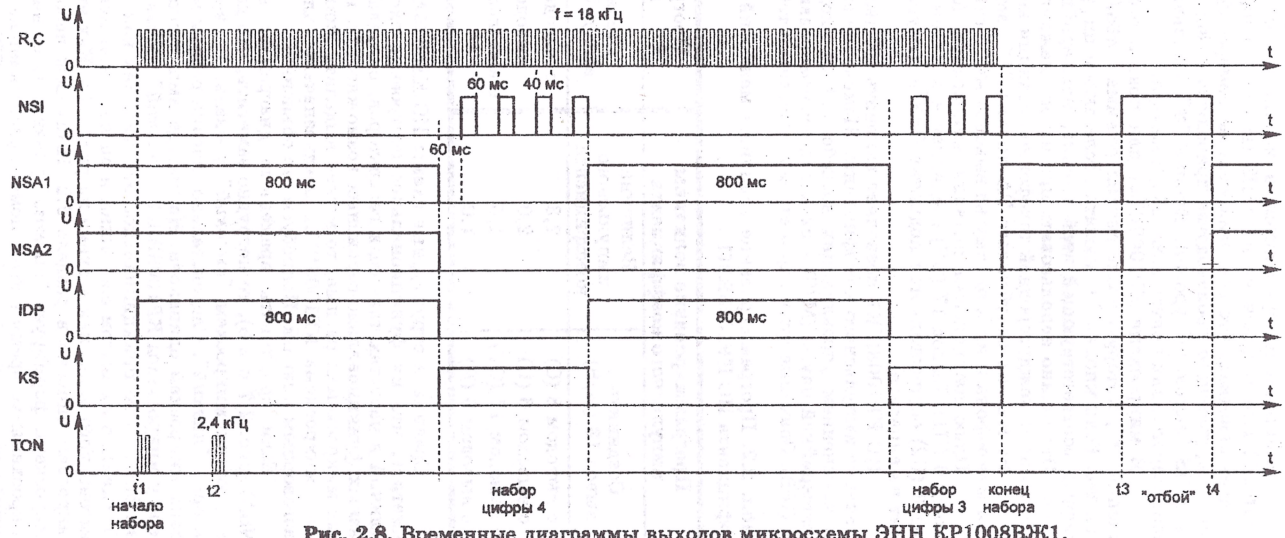

Рис. 2.8. Временные диаграммы выходов микросхемы ЭНН КР1008ВЖ1.

Микросхема приводится в исходное состояние нажатием кнопки "#" ("отбой") или подачей на вход HS (вывод 15) напряжения *"высокого"* уровня. Следует отметить, что все микросхемы номеронабирателей, как отечественного, так и зарубежного производства приводятся в исходное состояние при подаче на вход HS *"высокого"* уровня. Кнопка "#" в большинстве импортных телефонах используется для повторного набора номера.

В микросхеме КР1008ВЖ1 для повторного набора номера используется кнопка "*", которую после снятия режима "отбой" необходимо кратковременно нажать. Если кнопка "*" нажата после любой цифровой кнопки, то по обработке цифры, соответствующей этой кнопке, межсерийная пауза будет увеличена на 2,6 с. Это можно использовать при наборе междугороднего номера, где для подключения к междугородней телефонной станции необходима увеличенная пауза.

Во многих зарубежных ТА кнопка "*" часто используется для отключения микрофона и ни к одному из выводов микросхемы не подключена.

Плюс напряжения питания микросхемы (от 2,5 до 5,0 В) подаётся на вывод 6 (U1). Вывод 17 (OV) соединяется с общим проводом (корпус). Через вывод 3 (U2) осуществляется подпитка ОЗУ в дежурном режиме (когда трубка лежит на аппарате).

ИС КР1008ВЖ1 позволяет изменять длительность межсерийной паузы и значение импульсного коэффициента. Изменение этих параметров осуществляется изменением управляющих воздействий на входах схемы программирования межсерийной паузы (M/S) и схемы программирования импульсного коэффициента (IPS). Значения этих параметров приведены в табл. 2.2.

Табл. 2.2. Программирование величины межсерийной паузы и импульсного коэффициента ИС КР1008ВЖ1 .

Программирование величины импульсного коэффициента		**Программирование величины межсерийной паузы**	
Соединить вывод 13 (M/S)	Величина импульсного коэффициента	Соединить вывод 14 (IPS)	Величина межсерийной паузы, мс
с выводом 8 (C)	2,3	с выводом 8 (C)	640
с выводом 6 (U)	2,0	с выводом 6 (U)	740
с выводом 17 (OV)	1,5	с выводом 17 (OV)	840
с выводом 9 (R)	1,0		

Сравнивая структурные схемы ИС KS5805A и ИС КР1008ВЖ1 несложно заметить, что их функциональное построение сходно. И, если не затрагивать отличий в частотах тактовых генераторов, сигналах управления клавиатурой, и разных функционально-сервисных возможностях, которые и во многих зарубежных микросхемах разные, то можно выделить лишь одно принципиальное отличие - микросхема КР1008ВЖ1 предназначена для работы только совместно с разговорным ключом. Попробуем это объяснить.

Если сравнивать временные диаграммы выходов разговорного ключа (NSA) (рис. 2.7 и 2.8), то нетрудно заметить, что до набора и после набора номера у обеих микросхем *"высокий"* уровень. Во время прохождения импульсов набора - *"низкий"*. Следовательно, логика работы выходов разговорного ключа у обеих микросхем одинакова. На выходе импульсного ключа (NSI) до набора номера у микросхемы КР1008ВЖ1 - *"низкий"* уровень, а у микросхемы KS5805A - *"высокий"*. Это принципиальное отличие, так как *"низкий"* уровень удерживает ИК схемы в закрытом состоянии и он не может использоваться для коммутации разговорного узла, как в схеме на рис. 1.15. Как это отличие обойти при замене микросхем описано в разделе 6.2. Импульсы набора как первая, так и вторая микросхема формирует *"низкого"* уровня, т. е. низкий уровень на выходе NSI микросхемы во время набора номера размыкает линию, а *"высокий"* - замыкает. Причём это характерно для *всех* микросхем ЭНН.

2.3. ИС ЭНН К145ИК8П

ИС К145ИК8П является одной из первых отечественных ИС ЭНН со встроенным ОЗУ на 20 цифр и в настоящее время в телефонах больше не устанавливается. Но в эксплуатации находятся ещё много ТА, в которых она используется в качестве номеронабирателя как самостоятельно (в простейших ТА с ЭНН), так и совместно с ИС К145ИК11П и К561РУ2 (в ТА, обеспечивающих хранение номеров постоянных абонентов). Работу этих микросхем Вы можете рассмотреть на примере схем телефонов VEF ТА-12 и VEF ТА-32 в главе 4.

Цоколёвка ИС К145ИК8П приведена на рис. 2.12,*б*, назначение выводов в табл. 2.3.

Табл. 2.3. Назначение выводов микросхемы К145ИК8П.

Вывод ИС	Обозначение	Назначение	Примечание
1	U	Питание	U = 6 ÷ 12 В
2	НУ	Вход "Начальная установка"	Логическая "1" устанавливает в исходное состояние все узлы ИС.
3	#	Вход "Кнопка "Отбой #"	Логический "0" вызывает появление логической "1" на выходах NSA и ОК и логического "0" на выходе NSI.
4	ОК	Выход "Ключ отбоя"	На время нажатия кнопки "Отбой" устанавливается логическая "1", что может быть использовано для обеспечения напряжения питания при разомкнутой линии АТС.
5	NSA	Выход "Разговорный ключ"	Логический "0" вызывает подключение разговорных приборов ТА для прослушивания сигналов АТС, логическая "1" - отключение разговорных приборов во время набора номера.
6	ГИ	Выход "Пуск внешнего генератора"	Логическая "1" производит запуск внешнего генератора, если используется отдельный генератор для синхронизации работы ИС.
7	*	Вход "Кнопка повтора *"	Логический "0" вызывает повторный набор ранее набранного номера из ОЗУ ИС.
8	ПГ	Вход "Пуск генератора импульсов от ЗУ"	Логическая "1" вызывает включение внутреннего генератора импульсов.
9	RC	Вход "Общая точка RC генератора".	Выводы для подключения времязадающих элементов внутреннего генератора импульсов.
10	R	Выход "Резистор R генератора".	
11	C	Выход "12,8 кГц, точка C генератора".	

Вывод ИС	Обозначение	Назначение	Примечание
12	БК	Вход "Блокировка кодопреобразователя"	Логический "0" запрещает работу делителя частоты на 5 и счётчика кодопреобразователя. Такой режим необходим для форсированной выборки содержимого сдвиговых регистров ОЗУ при одновременной подаче последовательности импульсов на вход СЧ.
13	10/20	Вход "Установка частоты набора 10/20 Гц"	Логическая "1" устанавливает набор номера частотой 10 Гц, а логический 0 - 20 Гц.
14	F/128	Выход "7-й разряд делителя частоты"	При работе генератора с частотой F на выводах 14, 15 и 16 - выход частоты F/128, F/64 и F/8 соответственно.
15	F/64	Выход "6-й разряд делителя частоты"	
16	F/8	Выход "3-й разряд делителя частоты"	
17	БС	Выход "Блокировка считывания ЗУ"	Логический "0" сигнализирует о динамическом режиме работы сдвиговых регистров ОЗУ.
18	БЗ	Вход "Блокировка записи в ОЗУ"	Логический "0" запрещает запись поступающей в ОЗУ информации. Такой режим используется при совместной работе с ИС К145ИК11П.
19	NSI	Выход "Импульсный ключ"	Логический 0 вызывает размыкание линии АТС, а логическая "1" - замыкание.
20	СЧ	Вход "Считывание ОЗУ"	Логическая "1" включает динамический режим работы сдвиговых регистров в ОЗУ.
21	OV	Общий	
22	8	Выход "Запись ЗУ "8"	При каждом нажатии на цифровые кнопки появляется двоичный код нажатой кнопки в импульсном виде.
25	4	Выход "Запись ЗУ "4"	
32	2	Выход "Запись ЗУ "2"	
35	1	Выход "Запись ЗУ "1"	
23	8	Вход "Кнопка "8"	Вывод подключения цифровой кнопки.
24	0	Вход "Кнопка "0"	
26	4	Вход "Кнопка "4"	
27	6	Вход "Кнопка "6"	
28	7	Вход "Кнопка "7"	
29	2	Вход "Кнопка "2"	
30	9	Вход "Кнопка "9"	
31	5	Вход "Кнопка "5"	
33	1	Вход "Кнопка "1"	
34	3	Вход "Кнопка "3"	

Вывод ИС	Обозначение	Назначение	Примечание
36	БТ	Вход "Блокировка тастатуры"	Логическая "1" запрещает работу цифровых кнопок клавиатуры.
37	1	Вход "Считывание ЗУ "1"	Предназначены для совместной работы с ИС К145ИК11П и К561РУ2 Информация поступает в импульсном виде на входы считывания.
38	2	Вход "Считывание ЗУ "2"	
39	4	Вход "Считывание ЗУ "3"	
40	8	Вход "Считывание ЗУ "8"	

2.4. ИС ЭНН КР1008ВЖ2

ИС КР1008ВЖ2 предназначена для использования в ТА с расширенными функциональными возможностями. Цоколёвка ИС КР1008ВЖ2 приведена на рис. 2.12,*а*, назначение выводов в табл. 2.4. Пример подключения ИС КР1008ВЖ2 совместно со схемой управления индикацией КР1008ВЖ3 и внешним ОЗУ (КР537РУ2А) приведён на рис. 2.9.

Табл. 2.4. Назначение выводов ИС КР1008ВЖ2.

Вывод ИС	Обозначение	Назначение
1	RC	Вход генератора.
2	R	Выход генератора. R = 270к.
3	C	Выход генератора. C = 47 пФ.
4	MK	Выход "Задержка". Служит для управления схемой индикации. В исходном состоянии "*низкий*" уровень. Выход переходит в состояние "*высокого*" уровня на время нажатия кнопки, набора номера, а также после выбора адреса в режиме записи или чтения.
5	HS	Вход "Отбой". При подаче "*высокого*" уровня запускается тактовый генератор на 0,25 с и схема переводится в исходное состояние. "*Низкий*" уровень разрешает работу микросхемы.
6	HSG	Вход "Гарантированный отбой". При подаче "*высокого*" уровня минимальное время отбоя по входу HS становится равным 0,8 с.
7	X2	Выходы клавиатурные. В исходном состоянии на выходах "*высокий*" уровень. При нажатии на любую кнопку клавиатуры на этих выходах появляются последовательности импульсов со скважностью 4, сдвинутые по фазе относительно друг друга.
8	X1	
9	X0	
10	X4	Выходы клавиатурные. В исходном состоянии на выходах "*низкий*" уровень. Служат для установки режимов, выбираемых замыканием этих выводов на клавиатурные входы.
11	X3	

Вывод ИС	Обозначение	Назначение
12 13 14 15 16 17 18 19	Y7 Y6 Y5 Y4 Y3 Y2 Y1 Y0	Входы клавиатурные. На клавиатурные входы поступают импульсы с выходов X0, X1 и X2 во время нажатия кнопки набора номера или программирования.
20	NSA	Выход "Разговорный ключ".
21	NSI	Выход "Импульсный ключ".
22	CH	Вход "Просмотр ЗУ".
23 25 26 27	D0 D1 D2 D3	Выходы информационные. На выходах D0, D1, D2 и D3 формируется двоичный код цифры во время её набора в линию АТС.
24	OV	Общий.
28	DW	Выход информационный в ЗУ. В режиме записи в ЗУ формируется последовательный код записываемой цифры.
29	MOM	Вход - "Режим внешнего ЗУ". Подачей "*высокого*" уровня программируется работа с ЗУ ёмкостью 1 К, "*низкого*"- 2 К.
30 31 33	CS3/A9 CS2/A10 CS4/A8	Выходы адресные. В режиме 1 К - осуществляют выбор адреса во внешнем ЗУ. В режиме 2 К формируют импульсы выбора ячеек в ЗУ.
32	CS1	Выход адресный. На выходе формируются импульсы выбора ячеек в ЗУ.
34 35 36 37 38 39 40 41	A7 A6 A5 A4 A3 A2 A0 A1	Выходы адресные. На выходах формируется двоичный код выбора адреса в ЗУ.
42	DR	Вход информации из ЗУ. В режиме считывания на вход поступает информация в последовательном коде из внешнего ЗУ.
43	SR	Выход "Сброс". При выборе адреса в режиме работы с ЗУ на выходе формируется импульс сброса длительностью 16 мс для схемы управления индикации.
44	EWR	Выход запись/чтение. После выбора адреса в режиме запись/чтение формируется "*высокий*" уровень.
45	WRM	Вход запись/чтение. Подачей "*высокого*" уровня программируется режим чтения из ЗУ, подачей "*низкого*" - режим записи.
46	TON	Выход сигнала нажатия кнопки. На время нажатия кнопки клавиатуры формируется сигнал частотой 512 Гц и скважностью 2.
47	WI	Вход "Прерывание". При подаче "*высокого*" уровня запускается генератор на время 0,25 с.
48	U	Питание. U = 2,5 ÷ 5 В.

Табл. 2.5. Программирование параметров импульсов набора ИС КР1008ВЖ2.

Замыкание выводов между собой	Частота набора, Гц	Импульсный коэффициент	Межсерийная пауза
нет	10	1,5	8Т набора
10, 19	16	1,5	8Т набора
10, 18	20	1,5	8Т набора
10, 18, 19	600	1,5	8Т набора
10, 17	10	1,6	8Т набора
10, 16	10	1,0	8Т набора
10, 16, 17	10	2,0	8Т набора
10, 15	10	1,5	4Т набора
10, 14	10	1,5	6Т набора
10, 14, 15	10	1,5	10Т набора

Рассмотрим работу схемы, приведённой на рис. 2.9.

Схема электронного номеронабирателя с помощью ИС КР1008ВЖ2 обеспечивает формирование импульсов набора номера и управление запоминающим устройством.

На выходе импульсного ключа (NSI) (вывод 21) DD1 формируются серии импульсов, соответствующие нажатым цифровым кнопкам номеронабирателя, а на выходе разговорного ключа (NSA) (вывод 20) формируется "*низкий*" уровень на время следования каждой серии импульсов. Указанные сигналы обеспечивают работу электронных импульсного и разговорного ключей, в качестве которых могут использоваться токовые ключи КР1014КТ1А(В).

При уложенной на аппарат микротелефонной трубке или же при нажатой кнопке # ("отбой") ИС DD1 заблокирована подачей на вход HS (вывод 5) напряжения логической "1". В этом состоянии схемы набор номера невозможен. При снятии микротелефонной трубки на выходе NSI формируется импульс занятия АТС длительностью около 250 мс.

Запоминающее устройство, состоящее из ИС КР537РУ2А ёмкостью 4096 бит, управляется ИС DD1 и обеспечивает запись и хранение информации о 40 двенадцатизначных номерах, а также выдачу сигналов на DD1 в режиме чтения информации.

При нажатии кнопки ∇Δ ИС DD1 устанавливается в режим записи и выбора адреса ЗУ вследствие подачи напряжения логического "0" на вход WRM DD1 (вывод 45). Выбор адреса производится последовательным нажатием одной из кнопок A, B, C или D и одной из цифровых кнопок, в результате чего ЗУ переводится в режим записи подачей напряжения логической "1" с выхода EWR (вывод 44) DD1. На адресных выходах A0 ÷ A10 при этом устанавливается комбинация уровней сигналов, соответствующая выбранной ячейке ЗУ. При записи информации в выбранную ячейку ЗУ на выходе DW (вывод 28) DD1 формируется последовательный код нажатой кнопки.

При "*низком*" уровне на входе EX (вывод 7) DD4 происходит обнуление ОЗУ при его переполнении, при "*высоком*" уровне обнуления не происходит.

Работа схемы в режиме набора запрограммированного номера происходит следующим образом. При выборе адреса в режиме чтения информация, записанная по этому адресу, с выхода D0 (вывод 7) DD3 поступает на вход DR (вывод 42) DD1. При записи в ЗУ и при чтении информации из ЗУ на выходах D0 ÷ D3 (выводы 23, 25, 26, 27) DD1 появляются сигналы в параллельном коде, которые поступают на ИС управления индикацией КР1008ВЖ3 и используется для индикации номера телефона. В режиме "Просмотр ЗУ" на вход CH (вывод 22) DD1

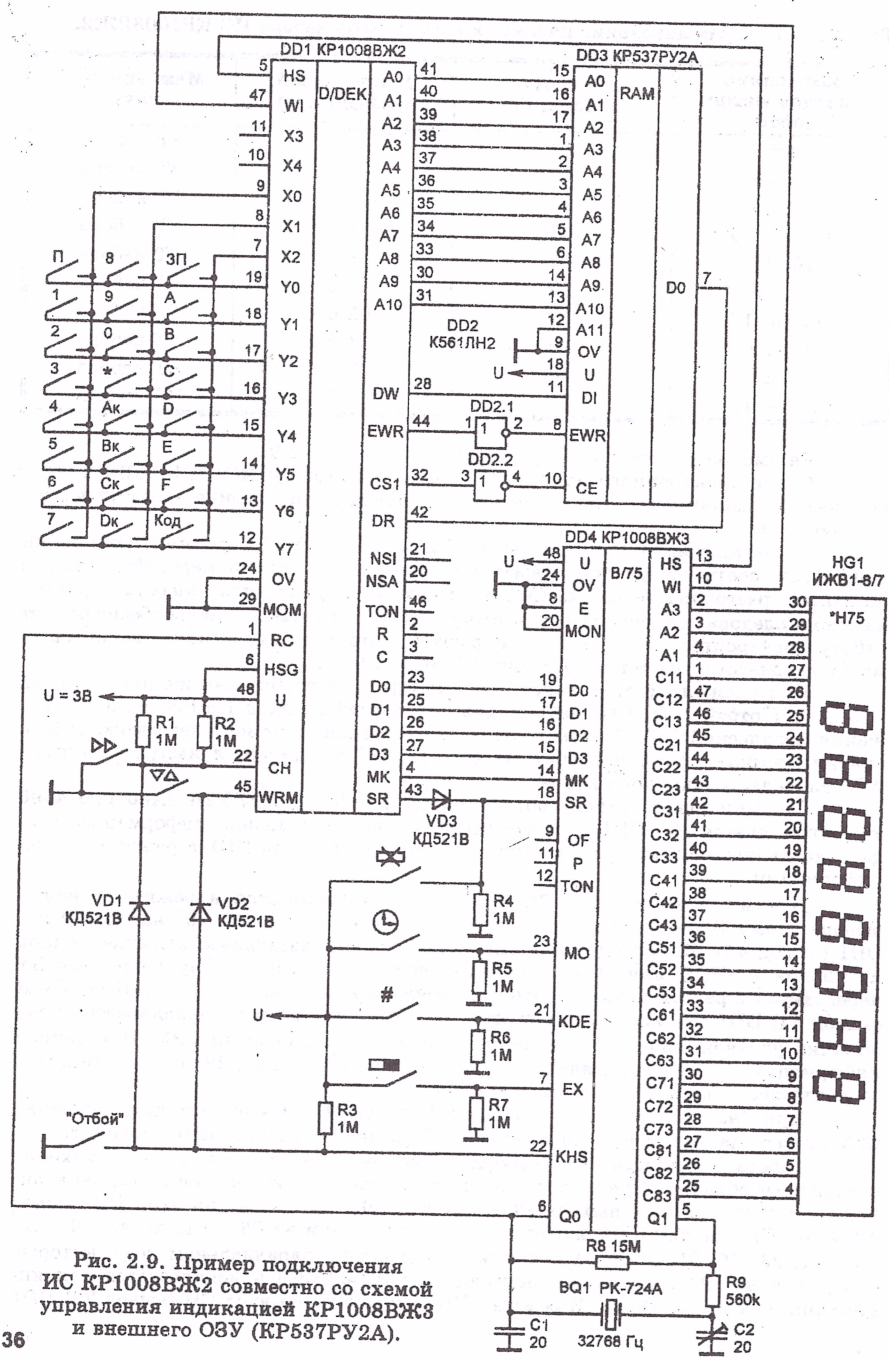

Рис. 2.9. Пример подключения ИС КР1008ВЖ2 совместно со схемой управления индикацией КР1008ВЖ3 и внешнего ОЗУ (КР537РУ2А).

при нажатии кнопки ▷▷ подаётся напряжение логического "0".

Схема индикации с программатором событий включает в себя микросхему управления индикацией DD4 и восьмиразрядный семисегментный жидкокристаллический индикатор HG1, управляемый четырёхуровневыми сигналами. ИС DD4 работает от кварцевого генератора BQ1 частотой 32768 Гц. Существует четыре основных режима работы ИС КР1008ВЖ3. Режим выбирается схемой управления при подаче на входы микросхемы KHS (вывод 22) и MO (вывод 23) логического уровня в соответствии с табл. 2.6.

Логический уровень "1" на входе KHS соответствует уложенной на рычаг аппарата телефонной трубке.

Табл. 2.6. Режимы работы ИС КР1008ВЖ3.

Логический уровень		Режим
KHS	MO	
1	0	Текущее время.
1	1	Установка часов и минут текущего времени.
0	1	Время разговора.
0	0	Номер телефона.

ИС КР1008ВЖ3 имеет программно - временное устройство, позволяющее программировать до 40 событий на разное время суток. С этой целью на выходе WI (вывод 10) в начале каждой текущей минуты формируется импульс длительностью около 500 мс. Этот импульс подаётся на вход WI (вывод 47) DD1, в результате чего производится опрос всего содержимого ЗУ путём последовательного просмотра всех адресов.

Информация из ЗУ поступает на вход DR (вывод 42) DD1, преобразуется и в параллельном четырёхбитном коде поступает на входы D0 ÷ D3 (выводы 15, 16, 17, 19) DD4. ИС КР1008ВЖ3 осуществляет преобразование поступившей информации и сравнение её с информацией текущего времени. При совпадении информации запрограммированного события с текущим временем на индикаторе HG1 отображаются в первом разряде символы событий "С" или "Н", в последующих разрядах - номер запрограммированного события или же номер телефона. Одновременно с выхода TON (вывод 12) DD4 появляется сигнал звуковой частоты, предупреждающий абонента о наступлении одного из запрограммированных событий. Этот сигнал можно подать на пьзокекерамический преобразователь типа ЗП-3, ЗП-5 через импульсный усилитель, в качестве которого можно использовать инвертор ИС К561ЛН2. Выключение сигнала производится либо вручную при нажатии абонентом кнопки ⊄ ("Сброс"), либо автоматически через 40 с.

Вход MON (вывод 20) DD4 предназначен для выбора режима работы ИС со светодиодным индикатором или с жидкокристаллическим.

Выход OF и вход E DD4 предназначены для наращивания разрядности индикатора при подключении двух ИС КР1008ВЖ3. При этом вывод 9 соединяется с выводом 8.

Выход P (вывод 11) DD4 предназначен для управления внешним устройством.

2.5. ХАРАКТЕРИСТИКИ МИКРОСХЕМ ЭЛЕКТРОННОГО НАБОРА НОМЕРА

В таблицах 2.7 и 2.8 приведены основные параметры ряда зарубежных и отечественных микросхем ЭНН, наиболее часто применяемых в ТА.

Сокращения принятые в таблицах:

Uик. защ. - предельное напряжение внутреннего защитного стабилитрона ИС, установленного на выходе ИК (прочерк означает отсутствие защиты).

Iвн. ст. - ток внутреннего источника опорного напряжения питания ИС, равного 3 В. Максимальный ток стабилитрона - 7 ÷ 10 мА. При этом токе на-

пряжение на стабилитроне может достигать 5,5 В (прочерк означает отсутствие внутреннего стабилитрона).

I*стат.* - ток, потребляемый микросхемой в статическом режиме.

I*дин.* - ток, потребляемый микросхемой в динамическом режиме (во время набора номера).

Напряжение питания практически всех ИС ЭНН составляет 2,5 ÷ 5,5 В. Параметры I*стат.* и I*дин.* даны для U = 3 В, ненагруженных выходах ИС и отключенном общем выводе внутреннего источника опорного напряжения, если он имеется. Знаком "*" помечены те параметры, которые даны для U = 5 В.

ОЗУ, знаков - количество знаков последнего набранного номера, которое может быть сохранено.

Доп. ОЗУ - для ИС, имеющих дополнительную память. Количество номеров, которое может быть сохранено и вызвано посредством функциональных клавиш (прочерк означает отсутствие дополнительной памяти). Количество знаков в номере, как правило, не соответствует количеству знаков, запоминаемых в последнем набранном номере. В большинстве ИС ЭНН количество знаков номера в дополнительной памяти не превышает 16.

Тип выхода - схемотехническое решение организации выхода импульсного (**ИК**) и разговорного (**РК**) ключей.

ОС - выход с открытым стоком (рис. 2.1,*а*).

Л - логический выход (рис. 2.1,*в*).

Л1 - логический выход РК, формирующий низкий уровень на весь период набора номера (пример - рис. 2.21, ИС КР1008ВЖ10).

Л2 - логический выход РК, формирующий низкий уровень на период набора одного знака (пример - рис. 2.20 ИС КР1008ВЖ12).

Л3 - логический выход РК, формирующий высокий уровень на весь период набора номера (пример - рис. 2,19 ИС КР1008ВЖ17).

M/S - значение импульсного коэффициента в зависимости от логического состояния входа M/S ("0" или "1").

IPS - значение длительности межсерийной паузы в мс в зависимости от логического состояния входа IPS.

DRS - значение частоты набора в Гц в зависимости от логического состояния входа DRS.

MODE - режим работы микросхемы "P"- импульсный, "T"- частотный, в зависимости от логического состояния на входе.

Если в графе "**выходные параметры ИК при логическом состоянии входов**" приведено одно значение, то в этой ИС отсутствует вход управления данным параметром и он в микросхеме жестко определен (прочерк означает отсутствие данного режима).

На рис. 2.10 ÷ 2.13 приведены цоколёвки микросхем как зарубежного, так и отечественного производства.

На рис. 2.18 приведены схемы подключения времязадающих элементов генератора ИС ЭНН. Кварцевый резонатор на частоту 3,579545 МГц, который используется в большинстве зарубежных ИС ЭНН, применяется в декодерах цветных телевизоров системы NTSI, вследствие чего получил большое распространение и является самым недорогим из стандартных кварцевых резонаторов.

На рис. 2.19 ÷ 2.21 приведены временные диаграммы выходов импульсного (NSI) и разговорного (NSA) ключей микросхем ЭНН. Различия выходных сигналов определяются отнюдь не страной - производителем, а принципом построения ИС для ее использованием в той или иной схеме.

Табл. 2.7. Характеристики микросхем номеронабирателей.

Тип ИС	Номер рис.	Номер рис. ген-ра	Кол-во выво-дов	Uик *защ.* В	Iвн.ст. мА	Iстат. мкА	Iдин. мкА
					При U = 3 В		
CIC9102E	2.10,*в*	2.18,*р*	18	7,5	–	12	12
CIC9104E	2.10,*е*	2.18,*р*	16	7,5	–	12	12
CIC9145E	2.13,*б*	2.18,*л*	22	–	–	0,2*	600*
CIC9192BE	2.10,*г*	2.18,*а*	16	25	0,12	25	40
ET40982	2.10,*д*	2.18,*з,и*	16	22	0,8	40	110
ET40992	2.10,*а*	2.18,*а*	18	22	0,8	25	40
FT58C51	2.10,*а*	2.18,*б*	18	17	0,7	0,1	19
HD970040D	2.10,*д*	2.18,*з,и*	16	22	0,8	35	100
HD970019-L	2.10,*з*	2.18,*м*	16	–	–	45	550
HM9100A1	2.10,*а*	2.18,*а*	18	25	0,6	15	35
HM9100B	2.10,*ж*	2.18,*в*	16	28	–	15	35
HM9102	2.11,*а*	2.18,*н*	18	–	–	10	300
HM9110D	2.11,*а*	2.18,*н*	18	–	–	15	350
HM9112A	2.13,*б*	2.18,*л*	22	–	–	0,2*	600*
HM9113A	2.13,*б*	2.18,*л*	22	–	–	0,2*	600*
HM9121	2.13,*а*	2.18,*п*	28	–	–	10	400
HM91650B	2.13,*в*	2.18,*м*	22	–	–	0,4*	1200*
HM9187	2.10,*з*	2.18,*м*	16	–	–	0,5	600
HT9102F	2.11,*е*	2.18,*л*	18	–	–	0,5	400
HT9115B	2.13,*в*	2.18,*м*	22	–	–	0,4*	1200*
KS5804	2.10,*д*	2.18,*и*	16	22	0,8	20	100
KS5805A	2.10,*а*	2.18,*а*	18	30	0,5	20	35
KS5805B	2.10,*б*	2.18,*а*	18	30	–	0,5	20
KS58C05	2.10,*а*	2.18,*а*	18	3,6	0,7	0,5	20
KS58006	2.11,*а*	2.18,*н*	18	–	–	10	100
KS5820	2.11,*а*	2.18,*н*	18	–	–	0,5	200
KS58C20N	2.11,*а*	2.18,*н*	18	–	–	0,5	200
KS5851	2.10,*а*	2.18,*б*	18	17	0,7	0,1	20
KS5853	2.10,*ж*	2.18,*г*	16	28	–	0,2	20
LC7350	2.11,*б*	2.18,*н*	18	–	–	3	100
LR40981A	2.10,*д*	2.18,*з,и*	16	25	0,7	50	90
LR40992	2.11,*а*	2.18,*а*	18	30	0,5	20	35
LR40993	2.10,*б*	2.18,*а*	18	30	–	0,5	20
M2561AB	2.11,*б*	2.18,*г*	18	–	–	3	105
MC145412P	2.11,*д*	2.18,*н*	18	–	–	5	120
MK50981	2.10,*д*	2.18,*з,и*	16	22	0,7	30	100
MK5092N	2.10,*з*	2.18,*м*	16	–	–	45	550
MK50992N	2.10,*а*	2.18,*а*	18	30	0,5	20	35
MK50993	2.10,*б*	2.18,*а*	18	30	–	0,5	20
MK5173AN	2.10,*д*	2.18,*з,и*	18	22	0,8	40	100

Тип ИС	Номер рис.	Номер рис. ген-ра	Кол-во выво-дов	Uик *защ.* В	Iвн.ст. мА	Iстат. мкА	Iдин. мкА
					При U = 3 В		
S2560A	2.11,*б*	2.18,*г*	18	–	–	0,3	300
S25610	2.11,*б*	2.18,*г*	18	–	–	0,3	300
S7210A	2.10,*и*	2.18,*л*	16	–	–	3	80
STC52560C	2.11,*б*	2.18,*г*	18	–	–	0,2	200
T40992	2.10,*а*	2.18,*а*	18	30	0,5	20	35
T40993	2.10,*б*	2.18,*а*	18	30	–	0,5	20
TC31006P	2.11,*г*	2.18,*к*	18	–	–	170	170
TR50981AN	2.10,*д*	2.18,*з,и*	16	22	0,8	40	110
UM91210C	2.11,*а*	2.18,*н*	18	–	–	0,2	190
UM91260C	2.11,*а*	2.18,*к*	18	15	–	60	180
UM9151	2.10,*в*	2.18,*р*	18	7,5	–	12	12
UM9151-3	2.10,*е*	2.18,*р*	16	7,5	–	12	12
UM91610A	2.11,*в*	2.18,*в*	18	–	–	3	90
UM91611	2.11,*б*	2.18,*г*	18	–	–	3	105
VT91611	2.11,*б*	2.18,*г*	18	–	–	3	105
VT9145	2.13,*б*	2.18,*л*	22	–	–	0,2*	500*
W9145	2.13,*б*	2.18,*л*	22	–	–	0,2*	600*
WE9102	2.10,*в*	2.18,*р*	18	7,5	–	12	12
WE9104	2.10,*е*	2.18,*р*	16	7,5	–	12	12
WE9110	2.11,*б*	2.18,*г*	18	–	–	3	95
WE9192B	2.10,*г*	2.18,*а*	16	25	0,12	25	40
К145ИК8П	2.12,*б*	4.2	40	–	–	150*	300*
КР1002ХЛ2	2.12,*ж*	2.18,*с*	16	–	–	0,5	10
КР1008ВЖ1	2.11,*ж*	2.18,*т,у*	22	–	–	3	50
КР1008ВЖ2	2.12,*а*	2.18,*ж*	48	–	–	25	60
КР1008ВЖ5	2.11,*з*	2.18,*е*	22	–	–	2	15
КР1008ВЖ6	2.11,*и*	2.18,*о*	22	–	–	30	100
КР1008ВЖ7	2.11,*з*	2.18,*е*	22	–	–	2	15
КР1008ВЖ10	2.10,*а*	2.18,*б*	18	17	0,7	0,1	20
КР1008ВЖ11	2.10,*а*	2.18,*а*	18	30	0,5	20	35
КС1008ВЖ12	2.12,*г*	2.18,*д*	18	–	–	60	175
КР1008ВЖ14	2.10,*г*	2.18,*а*	16	25	0,12	25	40
КР1008ВЖ15	2.12,*е*	2.18,*а*	16	25	0,12	25	40
КР1008ВЖ16	2.11,*а*	2.18,*н*	18	–	–	10	100
КР1008ВЖ17	2.10,*е*	2.18,*р*	16	7,5	–	12	12
КР1064ВЖ5	2.11,*з*	2.18,*е*	22	–	–	2	15
КР1064ВЖ7	2.11,*з*	2.18,*е*	22	–	–	2	15
КР1083ВЖ3	2.12,*д*	2.18,*т,у*	20	–	–	3	50
КР1089ВЖ1	2.12,*в*	2.18,*е*	24	–	–	2	20
КР1089ВЖ2	2.12,*в*	2.18,*е*	24	–	–	2	20
КР1091ВЖ1	2.11,*а*	2.18,*к*	18	15	–	60	180

Табл. 2.8. Характеристики микросхем номеронабирателей.

Тип ИС	ОЗУ знаков	Доп. ОЗУ номеров	Тип выхода		Выходные параметры ИК ИС при логическом состоянии входов							
					M/S		IPS		DRS		MODE	
			ИК	РК	0	1	0	1	0	1	0	1
CIC9102E	22	–	ОС	Л3	1,5	2,0	800	400	10		Р	
CIC9104E	22	–	ОС	Л3	1,5	2,0	800		10		Р	
CIC9145E	31	14	Л	Л2	2,0	1,5	800		10		Т	Р
CIC9192BE	17	–	ОС	ОС	1,5		800		10		Р	
ET40982	17	–	ОС	ОС	2,0	1,5	820		10		Р	
ET40992	17	–	ОС	ОС	1,5	2,0	800		10	20	Р	
FT58C51	32	–	ОС	ОС	1,5	2,0	800		10	20	Р	
HD970040D	17	–	ОС	ОС	2,0	1,5	820		10		Р	
HD970019-L	22	–	Л	Л	–		–		–		Т	
HM9100A1	17	–	ОС	ОС	1,5	2,0	800		10	20	Р	
HM9100B	17	–	ОС	ОС	1,5	2,0	800		10		Р	
HM9102	22	–	ОС	ОС	1,5	2,0	800		10		Т	Р
HM9110D	22	–	ОС	ОС	1,5	2,0	800		10		Т	Р
HM9112A	31	13	Л	Л2	2,0	1,5	800		10		Т	Р
HM9113A	31	13	Л	Л2	2,0	1,5	800		10		Т	Р
HM9121	22	20	Л	Л2	1,5	2,0	800		10		Т	Р
HM91650B	32	14	Л	ОС	1,5		800		10		Т	Р
HM9187	22	–	Л	Л	–		–		–		Т	
HT9102F	22	–	Л	Л1	1,5		800		10		Т	Р
HT9115B	32	14	Л	ОС	1,5		800		10		Т	Р
KS5804	17	–	ОС	ОС	2,0	1,5	820		10		Р	
KS5805A	17	–	ОС	ОС	1,5	2,0	800		10	20	Р	
KS5805B	17	–	ОС	ОС	1,5	2,0	800		10	20	Р	
KS58C05	17	–	ОС	ОС	1,5	2,0	800		10	20	Р	
KS58006	32	–	ОС	ОС	1,5	2,0	800		10		Т	Р
KS58C20N	22	–	ОС	ОС	1,5	2,0	830		10		Т	Р
KS5851	32	–	ОС	ОС	1,5	2,0	800		10	20	Р	
KS5853	17	–	ОС	ОС	1,5	2,0	800		10		Р	
LC7350	22	10	ОС	ОС	2,0	1,5	800	400	10	20	Р	
LR40981A	17	–	ОС	ОС	2,0	1,5	820		10		Р	
LR40992	17	–	ОС	ОС	1,5	2,0	800		10	20	Р	
LR40993	17	–	ОС	ОС	1,5	2,0	800		10	20	Р	
M2561AB	22	–	Л	Л1	2,0	1,5	800	400	10	20	Р	
MC145412P	22	–	Л	Л2	1,5		800		10		Т	Р
MK50981	17	–	ОС	ОС	2,0	1,5	820		10		Р	
MK5092N	22	–	Л	Л	–		–		–		Т	
MK50992N	17	–	ОС	ОС	1,5	2,0	800		10	20	Р	
MK50993	17	–	ОС	ОС	1,5	2,0	800		10	20	Р	

Тип ИС	ОЗУ знаков	Доп. ОЗУ номеров	Тип выхода		Выходные параметры ИК ИС при логическом состоянии входов							
					M/S		IPS		DRS		MODE	
			ИК	РК	0	1	0	1	0	1	0	1
MK5173AN	17	–	ОС	ОС	2,0	1,5	820		10		P	
S2560A	22	–	Л	Л1	2,0	1,5	800	400	10	20	P	
S25610	22	10	Л	Л1	2,0	1,5	800	400	10	20	P	
S7210A	22	10	ОС	ОС	2,0	1,5	800		10	20	P	
STC52560C	22	10	Л	Л2	2,0	1,5	800		10	20	P	
T40992	17	–	ОС	ОС	1,5	2,0	800		10	20	P	
T40993	17	–	ОС	ОС	1,5	2,0	800		10	20	P	
TC31006P	20	–	Л	Л1	2,0	1,5	600		10	20	P	
TR50581AN	17	–	ОС	ОС	2,0	1,5	820		10		P	
UM91210C	22	–	ОС	ОС	1,5	2,0	790		10		T	P
UM91260C	22	–	ОС	ОС	1,5	2,0	790		10		T	P
UM9151	22	–	ОС	Л3	1,5	2,0	740	560	10		P	
UM9151-3	22	–	ОС	Л3	1,5	2,0	740	560	10		P	
UM91610A	22	10	Л	Л1	2,0	1,5	800		10	20	P	
UM91611	22	10	Л	Л2	2,0	1,5	800		10	20	P	
VT91611	22	10	Л	Л2	2,0	1,5	800		10	20	P	
VT9145	31	14	Л	Л2	2,0	1,5	800		10		T	P
W9145	31	14	Л	Л2	2,0	1,5	800		10		T	P
WE9102	22	–	ОС	Л3	1,5	2,0	740	560	10		P	
WE9104	22	–	ОС	Л3	1,5	2,0	740	560	10		P	
WE9110	22	10	Л	Л2	2,0	1,5	800		10	20	P	
WE9192B	17	–	ОС	ОС	1,5		800		10		P	
КР1002ХЛ2	31	–	Л	Л1	1,5		800		10		P	
КР1008ВЖ1	22	–	Л	Л	1,5	2,0	800	700	10		P	
КР1008ВЖ5	22	10	Л	Л2	1,5	1,6	700	800	10	20	P	
КР1008ВЖ6	22	–	Л	Л2	2,0	1,5	800		10		T	P
КР1008ВЖ7	22	–	Л	Л2	1,5	1,6	700	800	10	20	P	
КР1008ВЖ10	32	–	ОС	ОС	1,5	2,0	800		10	20	P	
КР1008ВЖ11	17	–	ОС	ОС	1,5	2,0	800		10	20	P	
КС1008ВЖ12	22	–	Л	Л2	2,0	1,5	800	400	10	20	P	
КР1008ВЖ14	17	–	ОС	ОС	1,5		800		10		P	
КР1008ВЖ15	17	–	ОС	ОС	1,5		800		10	20	P	
КР1008ВЖ16	32	–	ОС	ОС	1,5	2,0	800		10		T	P
КР1008ВЖ17	22	–	ОС	Л3	1,5	2,0	740	560	10		P	
КР1064ВЖ5	22	10	Л	Л2	1,5	1,6	700	800	10	20	P	
КР1064ВЖ7	22	10	Л	Л2	1,5	1,6	700	800	10	20	P	
КР1083ВЖ3	22	–	Л	Л	1,5	2,0	800	700	10		P	
КР1089ВЖ1	22	10	Л	Л2	1,5	1,6	700	800	10	20	P	
КР1089ВЖ2	22	–	Л	Л	1,5	1,6	700	800	10		P	

2.6. НАЗНАЧЕНИЕ ВЫВОДОВ МИКРОСХЕМ НОМЕРОНАБИРАТЕЛЕЙ

C - вывод подключения RC-цепи генератора;
DRSA - дополнительный вход программирования частоты набора;
DRS - вход программирования частоты набора;
IDP - выход межцифровой паузы;
IPS - вход программирования длительности межцифровой паузы;
HF - вход управления режимом "HANDSFREE";
HFN - выход управления режимом "HANDSFREE";
HS - вход "отбой" (рычажный переключатель);
KS - выход "ключ подпитки";
MO - выход индикации способа набора;
MODE - вход выбора способа набора (импульсным или DTMF);
M/S - вход программирования импульсного коэффициента;
MUTE - маскирование микрофона;
NSA - выход разговорного ключа;
NSA1 - выход разговорного ключа 1;
NSA2 - выход разговорного ключа 2;
NSI - выход импульсного ключа;
OSC1 - вывод подключения кварцевого резонатора генератора;
OSC2 - вывод подключения кварцевого резонатора генератора;
OV - общий вывод (корпус);
OVS - общий вывод источника опорного напряжения;
R - вывод подключения RC-цепи генератора;
R1 - вывод подключения RC-цепи генератора;
R2 - вывод подключения RC-цепи генератора;
RC - вывод подключения RC-цепи генератора;
ST - вход режима управления памятью;
STL - выход индикации режима управления памятью;
TEST - вход тестирования микросхемы;
TON - выход звукового подтверждения нажатия клавиши;
TONE - выход двухтонального многочастотного сигнала (DTMF);
U - напряжение питания;
U1 - напряжение питания;
U2 - напряжение питания ОЗУ;
X0 ÷ X4 - координаты клавиатурных входов;
Y0 ÷ Y7 - координаты клавиатурных входов.

ИС HT9102F при "*высоком*" или "*низком*" логическом уровне на входе **MODE** (вывод 14), находится соответственно в импульсном (10 Гц) или частотном режиме набора номера. Если же этот вход находится в неподключенном состоянии, то набор номера осуществляется в импульсном режиме с частотой 20 Гц.

Микросхемы TC31006P и MV4320 имеют дополнительный вход выбора частоты набора - **DRSA**. Значение частоты набора в табл. 2.8 приведено при "*низком*" уровне на входе **DRSA**. Если на этот вход подать "*высокий*" уровень, то частота на выходе **NSI** увеличится в 16 раз.

Вход **TEST** в ИС ЭНН используется в процессе производства микросхемы для перевода в режим тестирования. При подключении в ТА на вход **TEST** необходимо подать "*высокий*" уровень или оставить его неподключенным.

На выходе **TONE** присутствует двухчастотный код (DTMF) при нажатой кнопке на наборном поле. Исключение представляет только ИС КР1008ВЖ6, у которой фиксирована длительность двухчастотной посылки (50 мс). ИС должна

при этом находиться режиме частотного набора номера ("*высокий*" уровень на входе **MODE**).

Выход **MUTE** предназначен для блокирования микрофона в режиме частотного набора номера. На этом выводе появляется высокий уровень при нажатой кнопке набора номера. В микросхемах HM91650D, HT9115B и HT9102F выход MUTE отсутствует и в режиме набора номера частотным кодом при нажатии кнопки на наборном поле на выходе **NSA** появляется "*низкий*" уровень.

В исходном состоянии входы **HF** и **ST** не подключены. На выходах **HFN** и **STL** - "*низкий*" уровень.

Вход **HF** (HANDS FREE) предназначен для перевода ИС в режим управления "**громкой связью**" путем кратковременной подачи на этот вход "*высокого*" уровня. При этом на выходе **HFN** устанавливается "*высокий*" уровень, который переводит схему телефона в режим "**громкой связи**". Причём перевести ИС в режим "**громкой связи**" можно независимо от того, какой уровень на входе **HS**. В этом режиме можно осуществлять набор номера при любом уровне на входе **HS**. При повторной подаче на вход **HF** "*высокого*" уровня (или уровня, противоположного тому, который присутствовал на входе **HS**) на выходе **HFN** восстанавливается "*низкий*" уровень.

Вход **ST** предназначен для перевода ИС в режим управления памятью путем кратковременной подачи на этот вход "*низкого*" уровня. При этом на выходе **STL** устанавливается "*высокий*" уровень. В этом режиме при нажатии кнопок клавиатуры набора номера не происходит, но набранный номер заносится в ОЗУ микросхемы. При повторной подаче на вход **ST** "*низкого*" уровня (или "*высокого*" уровня на вход **HS**) на выходе **STL** восстанавливается "*низкий*" уровень и разрешается набор номера.

2.7. НАЗНАЧЕНИЕ КНОПОК КЛАВИАТУРЫ В ТА С ДОПОЛНИТЕЛЬНЫМИ ФУНКЦИОНАЛЬНЫМИ ВОЗМОЖНОСТЯМИ

На рис. 2.14 + 2.17 приведены схемы подключения клавиатуры в ИС ЭНН с дополнительными функциональными возможностями. Рассмотрим назначение дополнительных кнопок.

A, B, C и D - кнопки заказа дополнительных услуг на ЭАТС в частотном режиме набора номера.

M1, M2, M3 и M4 - кнопки прямого доступа к дополнительной памяти. Обычно на телефонах их обозначают как **FIRE, POLICE, DOCTOR и SAVE**.

FLASH - кнопка нормированного обрыва линии. При нажатии на эту кнопку на выходе **NSI** микросхемы номеронабирателя появляется низкий уровень на время 600 мс. Фактически это кнопка "отбой".

PAUSE - если эта кнопка нажата после любой цифровой кнопки, то по обработке цифры, соответствующей этой кнопке, межсерийная пауза будет увеличена на 3 с.

REDIAL - кнопка повтора последнего набранного номера. Её нужно нажимать после снятия режима "отбой". Если она нажата во время набора номера после любой цифровой кнопки, то будет выполнена функция кнопки **PAUSE**.

SAVE - кнопка записи последнего набранного номера в дополнительную память.

STORE - кнопка записи номера в дополнительную память.

AUTO - кнопка вызова номера из дополнительной памяти. На некоторых ТА эта кнопка имеет обозначение **RECALL**.

P/T - кнопка переключения в режим частотного (TONE) набора номера. Для возврата в режим импульсного (PULSE) набора номера необходимо нажать рычажный переключатель или кнопку **FLASHE**.

2.8. ПОРЯДОК ПРОГРАММИРОВАНИЯ ИС ЭНН С ДОПОЛНИТЕЛЬНОЙ ПАМЯТЬЮ НА 10 НОМЕРОВ

Отбой - (*) и (#) одновременно.
Повтор - (#), (#).
Стирание номера из ячейки памяти N (N=0...9) - (*), (#), (*), (N).

Запись номера в память.
1) Снять трубку.
2) Нажать кнопку (*).
3) Набрать номер телефона (например, 495-27-74).
4) Нажать кнопку (*).
5) Нажать цифру на клавиатуре (0...9).

Выбор номера из памяти.
1) Снять трубку.
2) Нажать кнопку (#).
3) Нажать цифру на клавиатуре, под которой хранится номер в ОЗУ.

2.9. ПОРЯДОК ПРОГРАММИРОВАНИЯ ИС ЭНН С ДОПОЛНИТЕЛЬНОЙ ПАМЯТЬЮ БОЛЕЕ 10 НОМЕРОВ

Запись номера в память.
1) Снять трубку.
2) Нажать кнопку STORE.
3) Набрать номер телефона (например, 495-27-74).
4) Нажать кнопку STORE.
5) Нажать цифру на клавиатуре (0...9) или одну из дополнительных кнопок (FIRE, POLICE, DOCTOR, или SAVE), предназначенных для хранения номеров в ОЗУ.

Выбор номера из памяти (вариант 1).
1) Снять трубку.
2) Нажать одну из дополнительных кнопок, под которой хранится номер в ОЗУ.

Выбор номера из памяти (вариант 2).
1) Снять трубку.
2) Нажать кнопку AUTO (RECALL).
3) Нажать цифру на клавиатуре (0...9).

2.10. ПОРЯДОК РАБОТЫ С ПАМЯТЬЮ ОТЕЧЕСТВЕННОЙ ИС КР1008ВЖ5

(#)	отбой
(*), (*)	повтор последнего набранного номера
(*), (#), (#), (N)," запоминаемый номер", (#), (#)	занесение первого номера в ячейку памяти N (N=0...9)
(*), (#), (#), (N), (#), "запоминаемый номер", (#), (#)	занесение второго номера в ячейку памяти N
(*), (#), (#), (*), (#), (N)	полная очистка ячейки памяти N
(*), (N)	набор первого номера из ячейки памяти N
(*), (#), (N)	набор второго номера из ячейки памяти N

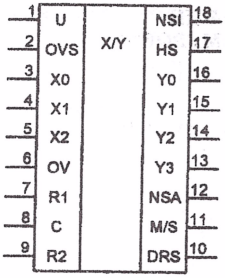

а)

ET40992 KS5851
FT58C51 LR40992
HM9100A1 MK50992N
KS5805A T40992
KS58C05 КР1008ВЖ10
KS58D05 КР1008ВЖ11

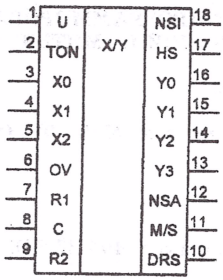

б)

CIC9193
KS5805B
LR40993
MK50993
T40993

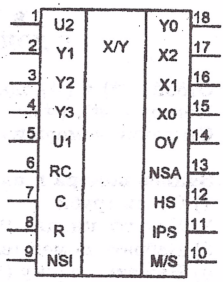

в)

CIC9102E
UM9151
WE9102

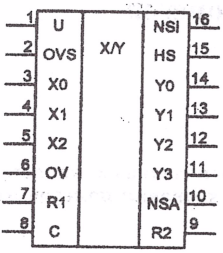

г)

CIC9192BE
WE9192B
КР1008ВЖ14

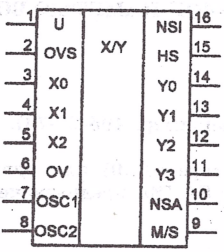

д)

ET40982 MK5173AN
HD970040D MK50981
KS5804 TR50981AN
LR40981A

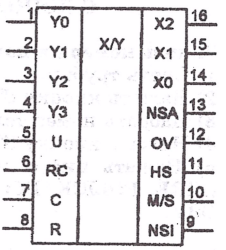

е)

CIC9104E
FT9151-3
UM9151-3
WE9104
КР1008ВЖ17

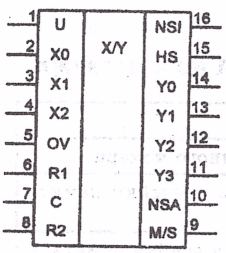

ж)

HM9100B
KS5853

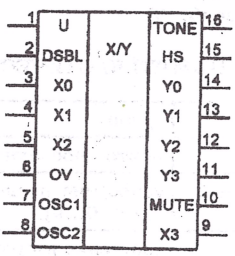

з)

HM9187 MK5085
KS5808 MK5089
MK5092N HD970019-L

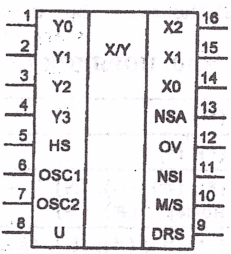

и)

S7210A

Рис. 2.10. Цоколёвки ИС ЭНН.

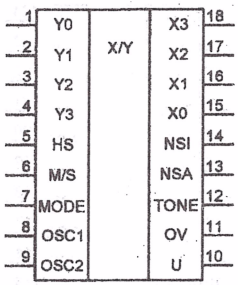

а)

HM9102 UM91210C
HM9110D UM91260C
KS58006 KP1008ВЖ16
KS5820 KP1091ВЖ1
KS58C20N

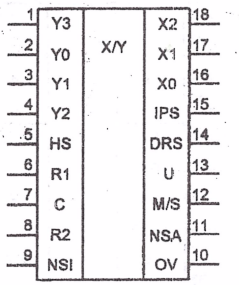

б)

LC7350 WE9110
M2561AB STC52560C
UM91611 S2560A
VT91611 S2561O

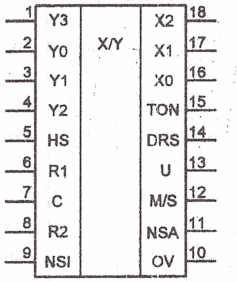

в)

UM91610A

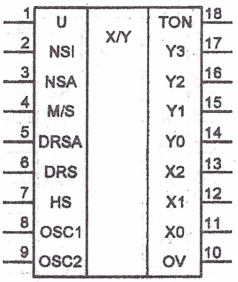

г)

MV4320
TC31008P

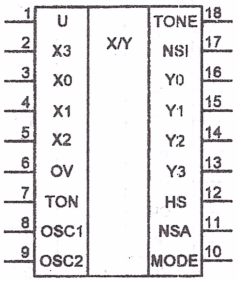

д)

MC145412P

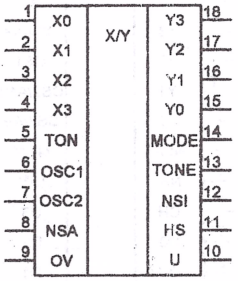

е)

HT9102F

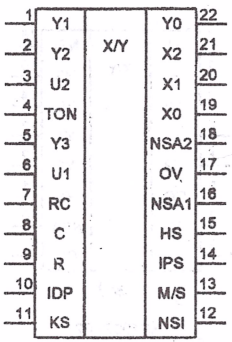

ж)

КР1008ВЖ1

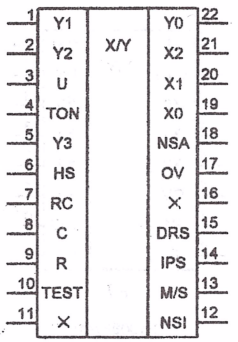

з)

КР1008ВЖ5 КР1064ВЖ5
КР1008ВЖ7 КР1064ВЖ7

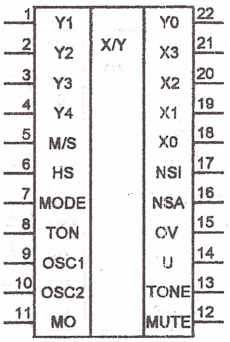

и)

КР1008ВЖ6

Рис. 2.11. Цоколёвки ИС ЭНН.

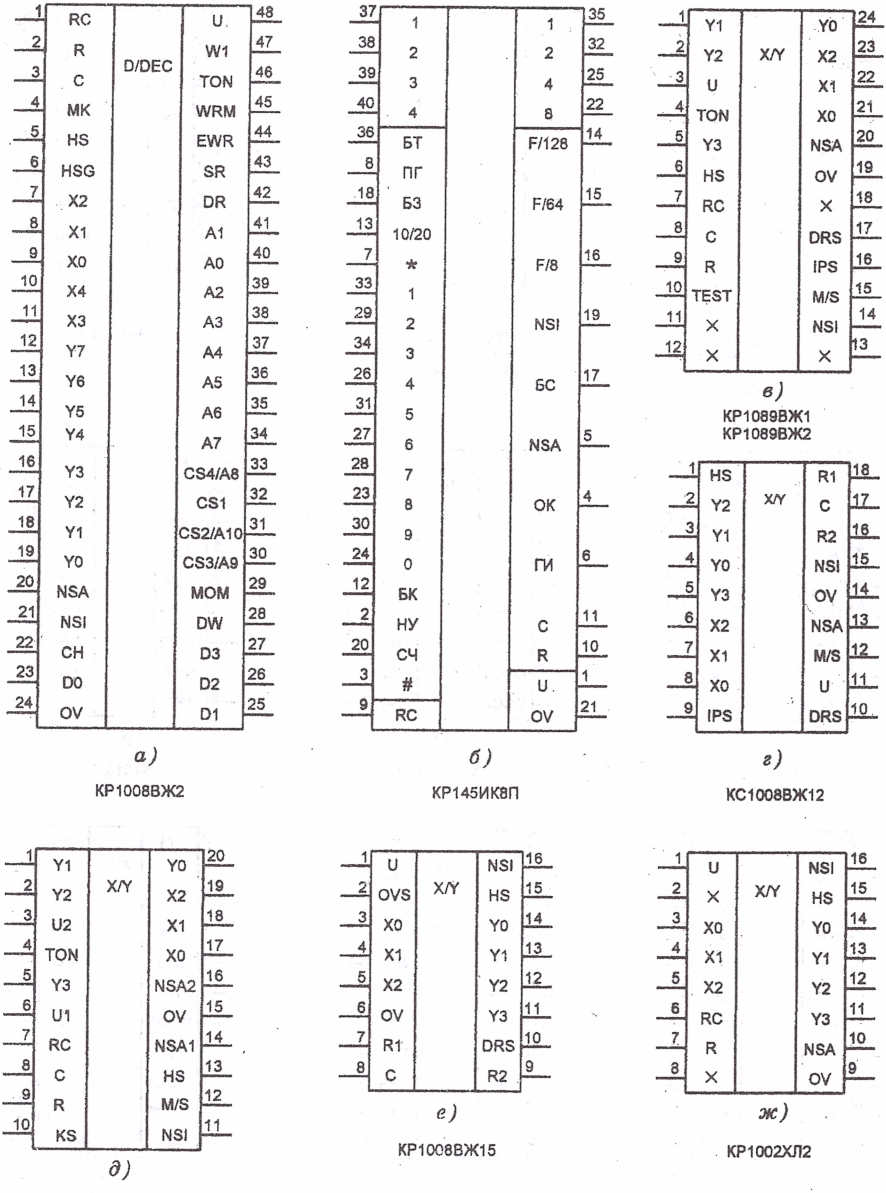

Рис. 2.12. Цоколёвки ИС ЭНН.

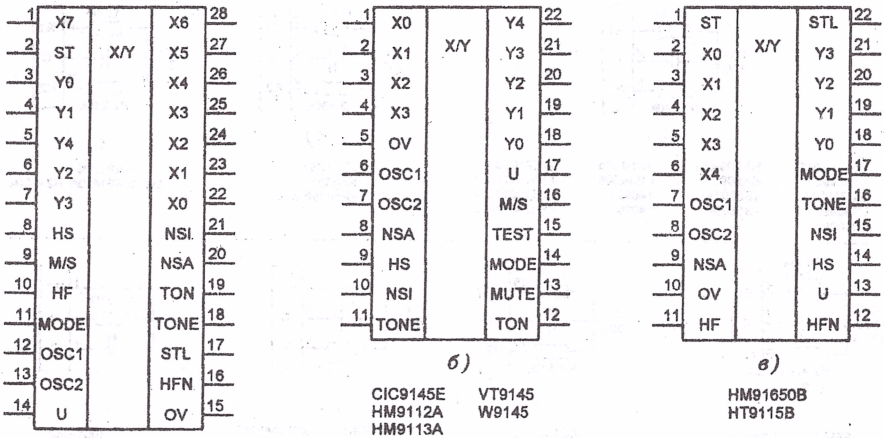

Рис. 2.13. Цоколёвки ИС ЭНН.

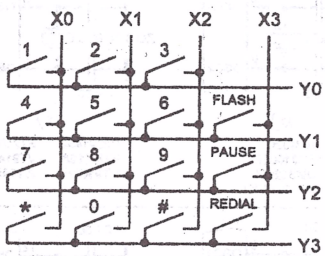

Рис. 2.14. Подключение клавиатуры ИС КР1008ВЖ16.

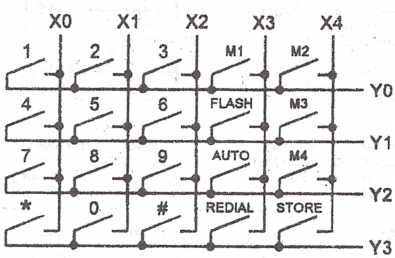

Рис. 2.15. Подключение клавиатуры ИС НМ91650В и НТ9115В.

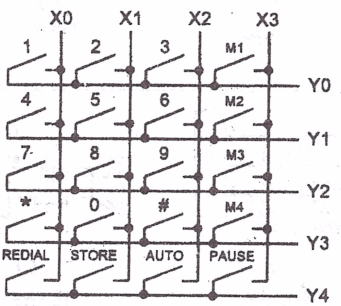

Рис. 2.16. Подключение клавиатуры ИС CIC9145E, VT9145 и W9145.

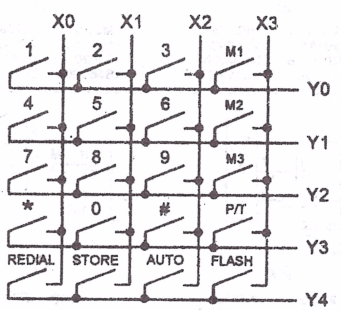

Рис. 2.17. Подключение клавиатуры ИС НМ9112А и НМ9113А.

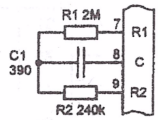

а)

CIC9192BE, ET40992, HM9100A1, LR40992, LR40993
MK50992N, MK50993, KS5805A, KS5805B
KS58C05, KS58D05, T40992, T40993
WE9192B, KP1008ВЖ11, KP1008ВЖ14, KP1008ВЖ15

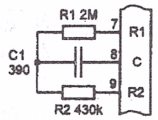

б)

FT58C51, KS5851, KP1008ВЖ10

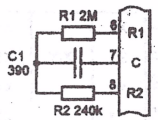

в)

HM9100B
для UM91610A R2=390k

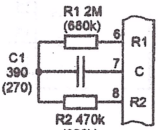

г)

KS5853, M2561AB, STS52560C, S2580A
S25610, UM91611, VT91611, WE9110

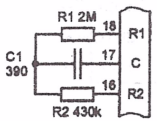

д)

КС1008ВЖ12

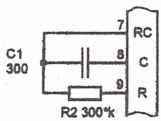

е)

КР1008ВЖ5, КР1008ВЖ7, КР1064ВЖ5
КР1064ВЖ7, КР1089ВЖ1, КР1089ВЖ2

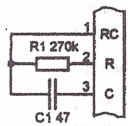

ж)

КР1008ВЖ2

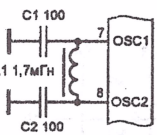

з)

ET40982, HD970040D, KS5804, LR40981A
MK50981, MK5173AN, TP50981N

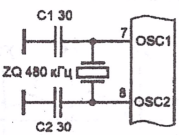

и)

ET40982, HD970040D, KS5804, LR40981A
MK50981, MK5173AN, TP50981N

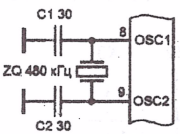

к)

MV4320, TC31006P, UM91260C, КР1091ВЖ1

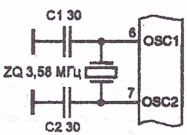

л)

CIC9145E, HM9112A, HT9102F
S7210A, VT9145, W9145

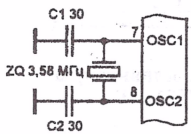

м)

HD970019-L, HM9187, HM91650B, HT9115B
MK5085, MK5092N, MK5380N, TC35300AP

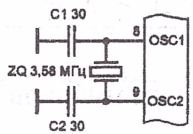

н)

HM9102, HM9110D, KS5820, KS58C20N
LC7360, MC145412P, UM91210C, КР1008ВЖ16

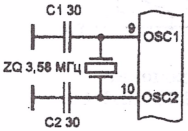

о)

LC7363
КР1008ВЖ8

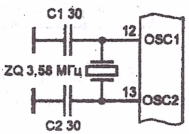

п)

HM9121

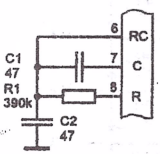

р)

CIC9102E, CIC9104E, FT9151-3, КР1008ВЖ17
UM9151, UM9151-3, WE9102, WE9104

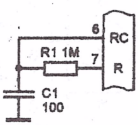

с)

КР1002ХЛ2

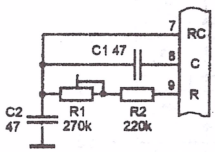

т)

КР1008ВЖ1, КР1083ВЖ3

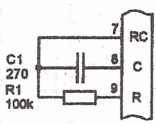

у)

КР1008ВЖ1, КР1083ВЖ3

Рис. 2.18. Подключение времязадающих элементов генераторов ИС ЭНН.

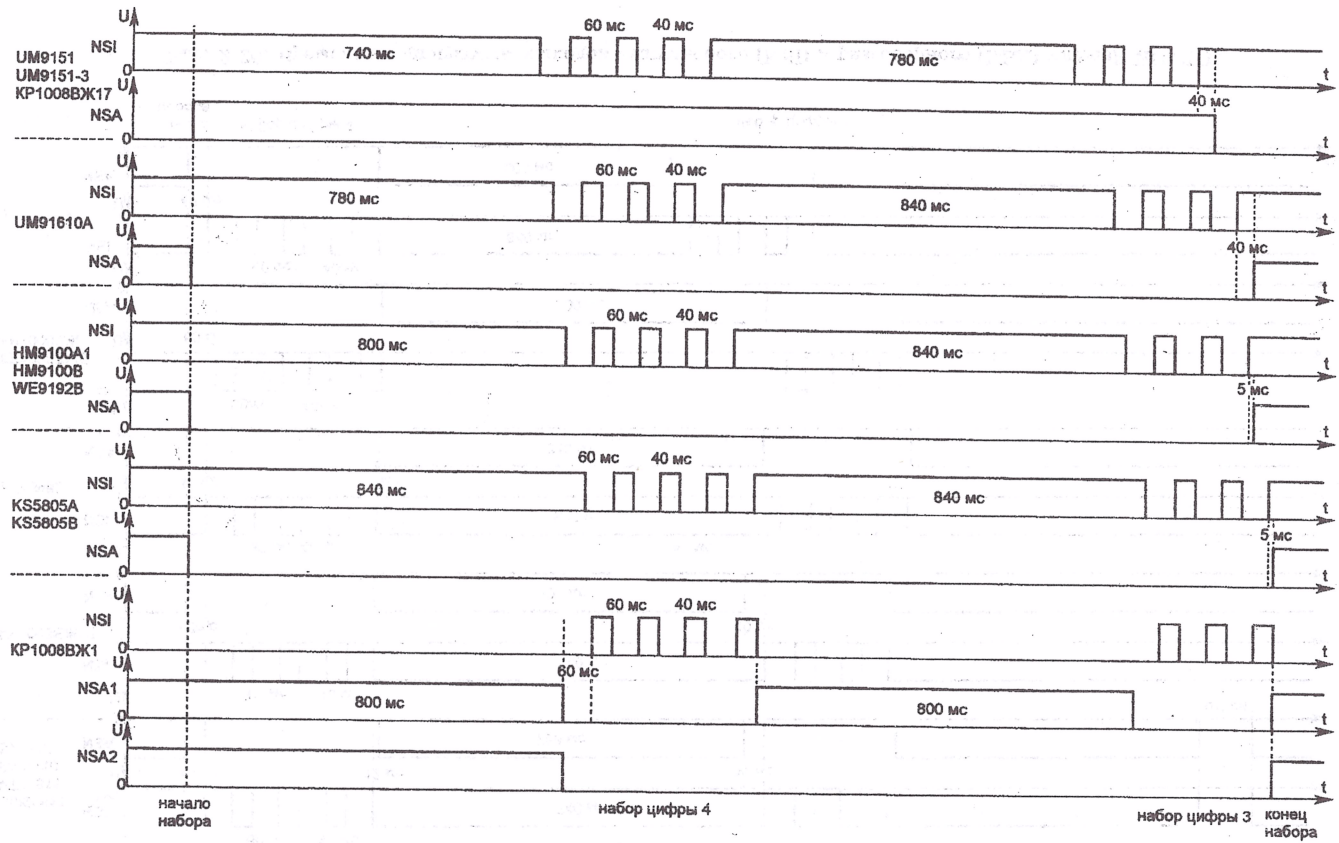

Рис. 2.19. Временные диаграммы выходов импульсного (NSI) и разговорного (NSA) ключей ИС ЭНН.

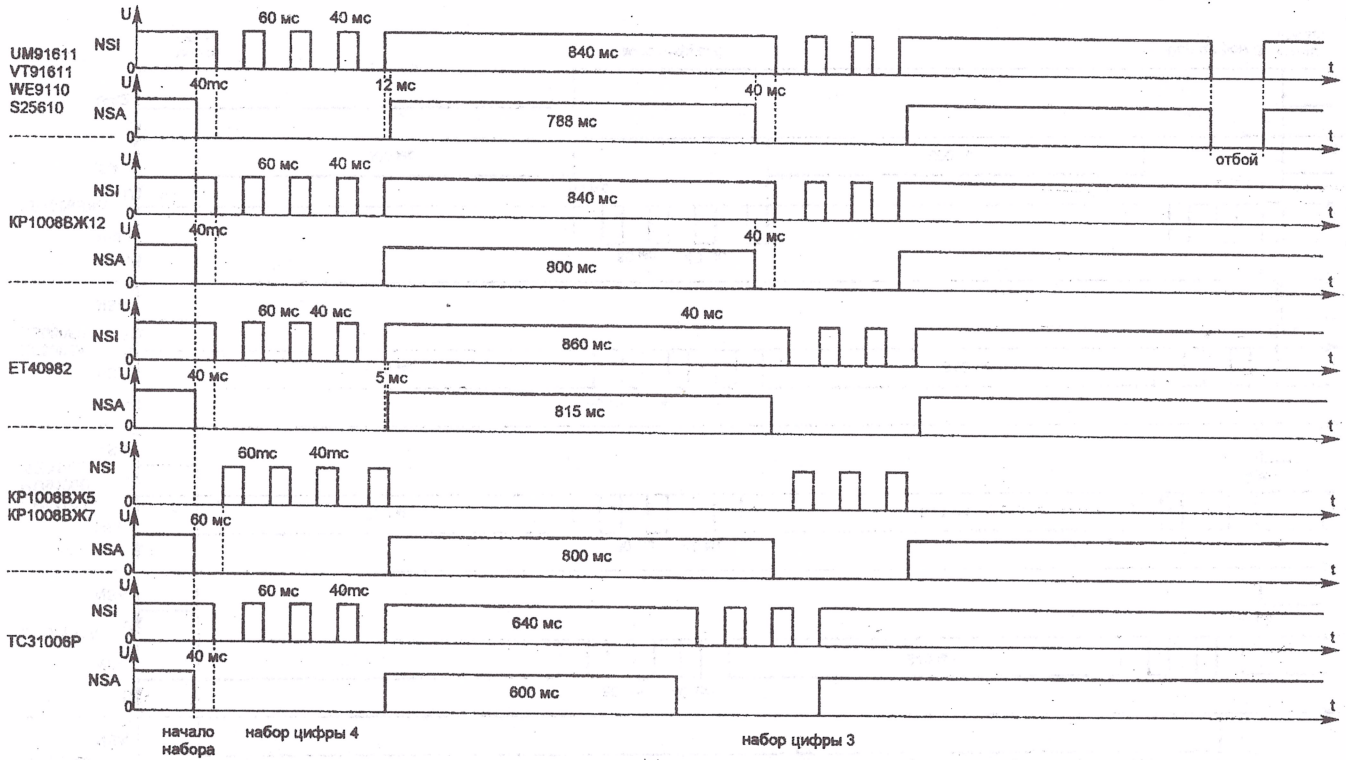

Рис. 2.20. Временные диаграммы выходов импульсного (NSI) и разговорного (NSA) ключей ИС ЭНН.

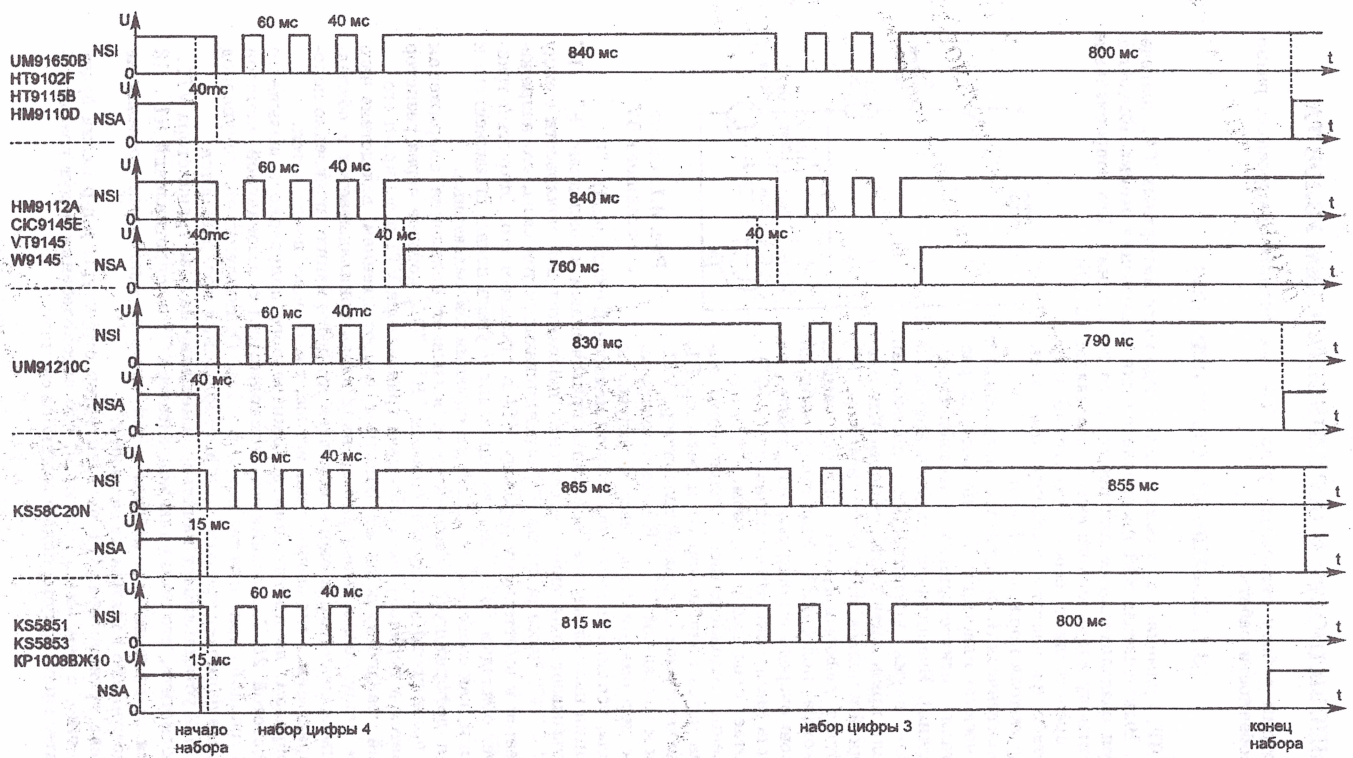

Рис. 2.21. Временные диаграммы выходов импульсного (NSI) и разговорного (NSA) ключей ИС ЭНН.

3. РАЗНОВИДНОСТИ И ОСОБЕННОСТИ СХЕМ УЗЛОВ ТА

Рассмотрим работу отдельных узлов ТА, их схемное построение, разновидности и особенности работы.

3.1. ВЫЗЫВНОЕ УСТРОЙСТВО (ВУ)

Схема ВУ, применяемая в большинстве недорогих импортных ТА, приведена на рис. 3.1. Выключатель SA1 предназначен для отключения звонка. Конденсатор С1 является разделительным для постоянного тока линии. Его сопротивление переменному сигналу индукторного вызова составляет 12 кОм.

Схема представляет собой мультивибратор, который работает на частоте резонанса пьезоэлектрического излучателя порядка 3,5 кГц.

Пьезоэлектрический излучатель представляет собой металлическую пластину "B", на которой размещен кристалл искусственного пьезоэлектрика (двуокись кремния). Внешняя поверхность кристалла металлизирована двумя контактными плоскостями "R" и "G" . Если приложить напряжение между пластиной - B и одной из плоскостей металлизации - "R", то кристалл будет деформироваться и, тем самым, создавать звуковые колебания. Упругие колебания кристалла в свою очередь генерируют напряжение на гранях кристалла (на плоскости металлизации - "G").

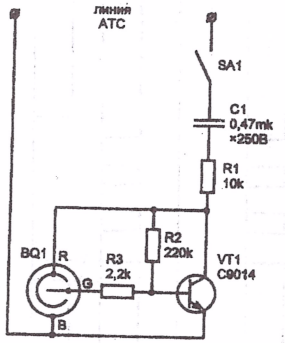

Рис. 3.1. Схема простейшего ВУ.

ВУ работает следующим образом.

Напряжение положительного полупериода вызывного сигнала через конденсатор С1 и резистор R1, являющийся коллекторной нагрузкой транзистора VT1, прикладывается к обкладкам "B" - "R" пьезоэлектрика, что приводит к деформации последнего и излучению звукового сигнала, усиливаемого металлической мембраной (обкладкой) - "B".

Деформация пьезоэлектрика, вызванная приложенным к обкладкам "B" - "R" напряжением, вызывает появление напряжения положительной полярности между обкладками "B" - "G". Через резистор R3, ограничивающий ток базы, это напряжение прикладывается к эмиттерному переходу VT1 и открывает его. Открытый транзистор шунтирует обкладки "B" - "R", что приводит к уменьшению приложенного к ним напряжения и, как следствие, обратной деформации пьезоэлектрика.

Обратная деформация пьезоэлектрика вызывает появление напряжения отрицательной полярности между обкладками "B" - "G", которое через резистор R3 прикладывается к переходу эмиттер - база транзистора VT1 и запирает его.

Закрытый транзистор обладает большим сопротивлением, вследствие чего практически все напряжение вызывного сигнала вновь прикладывается к обкладкам "B" - "R" пьезоэлектрика и вновь вызывает его деформацию, появление положительного напряжения, открывание транзистора, т.е. процесс повторяется.

Таким образом, на протяжении положительного полупериода вызывного сигнала АТС частотой 25 Гц, возникают автоколебания с резонансной частотой пьезоэлектрика равной приблизительно 3,5 кГц. Отрицательный полупериод вызывного сигнала запирает транзистор и автоколебания прекращаются.

Резистор R2 устанавливает начальное смещение на базе транзистора VT1.

Следует отметить, что номиналы конденсатора С1 и сопротивлений R1 + R3 могут отличаться от приведенных на схеме, так как в определенных пределах не оказывают существенного влияния на ее работу.

При замене транзистора VT1 на транзистор структуры p-n-p схема будет работать аналогично, с тем лишь отличием, что автоколебания будут возникать во время отрицательного полупериода вызывного сигнала.

Если на входе вызывного устройства установить диодный мост VD1 + VD4 (рис. 3.2), то генератор будет работать при обоих полупериодах вызывного сигнала, что приведет к увеличению громкости звучания. Стабилитрон VD5 с напряжением стабилизации порядка 36 + 47 В устраняет подзвонку пьезоэлектрического излучателя при наборе номера, т.к. для величины напряжения коммутации линии он представляет значительное сопротивление, в то время как для вызывного сигнала он препятствия практически не оказывает. В спаренном телефоне это устраняет непрерывное пощелкивание.

Необходимо убедиться в том, что пластина пьезоэлектрического излучателя не стеснена (сжата) элементами её крепления или другими деталями ТА, что может привести к снижению громкости ВУ.

Увеличить громкость пьезоизлучателя можно также путём увеличения площади центрального электрода "G" в 2 + 3 раза, сделав прорезь на металлизированной поверхности электрода "R" и соединив отделённую часть с электродом "G".

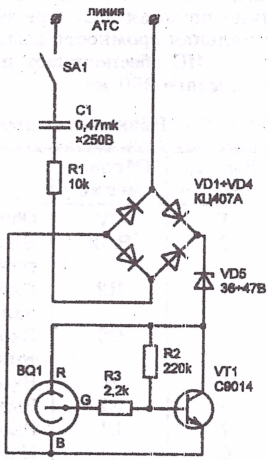

Рис. 3.2. Доработанная схема ВУ.

В отечественных ТА в качестве ВУ часто используется схема на специализированной ИС КР1008ВЖ4, которую производит концерн "РОДОН" в г. Ивано-Франковске. Микросхема позволяет воспроизводить три различные мелодии вызывного сигнала с соотношениями частот: 5/6; 4/5; 4/6/5.

Основные электрические параметры ИС КР1008ВЖ4:

-*напряжение питания* Ucc = 6 + 15 В.

-*ток потребления* Icc - не более 50 мкА (при Ucc = 6 В),
- не более 100 мкА (при Ucc = 15 В).

Микросхема требует внимательного обращения, так как допустимое значение статического потенциала составляет 30 В.

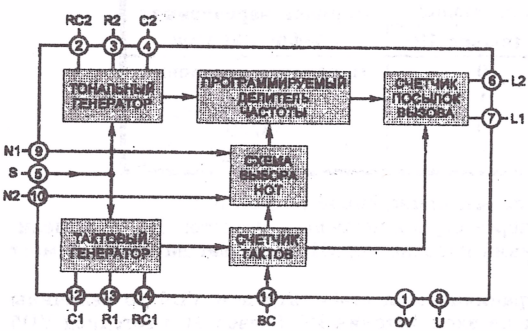

Рис. 3.3. Структурная схема ИС КР1008ВЖ4.

Структурная схема ИС представлена на рис. 3.3, назначение выводов в таблице 3.1.

Программируемый делитель частоты имеет три фиксированных коэффициента деления: 20, 24, 30. Порядок чередования этих коэффициентов определяется подачей двухразрядного двоичного кода на входы N1 и N2 (табл. 3.2), а скорость чередования устанавливается **тактовым генератором**. Высота звука вызывного сигнала определяется опорной частотой **тонального генератора**.

Выходной сигнал, формируемый на выходах L1 и L2, при соответствующей схеме включения нагрузки обеспечивает ступенчатое нарастание уровня громкости. Первая посылка - малый уровень, вторая посылка - средний, третья и последующие посылки - максимальный. Данный режим обеспечивается благодаря тому, что во время первой посылки на выводах L1 и L2 формируются противофазные сигналы, во время второй - сигнал присутствует только на выводе L2 (на L1 - уровень логической 1), во время третьей - противо-

фазные сигналы. Вход S (вывод 5) при этом необходимо подключить к нулевой шине питания ИС. При соединении его с положительной шиной (вывод 8) максимальная громкость вызывного сигнала будет присутствовать во всех посылках.

ИС обеспечивает подавление импульсных помех по входу ВС длительностью менее 250 мс.

Табл. 3.1. Назначение выводов микросхемы КР1008ВЖ4.

Вывод ИС	Обозначение	Назначение
1	OV	Общий вывод.
2	RC2	Вход подключения времязадающих элементов тонального генератора.
3	R2	Вход подключения резистора, задающего частоту тонального генератора.
4	C2	Вход подключения конденсатора, задающего частоту тонального генератора.
5	S	Вход управления уровнем громкости посылок вызова.
6	L2	Выход звуковой частоты.
7	L1	Выход звуковой частоты.
8	U	Напряжение питания.
9	N1	Вход программирования мелодии вызывного сигнала.
10	N2	Вход программирования мелодии вызывного сигнала.
11	BC	Вход разрешения запуска.
12	C1	Вход подключения конденсатора, задающего частоту тактового генератора.
13	R1	Вход подключения резистора, задающего частоту тактового генератора.
14	RC1	Вход подключения времязадающих элементов тактового генератора.

Табл. 3.2. Программирование мелодии вызывного сигнала.

Логический уровень на входах		Порядок чередования коэффициентов
N1 (вывод 9)	N2 (вывод 10)	
0	0	Начальная установка
0	1	20/24
1	0	24/30
1	1	20/30/24

Рассмотрим работу ВУ по схеме, приведенной на рис. 3.4.

Сигнал вызова абонента через ограничивающий резистор R1 и разделительный для постоянного тока линии конденсатор C1 поступает на диодный мост VD1 ÷ VD4.

Выпрямленный сигнал ограничивается стабилитроном VD6 до величины 10 В и через диод VD7 поступает на вход питания ИС (вывод 8). Светодиод VD5 не является обязательным элементом схемы и предназначен для оптического дублирования вызывного сигнала.

Наличие напряжения *"высокого"* уровня на выводе 11 ИС разрешает запуск тонального и тактового генераторов.

Интегрирующая цепь R5, C6 в момент прихода первого вызывного сигнала формирует *"низкий"* уровень на выводе 10 ИС, осуществляя этим начальную установку микросхемы.

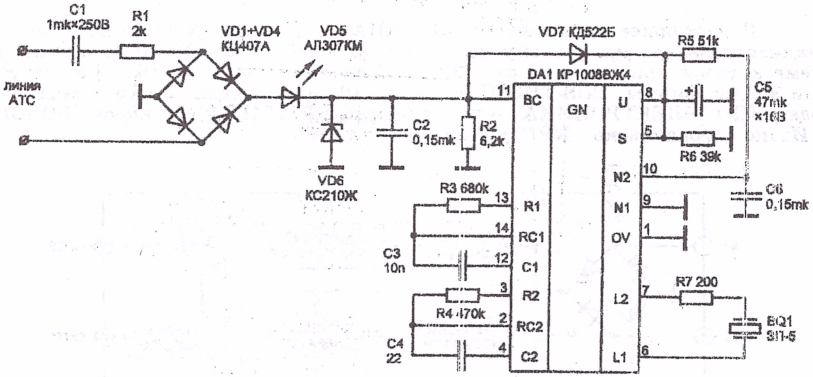

Рис. 3.4. Схема вызывного устройства на ИС КР1008ВЖ4.

По окончании зарядки конденсатора С6 на выводах 9 и 10 ИС устанавливается код (N1 - "0", N2 - "1"). Этот код соответствует выбору коэффициентов деления 24 и 20 (см. табл. 3.2) программируемого делителя частоты, который будет изменять их с частотой тактового генератора (10 Гц), формируя на выводах 6 и 7 ИС два чередующихся сигнала с соотношением частот 5/6. При номиналах, указанных в схеме опорная частота тонального генератора равна 51 кГц.

Подключенный к выводам 6 и 7 ИС пьезоэлектрический излучатель сформирует двухтональный сигнал вызова.

По окончании первой посылки вызывного сигнала диод VD7 запирается, что предотвращает разряд конденсатора С5, поддерживающего питание ИС до следующей посылки. Время между двумя последовательными посылками вызова составляет 4 с.

По окончании вызывного сигнала конденсатор С5 разряжается через резистор R5. Кондэнсатор С2 защищает ВУ от импульсных помех.

Схема, приведенная на рис. 3.5, позволяет изменять код на входах N1 и N2 в соответствии с таблицей 3.2, выбирая переключателями SA1 и SA2 тональность вызывного сигнала. Схема включения нагрузки позволяет также обеспечить ступенчатое нарастание уровня громкости. Общий уровень громкости регулируется потенциометром R9.

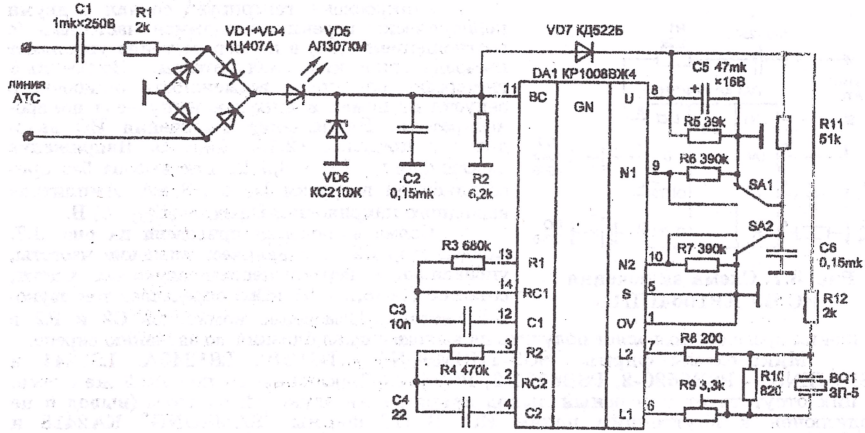

Рис. 3.5. Схема ВУ на ИС КР1008ВЖ4 с программированием мелодии вызывного сигнала и ступенчатым нарастанием уровня громкости.

В настоящее время АО "СВЕТЛАНА" в г. С-Петербурге выпускает специализированную микросхему вызывного устройства КР1064ПП1, структурная схема которой приведена на рис. 3.6, назначение выводов в табл. 3.3. Зарубежный аналог фирмы "SGS-THOMSON" - L3240. Аналогичные микросхемы производят НПО "ЭЛЕКТРОНИКА" в г. Воронеже - КР1091ГП1 и концерн "РОДОН" в г. Ивано - Франковске - КР1085ПП1.

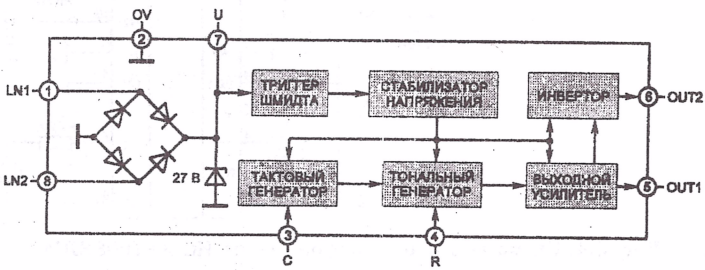

Рис. 3.6. Структурная схема ИС КР1064ПП1.

Табл. 3.3. Назначение выводов ИС КР1064ПП1, КР1091ГП1, КР1085ПП1.

Вывод ИС	Обозначение	Назначение
1	LN1	Вход напряжения переменного тока.
2	OV	Общий вывод.
3	C	Вывод подключения конденсатора, управляющего переключениями частот. fпер. = 750/C(нФ).
4	R	Вывод подключения резистора, управляющего тоном звуковой частоты. $f_1 = 3{,}56\times10^4/R$(кОм); $f_2 = f_1/1{,}38$.
5	OUT1	Выход напряжения звуковой частоты.
6	OUT2	Инверсный выход напряжения звуковой частоты.
7	U	Напряжение питания. (U_{CC} < 32 В).
8	LN2	Вход напряжения переменного тока.

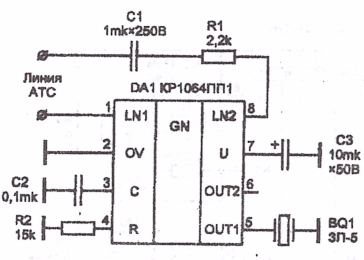

Рис. 3.7. Схема включения ИС ВУ КР1064ПП1.

Микросхема генерирует сигнал с двумя периодически переключающимися частотами (с соотношением 1,38) и непосредственно управляет пьезоэлектрическим излучателем. Встроенный гистерезис блокирует возможность ошибочного запуска от помех в линии и импульсов номеронабирателя. Напряжение включения ИС находится в пределах 12,1 ÷ 13,1 В. Напряжение выключения - 7,9 ÷ 8,9 В. Ток вызова без присоединённой нагрузки Icc ≤ 1,8 мА. Амплитуда выходного напряжения Uвых. = (U_{CC} - 5) В.

Схема включения приведена на рис. 3.7. Конденсатор C2 устанавливает значение частоты, управляющей переключением звуковых частот, резистор R2 (8,2 ÷ 56 кОм) определяет тон звуковой частоты. Изменение номиналов C2 и R2 в широких пределах позволяет получить на выходе сигнал близкий по звучанию сирене.

Микросхемы фирмы "SGS-THOMSON" - LS1240, LS1240A, LS1241 и "SIEMENS" - PSB6520-2, PSB6521-2, PSB6523-T включаются по такой же схеме. У них отсутствует инверсный выход напряжения звуковой частоты (вывод 6 не подключен к внутренним цепям ИС. В ИС фирмы "SAMSUNG" KA2418 и KA2428 можно снизить напряжение включения до 8 ÷ 10 В, подключив резистор (порядка 1 кОм) с вывода 6 (вход установки напряжения включения) на общий вывод. Напряжение выключения - 8 ÷ 8,8 В.

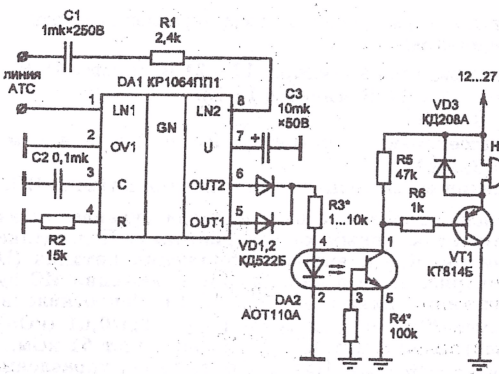

Рис. 3.8. Схема преобразования сигнала индукторного вызова в звуковой сигнал увеличенной громкости.

ИС КР1064ПП1 можно использовать в схеме звонка для слабослышащих (рис. 3.8). Дополнительное напряжение 12 ÷ 27 В необходимо для питания звонка. При поступлении сигнала индукторного вызова на прямом и инверсном выходах ИС КР1064ПП1 появляются прямоугольные импульсы и на катодах диодов VD1, VD2 формируется постоянное напряжение длительностью сигнала индукторного вызова. Загорается светодиод транзисторного оптрона DA2 АОТ110А, открывается транзистор оптрона, транзистор VT1 и звенит звонок. Вместо звонка можно использовать лампу накаливания или и то и другое вместе. Защитный диод VD3, включенный параллельно звонку, при использовании лампочки не нужен. Резистор R5 снимает остаточный заряд базы. Это необходимо для более быстрого переключения транзистора оптрона. Если вывод 6 ИС КР1064ПП1 отключить, то необходимо добавить конденсатор ёмкостью 1 мкФ между выводами 1 и 5 оптрона. Диоды VD1 и VD2 в этом случае следует исключить.

Если применяется звонок, который потребляет ток менее 200 мА, его следует подключить непосредственно к выводу 1 оптрона и плюсу питания. Хороший эффект можно получить, применив небольшое звуковое устройство, используемое в автомобильной сигнализации.

Вместо оптрона АОТ110А ($I_{К\ max}$ = 200 мА, $U_К$ = 30 В) можно использовать АОТ127А ($I_{К\ max}$ = 70 мА, $U_К$ = 30 В). Возможны различные варианты с использованием реле постоянного тока вместо транзистора VT1 и резисторов R6 и R7. Для подключения лампы на напряжение 220 В можно применить оптоэлектронное реле 5П19Т производства АО "ПРОТОН-ОПРОЭЛЕКТРОНИКА", г. Орёл (схема рис. 3.9).

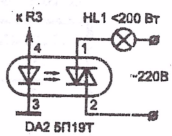

Рис. 3.9.

Фирма "SIEMENS" выпускает специальную ИС детектора сигнала индукторного вызова PSB6620, а "SGS-THOMSON" - LB1006. Их описание будет приведено следующем издании справочника.

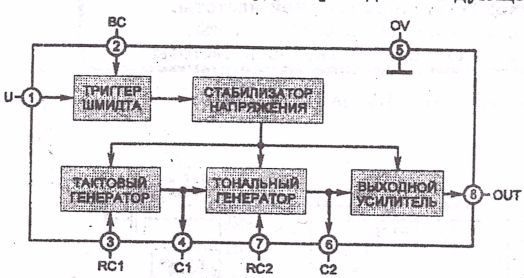

Рис. 3.10. Структурная схема ИС ВУ КР1436АП1 и её аналогов.

НПО "ИНТЕГРАЛ" в г. Минске производит микросхемы вызывного устройства КР1436АП1 (аналог КА2410) и КР1436АП2 (аналог КА2411). В экспортном исполнении эти ИС маркируются как FT2410 и FT2411.

Структурная схема этих микросхем приведена на рис. 3.10, назначение выводов - в табл. 3.4. Микросхемы генерируют сигнал с двумя периодически переключающимися частотами с соотношением 1,25.

Микросхемы для ВУ, выпускаемые многими фирмами, можно разделить на две основные группы:

1) КР1436АП1, FT2410, КА2410, ML8204, CS8204, DBL5001, TA31001, KIA6401P, T5876H, TA3100P;

2) КР1436АП2, FT2411, КА2411, ML8205, BA8205, CS8205, DBL5002, TA31002P, CIC9106A, WTC9106.

Эти группы микросхем отличаются назначением входа управления (вывод 2). Основные характеристики у них одинаковы:

- Напряжение включения ИС находится в пределах 17 ÷ 21 В (типовое 18 В).
- Напряжение выключения - 9,7 ÷ 12 В (типовое 11 В).
- Напряжение питания $U_{CC} \leq 29$ В.
- Ток потребления без присоединённой нагрузки Icc = 1,4 ÷ 4,2 мА (типовой ток потребления 2,5 мА).
- Размах выходного напряжения равен величине напряжения питания ИС.

Для первой группы: При неподключенном выводе входа управления напряжение включения ИС соответствует основным характеристикам. Подсоединением входа управления через резистор R_{BC} к выводу напряжения питания (U) можно отключить триггер Шмидта (рис. 3.10) и напряжение включения ИС будет приблизительно равно напряжению отключения (9 ÷ 12 В). Сопротивление резистора R_{BC} должно быть не менее 20 кОм и не более $(U_{CC} - 11)/0,01$ (кОм). Типовое сопротивление R_{BC} при напряжении питания 12 В составляет 51 кОм, а при U_{CC} = 27 В сопротивление R_{BC} = 220 кОм. Подключение входа управления на корпус позволяет принудительно отключить генерацию при напряжении питания ИС равном рабочему.

Для второй группы: Резистор R_{BC}, подключенный с вывода входа управления на корпус, позволяет изменять входное сопротивление микросхемы. При изменении сопротивления резистора от 3,6 кОм до 16 кОм ток потребления ИС изменяется от 4,5 мА до 1,1 мА (большему сопротивлению R_{BC} соответствует меньший ток потребления ИС). В основных характеристиках ток потребления ИС приведён при R_{BC} = 6,8 кОм. Более высокое входное сопротивление ИС может потребоваться при недостаточном уровне напряжения сигнала индукторного вызова (например, для спаренных телефонов), или при ёмкости блокировочного конденсатора менее 1 мкФ.

Табл. 3.4. Назначение выводов ИС ВУ КР1436АП1 и её аналогов.

Вывод ИС	Обозначение	Назначение
1	U	Напряжение питания.
2	BC	Вход управления.
3	RC1	Вход генератора низкой частоты.
4	R1	Выход генератора низкой частоты.
5	OV	Общий вывод.
6	R2	Выход генератора высокой частоты.
7	RC2	Вход генератора высокой частоты.
8	OUT	Выход напряжения звуковой частоты.

На рис. 3.11 приведён пример схемы ВУ на ИС КА2410.

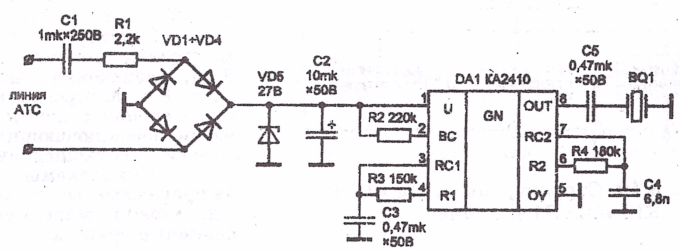

Рис. 3.11. Схема ВУ на ИС КА2410.

Тональные частоты f_{H1}, f_{H2} и частоту переключения f_L при номиналах, указанных на схеме можно определить по следующим формулам:

$$f_{H1} = \frac{1000000}{1{,}515 \times R4(\text{кОм}) \times C4(\text{нФ})} = 539\ (\text{Гц}); \qquad f_{H2} = 1{,}25 \times f_{H1} = 674\ (\text{Гц});$$

$$f_L = \frac{1000}{1{,}234 \times R3(\text{кОм}) \times C3(\text{мФ})} = 11{,}5\ (\text{Гц}); \qquad R4 = 180\text{k};\quad C4 = 6{,}8\text{n};\quad R3 = 150\text{k};\quad C3 = 0{,}47\text{mk}.$$

Эти формулы справедливы для всех ВУ, где применяются микросхемы первой и второй группы.

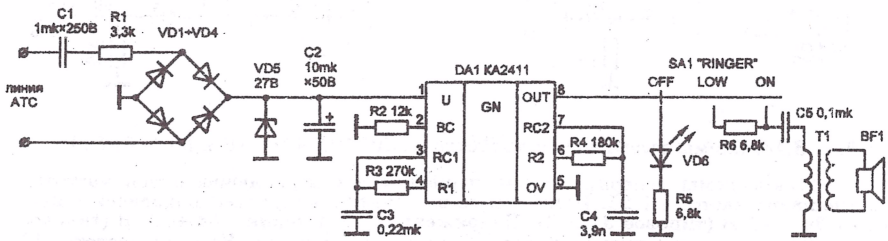

Рис. 3.12. Схема вызывного устройства на ИС КА2411.

Схема ВУ, приведенная на рис. 3.12, отличается от схемы рис. 3.11 тем, что выход микросхемы КА2411 (вывод 8), через согласующий трансформатор Т1 нагружен на динамическую головку BF1 мощностью 0.25 Вт и номинальным электрическим сопротивлением 50 Ом. В схеме предусмотрена возможность уменьшения громкости звонка установкой переключателя "RINGER" в положение LOW, а также возможность отключения звонка установкой переключателя в положение OFF. При отключенном звонке вызывной сигнал будет индицироваться светодиодом VD6.

На рис. 3.13 приведена схема ВУ, применяемая в телефонах фирмы "PANASONIC". Схема аналогична приведённым выше, но требует доработки при спаренном включении с диодным блокиратором.

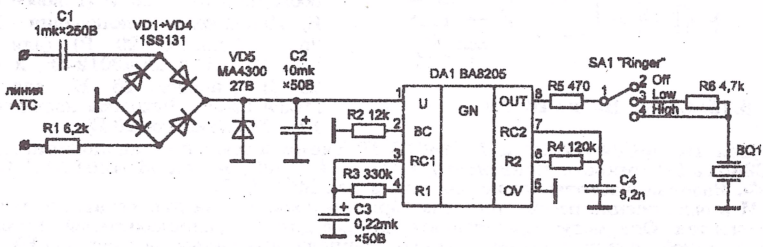

Рис. 3.13. Схема ВУ, применяемая в телефонах фирмы "PANASONIC".

Необходимость доработки обусловлена тем, что при спаренном включении ТА уровень напряжения вызывного сигнала понижен (см. раздел 1.2) и при номиналах резистора R1 и конденсатора С2, приведённых в схеме, напряжение на входе U (вывод 1 DA1) за время посылки вызова (1 с) не успевает нарасти до значения 18 В (типовое напряжение включения микросхемы). Чтобы обеспечить более быстрый заряд конденсатора С2 необходимо уменьшить сопротивление резистора R1 до 3 кОм и ёмкость конденсатора С2 до 1,0 + 4,7 мкФ.

Следует отметить, что все микросхемы ВУ первой и второй группы взаимозаменяемы. Необходимо лишь учитывать подключение входа управления (вывод 2).

На рис. 3.14,*а,б* приведены схемы вызывного устройства на ИС MC34017-1P и MC34017-2P фирмы "MOTOROLA".

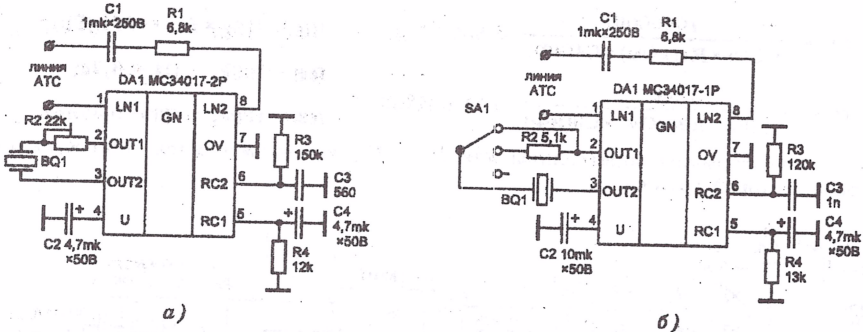

Рис. 3.14. Схемы вызывного устройства на ИС MC34017-1P и MC34017-2P.

Микросхемы генерируют две периодически переключающиеся частоты. Соотношение частот - 1,25. Напряжение включения микросхем находится в пределах 34 ÷ 41 В (типовое 37,5 В). Напряжение выключения - 14 ÷ 22 В (типовое 16 В). Выходное напряжение равно напряжению питания. Базовая частота ИС MC34017-1P - 1000 Гц, MC34017-2P - 2000 Гц, MC34017-3P - 500 Гц. Схема на рис. 3.14,*а* позволяет плавно регулировать громкость звонка переменным резистором R2. Схема на рис. 3.14,*б* имеет три фиксированных уровня регулировки. ИС L8611 имеет аналогичную схему включения.

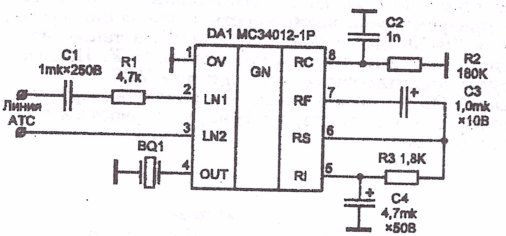

Рис. 3.15. Схема ВУ на ИС MC34012-1P.

ИС MC34012-1P (рис. 3.15) также содержит диодный мост, схему защиты от переходных процессов и схему управления пьезоэлектрическим преобразователем. ИС генерирует две периодически переключающиеся частоты с соотношением 1,25. Напряжение включения микросхемы - 31 ÷ 38 В (типовое 34,5 В). Напряжение выключения - 16 ÷ 25 В (типовое 20 В) (для ИС MC34012-1P и MC43012-3P) и 13 ÷ 22 В (типовое 18 В) для ИС MC34012-2P. Выходное напряжение 19 ÷ 23 В (типовое 20 В)

Для ИС MC34012-2P и MC43012-3P схема включения аналогична. Для ИС MC34012-2P ёмкость конденсатора C2 = 470 пФ, а для MC43012-3P C2 = 2000 пФ. Базовые частоты такие же, как и для MC34017.

И в заключение рассмотрим два варианта схем ВУ на дискретных и логических элементах. Они могут представлять интерес для тех радиолюбителей, которым не удалось приобрести вышеперечисленные специализированные микросхемы ВУ.

На рис. 3.16 приведена схема ВУ, которое используется в некоторых телефонах VEF. Схема работает следующим образом. Напряжение вызывного сигнала АТС частотой 25 Гц через блокировочный для постоянного тока конденсатор C1 и ограничительный резистор R1 поступает на диодный мост VD1 ÷ VD4. Здесь напряжение выпрямляется и конденсатором C3 сглаживается. Выпрямленное напряжение стабилизируется параметрическим стабилизатором на резисторе R4, стабилитроне VD9 и конденсаторе C4. Это напряжение величиной порядка 8 В используется для питания схемы вызывного устройства.

Тональный генератор собран по схеме мультивибратора на транзисторах разной проводимости VT1 и VT2. Изменение частоты достигается переключением резисторов R14, R16 и R19 в цепи эмиттера транзистора VT1. Переключение производится подачей логического "0" с выходов мультивибратора, собранного на элементах DD1.2 ÷ DD1.4 на диоды VD12 ÷ VD14.

Пороговое устройство собрано на диодах VD5, VD6, стабилитронах VD7, VD8, резисторах R2, R3, конденсаторе C2 и логическом элементе DD1.1. Оно предназначено для отключения вызывного устройства при пониженном напря-

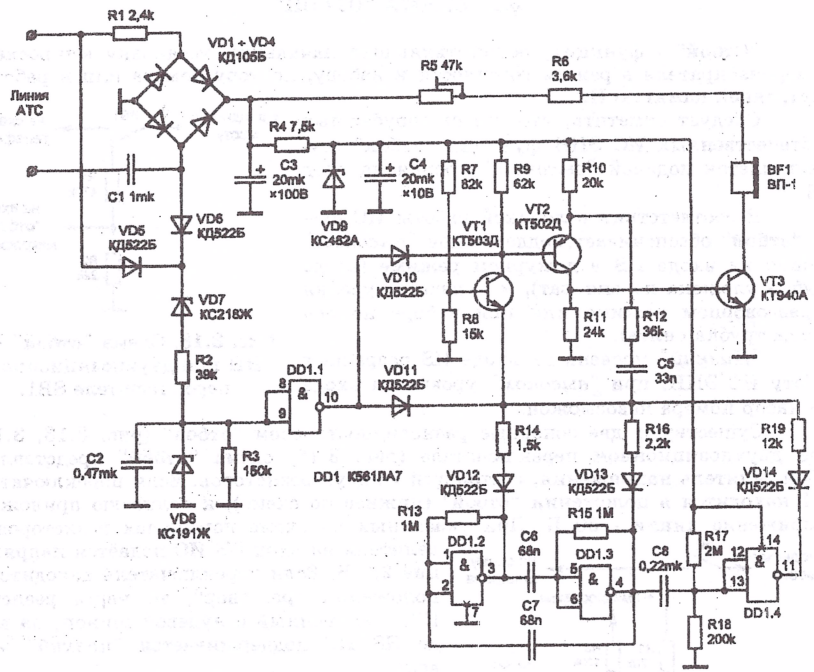

Рис. 3.16. Схема ВУ, используемого в некоторых телефонах VEF.

жении питания в конце каждой посылки вызова. После окончания посылки вызова на выходе логического элемента DD1.1 появляется логическая "1". Через диоды VD10, VD11 она подаётся в цепь базы транзистора VT2 и цепи эмиттеров транзисторов VT1, VT2 и срывает генерацию тонального генератора.

С коллектора транзистора VT2 сигнал тонального генератора подаётся на транзистор VT3. Здесь происходит его усиление по мощности. Для регулировки уровня громкости вызывного сигнала в коллектор транзистора VT3 последовательно с высокоомным электроакустическим преобразователем BF1 включен переменный резистор R5.

На рис. 3.17 приведена схема вызывного устройства на ИС К561ЛЕ5. Конденсатор C1 является блокировочным для постоянного тока линии. Резистор R1 ограничивает ток через стабилитрон VD1, который вместе с выпрямительным диодом VD2 и сглаживающим конденсатором C2 представляют собой схему питания вызывного устройства. Схема состоит из двух мультивибраторов. Мультивибратор на логических элементах DD1.1, DD1.2 генерирует частоту порядка 15 Гц и управляет вторым мультивибратором на логических элементах DD1.3 и DD1.4, с выхода которого сигнал звуковой частоты 3,5 кГц поступает на пьезоэлектрический излучатель ЗП-3.

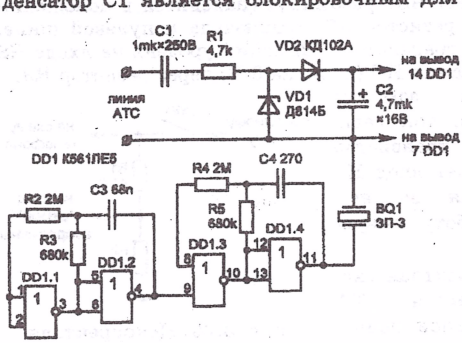

Рис. 3.17. Схема ВУ на ИС К561ЛЕ5.

Недостаток этой схемы в том, что у неё лишь одна частота тонального генератора и отсутствует пороговая схема отключения генератора при пониженном напряжении питания.

3.2. СХЕМА "ОТБОЙ"

"**Отбой**" - функция, осуществляющая начальную установку микросхемы номеронабирателя в режим готовности к набору, повтору номера или к работе с внутренней памятью ИС.

Следует отметить, что у *всех* зарубежных и отечественных ИС ЭНН функция "**отбой**" осуществляется подачей "*высокого*" уровня на вход HS.

В соответствии с логикой работы ИС схема "**отбой**" обеспечивает поддержание "*высокого*" уровня на входе HS в дежурном режиме (когда трубка уложена на аппарат), и "*низкого*" уровня в разговорном режиме или при наборе номера (когда трубка снята).

"*Низкий*" уровень на входе HS разрешает работу ИС ЭНН, при "*высоком*" уровне на входе HS набор номера невозможен.

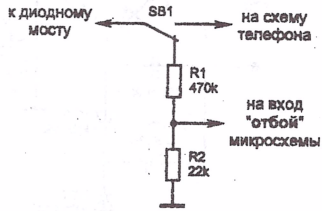

Рис. 3.18. Схема "**отбой**" ИС НН при двухпозиционном переключателе SB1.

Существуют две основные разновидности схем "**отбой**" (рис. 3.18, 3.19). При двухпозиционном переключателе (рис. 3.18) схема "**отбой**" представляет собой делитель напряжения, состоящий из двух резисторов. Если переключатель SB1 находится в положении "отбой" (нижнее по схеме), к делителю приложено напряжение линии - 60 В. При указанных на схеме номиналах резисторов, с делителя на вход HS ИС подаётся напряжение 2,7 В. Если переключатель находится в положении "разговор", то через резистор R2, соединённый с нулевой шиной, на входе HS ИС поддерживается "*низкий*" уровень.

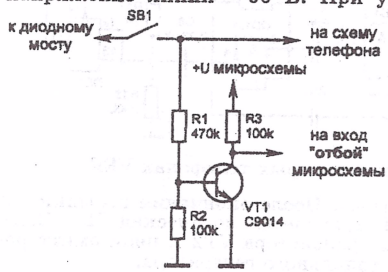

Рис. 3.19. Схема "**отбой**" ИС НН при однопозиционном переключателе SB1.

Следует отметить, что напряжение на входе HS ИС не может превышать напряжение питания микросхемы более чем на 0.6 В, так как этот вход соединен с входом питания ИС через встроенный диод, выполняющий функцию защиты ИС от перенапряжения на входе HS (см. рис. 2.2).

На рис. 3.19 приведена схема "**отбой**", с использованием однопозиционного переключателя. Когда переключатель SB1 разомкнут (находится в положении "отбой"), база транзистора VT1 через резистор R2 подключена к нулевой шине, что обеспечивает надежное запирание транзистора. Высокий уровень на входе HS ИС поддерживается напряжением питания ИС (порядка 3 В) через резистор R3.

Когда переключатель SB1 замкнут (находится в положении "разговор"), ток задаваемый резистором R1 открывает транзистор VT1. Открытый транзистор подключает вход HS ИС к нулевой шине, обеспечивая на нем "*низкий*" уровень, разрешающий работу микросхемы.

На рис. 3.20 приведена некорректная схема "**отбой**", которая иногда встречается в ТА низкого класса и может стать причиной неправильной работы ТА.

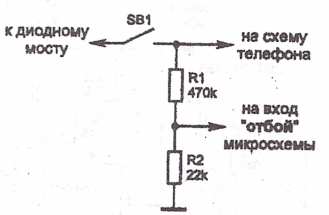

Рис. 3.20. Некорректная схема "**отбой**".

3.3. СХЕМА ПИТАНИЯ ИС НОМЕРОНАБИРАТЕЛЯ

Питание микросхем ЭНН осуществляется от линии АТС и обеспечивает работу ИС при наборе номера, а также в разговорном режиме. В режиме "отбой", при уложенной на рычаг трубке, схема питания ИС обеспечивает питание ОЗУ микросхемы.

Схема питания состоит из двух узлов: внутреннего и внешнего.

Внутренний узел определяется структурой построения ИС. Он может быть выполнен как с источником опорного напряжения, в простейшем случае - внутренним стабилитроном (раздел 2.2, рис. 2.2), так и без него (раздел 2.2, рис. 2.5). Значение рабочего тока стабилитрона приведено в табл. 2.7 (*Iвн.ст.*).



Рис. 3.21. Схема питания ИС НН.

Внешний узел обеспечивает подачу номинального напряжения на вывод питания микросхемы (U). Построение схемы внешнего узла, как правило, зависит от наличия в ИС встроенного источника опорного напряжения.

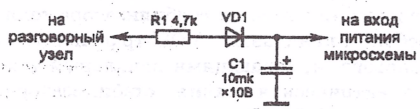

Рис. 3.22. Схема питания ИС НН.

Если в ИС имеется внутренний стабилитрон (см. рис. 2.2), то её питание осуществляется по одной из схем, приведенных на рис. 3.21 ÷ 3.23. На рис. 3.21 питание подается со входа импульсного ключа , а на рис. 3.22 - с его выхода. Резистор R1 в обоих случаях задаёт ток встроенного стабилитрона, величина которого составляет 0,1 ÷ 1,0 мА, в зависимости от типа микросхемы (см. табл. 2.5). Конденсатор C1 поддерживает питание ИС во время следования импульсов набора. Емкость конденсатора должна быть не менее 10 мкФ. Диод VD1 предотвращает разряд конденсатора по другим цепям схемы.

Следует отметить, что резистор R1 (рис. 3.21) в некоторых случаях (если его сопротивление менее 68 кОм) может служить причиной сбоев при наборе номера из-за его шунтирующего воздействия при разомкнутом шлейфе линии.

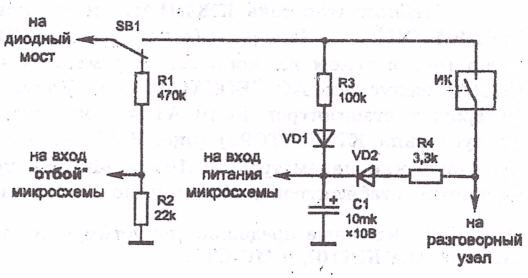

Рис. 3.23. Схема питания ИС НН совместно со схемой **"отбой"**.

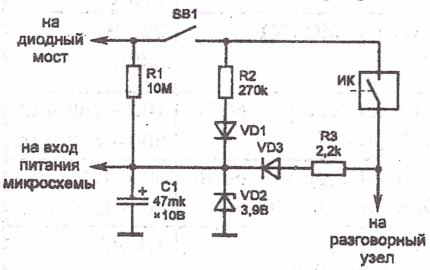

Рис. 3.24. Схема питания ИС НН.

На рис. 3.23 приведена схема питания ИС НН совместно со схемой **"отбой"** (см. рис. 3.18). Питание на микросхему подаётся как со входа, так и с выхода ИК. Это обеспечивает более устойчивую работу микросхемы за счет того, что снижение тока внутреннего стабилитрона ИС через резистор R3 (при замкнутом ИК) компенсируется током через меньшее сопротивление ограничивающего резистора R4.

Если в микросхеме отсутствует встроенный источник опорного напря-

жения, то параллельно конденсатору С1 включается стабилитрон, как показано на рис. 3.24.

Способ питания ОЗУ ИС зависит от типа используемой схемы **"отбой"**. Если схема **"отбой"** выполнена по схеме рис. 3.18 (рис. 3.23), то питание ОЗУ осуществляется через переключатель SB1, резистор R1 и внутренний диод ИС соединяющий вход HS со входом питания (U) (рис. 2.2).

При использовании схемы **"отбой"**, приведенной на рис. 3.19, питание ОЗУ при уложенной на рычаг трубке обеспечивает резистор сопротивлением порядка 10 МОм, включенный между плюсовым выводом диодного моста и выводом питания ИС, как это показано на рис. 3.24.

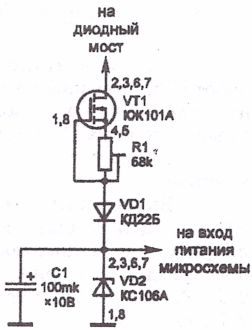

Рис. 3.25. Схема питания отечественных ИС НН.

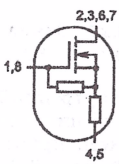

Рис. 3.26. КЖ101.

В схемах питания отечественных ТА часто используется микромощный кремниевый планарный р-канальный МОП-стабилитрон КС106А (рис. 3.25). Рабочий ток стабилитрона задает источник тока на стабилизаторе тока КЖ101А. Он представляет собой n-канальный МОП-транзистор с изолированным затвором и резисторами, задающими начальный ток стабилизации. Структурная электрическая схема стабилизатора тока КЖ101А представлена на рис. 3.26. Режим источника тока устанавливается подстроечным резистором R1. Номинальное сопротивление резистора R1 - 22 кОм.

Стабилизатор тока КЖ101А(Б) и стабилитрон КС106А(Б) производит з-д "ГРАВИТОН" в г. Черновцы (в корпусе типа 2101.8-1) (рис. 3.27,*а,б*). Стабилизатор тока в таком же корпусе, но с маркировкой МС-СТ1 и стабилитрон МС-СН1(А) выпускает АО "ВОСХОД" в г. Калуге. На АО "СВЕТЛАНА" в г. С-Петербурге стабилитрон КС106А1 и стабилизатор тока КЖ101А1 выпускают в корпусе типа КТ-26 (ТО92) (рис. 3.27,*в,г*). Основные предельно допустимые и электрические параметры КЖ101 и МС-СТ1 приведены в табл. 3.5. Основные параметры стабилитронов КС106 приведены в табл. 3.6.

Табл. 3.5. Основные предельно допустимые и электрические параметры стабилизаторов тока КЖ101 и МС-СТ1.

Параметр	Стабилизатор тока	Значение
Максимальное рабочее напряжение, не более	КЖ101А,А1; МС-СТ1 КЖ101Б	75 В 120 В
Максимальное импульсное рабочее напряжение (τ = 1 мс, Q = 2), не более	КЖ101А,А1; МС-СТ1 КЖ101Б	226 В 226В
Начальный ток стабилизации	КЖ101А,А1 (при U = 60 В) КЖ101Б (при U = 100 В)	100 ÷ 160 мкА 300 ÷ 510 мкА
Ток стабилизации	КЖ101А,А1 (при U = 60 В) КЖ101Б (при U = 100 В)	80 ÷ 130 мкА 80 ÷ 130 мкА
Импульсный ток стабилизации	КЖ101А,А1,Б (при Uимп. = 60 В)	1,5 мА

Табл. 3.6. Основные предельно допустимые и электрические параметры стабилитронов КС106 и МС-СН1(А).

Параметр	Стабилитрон	Значение
Максимально допустимый ток стабилизации, не более	КС106А,А1,Б	500 мкА
Минимально допустимый ток стабилизации, не менее	КС106А,А1,Б	10 мкА
Напряжение стабилизации	КС106А,А1; МС-СН1 КС106Б; МС-СН1А	2,9 ÷ 3,5 В 3,3 ÷ 3,9 В
Дифференциальное сопротивление	КС106А,А1 КС106Б	500 Ом 600 Ом

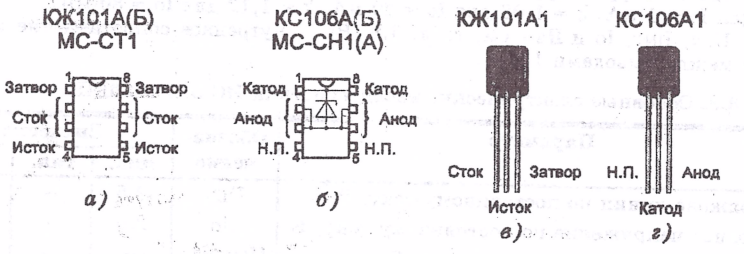

Рис. 3.27. Цоколёвка стабилизаторов тока КЖ101 и стабилитронов КС106.

НПО "ИНТЕГРАЛ" в г. Минске выпускает ИС маломощного источника питания ЭКР1436ЕП1 (зарубежный аналог TEA1080) для питания цифровых и аналоговых схем периферийных устройств телефонного аппарата. ИС использует часть избыточного тока линии, обычно отбираемого регулятором напряжения разговорной схемы. Функция снижения мощности отключает микросхему от нагрузки и уменьшает входной ток. Назначение выводов ИС ЭКР1436ЕП1 приведены в табл. 3.7, основные электрические характеристики в табл. 3.8.

Табл. 3.7. Назначение выводов ИС ЭКР1436ЕП1.

Вывод	Обозначение	Назначение
1	LN	Положительный вывод линии.
2	OV	Отрицательный вывод линии.
3	AD	Развязка усилителя.
4	PD	Выключение входа.
5	IF	Подключение входного фильтра.
6	VA	Регулировка выходного напряжения.
7	QS	Выход.
8	SP	Напряжение питания схемы блокировки.

На рис. 3.28 приведена схема включения ИС ЭКР1436ЕП1. Конденсатор С3 и резистор R1 являются элементами внешнего низкочастотного фильтра и предназначены для образования функции индуктивности совместно с внутренними элементами схемы, благодаря чему схема обладает высоким входным сопротивлением. Конденсаторы С1 и С2 предназначены для устойчивой работы схемы и ограничения искажений при высоком входном токе и большом уровне сигнала на линии. Резистор Rv предназначен для регулировки уровня выходного напряжения.

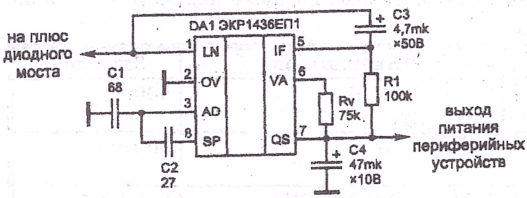

Рис. 3.28. Схема подключения ИС ЭКР1436ЕП1.

Выходное напряжение схемы можно вычислить по формуле:

$$Uo = 2 \times Iупр. \times Rv;$$

где Iупр. - ток управления, типовое значение которого равно 20 мкА.

Если резистор Rv из схемы исключить, то выходное напряжение будет определяться по формуле:

$$Uo = ULN - [(IINT + k \times Io) \times Rs + 0,5]$$

где k - корректирующий коэффициент, зависящий от выходного тока; k = 1,04 для Io = 1 мА, k = 1,08 для Io = 20 мА, k = 1,12 для Io = 30 мА.

ULN, IINT, Io и Rs - см. табл. 3.8 (Rs - внутреннее сопротивление микросхемы между выводами 1 и 8).

Табл. 3.8. Основные электрические характеристики ИС ЭКР1436ЕП1.

Параметр	Обозначение	Значение		
		мин.	тип.	макс.
Напряжене линии по постоянному току, В	ULN	2,5	–	10,0
Выходное напряжение по постоянному току, В	Uo	2,0	–	9,5
Падение напряжения линия - вход, В	ULN - Uo	–	0,5	–
Последовательное сопротивление, Ом	Rs	–	20	–
Напряжение линии по переменному току, В	ULN(СК)	–	1,5	–
Выходной ток, мА (при ULN = 4,0 В)	Io	–	–	30,0
Внутренний ток потребления, мА (ULN = 4,0 В)	IINT	–	0,8	–

3.4. ЭЛЕМЕНТЫ КОММУТАЦИИ

Как правило, любой телефонный аппарат имеет два элемента коммутации:

- **импульсный ключ (ИК)**, непосредственно формирующий при наборе номера токовые и бестоковые посылки (путём замыкания и размыкания линии), которые управляют работой коммутационных устройств АТС, осуществляющих соединение абонентов;

- **разговорный ключ (РК)**, отключающий разговорную часть ТА от линии АТС во время набора номера.

К указанным элементам коммутации предъявляются достаточно жёсткие требования. Они должны обеспечивать:

- *коммутацию постоянного напряжения 70 В при индуктивной нагрузке (обмотки реле АТС);*

- *коммутацию тока до 100 мА;*

- *выдерживать воздействие напряжения 220 В длительностью до 10 мс (в случае, когда телефонная трубка снимается во время поступления вызывного сигнала);*

- *требуемые параметры ТА в режиме набора номера и разговорном режиме (гл. 1.4, табл. 1.10, 1.11);*

- *минимальное потребление мощности по управляющей цепи.*

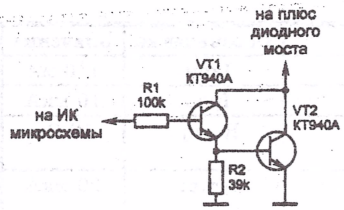

Рис. 3.29. Схема ИК, применяемая в первых моделях отечественных ТА.

В первых отечественных моделях ТА с кнопочным набором в качестве элементов коммутации использовались биполярные высоковольтные транзисторы, включенные по схеме Дарлингтона (рис. 3.29). Основное преимущество такой схемы - большое усиление по току, что позволяет снизить потребление тока управляющей цепью и соответственно микросхемой номеронабирателя. Недостаток - относительно большое падение напряжения на ключе в режиме насыщения (1,5 ÷ 2,0 В).

В практических схемах ключей используются транзисторы КТ630Б, КТ683Б, КТ940А, и КТ969А.

В современных моделях отечественных ТА в качестве элементов коммутации, как правило, используется микросхема КР1014КТ1А(В). Она представляет собой токовый ключ на полевом n-канальном транзисторе с индуцированным каналом и изолированным затвором и обеспечивает:

- малое сопротивление в режиме насыщения;
- возможность работы на индуктивную нагрузку;
- практически не потребляет ток по цепи управления.



Рис. 3.30. КР1014КТ1.

Её структурная электрическая схема приведена на рис. 3.30. Токовые ключи КР1014КТ1А(В) производят з-д "ГРАВИТОН" в г. Черновцы и з-д "ЭКСИТОН" в г. Павловский Посад (в корпусе типа 2101.8-1) (рис. 3.31,*а*). АО "ВОСХОД" в г. Калуге выпускает ключи в таком же корпусе, но с маркировкой МС–КН1А(В). АО "СВЕТЛАНА" в г. С-Петербурге выпускает токовый ключ КР1064КТ1А(В) с аналогичными характеристиками в корпусе типа КТ–26 (ТО-92) (рис. 3.31,*б*). НПО "ИНТЕГРАЛ" в г. Минске производит токовые ключи КП501А(Б) (зарубежный аналог - ZVN2120) с лучшими, чем у КР1014КТ1 характеристиками (для группы "А" Uком. = 240 В, Iком. = 180 мА) в корпусе КТ–26 (рис. 3.31,*в*). ПО "ГАММА" в г. Запорожье выпускает ключи КР1014КТ1А(В) в корпусе типа КТ–27 (ТО-126) (рис. 3.31,*г*).

Токовые ключи КР1014КТ1Б были разработаны для управления логическими элементами ТТЛ и в настоящее время не выпускаются.

Основные предельно допустимые и электрические параметры токовых ключей приведены в табл. 3.9, цоколёвка на рис. 3.31.

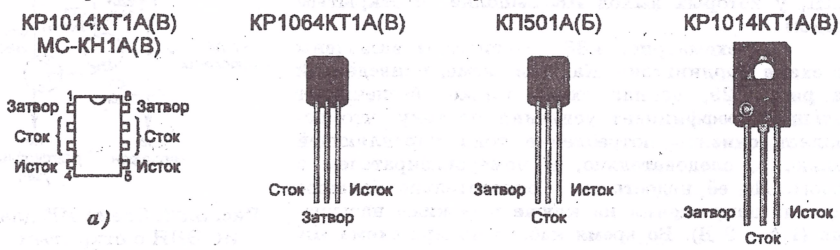

Рис. 3.31. Структурная схема и цоколёвка токовых ключей.

Токовые ключи группы "А" и "В" имеют отличие только по максимальному допустимому коммутируемуму импульсному напряжению (при Uупр. = 0 В, f = 50 Гц, Q = 2, t = 100 мс) для группы "А" Uком. = 120 В, для группы "В" Uком. = 230 В.

Табл. 3.9. Основные параметры токовых ключей.

Параметр	Обозначение	Значение
Коммутируемый ток, не более	Iком.	110 мА
Управляющий ток (при Uупр. = 3 В), не более	Iупр.	10 мкА
Сопротивление в открытом состоянии (при Iком. = 35 мА, Uупр. = 2,5 В), не более	Rоткр.	10 Ом
Ток утечки на входе (при Uком. = 75 В, Uупр. = 0 В), не более	Iут.вт.	20 мкА
Обратное напряжение (при Iком. = 110 мА), не более	Uобр.	1,0 В
Допустимое значение статического потенциала	Uст.	500 В

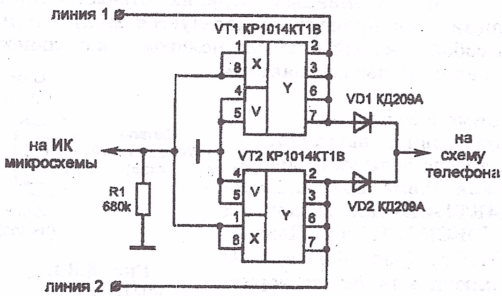

Рис. 3.32. Схема ИК на КР1014КТ1В.

При подаче на исток токового ключа (выводы 4,5 на рис. 3.31,*а*) отрицательного по отношению к стоку (выводы 2,3,6,7) напряжения ключ ведёт себя как диод. Это свойство используется в схеме ИК на рис. 3.32, где ключевые элементы используются одновременно как плечи диодного моста. Во время набора номера линию коммутирует тот токовый ключ, на стоке которого положительный потенциал напряжения линии АТС, а второй выполняет функцию диода. При изменении полярности напряжения линии АТС диодом будет служить другой токовый ключ. Резистор R1 предназначен для запирания транзисторов в отсутствие напряжения на выходе ИК микросхемы, например при работе ТА в качестве дополнительного в системе "директор - секретарь".

В зарубежных ТА, как правило, применяются две разновидности схем ИК, в которых в качестве элементов коммутации используются высоковольтные биполярные транзисторы. На рис. 3.33 и 3.34 показаны схемы импульсных ключей для микросхем ЭНН, у которых выход ИК выполнен с открытым стоком.

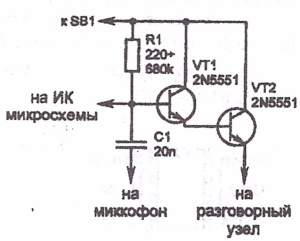

Рис. 3.33. Схема ИК для ИС ЭНН с открытым стоком.

На схеме рис. 3.33 транзисторы включены по схеме Дарлингтона. Как и в схеме, приведённой на рис. 3.29, данная схема также обеспечивает большой коэффициент усиления по току, что позволяет снизить потребление тока управляющей цепью, а, следовательно, и номеронабирателем в целом. Но её недостаток - относительно большое падение напряжения на ключе в режиме насыщения (1,5 ÷ 2 В). Во время набора номера схема ИК коммутирует разговорный узел (рис. 1.11,*а* и 1.15).

В ряде схем ТА импульсный ключ, выполненный по такой схеме, во время разговора используется в качестве микрофонного усилителя. Сигнал при этом поступает на базу первого транзистора через конденсатор ёмкостью 20 нФ. Эта возможность обусловлена тем, что при наличии на выходе ИК высокого уровня, что имеет место во время разговора абонентов, высокое выходное сопротивление ИС практически не оказывает влияния на

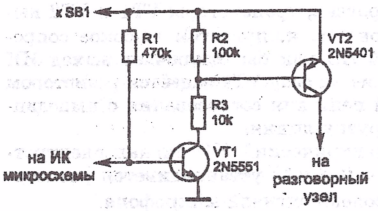

Рис. 3.34. Схема ИК для ИС ЭНН с открытым стоком.

передачу звукового сигнала от микрофона в линию.

В схеме на рис. 3.34 приведена двухкаскадная ключевая схема ИК, которая наиболее часто используется в аппаратах более высокого класса. Транзистор VT2 формирует импульсы набора номера (средний ток коллектора в режиме насыщения составляет порядка 35 мА), а VT1 согласует выход ИК ИС со входом ключа на транзисторе VT2. Резистор R2 обеспечивает надежное запирание транзистора VT2 при закрытом VT1. Резистор R1 задает начальное смещение на базу транзистора VT1 и служит нагрузкой выхода ИС ЭНН с открытым стоком, а R3 ограничивает ток базы транзистора VT2. При использовании этой схемы, падение напряжения на ключе в режиме насыщения составляет 0,1 ÷ 0,2 В.

Схема ИК (рис. 3.35) работает аналогично приведённой на рис. 3.34, но применяется при использовании ИС ЭНН с логическим выходом ИК. *"Низкий"* уровень на выходе микросхемы номеронабирателя запирает транзисторы VT1 и VT2.

Справочные данные по используемым в схемах ИК транзисторам и возможная их взаимозаменяемость, а также отечественные аналоги приведены в главе 9.

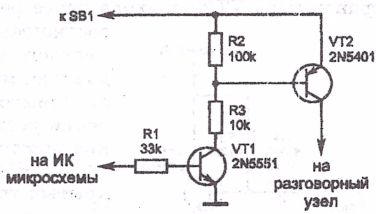

Рис. 3.35. Схема ИК для ИС ЭНН с логическим выходом.

3.5. РАЗГОВОРНЫЙ УЗЕЛ

В состав разговорного узла входят:

- *усилитель сигнала микрофона;*
- *усилитель НЧ сигнала принимаемого с линии;*
- *противоместная схема;*
- *схема питания микрофонного и телефонного усилителей.*

На рис. 3.36 приведена одна из самых распространенных схем разговорного узла, применяемая в телефонах - трубках и ТА настольного типа, в сочетании с различными микросхемами ЭНН.

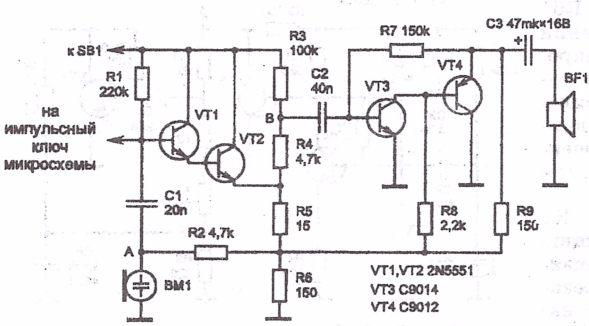

Рис. 3.36. Схема разговорного узла, применяемого с ИС ЭНН с открытым стоком ИК.

В ней импульсный ключ одновременно выполняет функцию усилителя сигнала микрофона, что возможно только при использовании тех ИС ЭНН, ИК которых имеет выход с открытым стоком.

База транзистора VT1 подключена как к выходу микрофона, через разделительный конденсатор емкостью 20 нФ, так и к выходу ИК

ИС ЭНН. Когда на выходе ИК ИС "*высокий*" уровень, транзисторы VT1 и VT2 выполняют функцию усилителя сигнала микрофона, т. к. при этом высокое сопротивление закрытого выходного транзистора ИК ИС как бы отключает выход ИК ИС от базы транзистора VT1. Начальное смещение на базу VT1 задаётся резистором R1. Резистор R5 является элементом балансной цепи для согласования с импедансом линии. Резистор R6 представляет собой нагрузку линии.

Речевые колебания преобразуются в электрический НЧ сигнал электретным микрофоном, рабочий ток которого (0,25 ÷ 0,5 мА) устанавливается резистором R2. От величины рабочего тока зависит уровень сигнала микрофона.

НЧ сигнал с микрофона через разделительный конденсатор C1 поступает на базу составного транзистора VT1-VT2, коллекторной нагрузкой которого является Rатс (см. гл. 1 рис. 1.3). На эмиттере VT2 НЧ сигнал повторяет входной по форме и напряжению. С коллектора VT2 усиленный по напряжению, но противофазный входному, сигнал передается в линию ко второму абоненту.

Синфазный сигнал с эмиттера и противофазный сигнал с коллектора транзистора VT2, проходя через резисторы R3 и R4, которыми устанавливается соотношение амплитуд для наилучшего подавления местного эффекта, складываясь в точке "В", взаимоподавляются. Этим достигается значительное снижение слышимости своего голоса при разговоре. Такое включение резисторов и транзистора в ТА, получило название противоместной схемы.

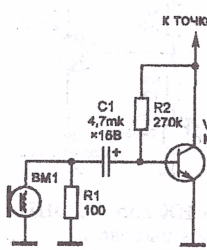

Рис. 3.37. Усилитель электродинамического микрофона.

НЧ сигнал второго абонента с линии, через открытый транзистор VT2 и резистор R4 поступает в точку "В", где складывается с синфазным сигналом, поступающим по другой цепи через R3, и через разделительный конденсатор C2 подаётся на базу транзистора VT3.

Транзистор VT3, включенный по схеме с общим эмиттером, усиливает сигнал по напряжению, а транзистор VT4, который представляет собой эмиттерный повторитель, по току. С эмиттера через разделительный конденсатор C3 усиленный сигнал подается на динамическую головку BF1. Резистор R7, включенный в цепь отрицательной обратной связи, задает ток смещения на базу транзистора VT3. Резисторы R8 и R9 являются соответственно коллекторной и эмиттерной нагрузками транзисторов VT3 и VT4.

Напряжение питания (порядка 3 В) телефонного усилителя и электретного микрофона снимается с резистора R6.

При использовании электродинамического микрофона для обеспечения нормальной слышимости и разборчивости в схему вводится дополнительный усилитель, включенный по схеме с общим эмиттером (рис. 3.37).

При этом резистор R2 (рис. 3.36) выполняет функцию коллекторной нагрузки транзистора VT1 (рис. 3.37), а резистор R2 (рис. 3.37) задаёт начальное смещение на базу. Конденсатор C1 - разделительный, а резистор R1 служит для

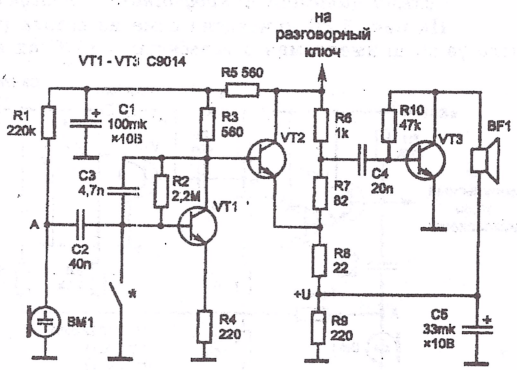

Рис. 3.38. Схема разговорного узла, применяемого с ИК или РК, приведенных на рис. 3.32, 3.34, 3.35.

устранения возбуждения усилителя.

На рис. 3.38 приведена еще одна разновидность разговорного узла, используемого в схемах ТА, в которых ИК или РК выполнен по одной из схем приведённых на рис. 3.32, 3.34, 3.35.

НЧ сигнал с электретного микрофона BM1, ток которого задается резистором R1, через разделительный конденсатор C2 поступает на базу транзистора VT1, включенного по схеме с общим эмиттером. Коллекторной нагрузкой транзистора является резистор R3. Резистор R2 задаёт начальное смещение на базу транзистора, а R4 увеличивает входное сопротивление каскада и стабилизирует рабочую точку транзистора. Конденсатор C3, включенный в цепь отрицательной обратной связи, устраняет возбуждение усилителя. Питание усилителя и микрофона осуществляется с выхода разговорного ключа через резистор R5.

Кнопка "*" шунтирует сигнал микрофона при необходимости отключить его во время разговора.

С коллектора VT1 усиленный по напряжению сигнал поступает на вход эмиттерного повторителя на транзисторе VT2 с противоместной схемой. С коллектора VT2 усиленный сигнал через открытый разговорный ключ подаётся в линию АТС.

НЧ сигнал второго абонента с линии через открытый РК, цепи противоместной схемы (VT2, R6, R7) и разделительный конденсатор C4 поступает на базу усилителя на транзисторе VT3, коллекторной нагрузкой которого является динамическая головка BF1.

Питание телефонного усилителя (2,5 ÷ 3 В) снимается с резистора R9.

Вместо резистора R9 часто используются два или три диода, включенных последовательно. Падение напряжения на каждом из диодов составляет 0,7 В. Иногда используют стабилитрон с напряжением стабилизации 3,3 В.

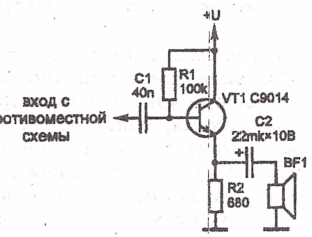

Рис. 3.39. Схема усилителя приёма.

Телефонный усилитель может быть выполнен и по схеме эмиттерного повторителя, приведённой на рис. 3.39.

На рис. 3.40 приведена схема разговорного узла с противоместной схемой мостового типа. Эта схема наиболее часто применяется в ТА с дисковым номеронабирателем, но иногда используется и в ТА с кнопочным набором.

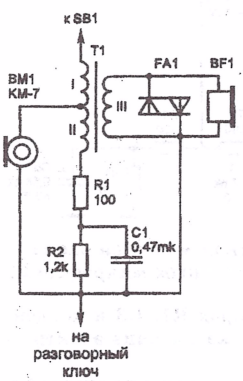

Рис. 3.40. Притивоместная мостовая схема разговорного узла.

В схеме используется угольный микрофон, питание которого осуществляется непосредственно с линии через обмотку I трансформатора (линейная обмотка). Микрофон включается в диагональ моста состоящего из: сопротивления АТС и линии, сопротивления линейной обмотки трансформатора (I), балансной обмотки трансформатора (II) и балансного контура, на резисторах R1, R2 и конденсаторе C1, сопротивление которого равно эквивалентному сопротивлению линии и АТС.

Элементы балансного контура подбираются таким образом, чтобы уравновесить плечи моста, выравнивая токи в линейной и балансной обмотках.

При равных величинах токов в обмотках I и II уравновешенного моста они имеют разное направление, в результате чего токи, наводимые в телефонной обмотке (III) трансформатора, взаимно компенсируются и свой голос в телефоне трубки не прослушивается. Таким образом достигается подавление местного эффекта. При этом

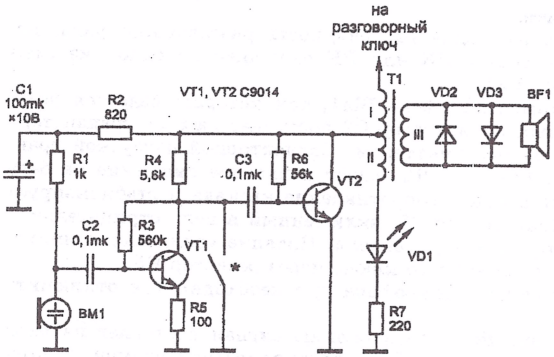

Рис. 3.41. Противоместная мостовая схема разговорного узла с электретным микрофоном.

ток микрофона второго абонента не ослабляется, так как протекает в обмотках I и II в одном направлении.

Амплитудный ограничитель уровня сигнала (фриттер) выполнен на встречно включенных диодах (FA1). Он предназначен для предохранения уха разговаривающих по телефону от акустических ударов, возникающих вследствие резкого увеличения звукового давления, развиваемого телефоном при импульсах повышенного напряжения в линии. В качестве ограничителей могут использоваться варисторы и транзисторы. В общем случае, фриттер представляет собой активное нелинейное сопротивление, шунтирующее действие которого возрастает при увеличении напряжения на зажимах аппарата.

Схема, приведенная на рис. 3.41 работает аналогично предыдущей. Отличие состоит в использовании электретного микрофона с усилителем на транзисторах VT1, VT2 и наличием светодиода в балансном контуре. Кнопкой "*" можно отключить микрофон во время разговора.

В схеме на рис 3.42 также применяется электретный микрофон с усилителем на транзисторах VT1 и VT2. Напряжение питания микрофона снимается с элементов балансного контура R10, R11 и C5 и стабилизируется интегрирующей цепочкой на резисторе R9 и конденсаторе C4. Резистор R8 задаёт рабочий ток микрофона BM1. Резистор R5 и конденсатор C3 предназначены для предотвращения возбуждения микрофона. Стабилитрон VD1 служит для защиты схемы от бросков напряжения при коммутации разговорного ключа.

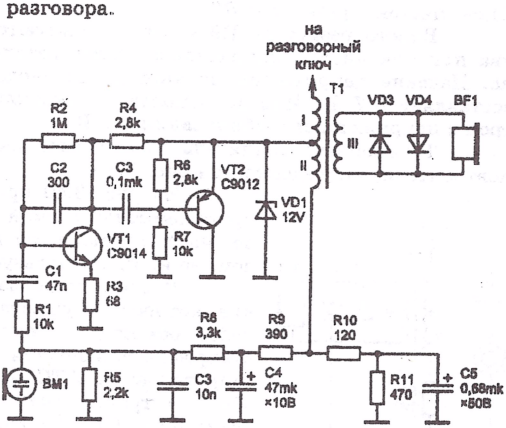

Рис. 3.42. Противоместная мостовая схема разговорного узла с электретным микрофоном.

На рис. 3.43 приведена схема разговорного узла с противоместным дифференциальным трансформатором T1 и балансным контуром на резисторах R1, R3 и конденсаторе C1. Резистор R1 и конденсатор C1 обеспечивают также питание электретного микрофона.

Схема обладает хорошими характеристиками усиления сигнала микрофона и телефона, но подавление местного эффекта здесь несколько хуже, чем в предыдущей схеме.

На з-де "ГРАВИТОН" в г. Черновцы в настоящее время выпускается специализированная микросхема разговорного узла - КР1038ХП1А (аналог -

TEA1059). В таблице 3.10 приведены назначения выводов. Схема её включения приведена на рис. 3.44. Подключение микросхемы не требует соблюдения полярности напряжения на выводах 1 и 15, поскольку в ИС предусмотрен диодный мост на входах линии. Схема имеет хорошие характеристики усиления и подавления местного эффекта. Резистор R10 позволяет регулировать громкость приема. В микросхеме имеется внутренний источник опорного напряжения для питания электретного микрофона (вывод 3).

Предусмотрена возможность работы микросхемы в телефонных аппаратах с частотным набором номера. В этом случае двухчастотный код с выхода TONE микросхемы номеронабирателя подаётся на вывод 13 ИС КР1038ХП1. При этом "*низкий*" уровень на выводе 6 блокирует микрофоный усилитель (на схеме не показано).

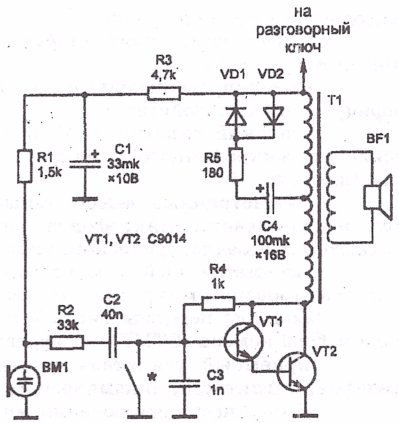

Рис. 3.43. Разговорный узел с противоместным дифференциальным трансформатором.

Табл. 3.10. Назначение выводов ИС КР1038ХП1.

Вывод	Назначение
1	Вход линии.
2	Общий вывод.
3	Плюс напряжения питания.
4	Вход тракта передачи.
5	Вход тракта передачи.
6	Вход блокировки передачи.
7	Вывод для фильтра.
8	Минус напряжения питания.
9	Вход регулировки ограничения.
10	Вход тракта приёма.
11	Вход регулировки усиления тракта приёма.
12	Выход тракта приёма.
13	Вход тонального сигнала.
14	Положительный выход моста.
15	Вход линии.
16	Выход тракта передачи.

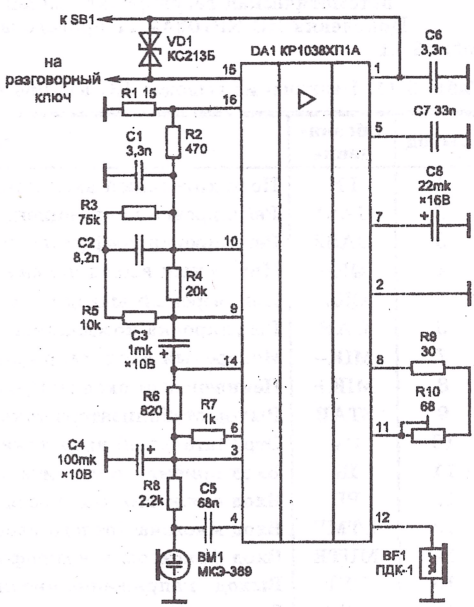

Рис. 3.44. Схема включения ИС КР1038ХП1А.

АО "СВЕТЛАНА" в г. С-Петербурге производит ИС разговорного узла КР1064УН1, которая является аналогом микросхемы TEA1067 фирмы "PHILIPS". Концерн "РОДОН" в г. Ивано - Франковске выпускает эту микросхему с маркировкой КР1085УН1. Микросхема имеет лучшие по сравнению с КР1038ХП1 характеристики и обладает

следующими достоинствами:

- имеет внутренний стабилизированный источник питания от линии;
- возможность использования питания схемы для периферийных устройств;
- широкий динамический и частотный диапазон усиления микрофонного усилителя и усилителя прослушивания;
- симметричные высокоомные входы (64 кОм) для использования микрофонов динамического, магнитного и пьезоэлектрического типа;
- ассиметричный высокоомный вход (32 кОм) для использования микрофона электретного типа;
- вход для передачи сигнала многочастотного сигнала набора номера (DTMF) и цифровой информации;
- приёмный усилитель с выходом на нагрузку (телефон) магнитного, динамического и пьезоэлектрического типа;
- возможность отключения микрофона (приёма) при передаче импульсного или многочастотного набора (вход MUTE);
- снижение питания во время импульсного набора для отсутствия искажений сигнала и щелчков в телефонной трубке;
- компенсация затухания линии;
- автоматическая регулировка усиления сигнала телефонной линии.

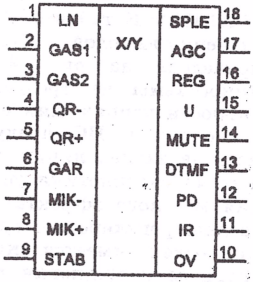

Рис. 3.45. Цоколёвка ИС КР1064УН1.

Цоколёвка ИС КР1064УН1 приведена на рис. 3.45, назначение выводов в табл. 3.11.

Табл. 3.11. Назначение выводов ИС КР1064УН1.

Вывод	Обозначение	Назначение
1	LN	Положительный вход линии.
2	GAS1	Регулировка коэффициента усиления передающего усилителя.
3	GAS2	Регулировка коэффициента усиления передающего усилителя.
4	QR–	Инверсный выход приёмного усилителя.
5	QR+	Неинверсный выход приёмного усилителя.
6	GAR	Регулировка коэффициента усиления приёмного усилителя.
7	MIK–	Инверсный вход микрофонного усилителя.
8	MIK+	Неинверсный вход микрофонного усилителя.
9	STAB	Выход стабилизатора тока.
10	OV	Отрицательный вход линии.
11	IR	Вход приёмного усилителя.
12	PD	Вход снижения мощности потребления.
13	DTMF	Вход многочастотного набора.
14	MUTE	Вход блокировки микрофонного усилителя.
15	UST	Выход "напряжение питания периферийных устройств".
16	REG	Вход регулировки напряжения питания.
17	AGC	Вход АРУ.
18	SPLE	Вход общей регулировки усиления.

Основные характеристики микросхемы разговорного узла КР1064УН1 приведены в табл. 3.12.

Табл. 3.12. Основные характеристики ИС КР1064УН1.

Параметр	Обозначение	Значение
Напряжение внутреннего стабилизированного источника питания при подключении к телефонной линии.	ULN	4 ÷ 4,5 В
Диапазон изменения тока линии.	ILN	10 ÷ 100 мА
Ток потребления, не более, при - *"низком"* уровне на входе PD - *"высоком"* уровне на входе PD	 ICCL ICCH	 3 мА 100 мкА
Ток потребления периферийными устройствами при ILN = 35 мА, не более	IP	3,0 мА
Диапазон усиления - микрофонного усилителя - приёмного усилителя	 AVD AVD	 44 ÷ 60 дБ 17 ÷ 39 дБ
Частотный диапазон	F	200 ÷ 20000 Гц

На рис. 3.46 приведена схема включения ИС КР1064УН1.

Микросхема и её периферийные компоненты используют питание телефонной линии, с помощью которого ИС вырабатывает собственное стабилизированное напряжение UST. Выход UST может быть использован для питания ИС ЭНН и других периферийных компонентов.

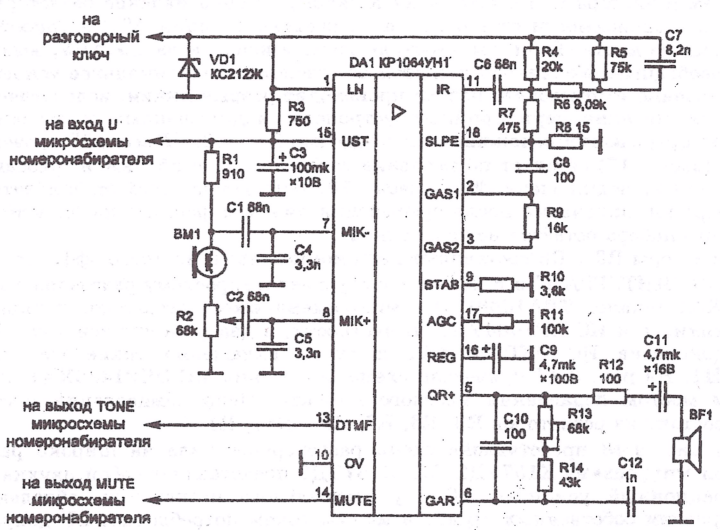

Рис. 3.46. Схема подключения ИС КР1064УН1 (TEA1067).

Внутренний стабилизатор тока включается с помощью резистора R10 сопротивлением 3,6 кОм, подключаемого с вывода 9 (STAB) на корпус.

Резистор R8 задаёт ток нагрузки линии. Изменение сопротивления резистора R8 влияет на коэффициент усиления микрофонного усилителя, усилителя сигнала приёма, местный эффект и максимальную амплитуду выходного сигнала на линию.

Микросхема содержит микрофонный усилитель со сбалансированным входным сопротивлением 64 кОм (2 ≤ 32 кОм) и коэффициентом усиления 52 дБ. Это позволяет использовать микрофоны электретного типа, а также динамические и пьезоэлектрические.

Конденсатор С8 ёмкостью 100 пФ, подключенный между выводами 2 и 18 необходим для стабильной работы усилителя.

При подаче на вход MUTE (вывод 14) *"высокого"* уровня отключаются микрофонный и телефонный усилители, что даёт возможность передачи сигнала многочастотного кода с микросхемы номеронабирателя, подаваемого на вход DTMF (вывод 13). Коэффициент усиления усилителя сигнала DTMF составляет 25,5 дБ и регулируется одновременно с микрофонным усилителем с помощью резистора R9.

Приёмный усилитель имеет один вход IR (вывод 11) и два комплементарных выхода: прямой QR+ (вывод 5) и инверсный QR– (вывод 4). В зависимости от чувствительности и типа динамической головки могут быть задействован один или оба выхода. Коэффициент усиления приёмного усилителя составляет 25 дБ и регулируется в диапазоне ±8 дБ с помощью резистора R13. При использовании одновременно двух выходов усилителя усиление возрастает на 6 дБ, но при этом необходимо использовать прослушивающее устройство с сопротивлением выше 450 Ом (высокоомные динамические, магнитные и пьезоэлектрические прослушивающие устройства). Подключение конденсаторов С10 и С12 необходимо для стабильной работы усилителя.

Компенсация потерь в линии достигается автоматическим изменением коэффициента усиления микрофонного и приёмного усилителей. Это достигается включением резистора R11 с вывода 17 на корпус. Сопротивление резистора R11 выбирается в зависимости от напряжения питания в линии АТС и сопротивления питающего моста. Если нет необходимости в использовании АРУ, вывод 17 остаётся свободным. Усилители при этом обеспечивают максимальное усиление.

В течение импульсного набора происходит разрыв линии, вследствие чего прерывается питание периферийных устройств, подключенных к выводу 15. Интервалы прерывания сглаживаются конденсатором С3. *"Высокий"* уровень на входе PD (вывод 17) снижает потребление тока с 1 мА до 55 мкА и отсоединяет кочденсатор С9, подключенный к выводу 16. Вследствие этого стабилизатор не имеет задержки включения после прерывания линии и форма тока Icc в течение импульсного набора остаётся неискажённой.

Резисторы R3 ÷ R8 составляют цепь компенсации местного эффекта.

НПО "ИНТЕГРАЛ" в г. Минске выпускает микросхему разговорного узла ЭКР1436ХА1 (аналог TEA1068). Эта микросхема имеет несколько лучшие характеристики, чем ИС КР1064УН1. В частности, в два раза снижен ток потребления. Цоколёвка ИС ЭКР1436ХА1 и схема включения такие же, как и КР1064УН1. На рис. 3.47 приведена схема включения ИС ЭКР1436ХА1 со специальным мостом подавления местного эффекта. Цепь компенсации местного эффекта состоит из резисторов R3, R6, R7, R9 ÷ R11, R13.

На рис. 3.48 представлена схема разговорного узла на широко распространённой микросхеме К157УД2. ИС К157УД2 представляет собой двухканальный операционный усилитель (ОУ) универсального назначения, обладающий низким уровнем собственных шумов и малым током потребления. ОУ допускает большой диапазон входных дифференциальных напряжений, имеет защиту от коротких замыканий на выходе. Номинальное напряжение питания ±15 В, но микросхема сохраняет работоспособность при напряжении питания от ±3 В, что даёт возможность использовать её в схеме разговорного узла телефона.

На DA1.1 собран усилитель сигнала микрофона, а на DA1.2 усилитель сигнала приёма с линии. ОУ включены по схеме неинвертирующего усилителя переменного тока. На транзисторе VT1, резисторах R1 и R3, конденсаторе C1, стабилитроне VD1, диоде VD2 и светодиоде VD3 собран источник питания, кото-

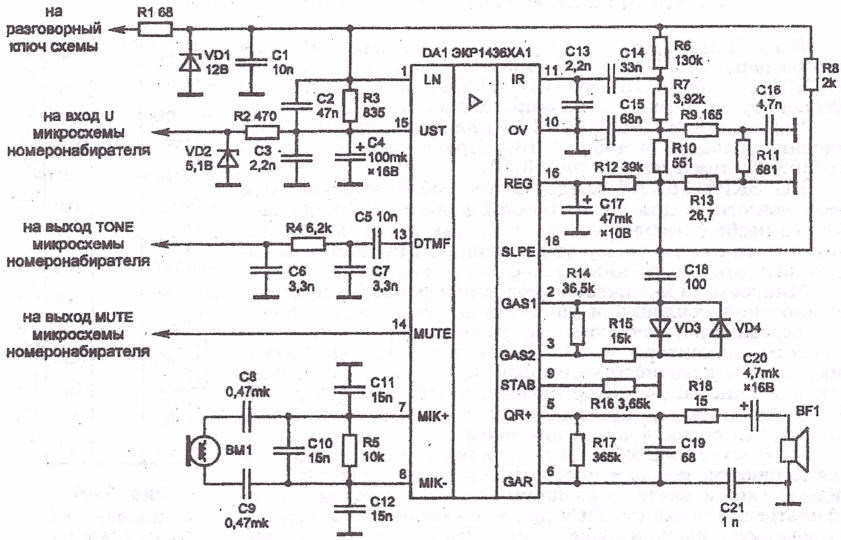

Рис. 3.47. Схема включения ИС ЭКР1436ХА1 (TEA1068).

рый обеспечивает двухполярное питание ОУ.

Транзистор VT2 обеспечивает усиление по току сигнала микрофона с выхода DA1.1. Резисторы R9 и R10 представляют собой элементы противоместной схемы. Конденсатор С5 в цепи резистора обратной связи предназначен для исключения автоколебаний. Конденсаторы С4 и С9 предназначены для устойчивой работы ОУ с замкнутой обратной связью. Ёмкость конденсатора зависит от глубины обратной связи.

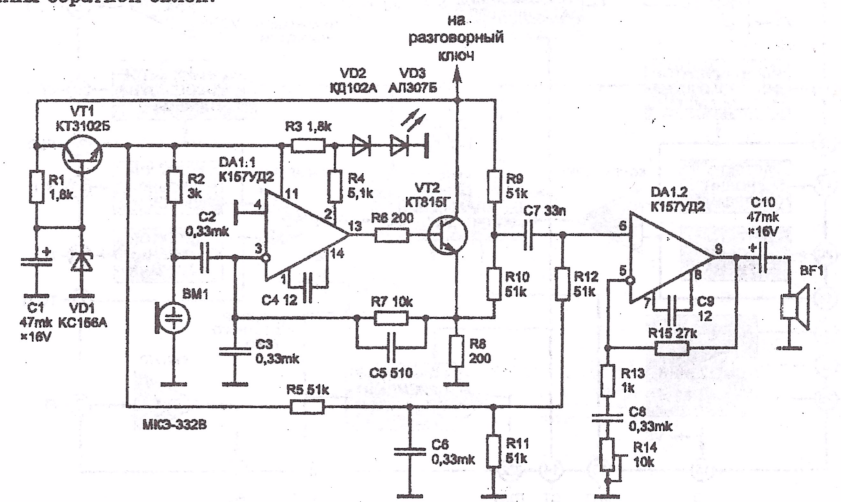

Рис. 3.48. Схема разговорного узла на ИС К157УД2.

3.6. РАЗГОВОРНЫЙ УЗЕЛ ТА С "ГРОМКОЙ СВЯЗЬЮ"

НПО "ИНТЕГРАЛ" в г. Минске производит ИС для громкоговорящего ТА ЭКР1436ХА2 (аналог фирмы "MOTOROLA" – MC34118). АО "СВЕТЛАНА" в г. С-Петербурге выпускает эту микросхему с маркировкой КР1064ХА1.

Цоколёвка ИС ЭКР1436ХА2 приведена на рис. 3.49, назначение выводов в табл. 3.13. Структурная схема ИС ЭКР1436ХА2 приведена на рис. 3.50.

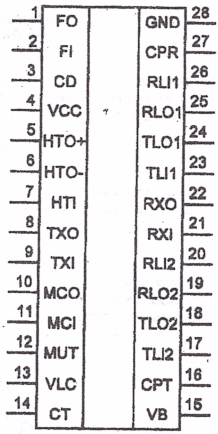

Рис. 3.49. Цоколёвка ИС ЭКР1436ХА2.

ИС ЭКР1436ХА2 представляет собой управляемый голосом усилитель для ТА с громкой связью. ИС включает в себя все необходимые усилители, аттенюаторы, детекторы уровня и логическую схему управления, являющиеся основой для высококачественных телефонных систем.

Микросхема включает в себя микрофонный усилитель с регулировкой усиления и блокировкой усилителя, приёмный и передающий аттенюаторы, работающие в дополняющем режиме, детекторы уровня на входах и выходах обоих аттенюаторов и идентификаторы фонового шума для каналов передачи и приёма. Детектор сигнала частотного набора номера блокирует выход приёмного идентификатора фонового шума во время сигнала частотного набора.

Микросхема включает в себя также два линейных усилителя мощности, которые могут использоваться для создания гибридной схемы связи с внешним трансформатором связи. Для фильтрации шума (50 Гц и др.) в приёмном канале может использоваться фильтр верхних частот. Вход блокировки микросхемы позволяет отключить питание всей схемы громкой связи в то время, когда этот режим не используется. ИС ЭКР1436ХА2 может работать как от источника питания, так и от телефонной линии. Напряжение питания ИС находится в пределах от 2,8 до 6,5 В. Типовой ток потребления 5 мА.

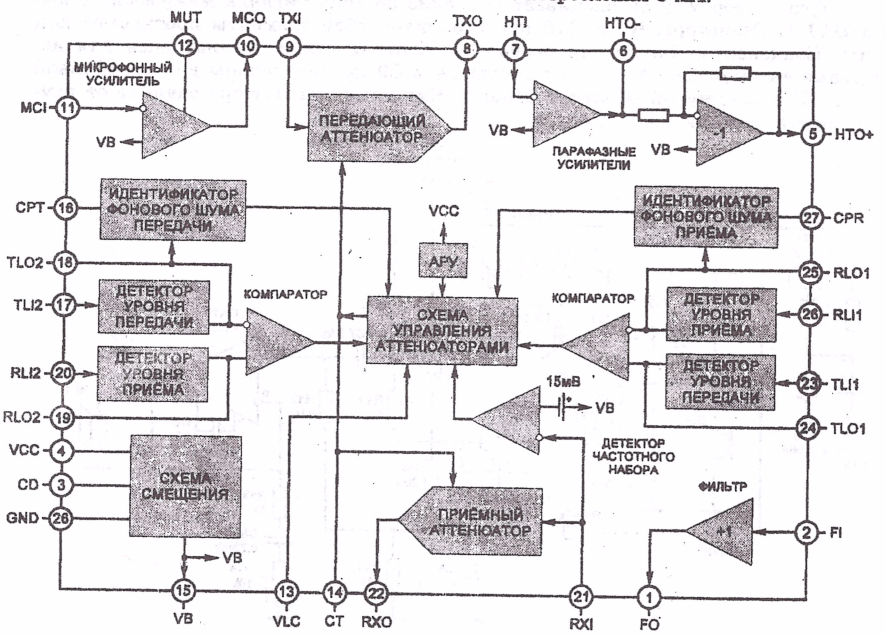

Рис. 3.50. Структурная схема ИС громкой связи ЭКР1436ХА2.

Табл. 3.13. Назначение выводов ИС ЭКР1436ХА2.

№ вывода	Обозначение	Назначение
1	FO	Выход фильтра. Выходное сопротивление менее 50 Ом.
2	FI	Вход фильтра. Входное сопротивление более 1 МОм.
3	CD	Вход блокировки микросхемы. "*Низкий*" уровень (< 0,8 В) разрешает работу ИС. "*Высокий*" уровень (> 2,0 В) запрещает работу ИС. Номинальное входное сопротивление при этом составляет 90 кОм.
4	VCC	Напряжение питания. Рабочее напряжение находится в пределах от 2,8 до 6,5 В при потребляемом токе около 5,0 мА. При снижении VCC от 3,5 до 2,8 В схема АРУ понижает усиление приёмного аттенюатора до −25 дБ в режиме приёма.
5	HTO+	Выход второго парафазного усилителя. Имеет фиксированный коэффициент усиления и равен −1. Выходной сигнал противофазный относительно выхода HTO−.
6	HTO−	Выход первого парафазного усилителя. Коэффициент усиления устанавливается внешними резисторами.
7	HTI	Вход первого парафазного усилителя. Уровень постоянного напряжения примерно равен VB.
8	TXO	Выход передающего аттенюатора. Уровень постоянного напряжения примерно равен VB.
9	TXI	Вход передающего аттенюатора. Максимальный уровень входного сигнала 350 мВ. Входное сопротивление равно 10 кОм.
10	MCO	Выход микрофонного усилителя. Коэффициент усиления устанавливается внешними резисторами.
11	MCI	Вход микрофонного усилителя. Уровень постоянного напряжения примерно равен VB.
12	MUT	Вход блокировки микрофона. "*Низкий*" уровень (< 0,8 В) разрешает работу микрофонного усилителя. "*Высокий*" уровень (> 2,0 В) блокирует микрофонный усилитель, не оказывая влияния на остальные узлы схемы.
13	VLC	Вход управления громкостью. Приёмный аттенюатор имеет максимальное усиление в режиме приёма при напряжении на входе VLC равном VB. При напряжении на входе VLC равном 0,3 В усиление приёмного аттенюатора менее −35 дБ. На усиление в режиме передачи не влияет.
14	CT	Вход установления постоянной времени переключения аттенюаторов при помощи внешней RC-цепи.
15	VB	Выходное напряжение равное половине VCC. Это напряжение необходимо в качестве общей точки по переменному току и для управления уровнем громкости.
16	CPT	Вход установления постоянной времени идентификатора фонового шума передачи при помощи внешней RC−цепи.
17	TLI2	Вход детектора уровня передачи со стороны микрофона.
18	TLO2	Выход детектора уровня передачи со стороны микрофона и вход идентификатора фонового шума передачи.
19	RLO2	Выход детектора уровня приёма со стороны громкоговорителя.
20	RLI2	Вход детектора уровня приёма со стороны громкоговорителя.

№ вывода	Обозначение	Назначение
21	RXI	Вход приёмного аттенюатора и детектора сигнала частотного набора номера. Максимальный уровень входного сигнала 350 мВ. Входное сопротивление равно 10 кОм.
22	RXO	Выход приёмного аттенюатора. Уровень постоянного напряжения примерно равен VB.
23	TLI1	Вход детектора уровня передачи со стороны линии.
24	TLO1	Выход детектора уровня передачи со стороны линии.
25	RLO1	Выход детектора уровня приёма со стороны линии и вход идентификатора фонового шума приёма.
26	RLI1	Вход детектора уровня приёма со стороны линии.
27	CPR	Вход установления постоянной времени идентификатора фонового шума приёма при помощи внешней RC–цепи.
28	GND	Общая точка схемы по постоянному току.

В обыкновенном телефоне оба абонента могут разговаривать одновременно и при этом передача разговора происходит в обоих направлениях. В громкоговорящем телефоне этот режим реализовать трудно. Вследствие высокого усиления в передающем и приёмном канале это приводит к возникновению самовозбуждения из-за обратной связи схемы и акустической связи громкоговорителя и микрофона. Поэтому в схеме реализован такой режим, что когда один из абонентов разговаривает, то включается соответствующий канал (передающий или приёмный) и выключается другой канал (уменьшается усиление канала). В этом случае усиление в петле обратной связи поддерживается меньше единицы. ИС ЭКР1436ХА2 обладает детекторами уровня, аттенюаторами и переключающей логической схемой, необходимой для правильной работы громкоговорящего ТА.

На рис. 3.51 приведена принципиальная электрическая схема громкоговорящего узла ТА на ИС ЭКР1436ХА2.

Часть схемы, обведённая пунктирной рамкой выполняет функцию индуктивности. Её можно заменить дросселем индуктивностью 1 Гн. Стабилитрон VD3 и конденсатор C3 формируют питание схемы напряжением 5,6 В. Конденсатор фильтра C3 на плате телефона необходимо расположить рядом с выводом 4 ИС. В ИС реализовано дополнительное напряжение питания VB (вывод 15), равное половине напряжения питания VCC. Это напряжение необходимо в качестве общей точки для переменного тока и обеспечивает регулировку уровня громкости путём изменения напряжения на входе VLC (вывод 13). При подаче на вход CD (вывод 3) *"высокого"* уровня происходит блокировка микросхемы, что позволяет снизить потребляемую мощность.

Резисторы R4 и R5 задают ток питания электретного микрофона BM1. Входное сопротивление микрофонного усилителя составляет 10 кОм. Коэффициент усиления микрофонного усилителя определяется резисторами R6 и R9 (Ку = R9/R6). Конденсатор C8 предотвращает возбуждение усилителя. *"Высокий"* уровень на входе MUT (вывод 12) блокирует работу микрофонного усилителя.

Через конденсатор C9 сигнал с выхода микрофонного усилителя поступает на вход передающего аттенюатора TXI (вывод 9), а через конденсатор C8 и резистор R7 на вход детектора уровня передачи TLI2 (вывод 17). С выхода передающего аттенюатора TXO (вывод 8) через резистор R11 и конденсатор C11 сигнал микрофона поступает на вход парафазного усилителя HTI (вывод 7). Коэффициент усиления первого парафазного усилителя определяется резисторами R11 и R12. Коэффициент усиления второго парафазного усилителя фиксирован и равен −1. Выходное сопротивление парафазных усилителей менее 10 Ом. С выхода второго парафазного усилителя HTO+ (вывод 5) сигнал микрофона через резистор R14 и конденсатор C18 подаётся на базу транзистора VT3. Транзистор согласует выходное сопротивление парафазного усилителя с импедансом линии.

Сигнал с линии через конденсатор C17, C19 и резистор R17 поступает на вход фильтра FI (вывод 2). Элементы фильтра R20, R24, C22 и C23 подобраны

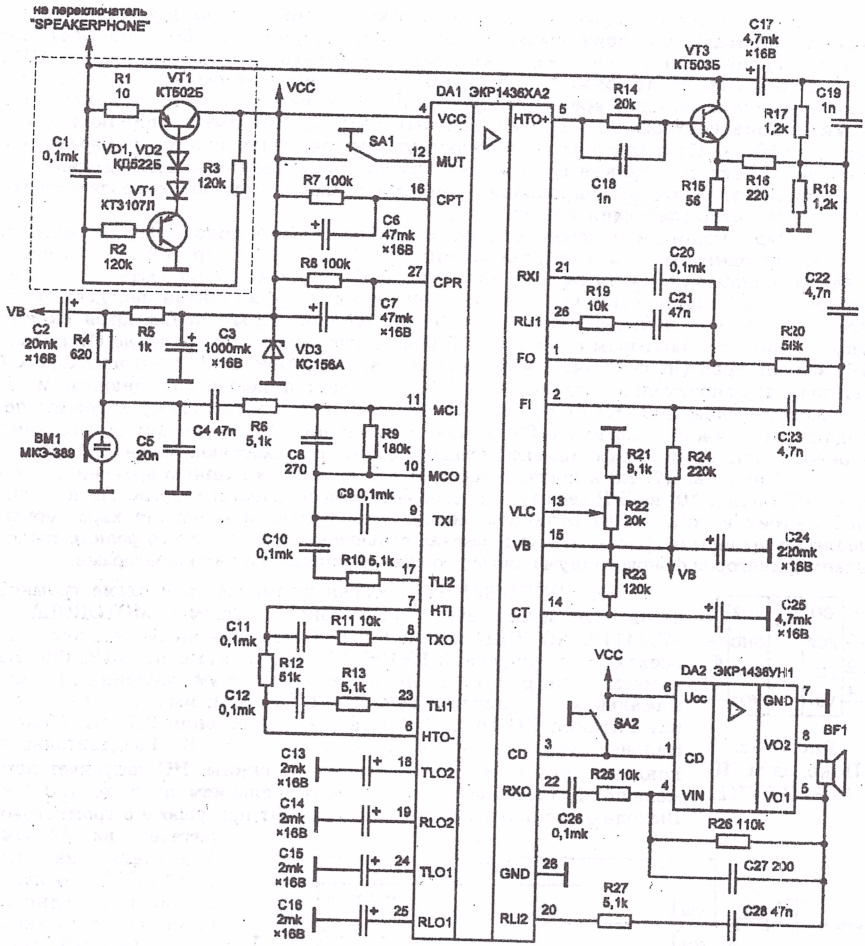

Рис. 3.51. Схема громкой связи ТА на ИС ЭКР1436ХА2 и ЭКР1436УН1.

таким образом, чтобы срезать помехи сетевой частоты 50 Гц, которые могут наводиться на внешние провода телефонной линии. Конденсаторы C17, C19 и резисторы R17, R18 представляют собой балансную цепь для согласования с импедансом линии. С выхода фильтра FO (вывод 1) сигнал поступает через разделительный конденсатор C20 на вход приёмного аттенюатора RXI (вывод 21) и через конденсатор C21 и резистор R19 на вход детектора уровня приёма RLI1 (вывод 26). С выхода приёмного аттенюатора RXO (вывод 22) через конденсатор C26 и резистор R25 сигнал подаётся на вход VIN (вывод 4) усилителя мощности на ИС ЭКР1436УН1. Резисторы R25 и R26 задают коэффициент усиления усилителя мощности DA2. Конденсатор C27 предназначен для исключения возбуждения усилителя. С выхода усилителя мощности VO1 (вывод 5) усиленный сигнал подаётся на громкоговоритель, а также через конденсатор C28 и резистор R27 на вход детектора уровня приёма RLI2 (вывод 20).

6 *

Четыре детектора уровня (два в приёмном канале и два в канале передачи) обеспечивают на своих выходах постоянное напряжение, пропорциональное уровню сигнала на входах. Это достигается подключением конденсаторов C13, C14, C15 и C16 на выходах детекторов уровня. Конденсаторы имеют небольшое время заряда и большое время разряда, задаваемое внутренним источником тока 4 мкА. Конденсаторы на всех четырёх выходах должны иметь одинаковую ёмкость (±10%). Компараторы сравнивают уровни сигналов приёма и передачи с выходов детекторов уровня и в зависимости от того, уровень какого сигнала выше, посредством схемы управления аттенюаторами открывается соответствующий аттенюатор (передачи или приёма).

Передающий и приёмный аттенюаторы работают в дополняющем режиме, т. е. когда один имеет максимальное усиление (+6,0 дБ), то другой имеет максимальное ослабление сигнала (−46 дБ), и наоборот. Они не могут быть полностью включены или полностью выключены. Сумма их коэффициентов передачи остаётся постоянной и имеет значение −40 дБ. Аттенюаторы управляются схемой управления аттенюаторами. Резистор R23 и конденсатор C25 на входе CT (вывод 14) задают время переключения аттенюаторов. Напряжение 240 мВ на входе CT (вывод 14) относительно напряжения VB открывает приёмный аттенюатор и закрывает передающий. Напряжение −240 мВ переводит микросхему в режим передачи. Напряжение на входе CT равное напряжению VB переводит микросхему в режим ожидания (коэффициент передачи обоих аттенюаторов равен −20 дБ).

Резисторы R7, R8 и конденсаторы C6, C7 задают постоянную времени на входах CPT (вывод 10) и CPR (вывод 27) идентификаторов фонового шума. Их назначение состоит в том, чтобы отличить сигнал речи (который содержит характерные всплески уровня) от фонового шума (сигнал сравнительно постоянного ровня). Выход идентификаторов фонового шума связан со схемой управления аттенюаторами.

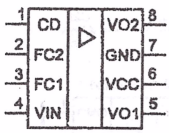

Рис. 3.52. Цоколёвка ИС ЭКР1436УН1.

ИС ЭКР1436УН1, которая применяется в схеме громкой связи ТА имеет зарубежный аналог фирмы MOTOROLA – MC34119. АО "СВЕТЛАНА в г. С–Петербурге выпускает эту микросхему с маркировкой КР1064УН2. Цоколёвка ИС ЭКР1436УН1 приведена на рис. 3.52. ИС создаёт максимум усиления при минимальном напряжении питания 2,0 В. Максимальное напряжение питания ИС 16 В. Типовой ток потребления 2,7 мА. Максимальное напряжение входного сигнала ±1 В. Разделительные конденсаторы к громкоговорителю не нужны. ИС допускает применение громкоговорителей с сопротивлением от 8 до 100 Ом. Выходная мощность составляет 250 мВт при работе с громкоговорителем на 32 Ом. Усилитель на ИС ЭКР1436УН1 обладает низкими нелинейными искажениями.

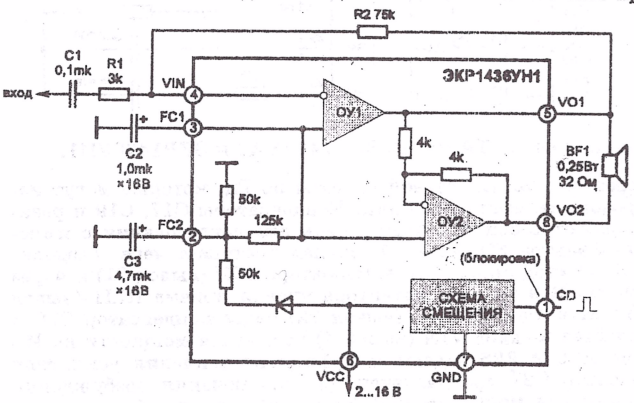

Рис. 3.53. Структурная схема ИС ЭКР1436УН1 и типовая схема включения

Подачей "*высокого*" уровня (≥ 2,0 В) на вход CD (вывод 1) устанавливается режим пониженной потребляемой мощности (ток покоя 65 мкА). "Низкий" уровень (≤ 0,8 В) разрешает работу микросхемы. (R_{CD} вх. = 90 кОм).

Структурная схема и типовая схема включения ИС ЭКР1436УН1 приведены на рис. 3.53.

Резисторами R1 и R2 устанавливается коэффициент усиления УНЧ, который может составлять от 0 до 46 дБ. Входы FC2 (вывод 2) и FC1 (вывод 3) предназначены для подключения корректирующих ёмкостей. Вход FC1 (вывод 3) является общей точкой по переменному току. Конденсатор C2 позволяет увеличить коэффициент подавления нестабильности источника питания. Этот вывод может быть использован как дополнительный вход. Конденсатор C3 увеличивает подавление пульсаций источника питания и также влияет на величину времени включения. Допускается оставлять этот вывод свободным, если достаточно ёмкости, подключенной к выводу FC1.

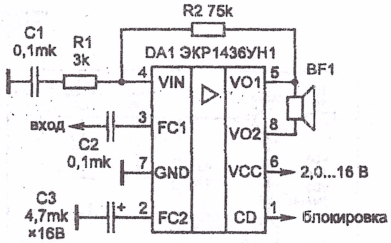

Рис. 3.54. Схема УНЧ на ИС ЭКР1436УН1 с высоким входным импедансом (Zвх. = 125 кОм).

В зарубежных ТА часто применяется ИС громкой связи MC31018 и её аналог SC77655S. Упрощённая структурная схема ИС MC31018 приведена на рис. 3.55.

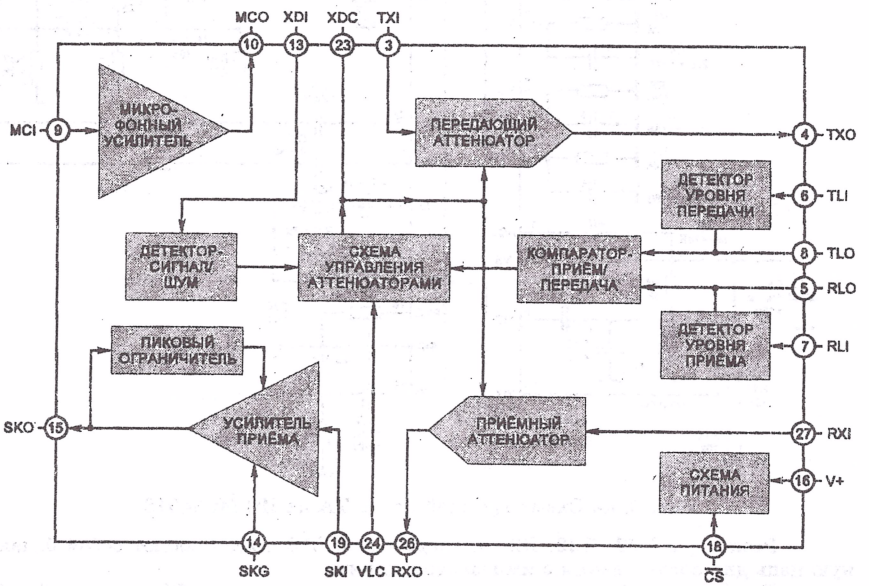

Рис. 3.55. Упрощённая структурная схема ИС громкой связи MC31018.

Структурная схема ИС MC34018 аналогична ИС MC34118. Основное отличие состоит в том, что в ИС MC34018 есть свой усилитель приёма и отсутствуют парафазные усилители и фильтр высоких частот. Детекторов уровня не четыре, как в ИС MC34118, а два.

Схема включения ИС MC34018 приведена на рис. 3.56.

Часть схемы, обведённая пунктирной рамкой, выполняет функцию индуктивности. Её можно заменить дросселем, индуктивностью 1 Гн.

Транзистор VT3, подключенный к выходу передающего аттенюатора TXO (вывод 4), включен по схеме эмиттерного повторителя. С выхода эмиттерного повторителя сигнал подаётся на базу транзистора VT4, который усиливает сигнал и передаёт его в линию.

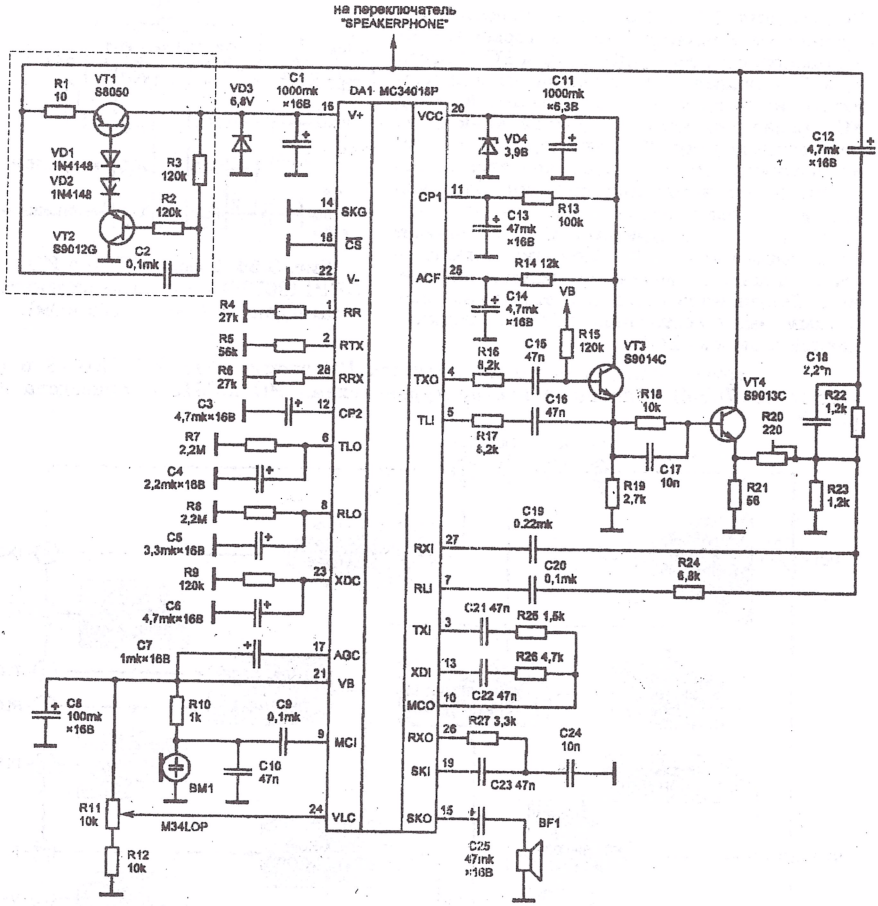

Рис. 3.56. Схема громкой связи ТА на ИС MC34018.

Резисторы R20, R22, R23 и конденсатор C18 представляют собой балансную цепь для согласования с импедансом линии.

Конденсатор C4 на выходе детектора уровня передачи TLO (вывод 6) и C5 на выходе детектора уровня приёма RLO (вывод 8) обеспечивают постоянное напряжение на выходах детекторов уровня, пропорциональное уровню сигнала на входе. Время разряда конденсаторов задаётся резисторами R7 и R8. Сигналы с выходов детекторов уровня сравниваются компаратором. С выхода компаратора сигнал поступает на схему управления аттенюаторами, который включает соответствующий канал (передачи или приёма), в зависимости от того, уровень какого сигнала выше.

Переключение аттенюаторов в ИС MC34018 осуществляется также, как и в ИС MC34118. Резистор R9 и конденсатор C6 на входе XDC (вывод 23) задают время переключения аттенюаторов. Напряжение на входе XDC на 150 мВ меньше, чем VCC переключает аттенюаторы в режим приёма, а напряжение на 6 мВ

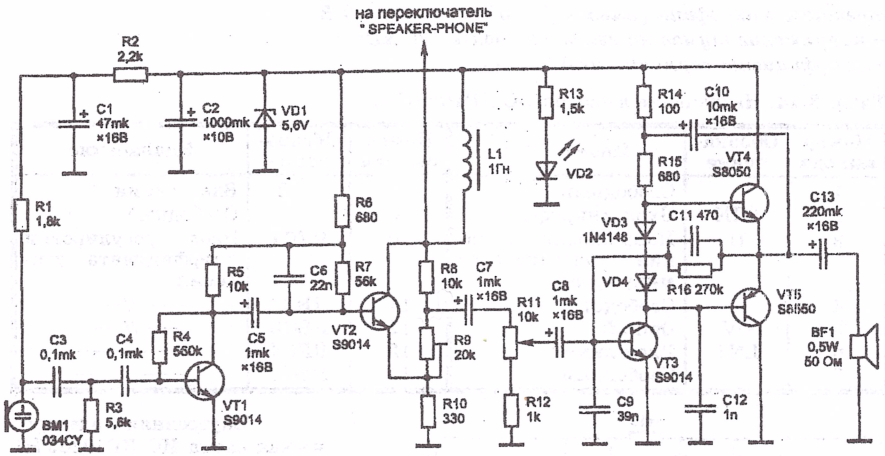

Рис. 3.57. Схема громкой связи ТА на дискретных элементах.

меньше, чем VCC переключает аттенюаторы в режим передачи.

И в заключение приведём схему громкой связи на дискретных элементах (рис. 3.57). Эта схема встречается в недорогих ТА низкого класса типа TECHNIKA.

Дроссель L1 предназначен для увеличения максимального тока питания усилителя приёма. Выходной каскад усилителя приёма выполнен по двухтактной схеме на транзисторах VT4, VT5 и обеспечивает номинальную выходную мощность 250 мВт на нагрузку 50 Ом. Диоды VD3 и VD4 смещают двухтактный каскад в состояние проводимости для устранения переходных искажений. Резистор R16 и конденсатор C11 представляют собой цепь отрицательной обратной связи для исключения возбуждения усилителя. Переменный резистор R9 и резистор R8 обеспечивают согласование схемы с импедансом линии для максимального подавления местного эффекта. Переменным резистором R11 можно регулировать громкость приёмного усилителя.

Резисторы R1, R2 и конденсатор C1 составляют цепь питания микрофона BM1. Усилитель сигнала микрофона выполнен на транзисторах VT1 и VT2.

Недостаток данной схемы в том, что в ней отсутствует управление усилителями приёма и передачи для их работы в дополняющем режиме.

3.7. МИКРОФОННЫЙ УСИЛИТЕЛЬ НА ИС КР1026УН1

ИС КР1026УН1 производит з-д "ГРАВИТОН" в г. Черновцы. Она предназначена для усиления сигнала звуковой частоты электретного микрофона с согласующим каскадом в составе телефонного аппарата.

Цоколёвка ИС КР1026УН1 приведена на рис. 3.58, назначение выводов в табл. 3.14.

Основные технические данные.

- *минимальный ток потребления 5 мА;*
- *максимальный ток потребления 100 мА;*
- *входное сопротивление усилителя от 9 до 12 кОм;*
- *коэффициент усиления напряжения от 37 до 41 дБ;*
- *постоянное напряжение на выходе питания элек-*

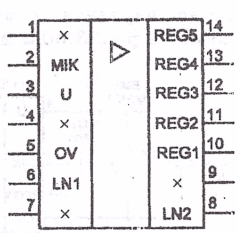

Рис. 3.58. Цоколёвка ИС КР1026УН1.

третного микрофона (выводы 3 и 5) от 4,8 до 7,0 В;
– напряжение шумов на выходе не более 130 мВ;
– коэффициент гармоник не более 3%.

Табл. 3.14. Назначение выводов ИС КР1026УН1.

Номер вывода	Обозначение	Назначение	Номер вывода	Обозначение	Назначение
1		Свободный	8	LN2	Вход линии
2	MIK	Вход микрофона	9		Свободный
3	U	Напряжение питания электретного микрофона.	10	REG1	Вход регулировки коэффициента усиления
4		Свободный	11	REG2	——//——
5	OV	Общий	12	REG3	——//——
6	LN1	Вход линии	13	REG4	——//——
7		Свободный	14	REG5	——//——

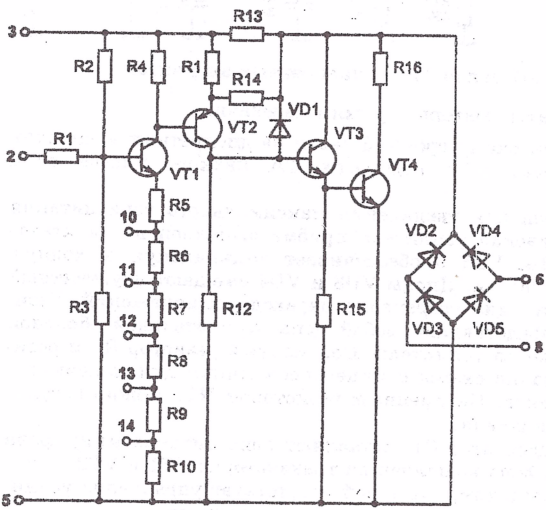

Рис. 3.59. Внутренняя электрическая схема ИС КР1026УН1.

Внутренняя электрическая схема ИС КР1026УН1 приведена на рис. 3.59.

Диодный мост на входе усилителя позволяет подключать ИС не зависимо от полярности напряжения на входе.

Первый каскад усиления выполнен на транзисторе VT1. Резисторы R2 и R3 задают смещение на базе транзистора VT1. Коэффициент усиления каскада определяется отношением резисторов в цепи коллектора и эмиттера. Таким образом, замыкая один из выводов 10, 11,12, 13 или 14 с выводом 5 можно изменять коэффициент усиления усилителя. Максимальное усиление схемы достигается замыканием выводов 10 и 5.

На рис. 3.60 приведены два варианта схемы замены угольного микрофона в ТА на ИС КР1026УН1. В схеме на рис. 3.60,*а* используется микрофон с отдельным выводом питания, а на

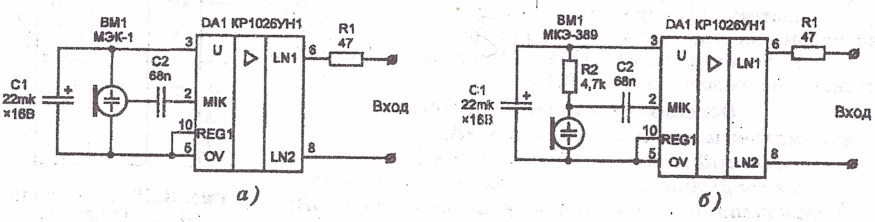

Рис. 3.60. Схемы замены угольного микрофона на ИС КР1026УН1.

рис. 3.60,*б* применяется электретный микрофон с двумя выводами. Резистор R2 задаёт ток питания электретного микрофона. Конденсатор C1 сглаживает пульсации напряжения питания электретного микрофона.

3.8. МИКРОФОНЫ

Микрофоны классифицируются по признаку преобразования акустических колебаний в электрические и подразделяются на *электродинамические, электромагнитные, электростатические (конденсаторные и электретные), угольные и пьезоэлектрические.*

Микрофоны характеризуются следующими параметрами:

Чувствительность микрофона – это отношение напряжения на выходе микрофона к воздействующему на него звуковому давлению при заданной частоте (как правило 1000 Гц), выраженное в милливольтах на паскаль (мВ/Па). Чем больше это значение, тем выше чувствительность микрофона.

Номинальный диапазон рабочих частот – диапазон частот, в котором микрофон воспринимает акустические колебания и в котором нормируются его параметры .

Неравномерность частотной характеристики – разность между максимальным и минимальным уровнем чувствительности микрофона в номинальном диапазоне частот.

Модуль полного электрического сопротивления – нормированное значение выходного или внутреннего электрического сопротивления на частоте 1 кГц.

Характеристика направленности – зависимость чувствительности микрофона (в свободном поле на определённой частоте) от угла между осью микрофона и направлением на источник звука.

Уровень собственного шума микрофона – выраженное в децибелах отношение эффективного значения напряжения, обусловленного флуктуациями давления в окружающей среде и тепловыми шумами различных сопротивлений в электрической части микрофона, к напряжению, развиваемому микрофоном на нагрузке при давлении 1 Па при воздействии на микрофон полезного сигнала с эффективным давлением 0,1 Па.

В телефонных аппаратах, в основном, применяются электродинамические, электретные и угольные микрофоны. Но, как правило, в 95% кнопочных ТА применяются электретные микрофоны, которые имеют повышенные электроакустические и технические характеристики:

- широкий частотный диапазон;
- малую неравномерность частотной характеристики;
- низкие нелинейные и переходные искажения;
- высокую чувствительность;
- низкий уровень собственных шумов.

На рис. 3.61 приведена схема, объясняющая принцип работы конденсаторного микрофона. Выполненные из электропроводного материала мембрана (1) и электрод (2) разделены изолирующим кольцом (3) и представляют собой конденсатор. Жёстко натянутая мембрана под воздействием звукового давления совершает колебательные движения относительно неподвижного электрода. Конденсатор включен в электрическую цепь последовательно с источником напряжения постоянного тока GB и активным нагрузочным сопротивлением R. При колебаниях мембраны ёмкость конденсатора меняется с частотой воздействующего на мембрану звукового давления. В электрической цепи появляется переменный ток той же часто-

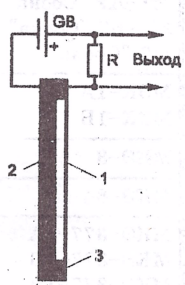

Рис. 3.61. Схема включения конденсаторного микрофона.

ты и на нагрузочном сопротивлении возникает переменное напряжение, являющееся выходным сигналом микрофона.

Электретные микрофоны по принципу работы являются теми же конденсаторными, но постоянное напряжение в них обеспечивается зарядом электрета, тонким слоем нанесённого на мембрану и сохраняющим этот заряд продолжительное время (свыше 30 лет).

Поскольку электростатические микрофоны обладают высоким выходным сопротивлением, то для его уменьшения, как правило, в корпус микрофона встраивают истоковый повторитель на полевом n-канальном транзисторе с p-n переходом. Это позволяет снизить выходное сопротивление до величины не более 3 ÷ 4 кОм и уменьшить потери сигнала при подключении к входу усилителя сигнала микрофона.

На рис. 3.62 приведена внутренняя схема электретного микрофона с тремя выводами МКЭ-3.

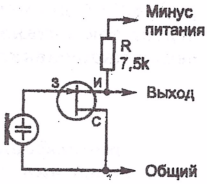

Рис. 3.62. Внутренняя схема электретного микрофона МКЭ-3.

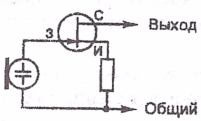

Рис. 3.64. Внутренняя схема электретного микрофона МКЭ-389-1.

У электретных микрофонов с двумя выводами выход микрофона выполнен по схеме усилителя с открытым стоком.

На рис. 3.64 приведена внутренняя схема электретного микрофона с двумя выводами МКЭ-389-1. Схема подключения такого микрофона приведена на рис. 3.63. По этой схеме можно подключать практически все электретные микрофоны с двумя выводами, и отечественные и импортные.

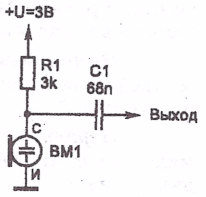

Рис. 3.63. Схема подключения электретных микрофонов с двумя выводами.

На рис. 3.67 приведены размеры и назначение выводов электретных микрофонов. В табл. 3.15 приведены их технические характеристики.

Табл. 3.15. Технические характеристики электретных микрофонов.

Микрофон	Чувствительность, мВ/Па, не менее	Номинальный диапазон рабочих частот, Гц	Уровень собственного шума, дБ, не более	Напряжение питания, В
М1-А2 "Сосна" М1-Б2 "Сосна" М7 "Сосна"	5 ÷ 15 10 ÷ 20 > 5	150 ÷ 7000 150 ÷ 7000 150 ÷ 7000	28 28 26	−1,2 ± 0,12 −1,2 ± 0,12 −1,2 ± 0,12
МЭК-1А МЭК-1Б	6 ÷ 20 6 ÷ 20	300 ÷ 4000 300 ÷ 4000	30 30	2,3 ÷ 4,7 2,3 ÷ 4,7
МКЭ-3	4 ÷ 20	50 ÷ 15000	30	−4,5 ± 1,5
МКЭ-84	6 ÷ 20	300 ÷ 3400	30	1,3 ÷ 4,5
МКЭ-377-1А МКЭ-377-1Б МКЭ-377-1В	6 ÷ 12 10 ÷ 20 18 ÷ 36	150 ÷ 15000 150 ÷ 15000 150 ÷ 15000	33 33 33	2,3 ÷ 6,0 2,3 ÷ 6,0 2,3 ÷ 6,0
МКЭ-378А МКЭ-378Б	6 ÷ 12 10 ÷ 20	30 ÷ 18000 30 ÷ 18000	33 33	2,3 ÷ 6,0 2,3 ÷ 6,0
МКЭ-389-1	6 ÷ 12	300 ÷ 4000	33	2,0 ÷ 6,0

Микрофон	Чувствительность, мВ/Па, не менее	Номинальный диапазон рабочих частот, Гц	Уровень собственного шума, дБ, не более	Напряжение питания, В
МКЭ–332А	3 ÷ 5	50 ÷ 12500	30	2,0 ÷ 9,0
МКЭ–332Б	6 ÷ 12	50 ÷ 12500	30	2,0 ÷ 9,0
МКЭ–332В	12 ÷ 24	50 ÷ 12500	30	2,0 ÷ 9,0
МКЭ–332Г	24 ÷ 48	50 ÷ 12500	30	2,0 ÷ 9,0
МКЭ–333А	3 ÷ 5	50 ÷ 12500	30	2,0 ÷ 9,0
МКЭ–333Б	6 ÷ 12	50 ÷ 12500	30	2,0 ÷ 9,0
МКЭ–333В	12 ÷ 24	50 ÷ 12500	30	2,0 ÷ 9,0
МКЭ–333Г	24 ÷ 48	50 ÷ 12500	30	2,0 ÷ 9,0

Ток потребления микрофона МЭК–1 не более 0,2 мА, МКЭ–377–1 и МКЭ–378 не более 0,35 мА. Потребляемый ток микрофонов М1–А2, М1–Б2 и М–7 не более 70 мкА.

Отличие микрофона МКЭ–332 от МКЭ–333 в том, что МКЭ–332 односторонненаправленный, а МКЭ–333 ненаправленный.

Коэффициент гармоник на частоте 1000 Гц при звуковом давлении 3 Па для микрофонов МКЭ–377–1 и МКЭ–389-1 не более 4 %, МКЭ–378 не более 1 %.

Неравномерность частотной характеристики чувствительности в номинальном диапазоне частот для микрофона МКЭ–3 не более 12 дБ, а для М1–А2, М1–Б2, МЭК–1 и МКЭ–389-1 не более ±2 дБ.

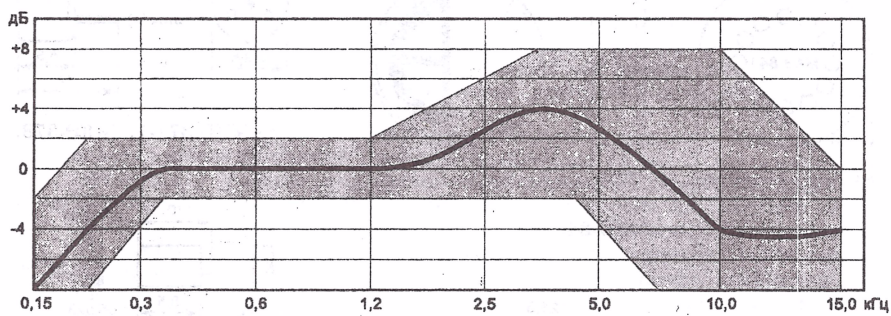

Рис. 3.65. Допусковая область частотной характеристики микрофона МКЭ–377–1.

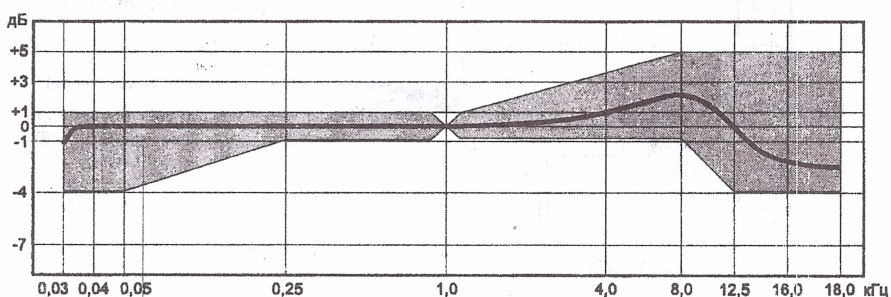

Рис. 3.66. Допусковая область частотной характеристики микрофона МКЭ–378.

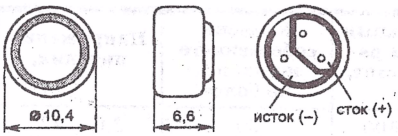

а) МКЭ-332, МКЭ333.

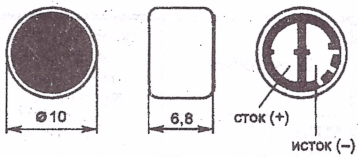

б) 34J9E.

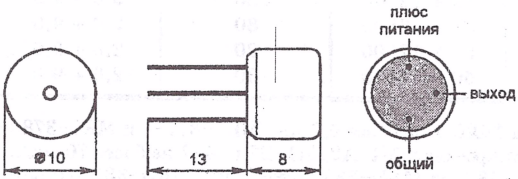

в) МЭК-1.

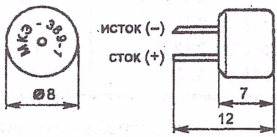

г) МКЭ-389-1.

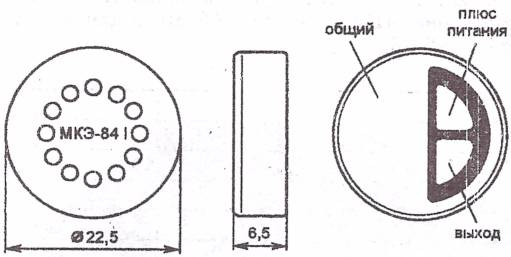

з) МКЭ-84.

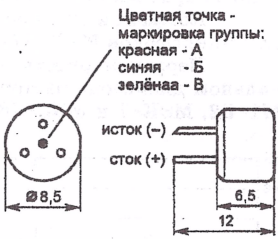

е) МКЭ-377-1, МКЭ-378.

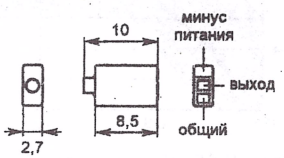

ж) М1-А2, М1-Б2.

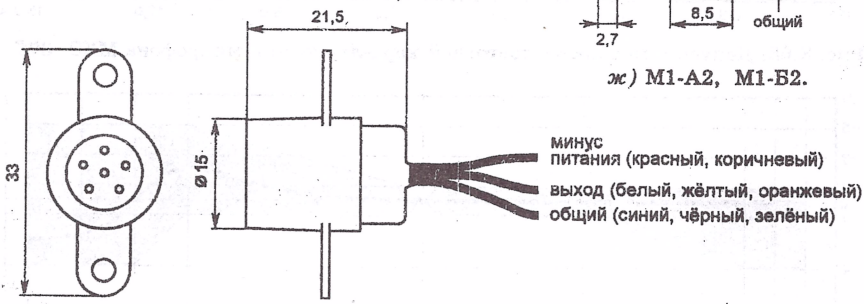

з) МКЭ-3

Рис. 3.67. Электретные микрофоны.

4. ЭЛЕКТРИЧЕСКИЕ ПРИНЦИПИАЛЬНЫЕ СХЕМЫ ТЕЛЕФОННЫХ АППАРАТОВ

Ассортимент выпускаемых телефонных аппаратов очень большой. Их производят фирмы во многих странах мира и, чтобы представить аппараты во всём их многообразии потребовалось бы многотомное издание. Поэтому автор вынужден был ограничиться электрическими принципиальными схемами лишь отдельных моделей телефонных аппаратов и телефонов-трубок различного класса сложности как зарубежного, так и отечественного производства, схемотехника которых является типовой для многих аппаратов данного класса. В качестве примера приведена также схема ТА с дисковым номеронабирателем. Автор надеется, что данный раздел поможет читателю лучше ориентироваться в схемотехнике различных ТА.

VEF TA-D

Электрическая принципиальная схема телефонного аппарата "VEF TA-D" (ТА-11432) с дисковым номеронабирателем представлена на рис. 4.1. Разговорный узел аппарата выполнен по противоместной схеме мостового типа с трансформатором Т1 и балансным контуром, состоящим из резисторов R1, R2 и конденсатора С4. Параллельно телефонному капсюлю BF1 включен амплитудный ограничитель избыточного уровня напряжения, состоящий из диодов VD8 и VD9. При уложенной на рычаг микротелефонной трубке разговорный узел закорачивается герконом S3 (КЭМ-3А). Набор номера осуществляется импульсными контактами 3-4 номеронабирателя S5. Контакты 1-2 во время набора замыкают разговорный узел накоротко для исключения щелчков в трубке телефона. Резистор R3 и конденсатор С5 представляют собой искрогасящую цепь во время набора номера.

В корпусе микротелефонной трубки размещаются микрофонный (МК-16-М) и телефонный (ТК-67-НТ) капсюли и постоянный магнит для управления герконом. Коммутация схемы обеспечивается герконом, срабатывающим при снятии микротелефонной трубки с аппарата.

При нажатии кнопки S1 ("S") происходит закорачивание микрофона, а при нажатии кнопки S2 ("отбой") - линия обрывается.

Вызывное устройство представляет собой тональный генератор с тремя переключающимися частотами. Напряжение вызывного сигнала АТС частотой 25 Гц через блокировочный для постоянного тока конденсатор С3 поступает на диодный мост VD3 ÷ VD6. Здесь напряжение выпрямляется и фильтруется конденсатором С5. Выпрямленное напряжение стабилизируется параметрическим стабилизатором на резисторе R6, стабилитроне VD11 и конденсаторе С7. Это напряжение величиной порядка 8 В используется для питания схемы вызывного устройства.

Тональный генератор собран по схеме мультивибратора на транзисторах разной проводимости VT2 и VT3. Изменение частоты достигается переключением резисторов R15, R19 и R20 в цепи эмиттера транзистора VT2. Переключение производится подачей логического "0" с выходов мультивибратора, собранного на элементах DD1.2 ÷ DD1.4 на диоды VD15 ÷ VD17.

Пороговое устройство выполнено на диодах VD1, VD2, стабилитронах VD7, VD12, резисторах R9, R13, конденсаторе С9 и логическом элементе DD1.1. Оно предназначено для ограничения послезвучания ВУ. После окончания посылки вызова на выходе логического элемента DD1.1 появляется логическая "1". Через диоды VD13, VD14 она подаётся в цепь базы транзистора VT3 и цепи эмиттеров транзисторов VT2, VT3 и срывает генерацию тонального генератора.

С коллектора транзистора VT3 сигнал тонального генератора подаётся на транзистор VT1. Здесь происходит его усиление по мощности. Для регулировки уровня громкости вызывного сигнала в коллектор транзистора VT1 последовательно с высокоомным электроакустическим преобразователем BF1 включен переменный резистор R8.

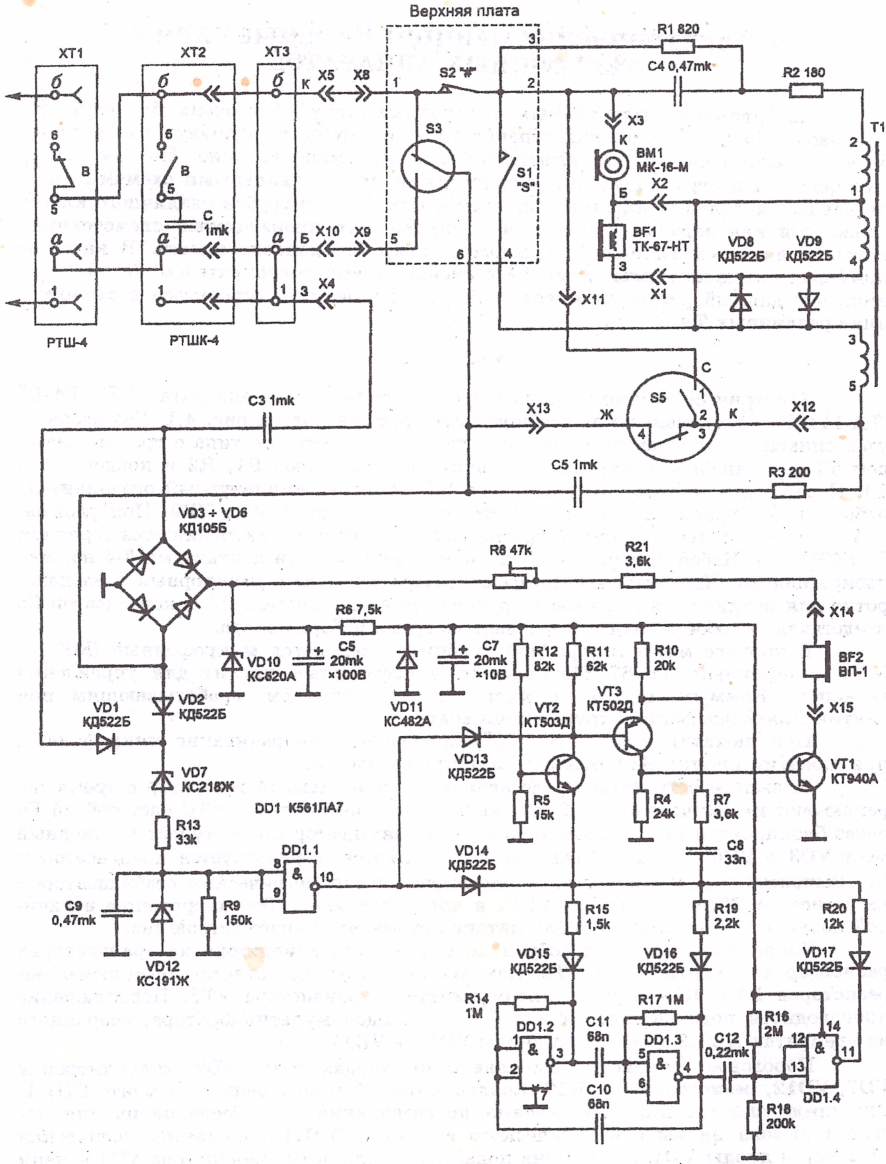

Рис. 4.1. Принципиальная электрическая схема телефонного аппарата VEF TA-D.

VEF TA-12

Телефонный аппарат VEF TA-12 (TA 11434) имеет кнопочный номеронабиратель. Аппарат обеспечивает выполнение следующих функций:

- набор номера любой значности; неоднократный повтор последнего набранного номера значностью не более 20 цифр нажатием кнопок "#" ("отбой") и "*" ("повтор");
- прерывание набора номера на любом этапе набора и повторный набор номера;
- хранение информации последнего набранного номера при уложенной на аппарат микротелефонной трубке и возможность последующего набора нажатием кнопки "повтор" (хранение не ограниченно во времени при наличии питания АТС и не более одного часа после отключения питания АТС);
- выключение микрофона во время разговора нажатием кнопки "S";
- регулировку уровня громкости вызывного акустического сигнала;
- включение аппаратов по схеме "директор - секретарь", спаренное включение через блокиратор или приставку с диодным разделением цепей.

Принципиальная схема аппарата представлена на рис. 4.2. Она включает в себя следующие функциональные узлы: разговорную схему, выполненную на трансформаторе Т1 (плата ПЭ 7.109.268-I), с подключенными к ней микрофонами ВМ1 и телефоном BF1; электронный номеронабиратель, выполненный на базе ИС DD3 типа К145ИК8П с блоком кнопок В2 ÷ В4 (плата ПК 7.109.221-XI); сильно - и слаботочные блоки питания; ВУ на элементах VT1 ÷ VT3, DD1 (плата ПЭ 7.109.268-I); контакты рычажного переключателя на герконах S2 и S3; безобрывные розетки X1, X2 с вилкой X3.

Разговорный узел выполнен по противоместной схеме мостового типа на дифференциальном трансформаторе Т1 с балансным контуром и диодным ограничителем VD1, VD2 избыточного напряжения на телефонном капсюле BF1.

К абонентской линии разговорная схема подключается через диоды VD1, VD2 и ключи номеронабирателя DD1, DD2, которые совместно образуют диодный мост, преобразователь на транзисторах VT1, VT2 и разговорный электронный ключ на DD5.

Электронный номеронабиратель состоит из микросхем DD3 и DD4, импульсного (DD1, DD2) и разговорного ключей (DD5). Управление номеронабирателем производится кнопками В2 ÷ В4. Электронный номеронабиратель работает следующим образом. При снятии микротелефонной трубки с аппарата срабатывают герконы S2 и S3. Геркон S3 обрывает цепь ВУ и подключает разговорный узел, а S3 переключает ИС DD3 в состояние "разговор - посылка вызова". К абонентской линии подключается сильноточный импульсный блок питания на транзисторах VT1, VT2, конденсаторах С2, С3, резисторах R1, R2 и трансформаторе Т1, выполненный по схеме высокочастотного двухтактного мультивибратора с частотой преобразования 200 кГц. Преобразованное напряжение выпрямляется мостом VD3, фильтруется конденсаторами С4, С5 и стабилизируется стабилитроном VD4 до 9 В.

При подключении блока питания к линии происходит начальная установка элементов схемы номеронабирателя посредством подачи напряжения логического "0" на вход 2 и логической "1" на вход 3 микросхемы DD3. На выводе 5 DD3 формируется напряжение логического "0", которое после инверсии элементом DD4.4 поступает на вход разговорного ключа DD5, открывая его. Абонентский шлейф замыкается по цепи: линия АТС (разъем X7), перемычка 6-6 (между платами ПЭ и ПК), диодный мост (VD1, VD2, DD1, DD2), трансформатор Т1 (обмотки 2-3, 5-6), один из открытых транзисторов VT1, VT2, перемычка 2-2, разговорная схема (R1, R2, C3, T1, BM1, BF1, VD1, VD2), вывод 5 обмотки трансформатора Т1, перемычка 4-4 на открытый разговорный ключ DD5, диодный мост (VD1, VD2, DD1, DD2), геркон S2, перемычка 3-3, линия АТС (разъем X6).

При нажатии на цифровые кнопки номеронабирателя на соответствующих входах (1 ÷ 0) микросхемы DD3 устанавливается напряжение логического "0".

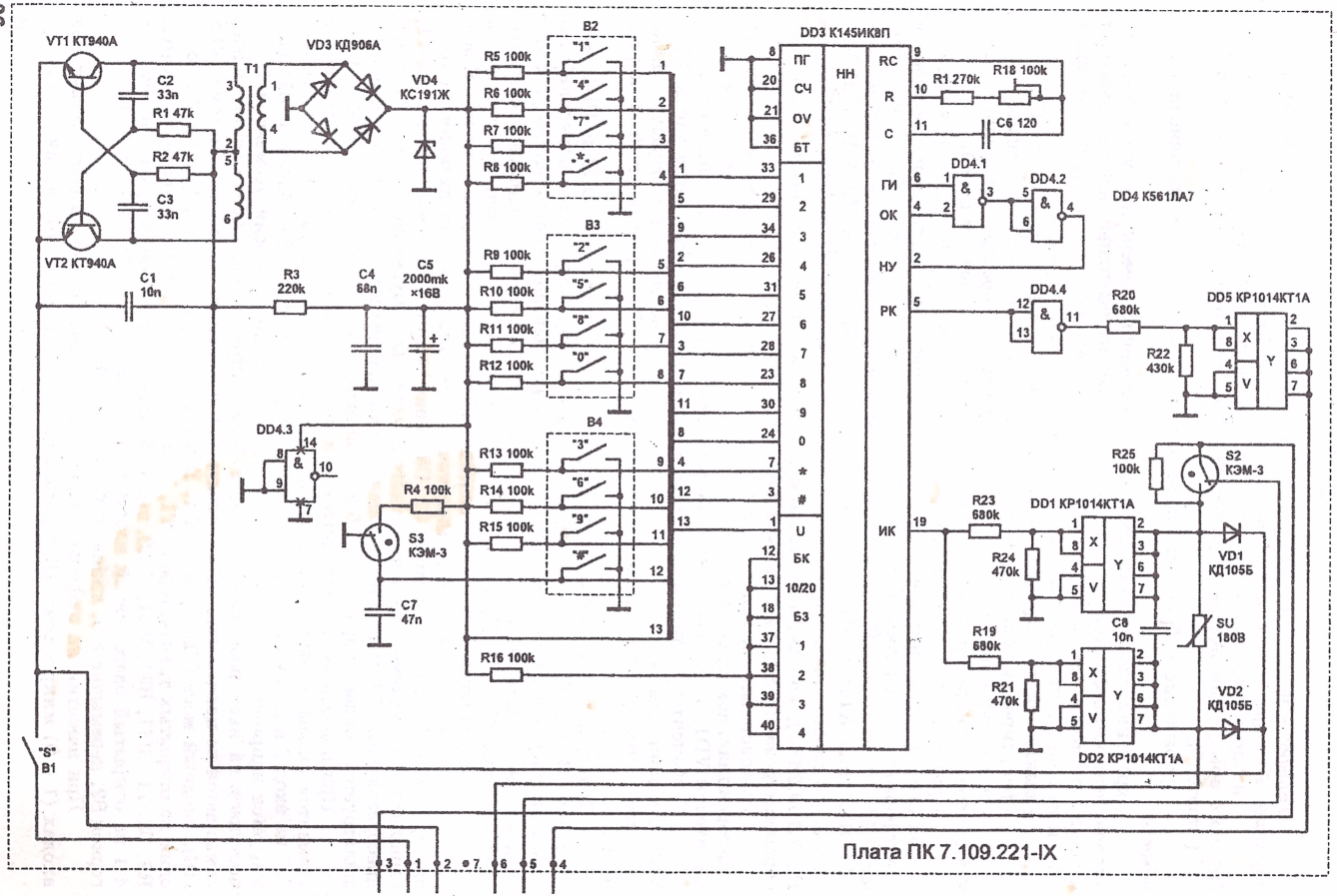
VT1 КТ940А
VT2 КТ940А
C2 33n
R1 47k
R2 47k
C3 33n
T1
VD3 КД906А
VD4 КС191Ж
C1 10n
R3 220k
C4 68n
C5 2000mk ×16В
B2
B3
B4
R5 100k
R6 100k
R7 100k
R8 100k
R9 100k
R10 100k
R11 100k
R12 100k
R13 100k
R14 100k
R15 100k
R16 100k
DD4.3
R4 100k
S3 КЭМ-3
C7 47n
"S" B1
DD3 К145ИК8П
ПГ
СЧ
ОУ
БТ
НН
RC
R
C
ГИ
ОК
НУ
РК
ИК
U
БК
10/20
БЗ
DD4.1
DD4.2
DD4 К561ЛА7
R1 270k
R18 100k
C6 120
DD4.4
R20 680k
DD5 КР1014КТ1А
R22 430k
R25 100k
S2 КЭМ-3
R23 680k
DD1 КР1014КТ1А
R24 470k
VD1 КД105Б
C8 10n
SU 180В
R19 680k
R21 470k
VD2 КД105Б
DD2 КР1014КТ1А
Плата ПК 7.109.221-IX

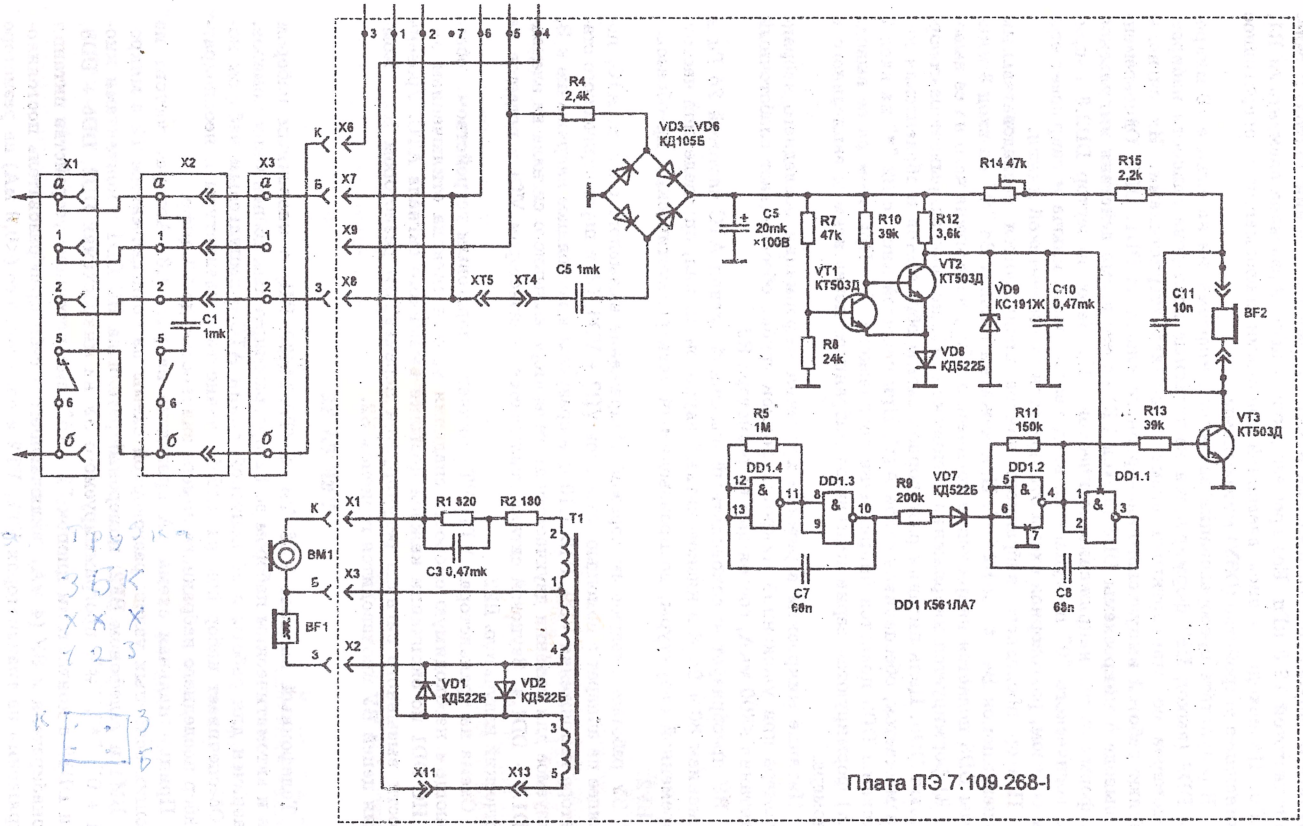

Рис. 4.2. Принципиальная электрическая схема телефонного аппарата VEF ТА-12.

В результате запускается встроенный в микросхему внутренний тактовый генератор с частотой 12,8 кГц. Его времязадающая цепь образована элементами R1, R18, C6. Происходит запись введенной кнопками информации в оперативное запоминающее устройство (ОЗУ) микросхемы.

В результате преобразования введенной информации на выводе 19 микросхемы DD3 (выход ИК) формируются импульсные последовательности набираемых номеров со стандартными временными характеристиками. Их сигналы управляют работой импульсного электронного ключа на DD1, DD2. Одновременно на выводе 5 микросхемы DD3 (выход РК) на все время действия импульсной серии формируется напряжение логической "1". Через инвертор DD2.3 напряжение логического "0" поступает на вход разговорного ключа и закрывает его. Таким образом, разговорная схема отключается от абонентской линии.

Повтор последнего набранного номера производится последовательным нажатием кнопок B4 "#" и B2 "*". При нажатии кнопки B4 "#" на вход 3 микросхемы DD3 подаётся напряжение логического "0", вследствие чего на ее выводе 5 (РК) формируется напряжение логической "1", которое закрывает разговорный ключ DD5. Цепь питания разговорной схемы обрывается и абонентская линия размыкается, обеспечивая отбой АТС. При нажатой кнопке B2 "*" на вход 7 микросхемы DD3 подается напряжение логического "0". При этом на ее выводе 19 (ИК) формируются серии импульсов набранного перед этим и записанного в ОЗУ номера.

Питание микросхем в режиме хранения информации последнего набранного номера при уложенной микротелефонной трубке обеспечивает слаботочный узел питания ≤300 мкА, состоящий из резистора R3.

ВУ преобразует высоковольтный вызывной сигнал АТС частотой 25 Гц и напряжением 80 ÷ 90 В в низковольтный звуковой сигнал, определенной частотно - временной структуры, воспроизводимый электроакустическим преобразователем BF2.

ВУ работает следующим образом. Напряжение вызывного сигнала АТС, поступающее на аппарат с помощью элементов VD3 ÷ VD6, C5 и параметрического стабилизатора напряжения VD9, R12, C10 преобразуется в постоянное напряжение 9 В, используемое для питания двухчастотного генератора вызывного сигнала на элементах DD1.1 ÷ DD1.4. Звуковой сигнал усиливается транзистором VT3 и подается на динамический излучатель BF2.

Схема на транзисторах VT1, VT2 является пороговым устройством, обеспечивающим необходимую скорость спадания уровня сигнала отключением питания ИС DD1 по окончании каждой посылки вызывного сигнала АТС. Уровень громкости вызывного сигнала регулируется переменным резистором R14. Коммутация цепей ВУ производится герконом S2.

VEF TA-32

Телефонный аппарат VEF TA-32 (ТА-11430 ИН) с кнопочным набором номера и автоматическим набором до 32 программируемых абонентских номеров, предназначен для работы в абонентской линии АТС с импульсным набором номера. Обеспечивает набор номера любой значности с клавиатуры и неоднократный набор последнего набранного номера значностью до 20 цифр.

Принципиальная схема ТА приведена на рис. 4.3. Аппарат состоит из следующих основных узлов: разговорной схемы на трансформаторе T2 с микрофоном BM1 и телефоном BF2; номеронабирателя на ИС DD1 с контактами кнопок "1 ÷ 0", "*", "#"; программируемого ЗУ на микросхемах DD2, DD5 ÷ DD8, DD11 и DD12 с контактами кнопок "1 ÷ 16"; сильноточного устройства питания номеронабирателя и ЗУ (4 мА), включающего в себя преобразователь постоянного напряжения на транзисторах VT1, VT2 и слаботочного (<0,3 мА) на резисторе

R7; тонального вызывного устройства на ИС 1DD1, транзисторах 1VT1 ÷ 1VT3 и вызывном приборе BF1; контактов рычажного переключателя на герконах S14, S17.

Номеронабиратель построен на базе микросхемы DD1 К145ИК8П (см. VEF TA-12).

Программируемое ЗУ построено на базе специализированной микросхемы управления DD2 типа К145ИК11П и микросхем ЗУ DD5 ÷ DD8 типа К561РУ2А. В процессе записи номера в ЗУ должна быть постоянно нажата кнопка ⧖, обеспечивающая подачу на вход 8 DD2 и входы 15 DD5 ÷ DD8 напряжения логической "1" для установки режима записи. При этом с выхода 9 DD2 на вход 18 DD1 подается напряжение логического "0", блокирующее запись информации программируемого номера в ОЗУ ИС DD1 и исключающее передачу номера в линию в процессе его записи.

Выбор адреса программируемого номера происходит следующим образом. При замыкании кнопки "А" ("В") и замыкании контактов "1 ÷ 16" одной из именных кнопок происходит соединение одного из выходов 20 ÷ 27 ИС DD2 с ее входами 1, 2 (3, 4) через схему выбора адреса на элементах DD11.1, DD11.3, DD12.1, DD12.3 (DD11.2, DD11.4, DD12.2, DD12.4). В результате на выходах 28 ÷ 35 DD2 формируется код адреса ячейки памяти.

При нажатии на одну из кнопок "1 ÷ 10" на выходах 22, 25, 32, 35 DD1 формируется параллельный двоичный код, поступающий на входы 36, 37, 38, 40 DD2 и далее на выходы 10 ÷ 13 DD2 и входы 12 DD5 ÷ DD8, где фиксируется в ячейках памяти. Одновременно с кодом номера на входы 16 DD5 ÷ DD8 поступают тактовые импульсы выбора кристалла с выхода 14 DD2. Синхронно с этим осуществляется стирание ранее записанного по этому адресу абонентского номера.

Считывание кода запрограммированного номера с выхода 13 DD5 ÷ DD8 происходит при поступлении тактовых импульсов с выхода 14 DD2. Считанная информация записывается в ОЗУ ИС DD1 по ее входам 37 ÷ 40, в результате чего на выходе 19 DD1 формируются серии импульсов, соответствующие набранному номеру.

Питание схем ЗУ и номеронабирателя в режиме хранения записанной в ОЗУ и ЗУ информации при уложенной на рычаг трубке осуществляется через резистор R7 током не более 300 мкА.

Если телефон долго был отключен от линии АТС, то после включения необходимо подождать несколько минут для того чтобы зарядился конденсатор С7 источника питания.

VEF Rita-201, Gunta-202, Inta-203

Телефонные аппараты VEF Rita-201, Gunta-202 и Inta-203 обеспечивают выполнение следующих функций:

- набор номера любой значности;
- неоднократный повтор последнего набранного номера значностью не более 22 цифр нажатием кнопки "*" ("повтор") после отбоя соединения нажатием кнопки "#" ("отбой") или рычажного переключателя;
- прерывание набора номера на любом этапе набора и повторный набор номера заново;
- хранение информации последнего набранного номера в течение неограниченного времени при уложенной на аппарат микротелефонной трубке и наличии питания в абонентской линии АТС;
- возможность прослушивания акустических сигналов АТС во время межсерийных пауз при наборе номера;
- возможность введения программируемой паузы увеличенной длительности между любыми двумя соседними цифрами номера;

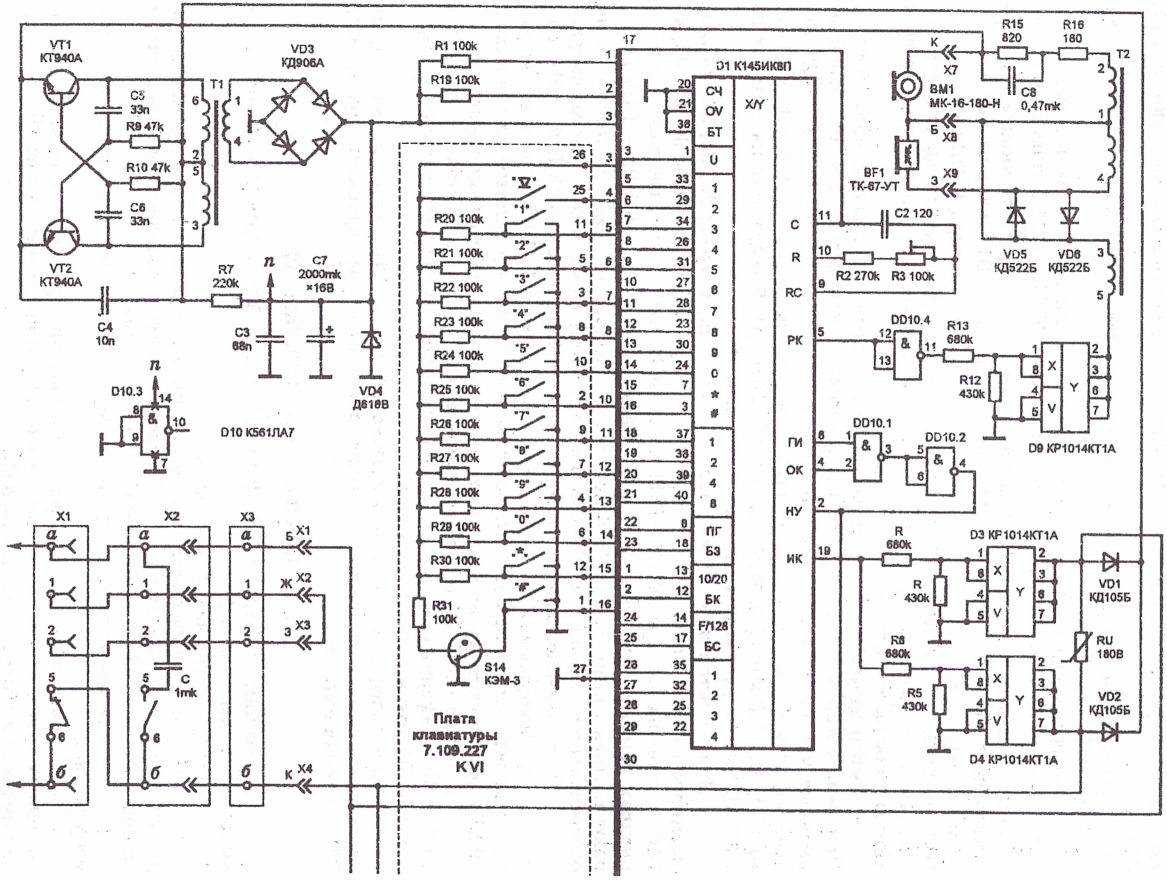
VT1 КТ940А
VT2 КТ940А
C5 33n
C6 33n
R9 47k
R10 47k
T1
VD3 КД906А
C4 10n
R7 220k
C7 2000mk ×16В
C3 68n
VD4 Д818В
D10.3
D10 К561ЛА7
R1 100k
R19 100k
R20 100k
R21 100k
R22 100k
R23 100k
R24 100k
R25 100k
R26 100k
R27 100k
R28 100k
R29 100k
R30 100k
R31 100k
S14 КЭМ-3
Плата клавиатуры 7.109.227 KVI
D1 К145ИКВП
СЧ
ОУ
БТ
U
С
R
RC
РК
ГИ
ОК
НУ
ИК
ПГ
БЗ
10/20
БК
F/128
БС
X/Y
R15 820
R16 180
C8 0,47mk
BM1 МК-16-180-Н
BF1 ТК-67-УТ
C2 120
R2 270k
R3 100k
VD5 КД522Б
VD6 КД522Б
DD10.4
R13 680k
R12 430k
D9 КР1014КТ1А
DD10.1
DD10.2
R 680k
R 430k
D3 КР1014КТ1А
R8 680k
R5 430k
D4 КР1014КТ1А
VD1 КД105Б
VD2 КД105Б
RU 180В
X1
X2
X3
C 1mk

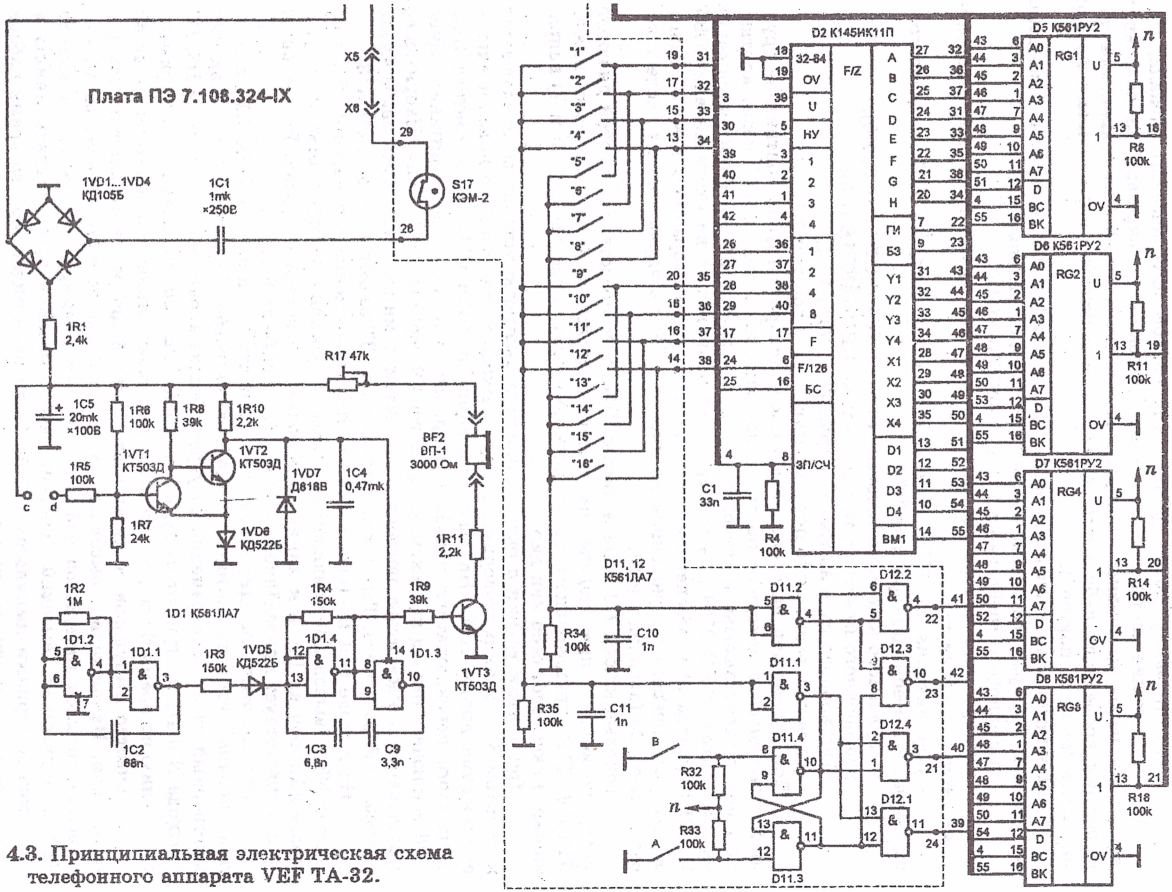

Рис. 4.3. Принципиальная электрическая схема телефонного аппарата VEF ТА-32.

- регулирование уровня громкости вызывного акустического сигнала;
- включение аппаратов по схеме "директор - секретарь" и спаренное включение через приставки с диодным разделением цепей (без сохранения информации последнего набранного номера и возможности последующего набора нажатием кнопки "повтор").

Принципиальная электрическая схема телефонных аппаратов приведена на рис. 4.4. Аппарат состоит из следующих функциональных узлов:
- вызывного устройства на ИС КР1008ВЖ4 (D4);
- электронного номеронабирателя на базе ИС КР1008ВЖ1 (D2) с контактами кнопок клавиатуры;
- узла питания ИС ЭНН, состоящего из стабилитрона VD7, конденсатора фильтра С9 и стабилизатора тока VT2;
- импульсного ключа на токовых ключах КР1014КТ1В (D2, D3);
- разговорного ключа на токовом ключе КР1014КТ1В (D5);
- разговорного узла на транзисторах VT1, VT3, VT4;
- контактов рычажного переключателя S1 и розетки XT.

При уложенной на рычаг телефонного аппарата трубке контактная группа S1 находится в исходном по схеме положении. К линии АТС через контакт S1.1 подключено вызывное устройство. Через резистор R6 подаётся напряжение на узел питания ИС ЭНН для поддержания напряжения на входе питания ОЗУ ИС ЭНН (вывод 3) и обеспечения повтора последнего набранного номера. Разговорный ключ заперт напряжением логического "0" на управляющем входе токового ключа D5 (выводы 1 и 8).

Токовые ключи D2 и D3 и диоды VD4, VD5 представляют собой диодный мост, поскольку при подаче на исток (выводы 4 и 5) токового ключа КР1014КТ1В отрицательного по отношению к стоку (выводы 2, 3, 6 и 7) напряжения, ключ ведёт себя как диод.

При снятии трубки с рычага аппарата вызывное устройство отключается контактом S1.1 и на разговорную схему с выхода моста подаётся положительное напряжение линии АТС. На вывод питания ИС ЭНН (U1) через контакт S1.2 рычажного переключателя подаётся напряжение 3 В со схемы питания. Диод VD6 исключает разряд конденсатора фильтра С9 через внешние цепи. Напряжение заряженного конденсатора поддерживает питание микросхемы номеронабирателя во время набора номера. Ток стабилизатора тока VT2 задаётся резистором R13.

На выходе NSI D1 (вывод 12) остаётся напряжение логического "0", а на выходе NSA (вывод 18) появляется "*высокий*" уровень, который открывает разговорный ключ на D5, и к линии подключается разговорный узел. Разговорный узел соответствует приведённому на рис. 3. 37 раздела 3.5.

При нажатии на одну из кнопок клавиатуры на выходе NSA D1 появляется "*низкий*" уровень, который закрывает разговорный ключ D5 и отключает разговорный узел. Одновременно на управляющие входы токовых ключей D2, D3 с выхода NSI D1 поступают импульсы набора, "*низкий*" уровень которых размыкает линию на время 60 мс, а "*высокий*" замыкает линию накоротко на время 40 мс. Количество импульсов соответствует нажатой цифре на клавиатуре номеронабирателя. Напряжение "*высокого*" уровня на выходе NSA появляется только во время посылок импульсов набора. Во время межсерийной паузы на выходе NSA присутствует "*высокий*" уровень, что позволяет прослушивать линию в паузе между сериями импульсов набора. Если произойдёт сбой во время набора номера, то набор можно повторить сразу, не дожидаясь его окончания.

Стабилитрон VD9 защищает разговорный узел от выбросов напряжения во время коммутации разговорного ключа. Диод VD10 повышает напряжение питания усилителя приема на 0,6 В относительно общей точки. Переменным резистором R16 можно регулировать усиление микрофонного усилителя, а резистором R18 - глубину подавления местного эффекта.

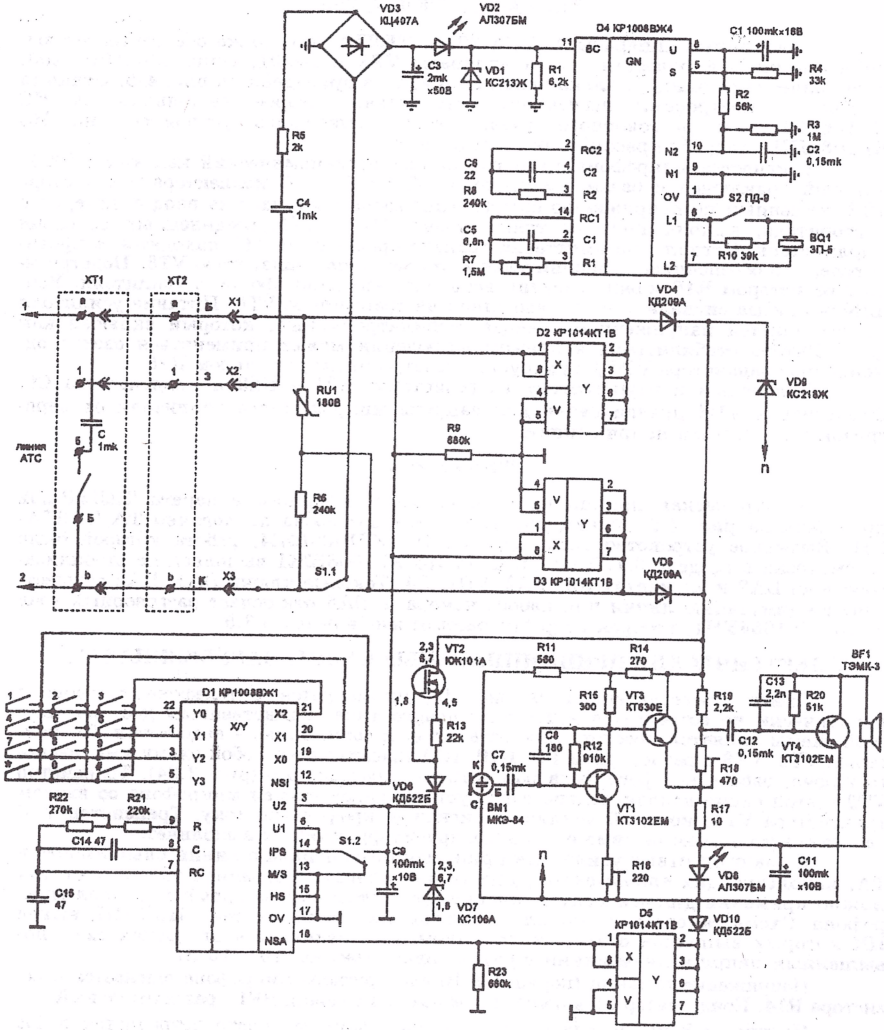

Рис. 4.4. Электрическая принципиальная схема телефонных аппаратов VEF Rita-201, VEF Gunta-202, VEF Inta-203.

ТЕЛТА-201, ТЕЛТА-204

Телефонные аппараты ТЕЛТА-201 и ТЕЛТА-204 также обеспечивают выполнение тех же функций, что и аппараты VEF Rita-201, Gunta-202, Inta-203. Электрическая принципиальная схема аппаратов приведена на рис. 4.5. Отличия состоят в построении вызывного устройства, которое выполнено на ИС КР1064ПП1, и разговорного узла. Работа вызывного устройства на ИС КР1064ПП1 подробно рассмотрена в разделе 3.1.

В качестве микрофона применяется электродинамический капсюль ПДК-1, который подключен к базам транзисторов VT2 и VT3. С коллектора транзистора VT3 усиленный по напряжению сигнал микрофона поступает на вход эмиттерного повторителя, выполненного на транзисторах VT4 и VT5, соединённых по схеме Дарлингтона. Сигналы на эмиттерах транзисторов VT2 и VT3 находятся в противофазе, что обеспечивает дополнительное усиление на транзисторе VT3. Подстроечным резистором R16 можно регулировать усиление микрофонного усилителя. Усилитель приёма сигнала с линии выполнен на транзисторе VT6. Питание усилителя осуществляется напряжением с анода стабилитрона VD5, который включен как диод. Вместо стабилитрона в прямом включении может применяться светодиод. Усиление транзистора VT6 регулируется подстроечным резистором R25.

Балансный контур состоит из резисторов R21 + R23 и конденсатора C9. Стабилитрон VD4 предназначен для защиты микрофонного усилителя от перегрузок импульсным напряжением.

ТЕЛУР-202

Электрическая принципиальная схема телефонного аппарата ТЕЛУР-202 приведена на рис. 4.6. Функционально схема построена аналогично ТА ТЕЛТА-201. Вызывное устройство выполнено на ИС КР1008ВЖ4, работа которой была рассмотрена в разделе 3.1. Узел питания ИС КР1008ВЖ1 выполнен на стабилизаторе тока DA3 и элементах R8, VD2, VD1, C4. Токовые ключи DA1, DA2 осуществляют коммутацию линии при наборе номера, а DA5 отключает разговорный узел на ИС КР1064УН1, которая подробно рассмотрена в разделе 3.5.

ЭЛЕКТРИЧЕСКИЕ ПРИНЦИПИАЛЬНЫЕ СХЕМЫ ЗАРУБЕЖНЫХ ТА

Схема, представленная на рис. 4.7 применяется в телефонах-трубках и практически не встречается в ТА настольного типа. Единственным достоинством этой схемы является простота. Все остальное, к сожалению, - недостатки. Транзисторы VT2, VT3 с резисторами R9, R10, R11 представляют собой схему импульсного ключа, работа которого была рассмотрена в разделе 3.4 (рис. 3.34). Транзистор VT2 в этой схеме дополнительно согласует выходной сигнал микрофона со входом транзистора VT4, который усиливает сигнал микрофона по току. Транзистор VT3 работает в ключевом режиме и никаких других функций не выполняет.

Из-за отсутствия усилителя принимаемого сигнала с линии слышимость в ТА, использующих такую схему, достаточна низкая. Устранить этот недостаток можно применив динамическую головку, но в этом случае ослабнет сигнал микрофона. Схема такого типа может использоваться только с теми ИС ЭНН, выход ИК которых выполнен с открытым стоком. Она отличается от других схем повышенным напряжением линии в разговорном режиме (10 + 15 В).

Напряжение питания (порядка 3 В) электретного микрофона снимается с резистора R14. Конденсатор C5 в цепи динамической головки BF1 - разделительный.

На рис. 4.8 приведена схема, которая наиболее часто встречается в ТА настольного типа и телефон-трубках производства стран Юго-Восточной Азии. Схема применяется с различными микросхемами номеронабирателя (KS5805A, KS5851, UM9151-3 и т. п.). Функциональные узлы этой схемы подробно рассмотрены в соответствующих главах.

На рис. 4.9 приведена схема ТА с дополнительной памятью на 10 номеров. Порядок работы с дополнительной памятью описан в разделе 2.8. Работа ИК описана в разделе 3.4 (рис. 3.34). Разговорный узел выполнен по типу схемы, приведенной на рис. 3.36 раздела 3.5. Довольно часто в этой схеме применяется и разговорный узел, приведенный на рис. 3.33.

На рис. 4.10 представлена схема телефона "БЕЛОГРАДЧИК" производства Болгарии с дополнительной памятью на 10 номеров. Схема имеет хорошие характеристики разговорного узла. Стабилитрон VD5 - защитный. Диод VD9 в

разговорном режиме блокирует импульсный ключ, поскольку в этом режиме на выходе NSI (вывод 9) ИС DD1 напряжение *"высокого"* уровня.

Во время набора номера разговорный узел отключается транзисторами разговорного ключа VT1, VT2. Катод диода VD9 при этом отключается от нулевого провода, разрешая работу импульсного ключа выполненного на транзисторах VT3, VT4.

Питание ИС обеспечивается диодами VD6 ÷ VD8, VD11.

На рис. 4.11 приведена схема ТА с режимом "HOLD".

Этот режим работает следующим образом. В разговорном режиме, когда трубка снята, транзисторы VT1,VT2 - заперты. При нажатии кнопки "HOLD" открывается транзистор VT1, который открывает транзистор VT2. Через открытый транзистор VT2, резистор R8, R12 и диод VD10 протекает ток и открывает транзистор VT3. Транзистор VT3 шунтирует микрофон BM1. Одновременно увеличивается ток через светодиод VD16, яркость свечения которого увеличивается.

Теперь, если уложить трубку на аппарат, переключатель SB1 вернется в исходное состояние, показанное на схеме. При этом подключение к линии будет удерживаться по цепи: открытый транзистор VT2, резистор R8, диод VD11, светодиод VD16. В этом режиме можно перейти к параллельному телефону и продолжить разговор.

При снятии трубки на параллельном телефоне, последний подключается к линии, и являясь дополнительным сопротивлением, понижает напряжение линии. Так как напряжение на конденсаторе C2 в этот момент не изменилось, то больший потенциал на базе транзистора VT2 закрывает его и первый телефон отключается от линии.

На рис. 4.12 приведена схема ТА с частотным набором. По своему построению схема весьма сходна со схемой, приведенной на рис. 4.8 и отличается от неё лишь тем, что управление работой АТС осуществляется многочастотным кодом 2 из 8, а не посылками напряжения постоянного тока.

На рис. 4.13 представлена схема ТА, выполненного на базе микросхемы UM9151. Напряжение смещения на выходе импульсного ключа с открытым стоком (вывод 9) подаётся с логического выхода разговорного ключа ИС (вывод 13) через резистор R16. Такое включение ИК исключает непосредственное воздействие напряжения линии на выход ИК ИС, что снижает вероятность выхода микросхемы номеронабирателя из строя.

На рис. 4.14 приведена схема телефонного аппарата "GALAX" модели UP-722TP. Корпус ТА выполнен из прозрачной пластмассы. При поступлении сигнала индукторного вызова разноцветные неоновые лампочки LP1 ÷ LP5 выполняют функцию световой индикации вызова. В разговорном режиме и во время набора номера светодиоды LED1 и LED2 осуществляют подсветку клавиатуры телефона.

В ТА, схема которого приведена на рис. 4.15, предусмотрена возможность работы как в импульсном (PULSE), так и в частотном (TONE) режимах. Порядок программирования ИС HM9112A рассмотрен в разделе 2.9. Разговорный узел ТА состоит из двух независимых узлов, один из которых обеспечивает работу с трубкой, другой - режим "HANDSFREE" , т.е. работу со встроенными в корпус ТА микрофоном и динамической головкой, что дает возможность вести разговор по телефону не снимая трубки и иметь свободные руки.

В левом, по схеме, положении переключателя SW1.2 подключена телефонная трубка, в правом осуществляется режим "HANDSFREE".

На рис. 4.16 приведена типовая электрическая принципиальная схема ТА марки Tel 01 и FeTAp фирмы "SIEMENS". Основное отличие схемы в том, что импульсный ключ выполнен на p-канальном высоковольтном полевом транзисторе BSS92 (отечественный аналог - КП402А, выпускаемый АО "СВЕТЛАНА" в г. С. Петербурге). ИС разговорного узла PSB4500 функционально не отличается от ИС TEA1068, подробно рассмотренной в главе 3. ИС PSB8510-1 представляет собой тонально-импульсный номеронабиратель, работа которого программируется выводами 9 и 20 (подключением к плюсу питания, общему выводу или остаются неподключенными). Подключением P1 и P2 по схеме рис. 4.16 задаётся по умолчанию импульсный режим работы ИС, импульсный коэффициент 1,5 и программируемая пауза при наборе номера 3 с. Подробно телефонные микросхемы фирмы "SIEMENS" будут рассмотрены в следующем издании.

Работа узлов схем, приведенных на рис. 4.17 ÷ 4.19, подробно описана в соответствующих разделах.

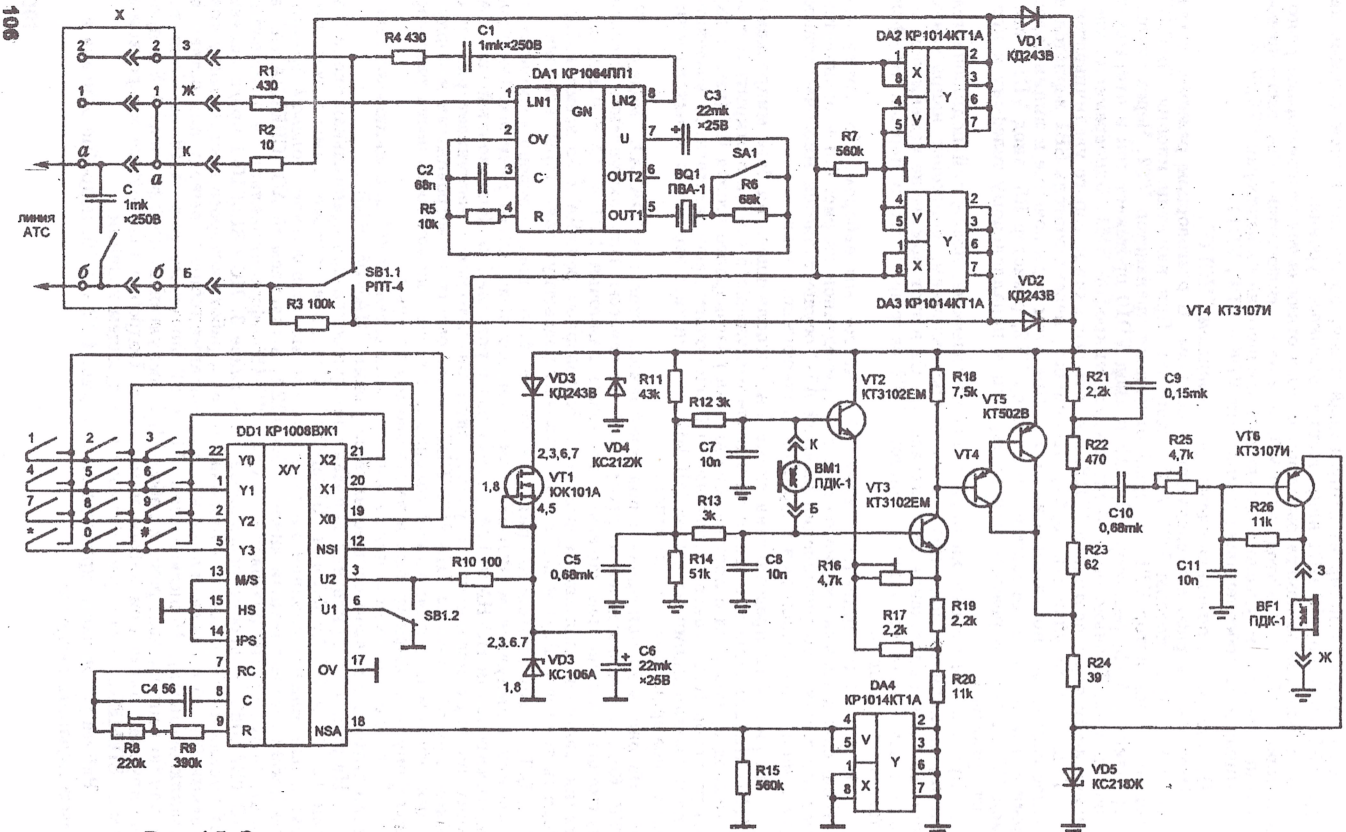

Рис. 4.5. Электрическая принципиальная схема телефонных аппаратов "ТЕЛТА-201" и "ТЕЛТА-204".

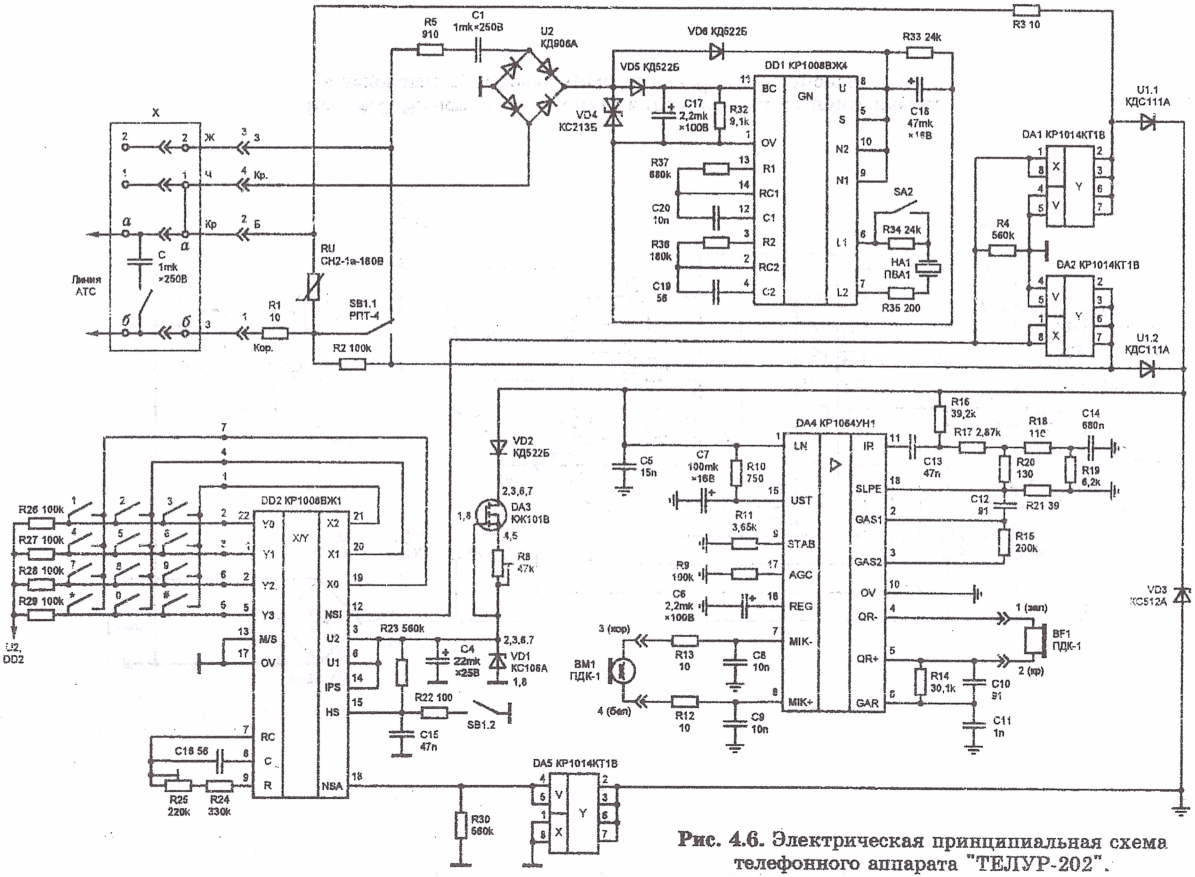

Рис. 4.6. Электрическая принципиальная схема телефонного аппарата "ТЕЛУР-202".

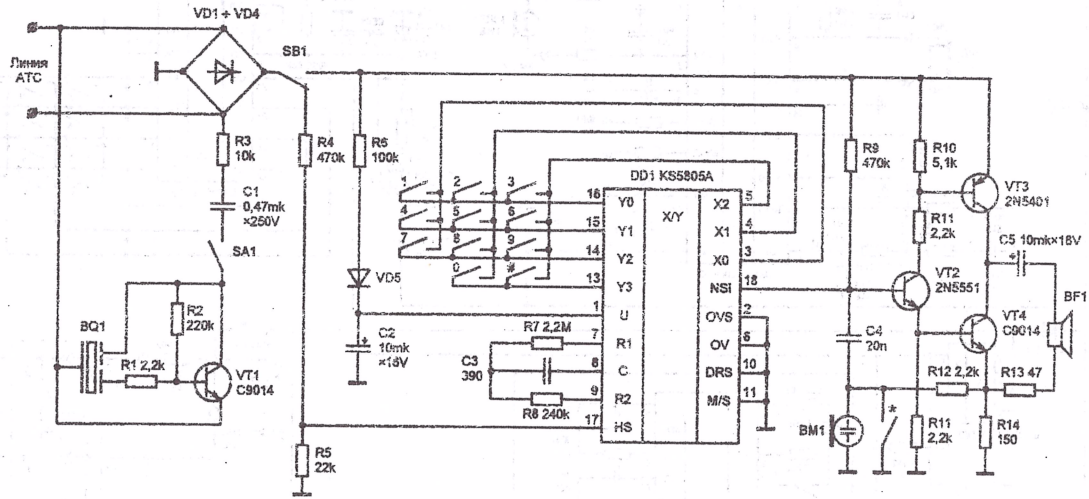

Рис. 4.7. Электрическая принципиальная схема, применяемая в недорогих телефонах-трубках зарубежного производства.

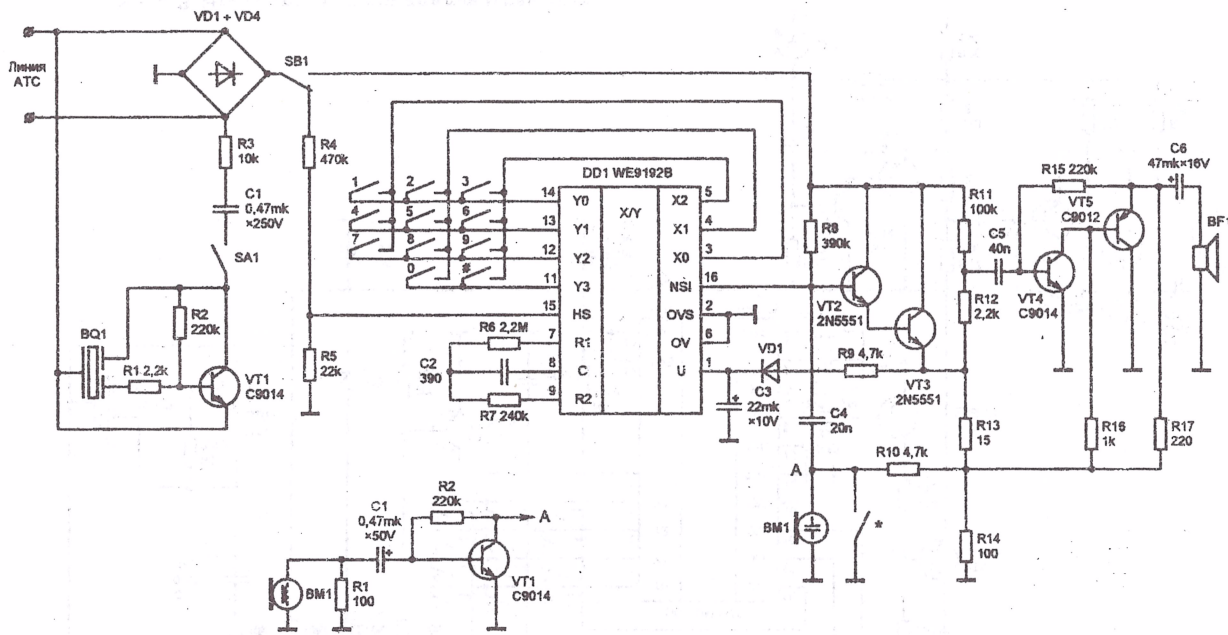

Подключение электродинамического микрофона.

Рис. 4.8. Наиболее распространённая схема недорогих телефонов настольного типа и телефонов-трубок зарубежного производства.

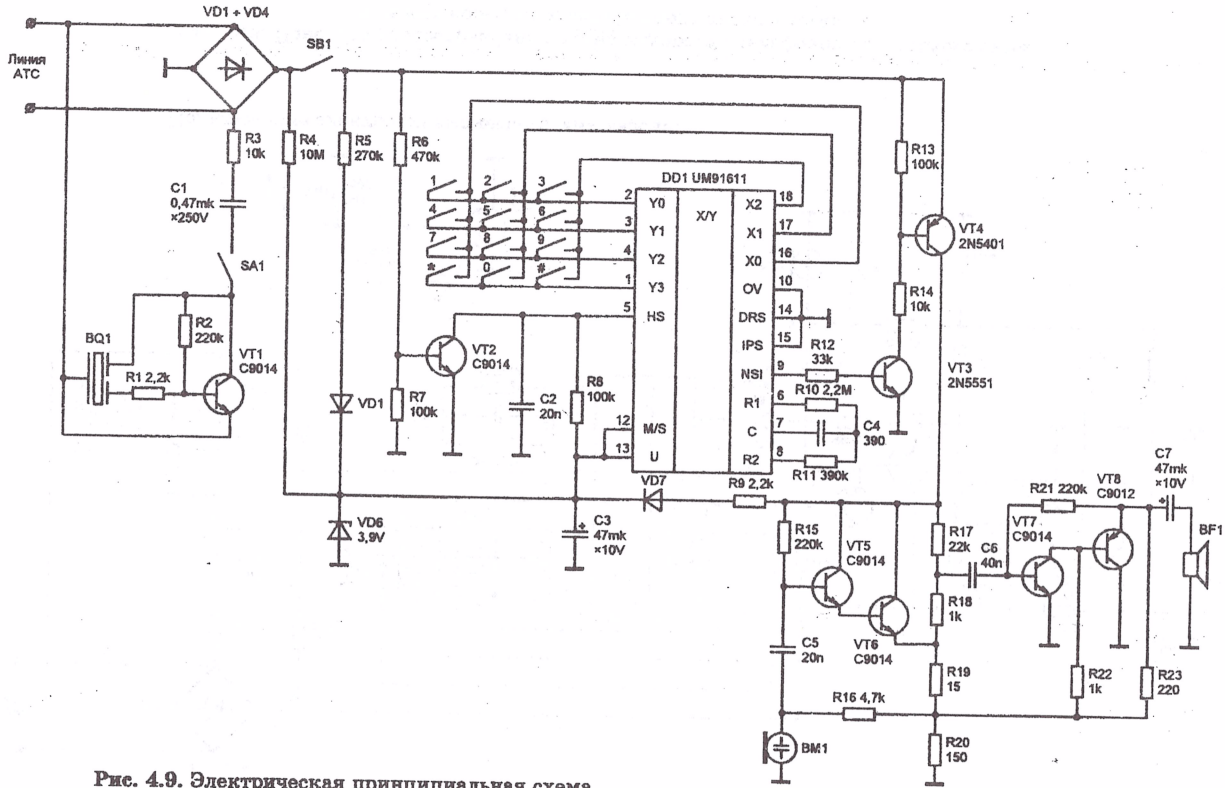

Рис. 4.9. Электрическая принципиальная схема телефонного аппарата с дополнительной памятью.

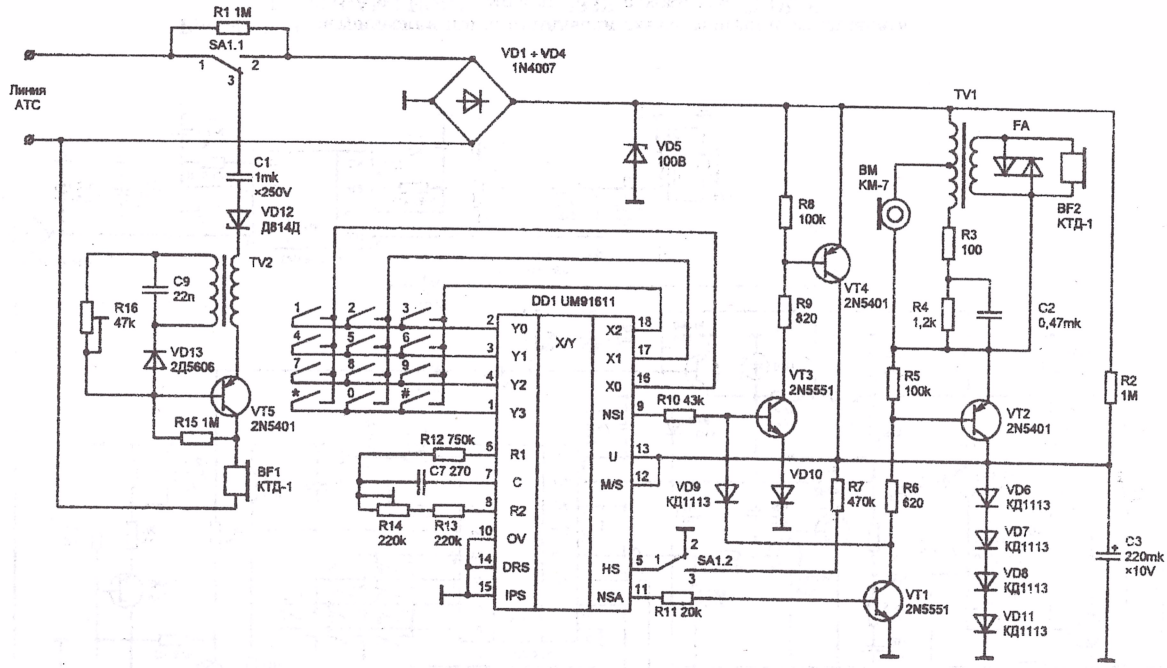

Рис. 4.10. Электрическая принципиальная схема телефонных аппаратов "БЕЛОГРАДЧИК" ТА-620 и ТА-1300.

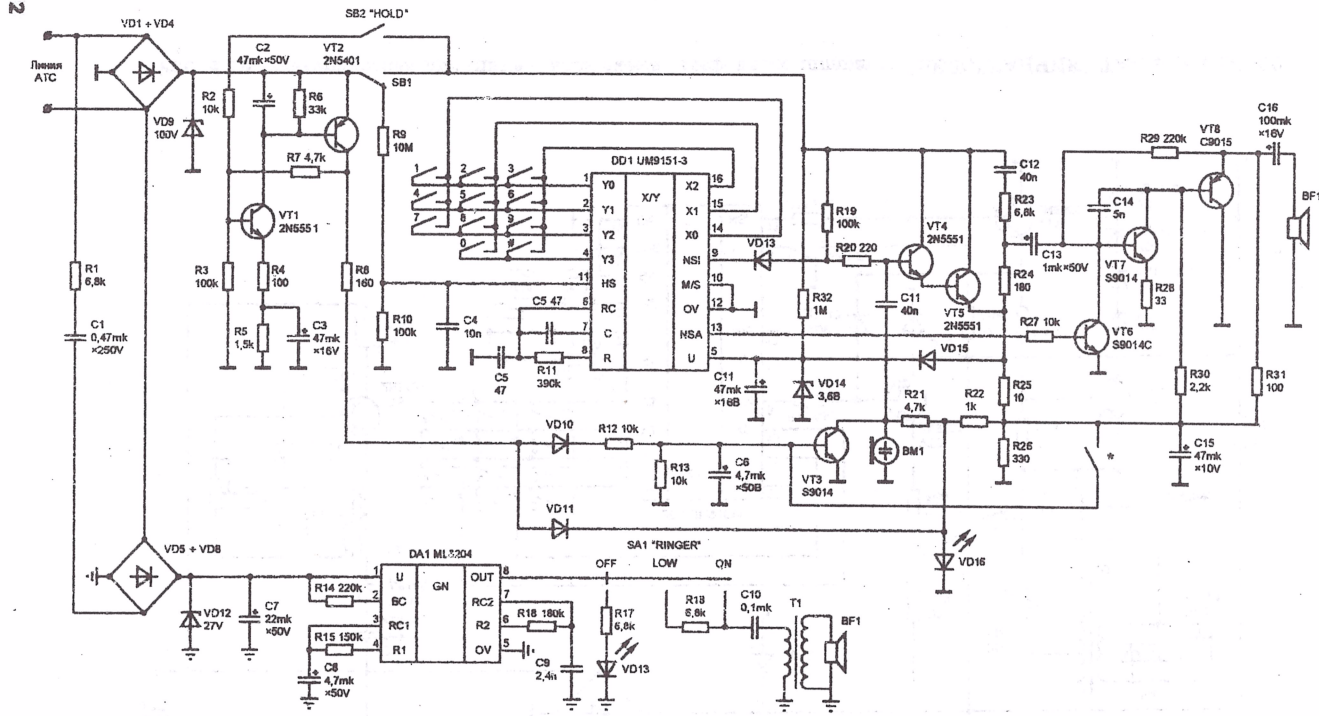

Рис. 4.11. Электрическая принципиальная схема телефонного аппарата "NORTH-AM PHONE" модель 733P с режимом "HOLD".

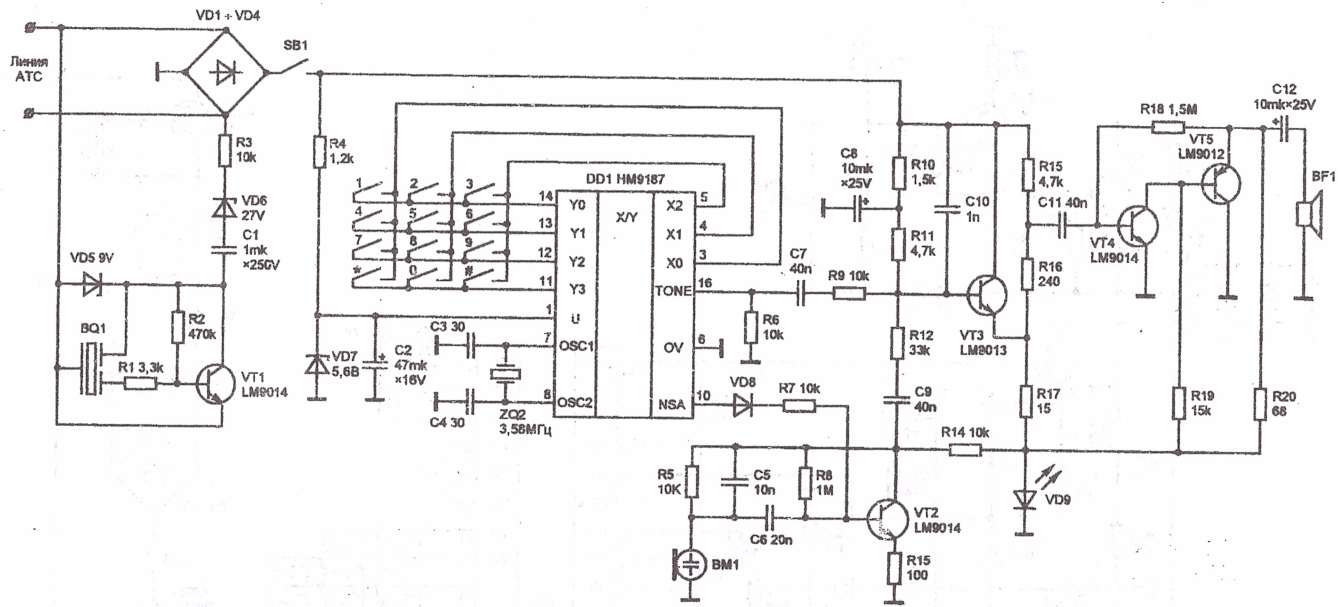

Рис. 4.12. Электрическая принципиальная схема телефонного аппарата с частотным набором номера.

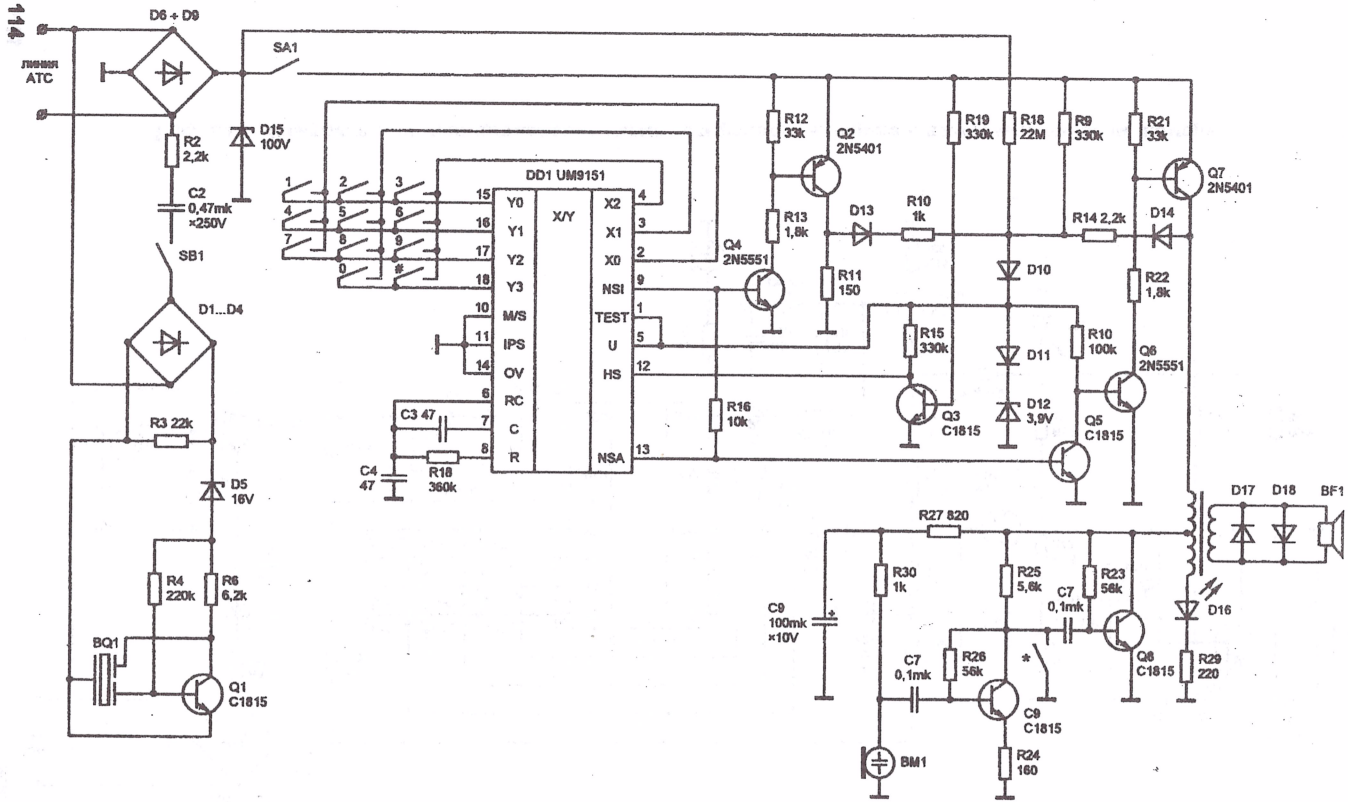

Рис. 4.13. Электрическая принципиальная схема телефонного аппарата с разговорным узлом, выполненным по трансформаторной схеме.

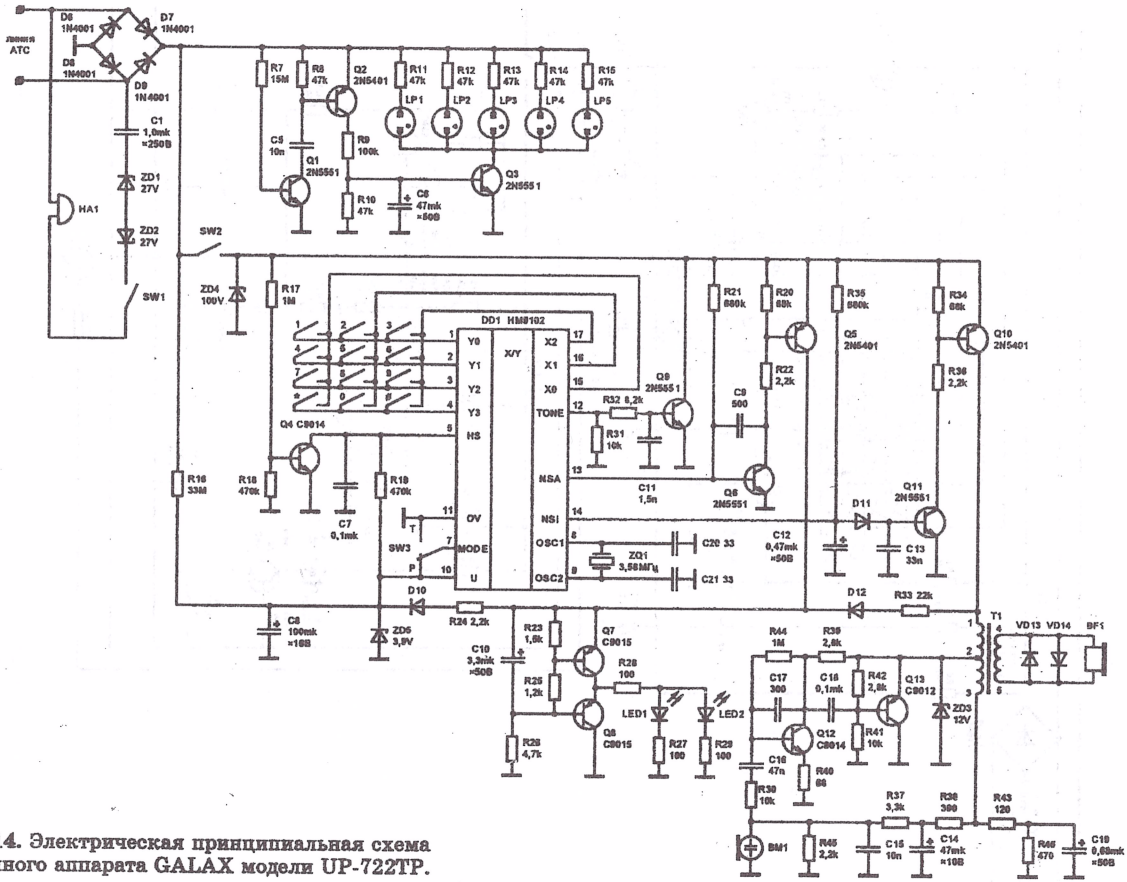

Рис. 4.14. Электрическая принципиальная схема телефонного аппарата GALAX модели UP-722TP.

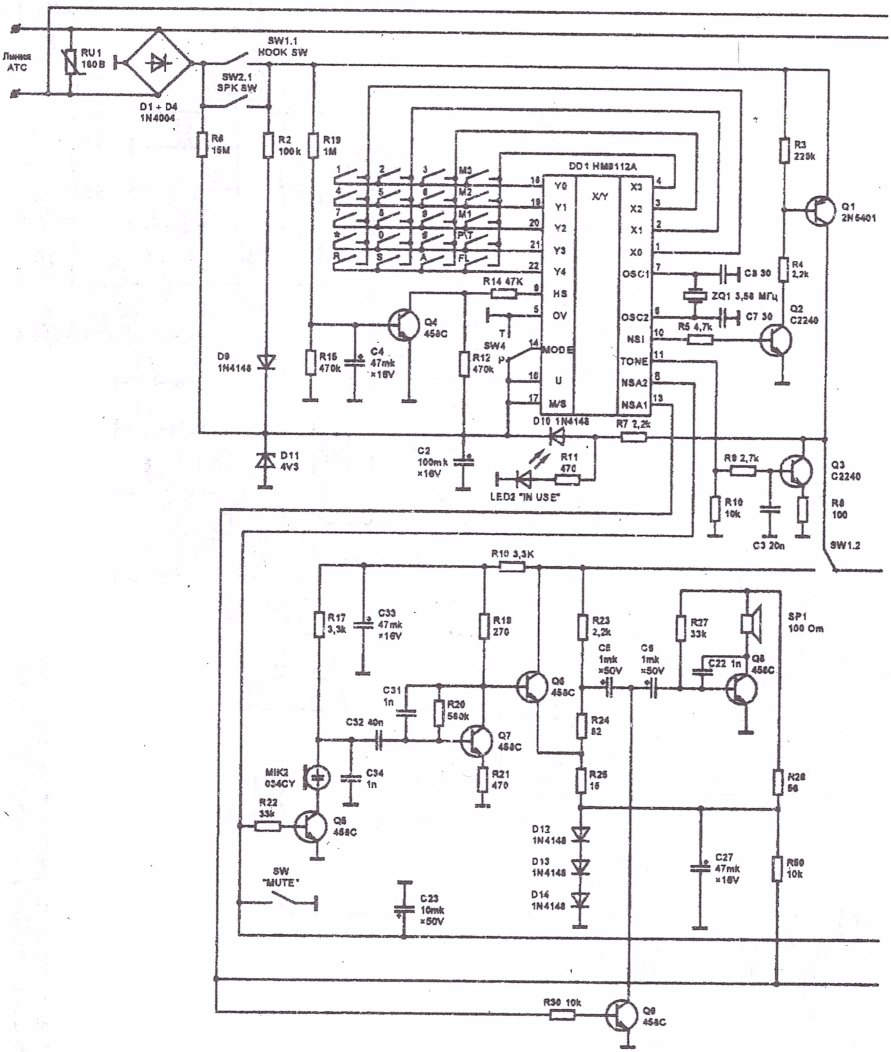
Линия АТС
RU1 180В
D1 ÷ D4 1N4004
SW1.1 HOOK SW
SW2.1 SPK SW
R8 10M
R2 100 k
R19 1M
DD1 HM9112A
X/Y
Y0
Y1
Y2
Y3
Y4
HS
OV
MODE
U
M/S
X3
X2
X1
X0
OSC1
OSC2
NSI
TONE
NSA2
NSA1
M3
M2
M1
PT
F
R3 220k
Q1 2N5401
R4 2,2k
C8 30
ZQ1 3,58 МГц
C7 30
Q2 C2240
R5 4,7k
R14 47K
Q4 458C
SW4
R12 470k
R16 470k
C4 47mk ×16V
D9 1N4148
D11 4V3
C2 100mk ×16V
D10 1N4148
R7 2,2k
R11 470
LED2 "IN USE"
R9 2,7k
Q3 C2240
R10 10k
C3 20n
R8 100
SW1.2
R10 3,3K
R17 3,3k
C33 47mk ×16V
R18 270
R23 2,2k
C5 1mk ×50V
C6 1mk ×50V
R27 33k
SP1 100 Om
C22 1n
Q8 458C
C31 1n
R20 560k
Q5 458C
C32 40n
Q7 458C
R24 82
MIK2 034CY
C34 1n
R21 470
R25 16
R28 56
R22 33k
Q6 458C
D12 1N4148
D13 1N4148
D14 1N4148
C27 47mk ×16V
R60 10k
SW "MUTE"
C23 10mk ×50V
R30 10k
Q9 458C

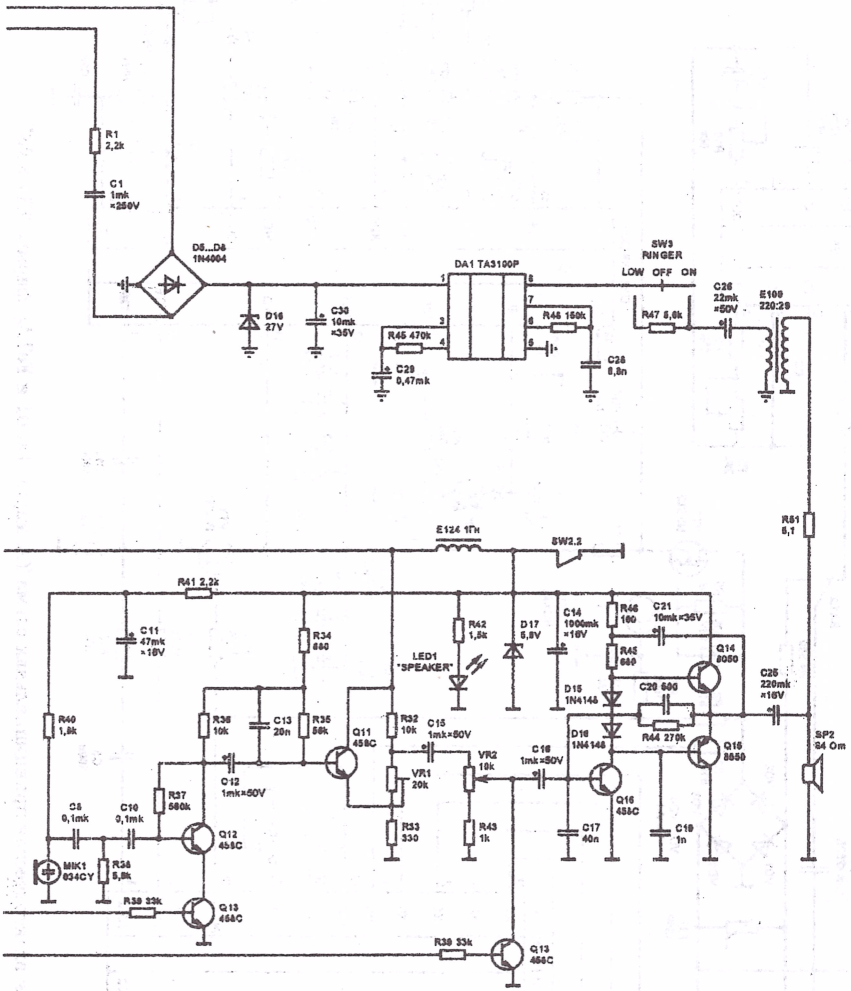

Рис. 4.15. Электрическая принципиальная схема одного из вариантов громкоговорящего телефонного аппарата "TECHNIKA".

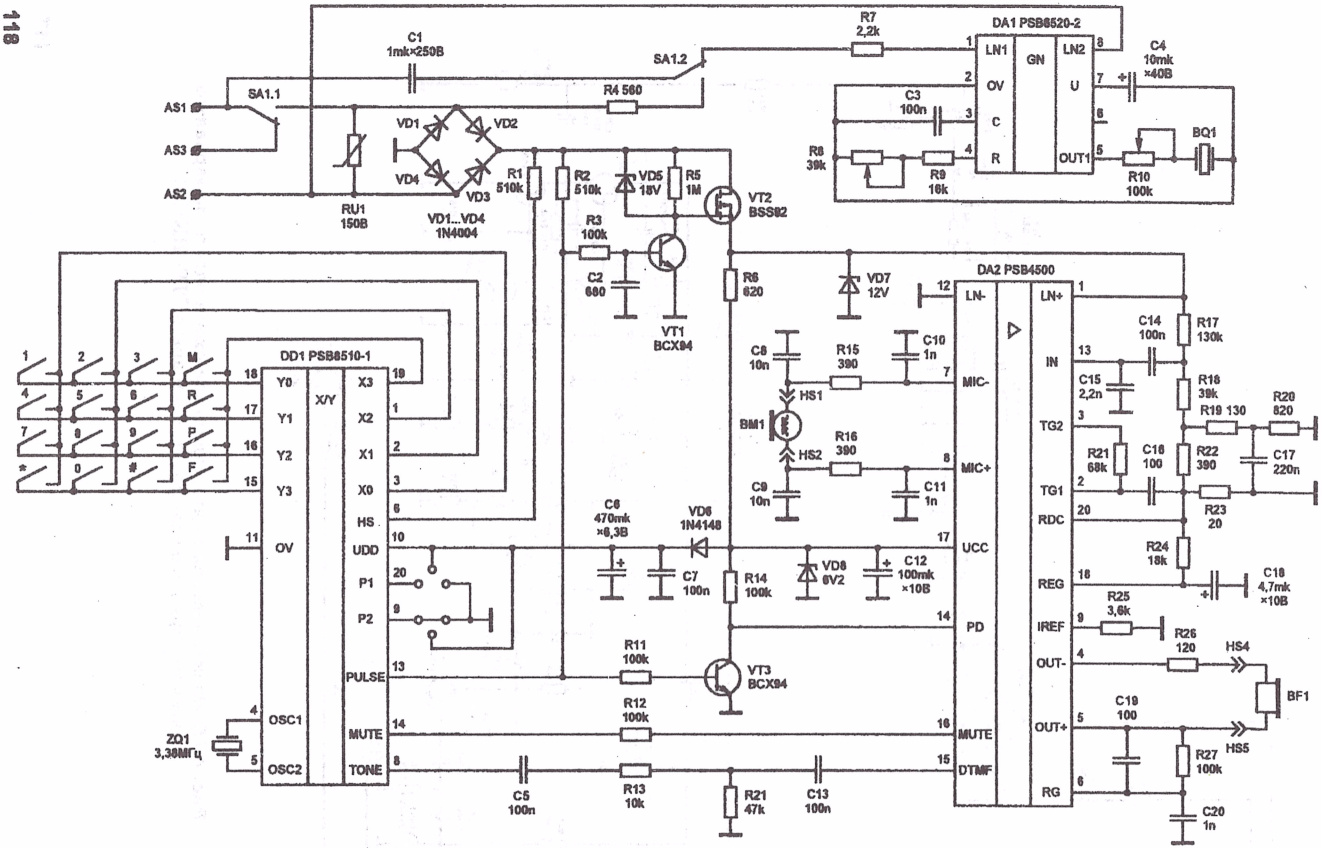

Рис. 4.16. Типовая электрическая принципиальная схема ТА марки Tel 01 и FeTAp фирмы "SIMENS".

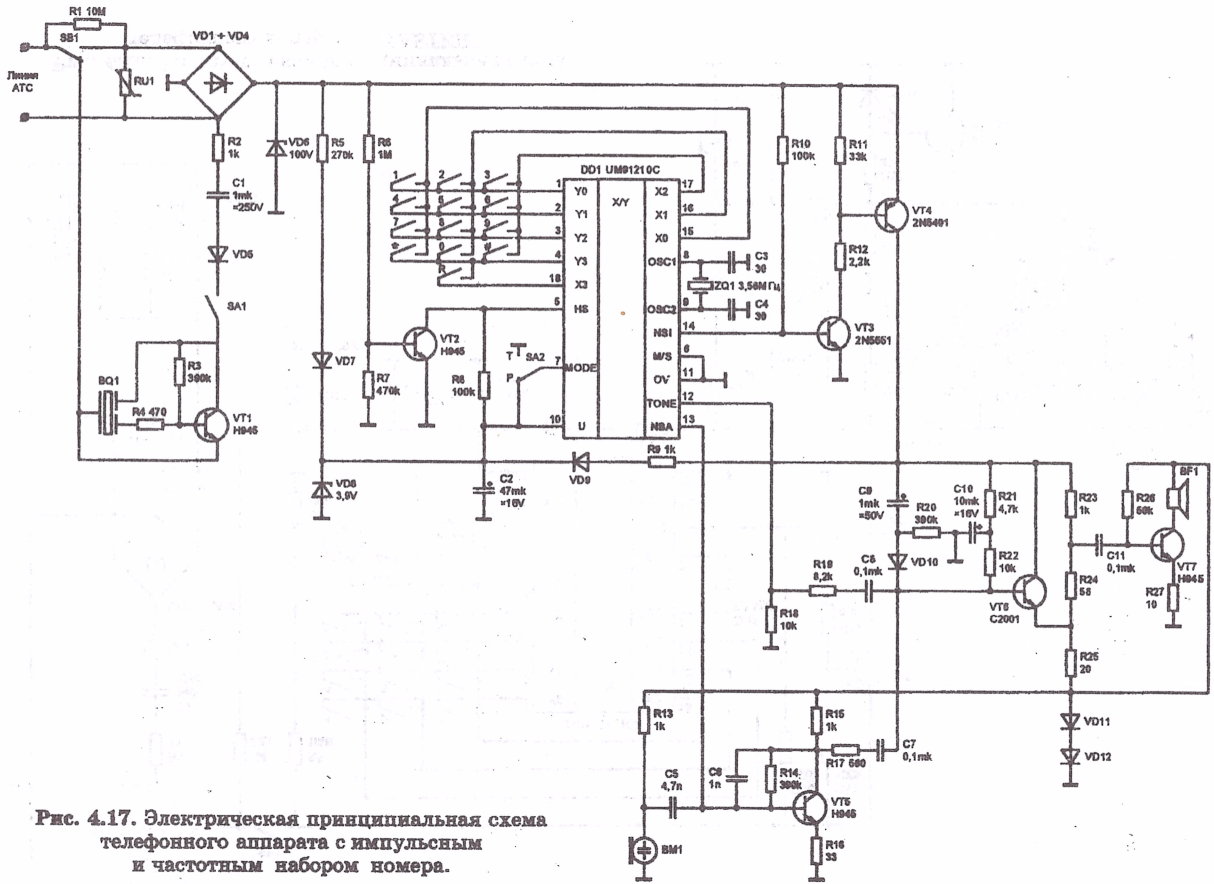

Рис. 4.17. Электрическая принципиальная схема телефонного аппарата с импульсным и частотным набором номера.

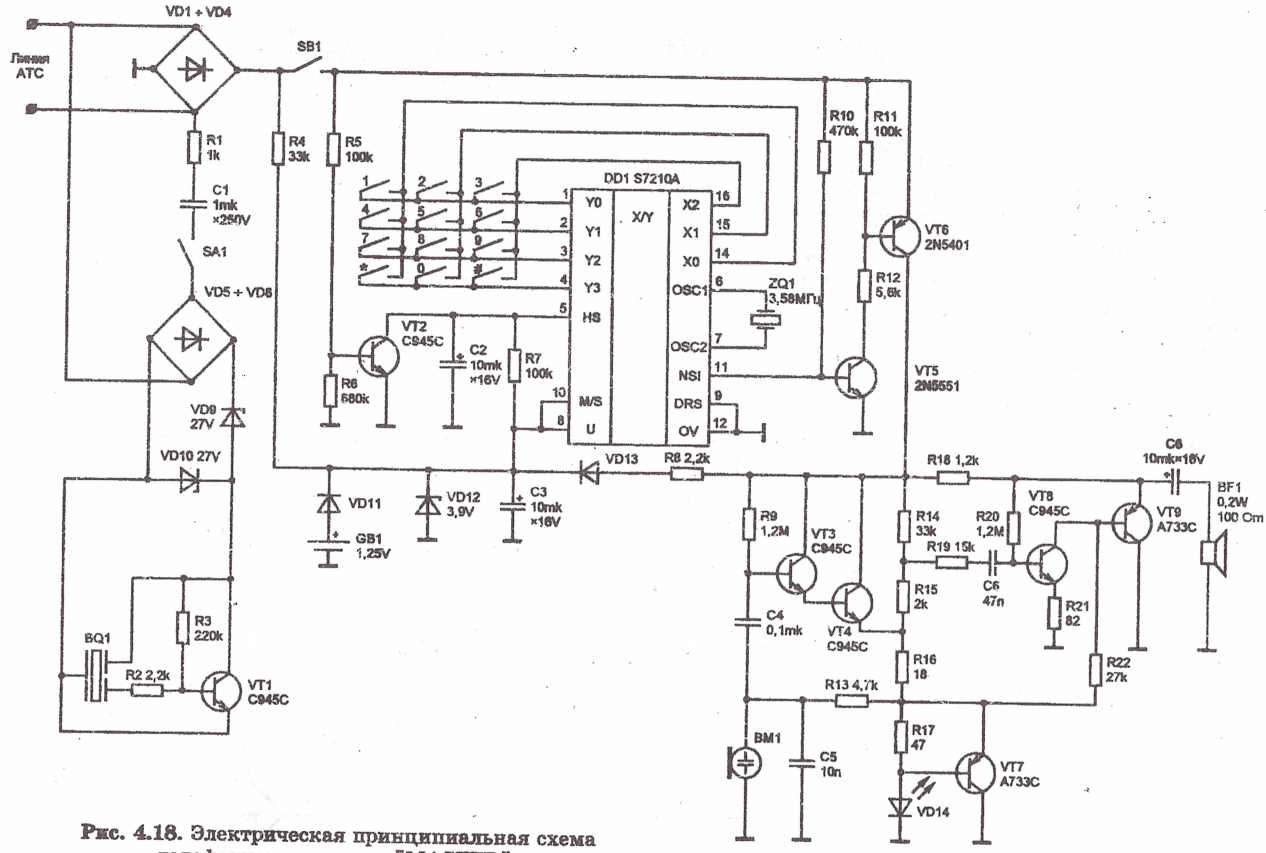

Рис. 4.18. Электрическая принципиальная схема телефонного аппарата "MASTER".

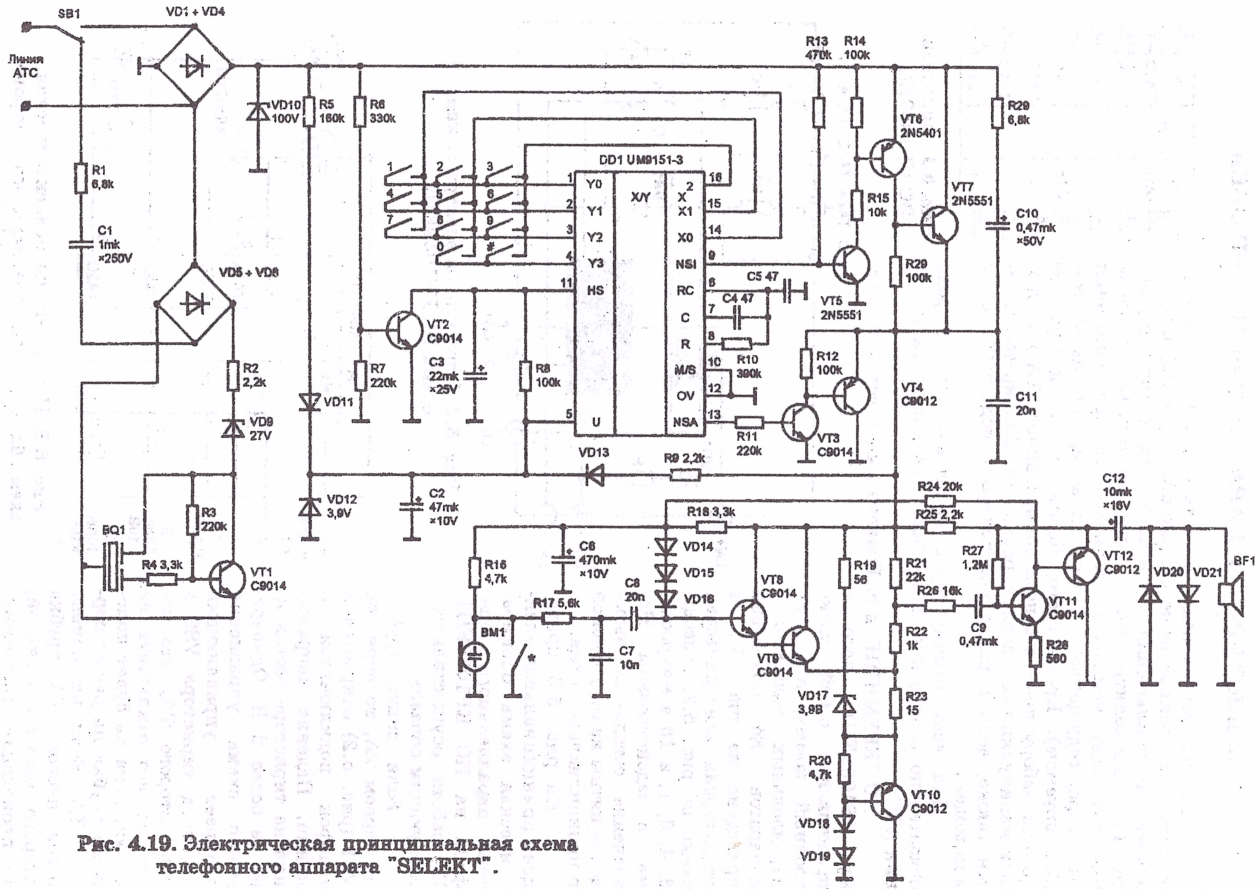

Рис. 4.19. Электрическая принципиальная схема телефонного аппарата "SELEKT".

5. БЛОКИРАТОР ПАРАЛЛЕЛЬНОГО ТЕЛЕФОНА

Блокиратор параллельного телефона (его не следует путать с блокиратором спаренного телефона) предназначен для исключения мешающего воздействия другого телефона при занятии линии одним из них. Его применение позволяет исключить возможность прослушивания разговора, ведущегося с одного из аппаратов, на другом (блокируемом). Кроме этого, блокиратор предотвращает помехи набору номера с незаблокированного ТА при любых манипуляциях с заблокированным. Блокиратор полезен также, если параллельно телефону подключен факс или модем.

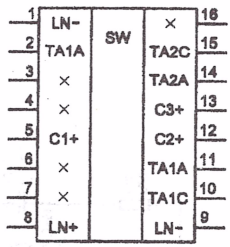

Рис. 5.1. Цоколёвка ИС КР1059КП1.

Для всех блокираторов параллельного телефона обязательно соблюдение полярности подключения к линии АТС.

АО "КРЕМНИЙ" в г. Брянске выпускает микросхему КР1059КП1, которая представляет собой электронный коммутатор двух параллельных телефонных аппаратов. Её цоколёвка приведена на рис. 5.1, а структурная электрическая схема на рис. 5.2. Выводы 3, 4, 6, 7, и 16 в микросхеме не задействованы. Назначение остальных выводов понятны из структурной и принципиальной схем.

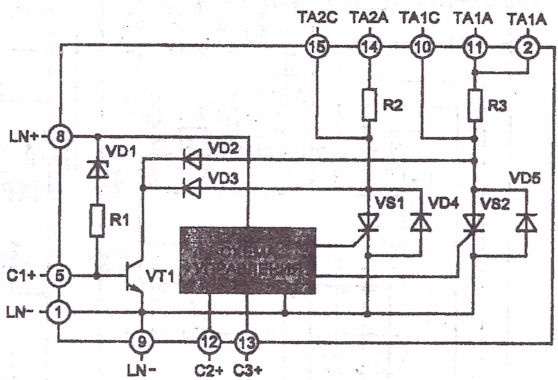

Рис. 5.2. Структурная электрическая схема ИС КР1059КП1.

На рис. 5.3 приведена принципиальная электрическая схема блокиратора параллельного телефона на ИС КР1059КП1. Её работа осуществляется следующим образом.

Если снять трубку на первом ТА, то тиристор VS1 (рис. 5.2) откроется и телефон подключится к линии. Падение напряжения на тиристоре составляет не более 2 В. Одновременно схема управления запирает управляющий электрод тиристора VS2 в цепи второго ТА, что позволяет его отключить на время, пока не будет положена трубка на рычаг первого ТА. Если на момент отбоя первого ТА трубка второго окажется снятой, то происходит перекоммутация аппаратов на линию.

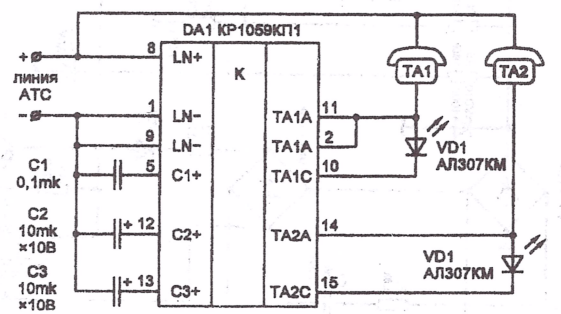

Рис. 5.3. Принципиальная электрическая схема блокиратора параллельного телефона на ИС КР1059КП1.

Ток потребления ТА от линии при уложенной на рычаг трубке должен быть не более 0,4 мА, иначе тиристор в цепи ТА не закроется после окончания разговора.

Во время набора номера на одном из аппаратов, в момент разрыва шлейфа линии происходит кратковременное отключение этого ТА от линии. Чтобы снятие трубки другого аппарата на этом интервале времени не вызывало перекоммутации телефонов, в цепь схемы управления включены конденсаторы С2 и С3, которые формируют задержку переключения аппаратов. Ёмкость конденсаторов должна быть в пределах 5 ÷ 10 мкФ.

Светодиоды VD1 и VD2 (рис. 5.3) предназначены для индикации ТА, находящегося в разговорном режиме. Их можно не устанавливать.

При поступлении переменного напряжения индукторного вызова (70 ÷ 90 В) положительный полупериод на входе LN+ (вывод 8) ИС КР1059КП1 открывает транзистор VT1 (рис. 5.2) и через диоды VD2 и VD3 шунтирует оба тиристора в цепи телефонных аппаратов. Напряжение стабилизации стабилитрона VD1 должно быть в пределах 65 ÷ 85 В. Это необходимо для того, чтобы транзистор не открывался при номинальном напряжении абонентской линии 60 В. Отрицательный полупериод вызывного сигнала проходит на оба телефона через диоды VD4 и VD5.

Для телефонных линий, где максимальное напряжение в режиме набора номера превышает 70 В (ограничивается напряжением стабилизации стабилитрона), схему подключения необходимо изменить следующим образом: конденсатор С1 не подключать, а вывод 5 ИС DA1 соединить с выводами 1 и 9. При этом несколько ухудшится звучание звонка на одном из аппаратов.

Максимальное входное напряжение схемы не должно превышать 160 В. Максимальный входной ток - 100 мА. Это не значит, что такие напряжение и ток могут появиться в схеме. Это предельно допустимые значения параметров микросхемы. Ток потребления ИС КР1059КП1 при снятой трубке на одном из ТА не превышает 1,0 мА. Ток утечки тиристоров в закрытом состоянии не более 0,1 мА.

Простой блокиратор параллельного телефона можно выполнить на дискретных элементах. Его схема приведена на рис. 5.4.

Когда абонент первого аппарата снимает трубку, к аноду тиристора VS1 прикладывается напряжения линии 60 В. На управляющем электроде тиристора напряжение меньше на величину падения напряжения на стабилитроне VD1. Тиристор открывается и ТА1 подключается к линии. Если после этого второй абонент снимет трубку, к тиристору VS2 будет приложено остаточное напряжение линии 5 ÷ 15 В, которое меньше напряжения открывания стабилитрона VD3. Напряжение на управляющий электрод не подаётся и тиристор остаётся запертым. ТА2 будет отключен до тех пор, пока первый абонент не положит трубку на рычаг аппарата. Диоды VD2 и VD4 предназначены для пропускания отрицательного полупериода переменного напряжения индукторного вызова. Конденсаторы С1 и С2 предотвращают открывание тиристоров при перепадах напряжения в линии.

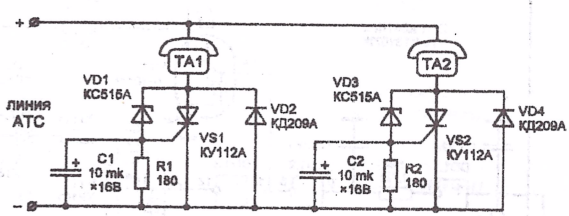

Рис. 5.4. Принципиальная электрическая схема блокиратора параллельного телефона на тиристорах КУ112А.

Недостаток схемы состоит в том, что при снятой с рычага аппарата трубке на одном из ТА в то время, когда на другом происходит набор номера, будут создаваться помехи набору номера (происходить перекоммутация абонентов на линию). В некоторых случаях может потребоваться замена стабилитрона КС515А на стабилитрон с другим номинальным напряжением (КС512А, КС518А и т. п.). Возможно применение других диодов и тиристоров с допустимым напряжением не

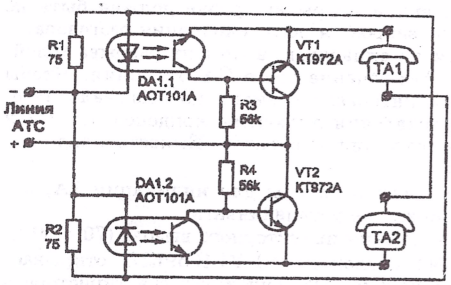

Рис. 5.5. Принципиальная электрическая схема блокиратора параллельного телефона с использованием оптрона.

менее 100 В и током не менее 100 мА.

На рис. 5.5 приведена ещё одна схема достаточно простого блокиратора параллельного телефона с использованием оптрона АОТ101А. Блокиратор работает следующим образом. Если снять трубку на первом ТА, то откроется транзистор VT1, и аппарат подключится к линии. Ток подключенного к линии ТА1 будет протекать через резистор R2 и светодиод оптрона DA1.2. Транзистор оптрона DA1.2 откроется и зашунтирует переход база-эмиттер транзистора VT2.

Теперь, если снять трубку с рычага второго ТА, то он останется неподключенным к линии до тех пор, пока абонент первого аппарата не положит на рычаг трубку. Схема имеет те же недостатки, что и схема на рис. 5.4.

Схема свободного от этих недостатков блокиратора параллельного телефона приведена на рис. 5.6. Блокиратор значительно сложнее приведённых выше, но обладает хорошими характеристиками и вносит минимальное затухание для разговорного тока.

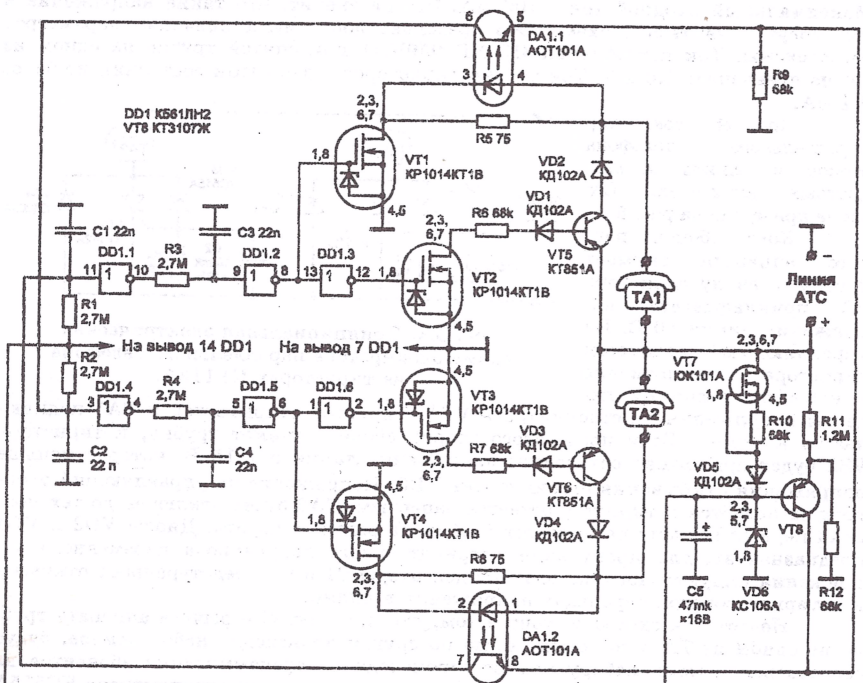

Рис. 5.6. Принципиальная электрическая схема блокиратора параллельного телефона с улучшенными характеристиками.

Стабилитрон VD6 и конденсатор C5 представляют собой источник питания напряжением 3 В для ИС DD1 К561ЛН2. Стабилизатор тока VT7 задаёт ток стабилитрона VD6. На ИС DD1 построена схема задержки времени переключения телефонов для исключения перекоммутации аппаратов во время набора номера на одном и снятой в этот момент трубке на другом.

В начальный момент, когда трубки обоих телефонов уложены на рычаги аппаратов, на входах логических элементов DD1.1 и DD1.4 устанавливается *"высокий"* уровень. На выходах элементов DD1.2 и DD1.5 *"высокий"* уровень удерживает ключи VT1 и VT4 в открытом состоянии, а на выходах элементов DD1.3 и DD1.6 *"низкий"* уровень запирает ключи VT2 и VT3, что обеспечивает прохождение переменного напряжения сигнала индукторного вызова на оба аппарата.

После снятия трубки на одном из аппаратов через светодиод оптрона DA1.1 начинает проходить ток, открывается транзистор оптрона и на входе логического элемента DD1.4 появляется *"низкий"* уровень. *"Низкий"* уровень на выходе элемента DD1.5 запирает токовый ключ VT4 и отключает второй телефон от линии. *"Высокий"* уровень на выходе элемента DD1.6 открывает ключ VT3, в результате чего открывается транзистор VT6, который шунтирует второй аппарат.

Во время набора номера на одном из аппаратов интегрирующая цепочка R3, C3 для первого ТА и R4, C4 для второго ТА удерживает заблокированный аппарат в отключенном состоянии и перекоммутация телефонов не происходит.

НАЧАЛЬНИКУ ОТДЕЛА КОМПЛЕКТАЦИИ.

НАУЧНО – ПРОИЗВОДСТВЕННОЕ ОБЪЕДИНЕНИЕ

"СИММЕТРОН"

- Принимает заказы на комплектацию производственной программы Вашего предприятия радиоэлектронными компонентами (микросхемы, транзисторы, диоды и др.) отечественного производства и импортными.
- Продаёт оптом в Санкт - Петербурге и Москве комплектующие изделия для производства радиоэлектронной аппаратуры за наличный и по безналичному расчёту. Возможна доставка в любой регион страны.
- Приобретает неликвидные остатки комплектующих за наличный и по безналичному расчёту.
- Рассмотрит предложения по обмену комплектующих на радиоэлектронную аппаратуру - продукцию Вашего предприятия.
- Приглашает фирм-посредников и частных лиц к взаимовыгодному сотрудничеству.

УНИКАЛЬНАЯ ИНФОРМАЦИОННАЯ ТЕХНОЛОГИЯ, РАЗРАБОТАННАЯ НПО "СИММЕТРОН", СВЯЗЫВАЕТ НАС С КРУПНЕЙШИМИ ПРОИЗВОДИТЕЛЯМИ И ПРОДАВЦАМИ РАДИОЭЛЕКТРОННЫХ ИЗДЕЛИЙ СО ВСЕМИ РЕГИОНАМИ СТРАНЫ И БЛИЖНЕГО ЗАРУБЕЖЬЯ.

Свои заказы и предложения Вы можете направить:
- 195196 САНКТ-ПЕТЕРБУРГ а/я 29,
- по электронной почте: E-mail: info@simmetron.spb.su,
- по факсу: (812) 528-11-08, (812) 529-91-04,
- или обсудить по телефонам: (812) 529-91-04 и (812) 528-11-08 (автоответчик работает круглосуточно).

6. РЕМОНТ ТЕЛЕФОННЫХ АППАРАТОВ

Как правило, вопросы совершенствования схем ТА (защита и улучшение потребительских качеств) начинают волновать Вас после выхода аппарата из строя. Но если Вы предусмотрительны, то переходите сразу к главе 7, чтобы не пришлось прорабатывать раздел 6.1 в ближайшем будущем.

6.1. ПОИСК НЕИСПРАВНОСТЕЙ И ИХ УСТРАНЕНИЕ

Наиболее часто в ТА выходят из строя транзисторы импульсного ключа и микросхема номеронабирателя, что составляет примерно 90% всех неисправностей. Ещё 9% можно отнести на неисправность электретного микрофона и 1% - на все остальные. Такое соотношение весьма приблизительно, но оно даст Вам представление о характере неисправностей в ТА и поможет избежать таких ошибок, как перепайка транзисторов разговорного узла или замена электролитических конденсаторов.

Если нет схемы телефонного аппарата, который Вы собираетесь ремонтировать, не расстраивайтесь. Практически для ремонта ТА схема не нужна.

Прежде всего, необходимо определить в микросхеме номеронабирателя номер вывода её импульсного ключа (рис. 2.10 + 2.12), а также по таблице 2.8 тип выхода - с открытым стоком или логический. От типа выхода зависит построение схемы ИК телефона. На рис 6.1 приведены три основные разновидности схем импульсного ключа, применяемых в зарубежных ТА. Ключи, приведённые на рис. 6.1,*а* и 6.1,*б*, применяются с микросхемой номеронабирателя, у которой выход ИК с открытым стоком. Ключ, приведённый на рис. 6.1,*в*, применяется с ИС номеронабирателя с логическим выходом её импульсного ключа. Схема ИК, приведённая на рис. 6.1,*а*, применяется в основном в недорогих ТА с минимальным количеством функций и невысокими потребительскими характеристиками.

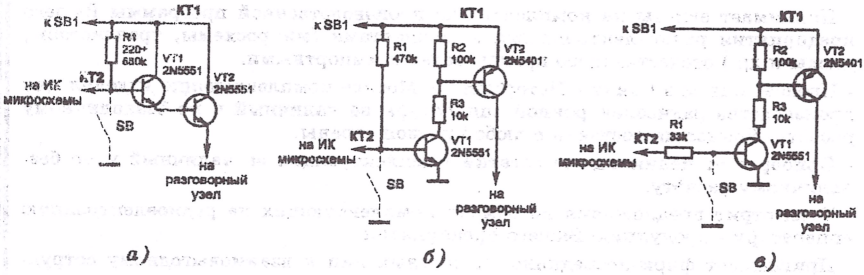

Рис. 6.1. Разновидности импульсных ключей в телефонных аппаратах.

Рассмотрим алгоритм поиска неисправностей.

Прежде всего, следует проверить напряжения в контрольных точках схемы (рис. 6.1):

- на входе ИК ТА (КТ1);
- на выходе ИК микросхемы номеронабирателя (КТ2);
- на выводе питания ИС (КТ3).

При снятой трубке напряжение в точке КТ1 должно составлять 5 + 15 В. В точке КТ3 - соответствовать напряжению питания ИС (2,5 + 3,5 В). В точке КТ2 - для ИС с открытым стоком выхода ИК должно быть на 1 + 2 В меньше, чем в точке КТ1, а для ИС с логическим выходом ИК должно быть незначительно меньше, чем в точке КТ3.

Напряжение на выходе диодного моста (равное напряжению в точке КТ1) должно быть на 1,2 В меньше напряжения на клеммах подключения ТА к линии АТС за счет падения на диодах.

Анализируя результаты измерений, можно дать предварительную оценку характера неисправности.

Напряжение в точке КТ2 близкое к нулю может свидетельствовать о неисправности микросхемы.

Если в точке КТ3 напряжение близко к нулю, можно предположить, что вышла из строя микросхема. Чтобы убедиться в этом, необходимо проверить всю цепь питания ИС (см. раздел 3.3). Только при гарантии исправности цепи питания можно приступать к замене микросхемы.

Напряжение в точке КТ1 менее 5 В может свидетельствовать о пробое диодов моста, что встречается крайне редко.

Рассмотрим различные варианты:

а) Если напряжение в точке КТ1 близко к 60 В, а в точке КТ2 близко к нулю (при номинальном напряжении питания ИС), это может свидетельствовать о том, что транзисторы ИК исправны. В этом случае, скорее всего, пробит выход ИК ИС, который замыкает базу первого транзистора ИК ТА на землю и держит его в закрытом состоянии. Для того чтобы убедиться в этом, отпаяйте выход ИК ИС от схемы ТА. Это можно сделать, сняв припой с вывода ИК ИС монтажным отсосом, или перерезав на плате дорожку от вывода ИК ИС. Если после этого напряжение в точке КТ1 (для схем ИК, приведённых рис. 6.1,*а* и 6.1,*б*) будет в норме, смело выпаивайте микросхему. Для схемы ИК, приведённой на рис. 6.1,*в*, чтобы открыть ключ, необходимо дополнительно соединить точки КТ2 и КТ3 перемычкой.

б) Если в точке КТ1 (рис. 6.1,*а*) напряжение в норме, а в точке КТ2 на 0,5 ÷ 0,7 В, а не на 1 ÷ 2 В, меньше, чем в точке КТ1, следовательно, пробит один из транзисторов импульсного ключа, а микросхема исправна.

в) Если напряжение в точке КТ1 в норме, а в точке КТ2 близко к нулю, то пробиты как выход ИК ИС, так и один или оба ключевых транзистора.

Чтобы убедиться в правильности работы импульсного ключа, при отключенном выводе ИК ИС к базе первого транзистора (VT1) подпаяйте кнопку SB с нормально разомкнутым контактом, как показано на схемах рис. 6.1,*а* ÷ 6.1,*в* пунктирной линией.

При разомкнутой кнопке SB напряжение в точке КТ1 должно быть в пределах 5 ÷ 15 В, при её замыкании напряжение должно увеличиться до 60 В. При кратковременном замыкании сигнал станции (непрерывный гудок) прекращается, что свидетельствует о приеме АТС посылки набора номера и полной исправности импульсного ключа. Если при замыкании SB напряжение в точке КТ1 не изменилось, или изменилось незначительно, то пробит один из ключевых транзисторов. Если же напряжение в точке КТ1 после замыкания кнопки будет менее 60 В, но не равно номинальному, то шунтирующее воздействие оказывает какой-нибудь другой элемент схемы. Им может быть пробитый защитный стабилитрон на напряжение 100 В, который устанавливается в некоторых телефонах на выходе диодного моста.

Если в Вашем ТА задействован выход разговорного ключа, следует описанную выше проверку провести также и для этого ключа.

При выходе из строя одного из ключевых транзисторов желательно заменить оба на отечественные, как более надёжные.

Транзисторы типа 2N5551 или MPS A-42 можно заменить любым из перечисленных: КТ503Е, КТ504А (Б, В), КТ630Б, КТ683Б, КТ6117А, КТ698Ж (И, К), КТ940А, КТ969А. Транзисторы 2N5401 или MPS A-92 можно заменить на КТ502Е, КТ505А(Б,В) КТ6116А, КТ6127Ж (И, К), КТ9115А. Справочные данные и цоколёвка транзисторов приведены в главе 9.

Основные неисправности и способы их устранения приведены в таблице 6.1.

Табл. 6.1. Основные неисправности в ТА и способы их устранения.

Характер неисправности	Вероятная причина	Способ выявления и устранения неисправности
Не набирается номер, гудок не прерывается.	1. Пробит один или оба транзистора в импульсном ключе.	Если при попытке набора номера в трубке слышны характерные щелчки, то пробит один или оба ключевых транзистора импульсного ключа ТА.
	2. Пробит транзистор импульсного ключа и выход ИК микросхемы ЭНН.	Если щелчки при наборе номера не прослушиваются, и напряжение на выходе ИК микросхемы ЭНН равно нулю, то это свидетельствует о выходе из строя микросхемы. Но сначала необходимо убедиться в исправности транзисторов импульсного ключа. Подключите базу первого транзистора ИК на землю. Если один из транзисторов пробит, то напряжение на линии изменится незначительно. При обоих исправных транзисторах ключ закроется полностью и напряжение на линии поднимется до 60 В.
	3. Пробит защитный стабилитрон.	Если разговорный узел при подключении базы первого ключевого транзистора на землю отключится (пропадёт гудок), но при этом напряжение на линии будет менее 60 В, то это свидетельствует о пробое защитного стабилитрона на напряжение 100 В, устанавливаемого в некоторых телефонах на выходе диодного моста или одного из диодов моста.
	4. Пробит диод моста.	Для проверки диодов моста достаточно поменять местами клеммы подключения телефона к линии. Если после этого работа ТА восстановится, значит имеет место пробой диода. Следует отметить, что диоды моста выходят из строя крайне редко.
Телефон не работает, нет гудка.	1. Пробит выход ИК микросхемы ЭНН.	Необходимо проверить напряжение на выходе ИК микросхемы ЭНН и на входе ключевых транзисторов. Если напряжение на входе ключевых транзисторов близко к 60 В, а на выходе ИК микросхемы близко к нулю, значит транзисторы заперты потенциалом корпуса, поступающим через пробитый выход ИК микросхемы. Убедиться в этом, можно отпаяв выход ИК микросхемы или перерезав у вывода микросхемы дорожку печатной платы, ведущую к базе первого транзистора импульсного ключа. Если выход импульсного ключа ИС номеронабирателя имеет открытый сток, то транзисторы ИК откроются, разговорный узел подключится к линии, и в трубке появится гудок. Если ИС ЭНН имеет логический выход импульсного ключа, то для открытия ИК необходимо подать напряжение на его вход с вывода питания (U) ИС ЭНН.

Характер неисправности	Вероятная причина	Способ выявления и устранения неисправности
	2. Нет контакта в цепи от клемм подключения телефона к линии.	Если напряжение на входе ключевых транзисторов отсутствует, то необходимо проверить цепь от клемм подключения линии до транзисторов импульсного ключа. Особое внимание следует обратить на наличие контакта в микропереключателе.
При наборе номера происходит прерывание после первого набранного импульса.	1. Неисправен фильтрующий конденсатор схемы питания ИС.	Измерить напряжение на выводе питания микросхемы номеронабирателя. Его значение должно быть в пределах ±1 В от номинального значения. Если при отключении телефона от линии напряжение на фильтрующем конденсаторе сразу падает до нуля, конденсатор неисправен.
При наборе номера набираются не все цифры.	1. Обрыв в шлейфе, соединяющим плату, на которой расположена микросхема номеронабирателя с платой клавиатуры. 2. Неисправна микросхема номеронабирателя. 3. Отсутствует замыкающий контакт на резинке клавиатуры.	Проверить шлейф, соединяющий плату, на которой расположена микросхема номеронабирателя с платой клавиатуры. Если шлейф исправен и платы не имеют механических повреждений, значит отсутствует замыкающий контакт на резинке клавиатуры или неисправна микросхема. Восстановить замыкающий контакт на резинке клавиатуры, для чего вырезать контактную площадку из тонкой фольги и приклеить её клеем типа "Момент" или двухсторонним скотчем.
При однократном нажатии кнопки одной из цифр в линию поступает несколько пачек импульсов.	1. Загрязнение контактной площадки клавиатуры. 2. Нарушен замыкающий контакт на резинке клавиатуры. 3. Напряжение питания микросхемы номеронабирателя менее 2 В.	Протереть контактные площадки клавиатуры чистой ветошью, смоченной спиртом и прочистить кисточкой поверхность кнопок на резинке. Заменить замыкающий контакт на резинке клавиатуры, для чего вырезать контактную площадку из тонкой фольги и приклеить её клеем типа "Момент" или двухсторонним скотчем. Проверить напряжение питания микросхемы номеронабирателя. Если оно менее 2 В, необходимо увеличить ток источника опорного напряжения ИС (встроенного стабилитрона микросхемы номеронабирателя) если он есть в данной микросхеме (см. табл. 2.1) или ток стабилитрона, установленного в схеме питания ИС ЭНН (см. раздел 3.3).
Вас не слышит абонент.	1. Неисправен микрофон. 2.Обрыв цепи схемы микрофонного усилителя. 3. Отсутствует напряжение питания электретного микрофона.	Если при касании отвёрткой или пинцетом вывода микрофона (со стороны разделительного конденсатора) в трубке телефона раздаются щелчки, то микрофон неисправен. В противном случае проверить цепь прохождения сигнала микрофона. У электретного микрофона проверить напряжение питания на положительном выводе. Оно должно быть в пределах 1 ÷ 1,5 В.

Характер неисправности	Вероятная причина	Способ выявления и устранения неисправности
Малый уровень сигнала микрофона при значительном уровне собственного шума микрофона.	Отсутствует контакт между общим выводом микрофона и металлическим корпусом микрофона.	Обжать ободок металлического корпуса микрофона в месте соприкосновения с выходом общего вывода микрофона.
В динамической головке слышен фон, усиливающийся при закрывании микрофона рукой.	1. Акустическая связь микрофона и динамической головки. 2. Несбалансирована дифференциальная схема.	Акустическая связь устраняется амортизацией микрофона и динамической головки от корпуса трубки при помощи пористой резины или поролона. Дифференциальная схема балансируется увеличением сопротивления резистора в балансной цепи (например, R3 на рис. 3.36).
Нет вызывного сигнала.	1.Обрыв цепи в схеме приёма индукторного вызова. 2. Вышел из строя транзистор или микросхема мультивибратора вызывного устройства. 3. Неисправен пьезоэлектрический излучатель.	Замкнуть накоротко выключатель схемы вызывного устройства и разделительный конденсатор. При этом должен появиться тональный сигнал пьезоизлучателя. Если сигнала нет, проверить параметры транзистора или микросхемы ВУ, а также исправность пьезоэлектрического излучателя.

6.2. ЗАМЕНА МИКРОСХЕМЫ НОМЕРОНАБИРАТЕЛЯ

Вы убедились, что микросхема вышла из строя, и перед Вами встает вопрос "чем ее заменить?". Промышленность стран СНГ производит широкий ассортимент микросхем номеронабирателей. Большинство из них имеют зарубежные аналоги. Их цоколёвки приведены на рис. 2.10 ÷ 2.12, а характеристики в табл. 2.7 и 2.8. В большинстве случаев Вы сможете подобрать подходящий аналог для замены вышедшей из стоя микросхемы. Кроме того, многие микросхемы условно взаимозаменяемы, т.е. заменяемы с небольшими доработками.

Возможность такой замены и необходимые изменения приведены в таблице 6.2.

Табл. 6.2. Возможная замена ИС ЭНН при ремонте и необходимые изменения при замене.

Заменяемая микросхема	Возможная замена	Необходимые изменения в схеме при замене
ET40992 HM9100A1 KS5805A LR40992 MK50992N T40992 КР1008ВЖ11	KS5805B LR40993 MK50993 T40993	1. Поскольку в ИС возможной замены отсутствует внутренний источник опорного напряжения, то необходимо между выводом питания (1) и корпусом (вывод 6) установить стабилитрон с напряжением стабилизации 3 ÷ 4 В (КС133Г, КС139А(Г) и т. п.). 2. Вывод 2 отключить от всех цепей схемы.

Заменяемая микросхема	Возможная замена	Необходимые изменения в схеме при замене
	FT58C51 KS5851 КР1008ВЖ10	3. Изменить параметры частотозадающей цепи встроенного генератора путём увеличения сопротивления резистора, подключенного к выводу 9 микросхемы, в 1,8 раза.
	CIC9192BE WE9192B КР1008ВЖ14	4. Микросхемы возможной замены имеют 16 выводов и в целом, если считать от первого вывода их цоколёвка совпадает с цоколёвкой заменяемых микросхем. Для замены необходимо установить микросхему таким образом, чтобы первый вывод ИС совпадал с контактной площадкой первого вывода выпаянной ИС. 5. Контактную площадку вывода 11 выпаянной ИС отсоединить от корпусной шины и соединить перемычкой с контактной площадкой вывода 9.
	ET40982 HD970040D KS5804 LR40981A MK5173AN MK50981 TR50981AN	*Выполнить пункт 4.* 6. Контактную площадку вывода 11 выпаянной ИС отсоединить от корпусной шины и соединить с плюсом питания микросхемы (вывод 1). 7. Выпаять резистор, подключенный к контактной площадке 7 и конденсатор, подключенный к контактной площадке 8. 8. От контактных площадок 7 и 8 на место выпаянных резистора и конденсатора установить конденсаторы ёмкостью по 100 пФ каждый. Противоположные выводы конденсаторов соединить с корпусной шиной (вывод 6). Между выводами 7 и 8 установить дроссель индуктивностью 1,7 мГн. Вместо дросселя можно использовать кварц частотой 480 кГц.
KS58C05	ET40992 HM9100A1 KS5805A LR40992 MK50992N T40992 КР1008ВЖ11	*Микросхемы заменяются без каких-либо изменений в схеме. Обратную замену производить нельзя.*
	FT58C51 KS5851 КР1008ВЖ10	*Выполнить пункт 3.*
	CIC9192BE WE9192B КР1008ВЖ14	*Выполнить пункты 4 и 5.*
	ET40982 HD970040D KS5804 LR40981A MK5173AN MK50981 TR50981AN	*Выполнить пункт 4, 6, 7 и 8.*

Заменяемая микросхема	Возможная замена	Необходимые изменения в схеме при замене
KS5805B LR40993 MK50993 T40993	ET40992 HM9100A1 KS5805A LR40992 MK50992N T40992 КР1008ВЖ11	*Микросхемы заменяются без каких-либо изменений в схеме. После замены не будет выполняться функция звукового подтверждения нажатия кнопок набора номера, которая в микросхемах возможной замены отсутствует.*
	FT58C51 KS5851 КР1008ВЖ10	*Выполнить пункт 3.*
	CIC9192BE WE9192B КР1008ВЖ14	*Выполнить пункты 4 и 5.*
	ET40982 HD970040D KS5804 LR40981A MK5173AN MK50981 TR50981AN	*Выполнить пункт 4, 6, 7 и 8.*
FT58C51 KS5851 КР1008ВЖ10	ET40992 HM9100A1 KS5805A LR40992 MK50992N T40992 КР1008ВЖ11	9. Изменить параметры частотозадающей цепи встроенного генератора путём уменьшения сопротивления резистора, подключенного к выводу 9 микросхемы, в 1,8 раза.
	KS5805B	*Выполнить пункты 9, 1 и 2.*
	CIC9192BE WE9192B КР1008ВЖ14	*Выполнить пункты 9, 4 и 5.*
	ET40982 HD970040D KS5804 LR40981A MK5173AN MK50981 TR50981AN	*Выполнить пункты 4, 6, 7 и 8.*
CIC9192BE WE9192B КР1008ВЖ14	ET40992 HM9100A1 KS5805A LR40992 MK50992N T40992 КР1008ВЖ11	10. Заменяемые микросхемы имеют 16 выводов, но обычно на платах ТА, где они установлены, предусмотрены дополнительные контактные площадки для ИС с 18 выводами. Снимите перемычки между контактными площадками 9 и 11 на плате ТА и установите перемычки с контактных площадок 10 и 11 на корпусную шину (вывод 6).
	KS5805B LR40993 MK50993 T40993	*Выполнить пункты 10, 1 и 2.*
	FT58C51 KS5851 КР1008ВЖ10	*Выполнить пункты 10 и 3.*

Заменяемая микросхема	Возможная замена	Необходимые изменения в схеме при замене
	ET40982 HD970040D KS5804 LR40981A MK5173AN MK50981 TR50981AN	**11.** Удалить резисторы, подключенные к выводам 7 и 9, и конденсатор, подключенный к выводу 8. Вывод 9 соединить с плюсом питания ИС (вывод 1). *Выполнить пункт 8.*
ET40982 HD970040D KS5804 LR40981A MK5173AN MK50981 TR50981AN	CIC9192BE WE9192B КР1008ВЖ14	**12.** Отсоединить контактную площадку вывода 9 заменяемой микросхемы от плюса питания ИС. **13.** Удалить конденсаторы и дроссель, подключенные к контактным площадкам 7 и 8. С вывода 7 на место конденсатора установить резистор сопротивлением 2 МОм. С вывода 8 на место второго конденсатора установить конденсатор ёмкостью 390 пФ. **14.** От вывода 9 микросхемы возможной замены к общей точке предыдущих элементов установить резистор сопротивлением 240 кОм. **15.** Общую точку этих трёх элементов отсоединить от корпусной шины.
	ET40992 HM9100A1 KS5805A LR40992 MK50992N T40992 КР1008ВЖ11	*Заменяемые микросхемы имеют 16 выводов, но обычно на платах ТА, где они установлены, предусмотрены дополнительные контактные площадки для ИС с 18 выводами.* **16.** Отсоединить контактную площадку 11 (вывод 9 заменяемой микросхемы) от плюса питания ИС. Контактные площадки 10 и 11 соединить с корпусной шиной микросхемы (вывод 6). *Выполнить пункты 13, 14 и 15.*
	FT58C51 KS5851 КР1008ВЖ10	*Выполнить пункты 16 и 13.* **17.** От вывода 9 микросхемы возможной замены к общей точке предыдущих элементов установить резистор сопротивлением 430 кОм. Выполнить пункт 15.
	KS5805B LR40993 MK50993 T40993	*Выполнить пункты 16, 13, 14 и 15.*
KS5853	HM9100B	**18.** Изменить параметры частотозадающей цепи встроенного генератора путём уменьшения сопротивления резистора, подключенного к выводу 8 микросхемы в два раза.
HM9100B	KS5853	**19.** Изменить параметры частотозадающей цепи встроенного генератора путём увеличения сопротивления резистора, подключенного к выводу 8 микросхемы в два раза.

Заменяемая микросхема	Возможная замена	Необходимые изменения в схеме при замене
LC7350 M2561AB UM91611 VT91611 WE9110 STC52560C S25610	UM91610A	**20.** Отсоединить вывод 15 микросхемы от всех других цепей схемы.
UM91610A	LC7350 M2561AB UM91611 VT91611 WE9110 STC52560C S25610	**21.** Соединить вывод 15 микросхемы с корпусной шиной (вывод 10).
КР1008ВЖ1	КР1008ВЖ5 КР1008ВЖ7 КР1064ВЖ5 КР1064ВЖ7 КР1089ВЖ1 КР1089ВЖ2	**22.** Изменить параметры частотозадающей цепи генератора ИС путём увеличения сопротивления резистора, подключенного к выводу 9 в три раза. Вывод 15 отсоединить от других цепей схемы и соединить с корпусной шиной (вывод 17). Вывод 6 отсоединить от других цепей схемы и подключить в точку, где ранее был подключен вывод 15. *При замене микросхемы КР1008ВЖ1 на КР1008ВЖ5, КР1064ВЖ5 и КР1089ВЖ1 Ваш телефон будет обладать дополнительной памятью на 10 номеров.*
КР1008ВЖ5 КР1008ВЖ7 КР1064ВЖ5 КР1064ВЖ7 КР1089ВЖ1 КР1089ВЖ2	КР1008ВЖ1	**23.** Изменить параметры частотозадающей цепи генератора ИС путём уменьшения сопротивления резистора, подключенного к выводу 9 в три раза. Вывод 6 отсоединить от других цепей схемы и соединить с плюсом питания (вывод 3). Вывод 15 отсоединить от других цепей схемы и подключить в точку, где ранее был подключен вывод 6. *При замене ИС КР1008ВЖ5, КР1064ВЖ5 и КР1089ВЖ1 на КР1008ВЖ1 Ваш телефон потеряет дополнительные сервисные возможности и будет сохранять только последний набранный номер.*
КР1008ВЖ7 КР1064ВЖ7 КР1089ВЖ2	КР1008ВЖ5 КР1064ВЖ5 КР1089ВЖ1	*Микросхемы заменяются без каких-либо изменений в схеме. После замены Ваш телефон будет обладать дополнительной памятью на 10 номеров.*
КР1008ВЖ5 КР1064ВЖ5 КР1089ВЖ1	КР1008ВЖ7 КР1064ВЖ7 КР1089ВЖ2	*Микросхемы заменяются без каких-либо изменений в схеме. После замены Ваш телефон потеряет дополнительные сервисные возможности и будет сохранять только последний набранный номер.*

Заменяемая микросхема	Возможная замена	Необходимые изменения в схеме при замене
HM9102 HM9110D KS58006 KS5820 KS58C20N UM91210C КР1008ВЖ16	UM91260C КР1091ВЖ1	24. Изменить параметры частотозадающей цепи генератора ИС путём замены кварцевого резонатора, подключенного к выводам 8 и 9 на частоту 480 кГц.
UM91260C КР1091ВЖ1	HM9102 HM9110D KS58006 KS5820 KS58C20N UM91210C КР1008ВЖ16	25. Изменить параметры частотозадающей цепи генератора ИС путём замены кварцевого резонатора, подключенного к выводам 8 и 9, на частоту 3,58 МГц.

Но что же делать, если Вам так и не удалось найти подходящую микросхему номеронабирателя для замены?

В этом случае Вам поможет универсальная схема, при помощи которой Вы сможете заменить большинство зарубежных ИС ЭНН.

Наибольшее распространение получили ИС ЭНН КР1008ВЖ1, КР1008ВЖ5 и КР1008ВЖ7. Эти микросхемы выпускаются уже около 10 лет и наиболее доступны. Поэтому рассмотрим возможность замены большинства зарубежных ИС ЭНН именно этими микросхемами.

У всех ИС ЭНН имеются такие выводы, как:

- выводы подключения клавиатуры (X0, X1, X2, Y0, Y1, Y2 и Y3);
- вывод питания (U);
- общий вывод (OV);
- вход "отбой" (HS);
- выводы для подключения времязадающих элементов генератора;
- выход импульсного ключа (NSI);
- выход разговорного ключа (NSA).

Различные ИС ЭНН отличаются только логикой работы выходов ИК (NSI) и РК (NSA) и параметрами времязадающих элементов генератора (здесь мы не рассматриваем многофункциональные ИС для телефонов высокого класса). Функционирование по остальным выводам у всех ИС ЭНН одинаково. Во многих зарубежных телефонах выход разговорного ключа микросхемы не задействован. Поэтому если при помощи внешних элементов привести в соответствие выход импульсного ключа микросхемы, то можно заменить неисправную микросхему, подключив соответствующие выводы к контактным площадкам выпаянной микросхемы.

Если сравнивать временные диаграммы выходов разговорного ключа (NSA) (рис. 2.19 ÷ 2.21) ИС ЭНН КР1008ВЖ1, КР1008ВЖ5 и КР1008ВЖ7 с другими ИС ЭНН, то нетрудно заметить, что до набора и после набора номера у всех микросхем (кроме CIC9102E, CIC9104E, FT9151-3, UM9151, UM9151-3, WE9102, WE9104 и КР1008ВЖ17) "*высокий*" уровень. Во время прохождения импульсов набора - "*низкий*". Следовательно, логика работы выходов разговорного ключа у этих микросхем одинакова. У выходов импульсного ключа (NSI) до набора и после набора номера у микросхем КР1008ВЖ1, КР1008ВЖ5 и КР1008ВЖ7 - "*низкий*" уровень, а у остальных микросхем - "*высокий*". Это отличие обусловлено тем, что микросхемы КР1008ВЖ1, КР1008ВЖ5 и

КР1008ВЖ7 предназначены для работы только совместно с разговорным ключом. "*Низкий*" уровень удерживает ИК ТА в закрытом состоянии и он не может использоваться для коммутации разговорного узла, как в схеме на рис. 1.15. Импульсы набора все микросхемы номеронабирателей формируют "*низкого*" уровня, т. е. "*низкий*" уровень выхода микросхемы во время набора номера размыкает линию, а "*высокий*" - замыкает.

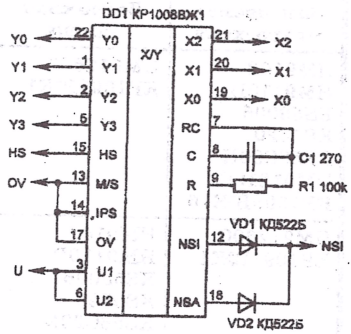

Рис. 6.2. Схема замены ИС ЭНН с логическим выходом ИК на ИС КР1008ВЖ1.

Для замены импортной ИС на КР1008ВЖ1, КР1008ВЖ5 или КР1008ВЖ7 необходимо при помощи дополнительных элементов привести в соответствие временные параметры сигналов, формируемых на выходах ИК и РК, заменяемой и заменяющей микросхем. Кроме того, в зависимости от типа выхода ИК (логический или с открытым стоком) заменяемой микросхемы необходимо обеспечить его согласование со входом импульсного ключа ТА.

Временные параметры приводятся в соответствие посредством двух диодов, включаемых с выходов ИК (NSI) и РК (NSA2) микросхемы КР1008ВЖ1 по схеме "ИЛИ", как показано на рис. 6.2. В результате, на выходе (в точке соединения диодов VD1 и VD2), формируется сигнал с временными параметрами, соответствующими параметрам выходных сигналов ИК импортных микросхем.

Эту схему можно применять для замены микросхем номеронабирателя с логическим выходом импульсного ключа, так как в точке соединения диодов VD1 и VD2 формируется сигнал с уровнем, соответствующим логическому выходу ИС КР1008ВЖ1. В схеме, при необходимости, можно задействовать выход разговорного ключа (NSA) (вывод 18).

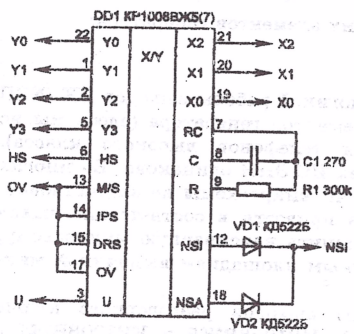

Рис. 6.3. Схема замены ИС ЭНН с логическим выходом ИК на ИС КР1008ВЖ5(7).

Аналогичная схема на ИС КР1008ВЖ5 и КР1008ВЖ7 приведена на рис. 6.3.

На рис. 6.4 приведена схема замены импортной ИС с открытым стоком выхода ИК. Диоды VD1 и VD2 формируют соответствующую импульсную последовательность, а транзисторы VT1 и VT2, образуя выход с открытым коллектором, моделируют выход ИК ИС с открытым стоком.

Выводы микросхемы X0, X1, X2, Y0, Y1, Y2, Y3, 0V, U, HS и NSI подключаются на соответствующие контактные площадки заменяемой ИС. Вывод SB подключается к выводу микропереключателя со стороны транзисторов импульсного ключа (точка КТ1 на рис. 6.1).

Для замены импортной микросхемы на отечественную КР1008ВЖ1 можно изготовить переходную плату, разместив на ней необходимые дополнительные элементы. На рис. 6.5 показан чертеж переходной платы для схемы, приведенной на рис. 6.4. Форма и размеры переходной платы выбраны с учётом размещения её в телефон-трубке между основной платой и динамической головкой.

Контактные площадки переходной платы (в рамке на рис. 6.5) и контактные площадки заменяемой ИС на основной плате телефона соединяются между

собой жгутом из тонких проводов. Схемы соединения контактных площадок переходной платы с контактными площадками основной платы, из которой выпаяна ИС ЭНН, для различных типов ИС различны и приведены в таблице 6.3. В ячейках таблицы показаны номера выводов контактных площадок заменяемой микросхемы на основной плате телефона. Расположение самих ячеек соответствует расположению контактных площадок на переходной плате. Например, для микросхемы KS5805A

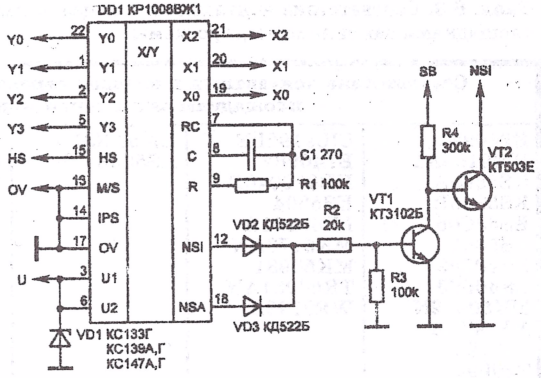

Рис. 6.4. Схема замены ИС ЭНН с открытым стоком выхода ИК на КР1008ВЖ1.

контактную площадку Y0, которая расположена рядом с выводом 22 ИС КР1008ВЖ1, необходимо соединить с контактной площадкой от вывода 16 микросхемы KS5805A на основной плате.

Для того чтобы в телефоне работал повтор последнего набранного номера, необходимо внести изменения на плате наборного поля. Нужно разорвать дорожку, которая идет от контактной площадки X2 к кнопке "#", и соединить разорванный конец дорожки от этой кнопки к контактной площадке X0. В телефонах-трубках, если принять контактную площадку, расположенную ближе к динамической головке за первую, то контактная площадка X0 - третья, а X2 - седьмая.

Если все соединения сделаны правильно, а номер не набирается, следует проверить напряжение на стабилитроне переходной платы. При пониженном его значении (менее 2,0 В) необходимо увеличить ток через стабилитрон при помощи резистора в цепи питания микросхемы (раздел 3.3). При замене микросхем CIC9102E, CIC9104E, KS5805B, LR40993, MK50993, T40993, UM9151, UM9151-3, WE9102 и WE9104 стабилитрон VD1 может не понадобится, так как он должен иметься на основной плате телефона.

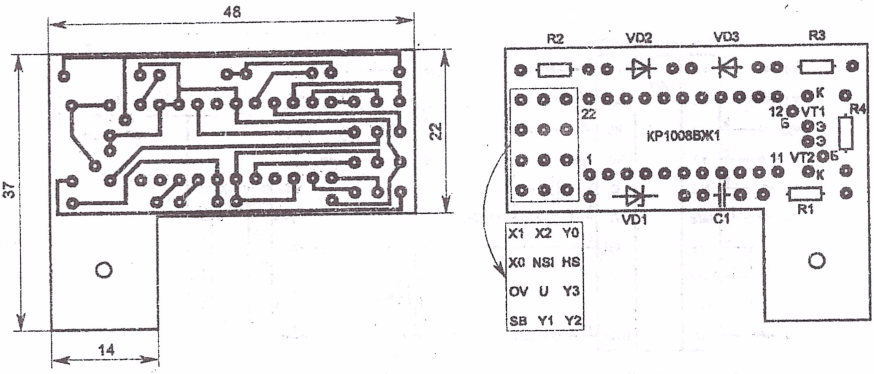

Рис. 6.5. Переходная плата для замены ИС ЭНН с открытым стоком выхода ИК микросхемой КР1008ВЖ1.

Табл. 6.3. Соответствие контактных площадок переходной платы с контактными площадками заменяемой микросхемы.

Соответствие контактных площадок переходной платы контактным площадкам заменяемой микросхемы:															
ET40992 HM9100A1 KS5805A KS5805B KS58C05 KS5851 LR40992 LR40993 MK50992N MK50993 T40992 T40993			CIC9192BE ET40982 HD970040D KS5804 LR40981A MK5178AN MK50981 TR50981AN WE9192B			HM9100B KS5853			CIC9104E UM9151-3 WE9104			CIC9102E UM9151 WE9102		
4	5	16	4	5	14	3	4	14	15	16	1	16	17	18
3	18	17	3	16	15	2	16	15	14	9	11	15	9	12
6	1	13	6	1	11	5	1	11	12	5	4	10	5	4
SB	15	14	SB	13	12	SB	13	12	SB	2	3	SB	2	3

Второй вариант замены ИС ЭНН с логическим выходом ИК показан на рис. 6.6. В этом случае необходимо добавить ключ на полевом n-канальном транзисторе с индуцированным каналом и изолированным затвором КР1014КТ1А,(В), подключив его параллельно выходу диодного моста. Особенность схемы состоит в том, что импульсный ключ ТА используется как разговорный ключ, а набор номера осуществляется токовым ключом на КР1014КТ1А,(В). Если в ТА присутствует разговорный ключ, то вывод 18 ИС КР1008ВЖ5,(7) необходимо подключить на него, а импульсный ключ ТА отключить (вместо него будет работать токовый ключ на КР1014КТ1А,(В).

Импульсы, управляющие работой ключа, подаются на затвор токового ключа с выхода ИК ИС и полностью соответствуют требованиям технических условий для отечественных телефонных сетей, так как ИС КР1014КТ1А,(В) в режиме насыщения имеет сопротивление менее 50 Ом.

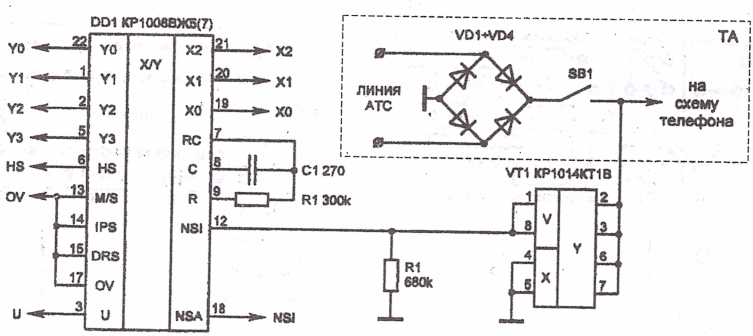

Рис. 6.6. Схема замены микросхемы номеронабирателя на ИС КР1008ВЖ5,(7) и токовый ключ КР1014КТ1В.

7. ЗАЩИТА И ДОРАБОТКА ТА

Амплитуда посылок сигнала индукторного вызова достигает 120 В, а на некоторых станциях и 200 В. Именно это напряжение представляет наибольшую опасность для электронной "начинки" телефона. При снятии трубки во время звонка напряжение посылок индукторного вызова может вывести из строя основные элементы ТА (импульсный ключ, микросхему номеронабирателя, электретный микрофон). Это может произойти как из-за пробоя внутри элементов, так и за счёт превышения допустимой рассеиваемой мощности на них.

7.1. ЗАЩИТА МИКРОСХЕМЫ НОМЕРОНАБИРАТЕЛЯ

Самым слабым местом в ИС является выход импульсного ключа. Для ИС ЭНН пробой внутреннего полевого транзистора импульсного ключа с открытым стоком наступает при напряжении свыше 30 В. Естественно, напрашивается простейший способ защиты - ограничить напряжение, которое может появиться на выходе ИК ИС при пробое транзисторов ИК ТА или снятии трубки во время звонка.

Для этого между нулевой шиной и выходом ИК ИС включается быстродействующий стабилитрон с напряжением стабилизации 13 ÷ 15 В (рис. 7.1). Но этот способ защиты не дает гарантии полной защиты, поскольку при пробитом коллекторном переходе транзистора VT1 импульсного ключа ТА (рис. 6.1,*а* и 6.1,*б*) и попытке набора номера, через открытый выход ИК ИС пойдет весь ток линии, что моментально приведет к выходу из строя микросхемы номеронабирателя.

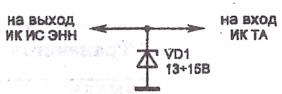

Рис. 7.1. Способ защиты выхода ИК ИС ЭНН с открытым стоком.

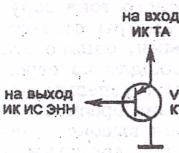

Рис. 7.2. Рекомендуемая схема защиты выхода ИК ИС ЭНН с открытым стоком.

Гарантированную защиту выхода ИК ИС обеспечивает применение дополнительного транзистора, включенного по схеме, приведенной на рис. 7.2. Здесь транзистор VT1 включен по схеме эмиттерного повторителя. Когда выход ИК микросхемы ЭНН находится в высокоимпедансном состоянии, то переход эмиттер - коллектор транзистора VT1 закрыт. При наборе номера выход ИК ИС подключается к общей шине. Ток, протекающий через резистор R1 (рис. 6.1,*а* и 6.1,*б*) и переход база-эмиттер защитного транзистора VT1, открывает его и подключает вход ИК ТА на землю. Импульсный ключ ТА закрывается.

Если к эмиттеру транзистора VT1 (рис. 7.2) по любой причине будет приложен высокий потенциал, то при появлении малейшего тока в цепи: эмиттер-база транзистора VT1 - выход ИК ИС - корпус, транзистор VT1 открывается и весь ток проходит через него. Это исключает выход из строя микросхемы номеронабирателя.

Наиболее опытные радиолюбители могут возразить, что защитный транзистор следует подключать так, как показано на рис. 7.3. Однако продолжительная практика использования схемы, приведённой на рис. 7.2, показала её полную надёжность.

Такой способ защиты весьма эффективен и позволяет снимать трубку даже во время междугородного звонка, если, конечно, защищены транзисторы ИК. Междугородный звонок при отсутствии описанной защиты наиболее опасен для ТА из-за повышенной частоты следования посылок вызывного сигнала, что повышает вероятность снятия трубки во время звонка.

Для ИС с логическим выходом ИК перечисленные способы не пригодны, так как напряжение выхода ИК ИС не превышает напряжение питания ИС. В этом случае выход ИК ИС следует включить через диод, как показано на рис. 7.4. Для обеспечения надежного запирания транзистора VT1 при напряжении низкого уровня на выходе ИК ИС с его базы на корпус необходимо включить резистор R2 сопротивлением 100 ÷ 300 кОм. Резистор R1

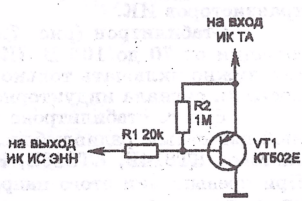

Рис. 7.3. Схема защиты выхода ИК ИС ЭНН с открытым стоком и резисторами в базовой цепи.

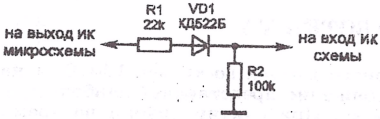

Рис. 7.4. Способ защиты выхода ИК ИС номеронабирателя с логическим выходом.

должен присутствовать на плате телефона. Его сопротивление может находиться в довольно широких пределах.

Микросхему номеронабирателя с встроенным источником опорного напряжения можно защитить и по цепи питания. Для этого необходимо с входа питания ИС на корпус включить стабилитрон с напряжением стабилизации 4,7 ÷ 5,6 В (КС147А,Г; КС156А,Г и т. п.). Но в этом, как правило, нет необходимости. При надежно защищенном выходе ИК микросхемы номеронабирателей практически не выходят из строя по питанию благодаря внутренней защите.

7.2. ЗАЩИТА ИМПУЛЬСНОГО КЛЮЧА ТА

Сравним параметры отечественных и импортных транзисторов наиболее часто используемых в схемах ИК:

Транзистор	Uкэ макс, В	Iк и макс, мА	Pк макс, Вт
2N5551	180	600	0,35
КТ503Е	100	350	0,35
2N5401	160	600	0,35
КТ502Е	90	350	0,35

Предельно допустимые значения напряжения и импульсного тока зарубежных транзисторов значительно превышает аналогичные параметры отечественных. Поэтому они кажутся на первый взгляд более надежными, однако это не так. Практика показывает, что зарубежные транзисторы выходят из строя довольно часто, чего нельзя сказать об указанных отечественных, успешно используемых для их замены. Причина состоит в том, что вследствие бросков напряжения, возникающих при наборе номера, а равно воздействия высокого напряжения индукторного вызова происходит превышение предельно допустимой рассеиваемой мощности. У отечественных транзисторов имеется больший запас по допустимой рассеиваемой мощности, чем у зарубежных, несмотря на то, что паспортные данные у них одинаковые. Кроме того, необходимо также учитывать, что в недорогих импортных телефонах могут устанавливаться некондиционные компоненты, у которых параметры не соответствуют паспортным, тогда как для отечественных транзисторов это практически исключено.

Если в линии отсутствуют броски напряжения, а трубку Вы снимаете всегда во время паузы между звонками, Ваш телефон будет длительное время работать исправно. Тем не менее, защиту следует ввести. Ведь её реализация проста и не трудоемка.

На рис. 7.5 приведены схемы подключения защитного элемента, в качестве которого можно использовать стабилитрон, транзистор (в режиме лавинного пробоя), варистор или неоновую лампочку. Основное назначение защитного элемента - ограничить броски напряжения в линии до величины, безопасной для транзисторов ИК.

Стабилитрон (рис. 7.5,*а*) необходимо использовать с напряжением стабилизации от 70 до 100 В (КС568В, КС582В, КС591А, КС596В, КС600А и т. п.). Его нужно включать только после микропереключателя, иначе, после первой же посылки сигнала индукторного вызова Ваш абонент услышит короткие гудки.

Вместо стабилитрона можно использовать метод (рис. 7.5,*б*), рекомендованный известным радиолюбителем Александром Пысь. Граничное напряжение транзисторов КТ814Б, КТ816Б, КТ639В при отключенной базе составляет 60 ÷ 100 В. При превышении этого напряжения наступает лавинный пробой транзистора. Напряжение коллектор - эмиттер изменяется незначительно при дальнейшем увеличении тока. При лавинном пробое, в отличие от теплового, характеристики транзистора восстанавливаются после снятия граничного напряжения. Для большинства транзисторов КТ814Б (>80 %) это напряжение составляет 65 ÷ 75 В.

Варистор (рис. 7.5,*в*) представляет собой полупроводниковый резистор,

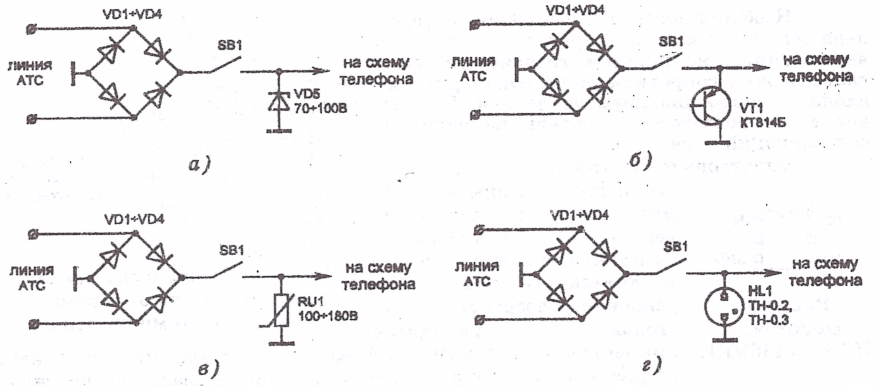

Рис. 7.5. Схемы включения защитных элементов ИК схемы ТА.

сопротивление которого уменьшается с увеличением приложенного напряжения. Их желательно использовать на напряжение 100 ÷ 180 В типа СН 1-2-1. Варисторы с напряжением ниже 100 В применять не рекомендуется, поскольку это может вызывать сбои при наборе номера.

Неоновая лампочка (рис. 7.5,*г*) выполняет функцию порогового элемента с напряжением ограничения 70 ÷ 85 В. Металлический цоколь лампочки необходимо подключать к плюсовой цепи.

Варистор и неоновую лампочку, в отличие от стабилитрона, можно включать перед микропереключателем, непосредственно к положительному выходу диодного моста. Неоновую лампочку в этом случае необходимо включить последовательно с резистором 47 кОм. Во время посылки сигнала индукторного вызова она будет выполнять также функцию светового индикатора вызова.

7.3. ДОРАБОТКА РАЗГОВОРНОГО УЗЛА

Если выполнена защита микросхемы и транзисторов ИК, то никаких специальных методов защиты разговорного узла применять не надо.

Целью доработки является улучшение потребительских параметров ТА, исходя из принципа - хорошо слышу я, хорошо слышат меня. Эта цель достигается улучшением характеристик микрофонного и телефонного усилителей.

Качество работы микрофонного усилителя очень зависит от типа применяемого микрофона. Если в Вашем телефоне установлен электродинамический микрофон (рис. 7.6), то улучшить работу ТА можно лишь заменив этот микрофон на электретный (рис. 7.7), обладающий значительно лучшими параметрами. В некоторых случаях этого бывает достаточно, чтобы Вас слышали хорошо.

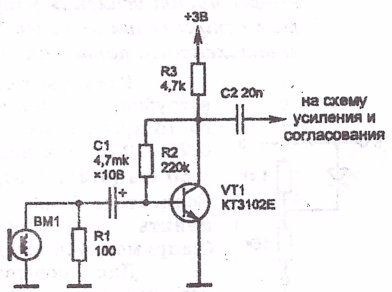

Рис. 7.6. Схема подключения электродинамического микрофона.

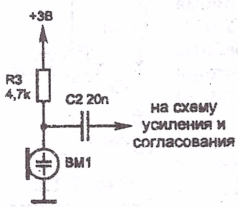

Рис. 7.7. Схема подключения электретного микрофона.

Если уровень сигнала микрофона остался неудовлетворительным, то необходимо согласовать выходное сопротивление микрофона с входным сопротивлением микрофонного усилителя посредством эмиттерного повторителя. Его схема приведена на рис. 7.8.

Необходимость согласования обусловлена тем, что выход электретного микрофона, выполненный на полевом транзисторе, обладает высоким сопротивлением, соизмеримым с входным сопротивлением усилителя. Вследствие этого образуется делитель напряжения, ослабляющий сигнал.

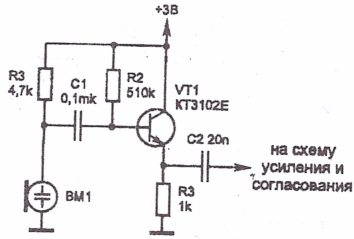

Рис. 7.8. Схема согласования выходного сопротивления электретного микрофона.

Эмиттерный повторитель уменьшает выходное сопротивление микрофона, в результате чего всё напряжение сигнала прикладывается ко входу усилителя. В этом случае усиление возрастает настолько, что приходится применять меры против возбуждения. Возбуждение устраняется увеличением сопротивления балансного резистора противоместной схемы (например, R3 на рис. 3.36) примерно вдвое.



Рис. 7.9. Цоколёвка ИС КА1436УЕ1.

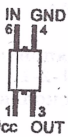

Рис. 7.10. Цоколёвка ИС КА1403УЕ2.

Можно также применить микросхемы КА1436УЕ1 или КА1403УЕ2А(Б), предназначенные для работы в качестве усилителя-повторителя для согласования выходного сопротивления электретного микрофона с входным сопротивлением усилителя НЧ. ИС КА1436УЕ1 производит НПО "ИНТЕГРАЛ" в г. Минске.

Цоколёвка ИС КА1436УЕ1 приведена на рис. 7.9, а КА1403УЕ2А(Б) на рис. 7.10. Их внутренняя электрическая схема приведена на рис. 7.11.

ИС представляют собой истоковый повторитель на полевом n-канальном транзисторе с p-n переходом.

Назначение выводов: 1 - плюс питания, 4 - общий, 6 - вход, 3 - выход, 2 и 5 не задействованы.

Основные электрические характеристики ИС КА1436УЕ1 и КА1403УЕ2А(Б):

- *напряжение питания 0,8 ÷ 5,0 В;*
- *напряжение входного сигнала в пределах ±0,4 В;*
- *входное сопротивление не менее 20 МОм;*
- *выходное сопротивление не более 2,5 кОм;*
- *коэффициент усиления напряжения не менее 0,4;*
- *ток потребления не более 160 мкА (для КА1403Б не более 180 мкА);*
- *эквивалентное полное напряжение шумов не более 3,5 мкВ.*

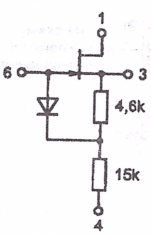

Рис. 7.11. Внутренняя электрическая схема ИС КА1436УЕ1 и КА1403УЕ2.

Если Вы плохо слышите абонента, то можно установить в трубке телефона вместо часто используемого электромагнитного микрофонного капсюля динамическую головку мощностью 0,25 ÷ 0,5 Вт и номинальным электрическим сопротивлением 8 ÷ 50 Ом (0,25ГД-10; 0,5ГДШ-9; 0,5ГД-13 и т.п.). Если этого будет недостаточно, необходимо заменить или дополнить усилитель приёма (например, усилителем НЧ на ИС ЭКР1436УН1).

Для повышения стабильности работы разговорного узла вместо нагрузочного резистора линии (например, R6 на рис. 3.36) желательно установить стабилитрон типа КС133А или КС433А и подключить параллельно ему электролитический конденсатор емкостью 47 мкФ × 10 В. Можно использовать схему рис. 7.12, выполняющую одновременно функции стабилитрона и источника тока для светодиода VD1. Светодиод можно использовать в качестве индикатора поднятой трубки телефона.

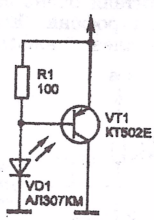

Рис. 7.12. Схема замены нагрузочного резистора линии в ТА.

7.4. ЗАМЕНА ДИСКОВОГО НОМЕРОНАБИРАТЕЛЯ НА КНОПОЧНЫЙ

Телефонные аппараты и другие оконечные абонентские устройства с дисковым номеронабирателем можно модернизировать в части установки в них кнопочного номеронабирателя. Для этого можно применить выпускаемые промышленностью номеронабиратели "ЭЛЕКТРОНИКА НК-01", " ЭЛЕКТРОНИКА НК-02" и " ЭЛЕКТРОНИКА НК-03".

Эти номеронабиратели полностью удовлетворяют требованиям, изложенным в разделе 1.1 и обеспечивают выполнение следующих функций:

- набор номера значностью до 22 цифр;
- неоднократное повторение набранного номера нажатием кнопки "*" (повтор) ;
- прерывание набора номера на любом его этапе и последующее его повторение, начиная с первой цифры;
- прослушивание сигналов АТС в паузах между цифрами набираемого номера;
- программирование паузы увеличенной длительности (2,7 с на одно нажатие кнопки "*") между любыми последовательными цифрами номера;
- отбой АТС нажатием кнопки "#" (отбой).

Схема номеронабирателя "ЭЛЕКТРОНИКА НК–01" приведена на рис. 7.13.

Диоды VD2, VD5 и переходы "сток - подложка" токовых ключей DA2, DA3 образуют диодный мост, который обеспечивает схему положительным на-

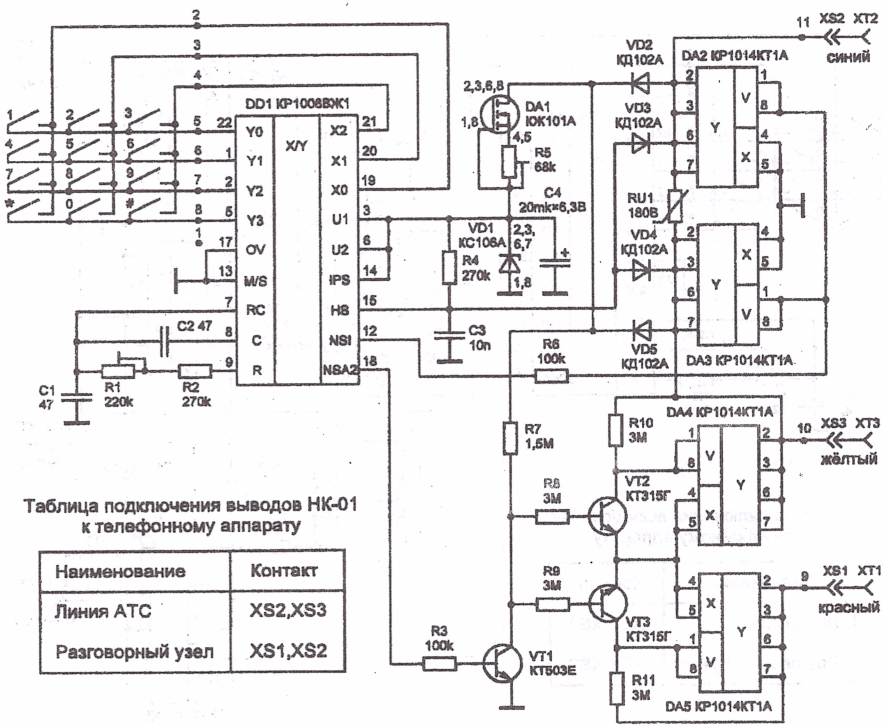

Таблица подключения выводов НК-01 к телефонному аппарату

Наименование	Контакт
Линия АТС	XS2,XS3
Разговорный узел	XS1,XS2

Рис. 7.13. Принципиальная электрическая схема кнопочного номеронабирателя "ЭЛЕКТРОНИКА НК–01".

пряжением питания. Питание микросхемы номеронабирателя DD1 напряжением 3,2 В осуществляется стабилизатором напряжения, выполненным на стабилизаторе тока DA1, стабилитроне VD1 и конденсаторе С4. Подстроечным резистором R5 регулируется начальный ток стабилизатора тока DA1.

Разговорный ключ номеронабирателя выполнен на токовых ключах DA4, DA5 и управляется с выхода NSA2 DD1 (вывод 18). Он обеспечивает подключение телефонного аппарата к абонентской линии в разговорном режиме и отключение от неё в режиме набора номера. Транзисторы VT2 и VT3 необходимы для обеспечения работы разговорного ключа при любой полярности подключения номеронабирателя к линии АТС. Управление токовыми ключами DA4, DA5 осуществляет тот транзистор, на коллекторе которого присутствует положительный потенциал.

Импульсный ключ, построенный на токовых ключах DA2, DA3 и подключенный параллельно линейным клеммам XS2, XS3, обеспечивает передачу импульсов набора номера, формируемых на выходе NSI DD1 (вывод 12), в абонентскую линию. Межсерийная пауза увеличенной длительности формируется нажатием кнопки "*" (повтор) во время набора номера.

Нажатие кнопки "#" (отбой) приводит к закрыванию разговорного ключа, отключению разговорной схемы ТА от абонентской линии и отбою приборов АТС. Режим "отбой" осуществляется также при уложенной на аппарат трубке. При этом напряжение на клеммах XS2, XS3 исчезает. Напряжение *"высокого"* уровня с заряженного конденсатора С4 через резистор R4 поступает на вход HS DD1 (вывод 15) и осуществляет подготовку ИС к повтору номера. Диоды VD3, VD4 обеспечивают *"низкий"* уровень на входе HS DD1 в разговорном режиме и

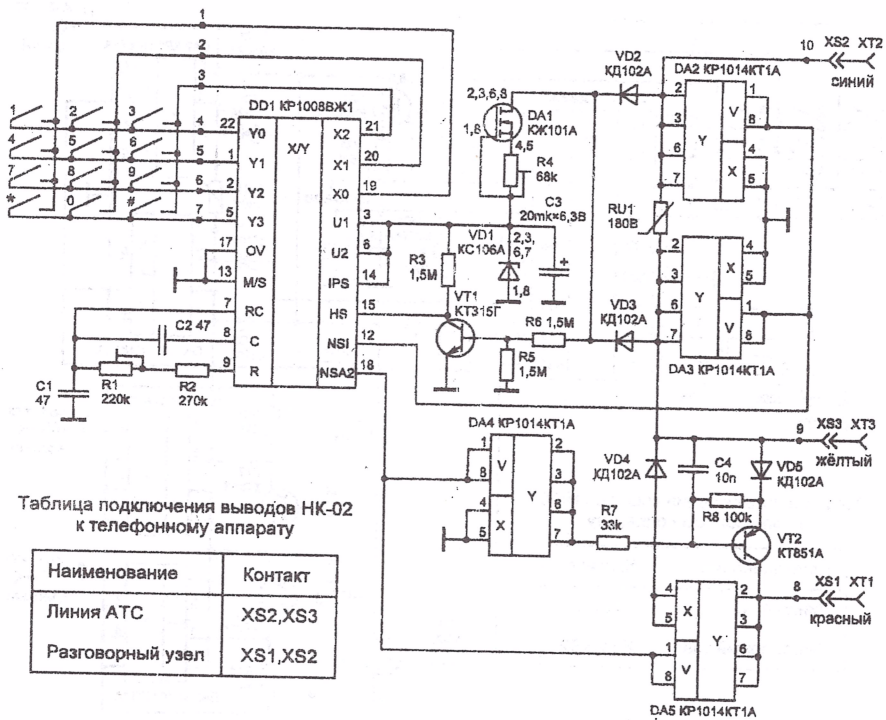

Таблица подключения выводов НК-02 к телефонному аппарату

Наименование	Контакт
Линия АТС	XS2,XS3
Разговорный узел	XS1,XS2

Рис. 7.14. Принципиальная электрическая схема кнопочного номеронабирателя "ЭЛЕКТРОНИКА НК–02".

предотвращают разряд конденсатора С4 при уложенной на рычаг трубке.

Варистор RU1 защищает токовые ключи от пробоя при бросках напряжения на линии и от высокого напряжения индукторного вызова. Подстроечным резистором R1 регулируется частота набора номера.

Номеронабиратель "ЭЛЕКТРОНИКА НК–02" (рис. 7.14) отличается от номеронабирателя "ЭЛЕКТРОНИКА НК–01" усовершенствованными схемами "отбой" и отключения разговорного узла. "*Низкий*" уровень на входе HS в разговорном режиме обеспечивает открытый транзистор VT1. При уложенной на рычаг трубке напряжение на базе транзистора VT1 равно нулю, транзистор закрыт и на входе HS DD1 через резистор R3 с заряженного конденсатора C3 подаётся "*высокий*" уровень. Такая схема обеспечивает более длительный разряд конденсатора C1 и, как следствие, продолжительное время удержания в памяти ОЗУ микросхемы ЭНН последнего набранного номера.

Разговорный узел при положительном потенциале линии АТС на клемме XS3 подключается к линии АТС через диод VD5 и открытый транзистор VT2. Транзистор VT4 открывается тогда, когда открывается токовый ключ DA4 и через резистор R7 подключает базу транзистора на корпус. При отрицательном потенциале на клемме XS3 разговорный узел подключается к линии через открытый токовый ключ DA5 и диод VD4.

На рис. 7.15 приведена принципиальная электрическая схема кнопочного номеронабирателя "ЭЛЕКТРОНИКА НК–03". Узел "отбой" в нём выполнен как в "НК-01", а схема отключения разговорного узла аналогична "НК-02". Добавлена интегрирующая цепь на выводе 5 ИС ЭНН для увеличения времени антидребезга.

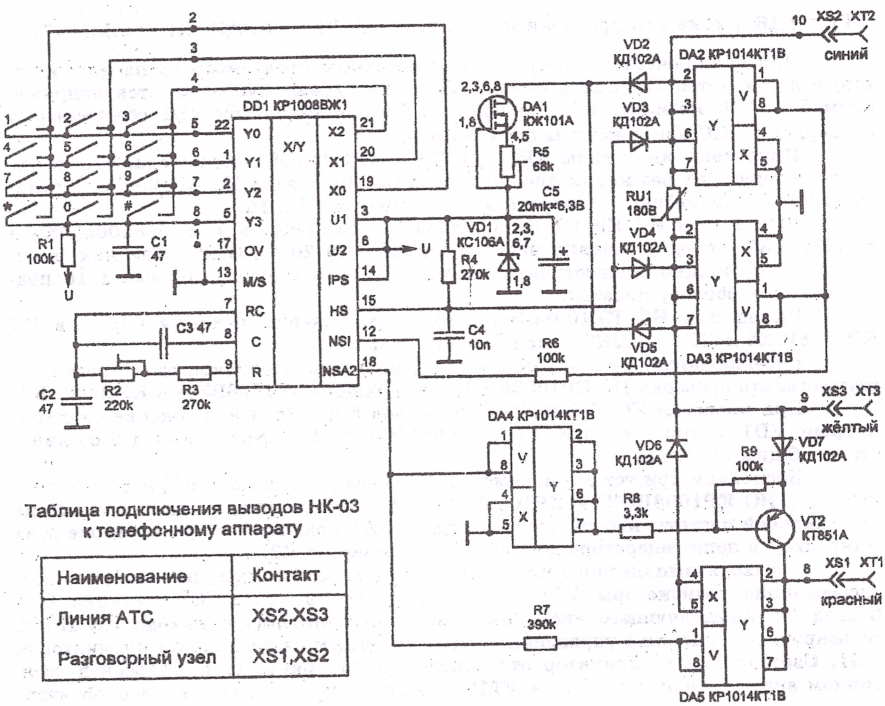

Таблица подключения выводов НК-03 к телефонному аппарату

Наименование	Контакт
Линия АТС	XS2,XS3
Разговорный узел	XS1,XS2

Рис. 7.15. Принципиальная электрическая схема кнопочного номеронабирателя "ЭЛЕКТРОНИКА НК–03".

7.5. УСТРОЙСТВА ДЛЯ ПРОВЕРКИ МИКРОСХЕМ И ТРАНЗИСТОРОВ, ПРИМЕНЯЕМЫХ В ТЕЛЕФОННЫХ АППАРАТАХ

Часто возникает необходимость проверить работоспособность микросхемы или транзистора перед установкой в схему, или удостовериться в исправности выпаянных элементов схемы.

На рис. 7.16 приведена схема устройства, позволяющего произвести проверку микросхем КР1008ВЖ1, КР1003ВЖ5, КР1008ВЖ7, КР1064ВЖ5, КР1064ВЖ7.

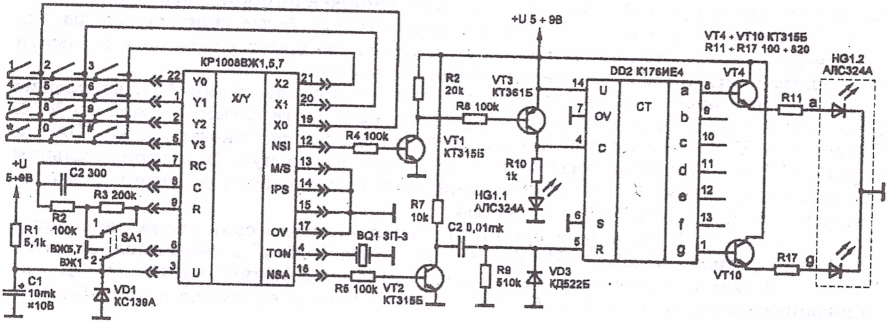

Рис. 7.16. Схема для проверки исправности ИС КР1008ВЖ1, КР1008ВЖ5(7).

Для подключения проверяемой микросхемы предусмотрена панель, в которую вставляется ИС при проверке. Питание схемы осуществляется напряжением 5 ÷ 9 В. Резистор R1, конденсатор C1 и стабилитрон VD1 обеспечивают проверяемую ИС напряжением питания 3 В.

Цоколёвка микросхем КР1008ВЖ5 и КР1008ВЖ7 одинакова, что позволяет проверять их без каких-либо дополнений. Цоколёвка ИС КР1008ВЖ1 отличается от их цоколёвки назначением двух выводов - 6 и 15.

Вывод 15 в ИС КР1008ВЖ1 - вход "отбой" (HS), а в ИС КР1008ВЖ5 и КР1008ВЖ7 - вход установки частоты набора - 10/20 Гц (DRS). Так как функцию "отбой" можно осуществлять кнопкой "#" клавиатуры, то вывод 15 подключается к общему проводу.

Вывод 6 в ИС КР1008ВЖ1 - вход напряжения питания (U), а в ИС КР1008ВЖ5 и КР1008ВЖ7 - вход "отбой" (HS).

Переключатель SA1 в нижнем (по схеме) положении контактов позволяет осуществлять проверку ИС КР1008ВЖ1, а в верхнем - КР1008ВЖ5 и КР1008ВЖ7.

При проверке ИС КР1008ВЖ1 на вывод 6 подаётся напряжение со стабилитрона VD1, а при проверке ИС КР1008ВЖ5 и КР1008ВЖ7 вывод 6 соединяется с общим проводом.

Поскольку при тех же параметрах времязадающей цепи (C2 и R2) частота набора у ИС КР1008ВЖ5 и КР1008ВЖ7 в три раза выше, то для обеспечения номинальной частоты набора второй контакт SA1 подключает при проверке этих микросхем в цепи генератора дополнительно резистор R3.

С выхода импульсного ключа ИС DD1 (вывод 12) импульсы набора через согласующие транзисторы VT1 и VT3 поступают на вход "C" счетчика DD2 (вывод 4), определяющего число импульсов, поступивших с выхода ИК ИС, и формирующего сигналы управления семисегментным светодиодным индикатором HG1. Светодиодный индикатор отображает число принятых импульсов в десятичном виде. Транзисторы VT4 ÷ VT10 согласуют выход счетчика - дешифратора со светодиодным индикатором, номинальный ток которого обеспечивают резисторы R11 ÷ R17. Импульсы набора изменяют состояние счетчика по спаду по-

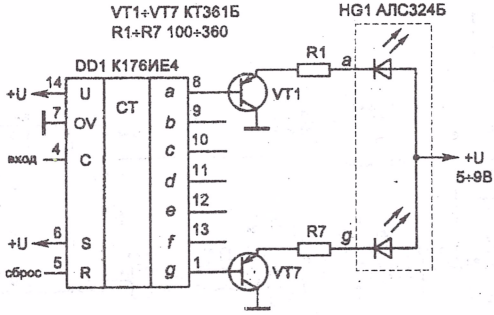

Рис. 7.17. Схема подключения светодиодного индикатора с общим анодом.

ложительных импульсов на входе "С" (вывод 4).

Светодиод VD2 мигает с частотой 10 Гц во время следования импульсов набора. В качестве него можно использовать точку светодиодной матрицы HG1.

С выхода разговорного ключа ИС DD1 (вывод 18) отрицательный перепад импульса инвертируется транзистором VT2 и поступает на дифференцирующую цепь C2, R10. Короткий импульс положительного напряжения, сформированный ею, поступает на вход R DD2 (вывод 5) и устанавливает счетчик в исходное состояние перед началом каждой серии импульсов набора.

В схеме применён индикатор АЛС324А с общим катодом. Вместо него могут быть использованы индикаторы АЛ304А,Б,В, АЛС321А, АЛС313А, АЛС314А, АЛС333А,В, АЛС339А. Светодиодные матрицы с общим анодом - АЛ304Г, АЛС321Б, АЛС324Б, АЛС333Б,Г следует включать по схеме, приведённой на рис. 7.17.

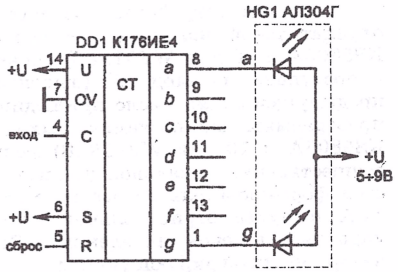

Рис. 7.18. Схема подключения светодиодного индикатора АЛ304Г.

Высокочувствительные индикаторы типа АЛ304Г можно включать непосредственно к выходам микросхемы, как показано на рис. 7.18. Однако из-за разброса тока короткого замыкания микросхем, не нормируемого техническими условиями, яркость свечения индикаторов может быть различной. Идентичности яркости свечения частично можно достичь подбором напряжения питания индикаторов.

Для согласования выходов микросхемы К176ИЕ4 со светодиодными индикаторами, имеющими общий анод можно использовать микросхемы К176ПУ1, К176ПУ2, К176ПУ3, К561ПУ4 и К561ЛН2, как показано на рис. 7.19.

При использовании неинвертирующих микросхем (К176ПУ3, К561ПУ4) вход S (вывод 6) К176ИЕ4 следует соединить с входом U, а при использовании инвертирующих (К176ПУ1, К176ПУ2, К561ЛН2) - с общим проводом.

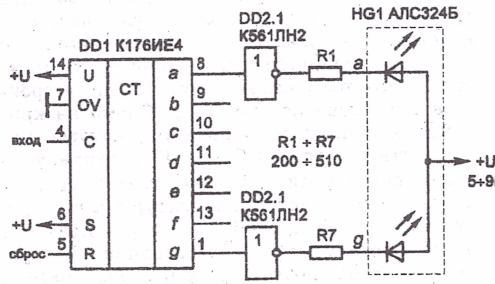

Рис. 7.19. Схема согласования выходов ИС К176ИЕ4 со светодиодными индикаторами, имеющими общий анодом.

На рис. 7.20 представлена схема для проверки работоспособности двух наиболее распространенных групп зарубежных ИС. В первую входят ИС KS5805A, KS5851 и их аналоги, приведенные в таблице 6.2. Во вторую - WE9192B и ее аналоги.

Микросхема KS5805A имеет 18 выводов, а WE9192B - 16 выводов. Но её цоколёвка повторяет цоколёвку KS5805A за исключением выводов 9 - M/S

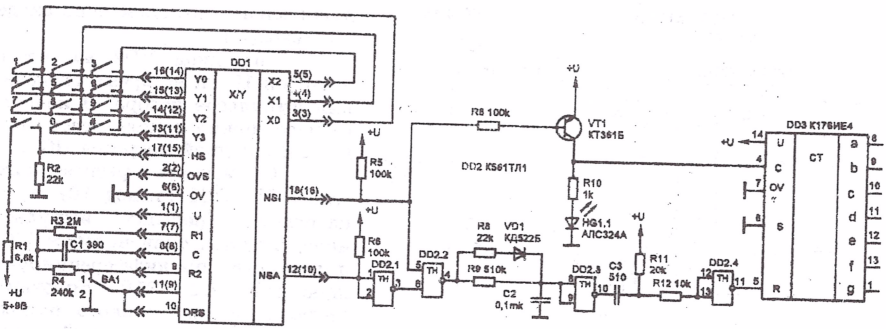

Рис. 7.20. Схема для проверки исправности ИС KS5805A, KS5851, WE9192B и их аналогов.

и 10 - DRS, которые у нее отсутствуют. На рис. 7.20 в скобках указаны номера выводов для ИС WE9192B. Переключатель SA1 служит для выбора типа проверяемой микросхемы. В положении "1" проверяются микросхемы второй группы, в положении "2" - первой.

Работа устройства осуществляется следующим образом. Импульсы набора отрицательной полярности с выхода импульсного ключа NSI (вывод 18 для KS5805A и 16 для WE9192B) проверяемой ИС инвертируются транзистором VT1 и поступают на вход "С" (вывод 4) счетчика-дешифратора К176ИЕ4. Как и в предыдущей схеме число пришедших импульсов отображается на индикаторе. В проверяемых микросхемах выход разговорного ключа NSA (вывод 12 для KS5805A и 10 для WE9192B) формирует импульс на весь период набора. Для осуществления начальной установки счетчика после набора каждой цифры имеется формирователь сброса на микросхеме DD2. С выхода разговорного ключа NSA импульс отрицательной полярности через инвертор на элементе DD2.1 управляет ключом на элементе DD2.2, разрешающим прохождение импульсов набора на интегрирующую цепочку R8, R9, VD1, C2.

Элементы цепочки рассчитаны таким образом, чтобы импульсы набора не позволяли разрядиться конденсатору C2, поддерживающему на время следования импульсов набора одной цифры потенциал логической "1" на входе инвертора DD2.3. За период межсерийной паузы конденсатор C2 разряжается до уровня переключения логического элемента DD2.3. Дифференцирующая цепочка на выходе последнего формирует короткий отрицательный импульс, который инвертируется элементом DD2.4 и устанавливает счетчик в исходное состояние.

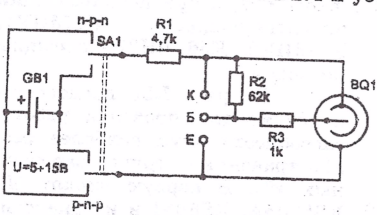

Рис. 7.21. Схема для проверки исправности транзисторов.

Для проверки работоспособности транзисторов можно применить простое и надёжное устройство, в основу которого положено использование импортного трехвыводного пьезоизлучателя. Схема устройства приведена на рис. 7.21. Схема не критична к напряжению питания, которое может быть в пределах 5 ÷ 15 В. В верхнем по схеме положении переключателя SA1 проверяются транзисторы структуры p-n-p, а в нижнем - n-p-n. Если транзистор исправен и цоколёвка совпадает с указанной, Вы услышите тональный сигнал пьезоизлучателя BQ1 частотой около 3,5 кГц. Схема позволяет не только определять исправность транзисторов, но и определять структуру и цоколёвку транзисторов, на которые нет справочных данных, так как неправильное включение не выводит транзисторы из строя.

8. ИС КР1008ВЖ18 И КР1008ВЖ19.

ИС КР1008ВЖ18 (аналог фирмы SAMSUNG - KT3170, MITEL - MT8870, HUALON - HM9270) и КР1008ВЖ19 (аналог фирмы UMC - UM91531) производит НПО "ИНТЕГРАЛ" в г. Минске.

ИС КР1008ВЖ19 представляет собой тонально - импульсный (DTMF/PULSE) номеронабиратель с параллельным вводом информации. Работает под управлением микроконтроллера (компьютера) и вырабатывает как DTMF, так и импульсные сигналы набора номера. Частоты всех необходимых двухтональных и импульсных сигналов формируются кварцевым генератором. ИС применима в аппаратуре телефонной, факсимильной и модемной связи, системах дистанционного управления.

Основные характеристики ИС КР1008ВЖ19

- Параллельный ввод 4-разрядной информации с микроконтроллера (компьютера).
- Входы и выходы микросхемы ТТЛ совместимые.
- Для обеспечения высокой точности и стабильности частот используется кварцевый генератор с частотой 3,579545 МГц.
- Напряжение питания 2,5 ÷ 5,5 В.
- Возможность выбора импульсного коэффициента.
- Частота импульсов набора 10 Гц.
- Тональная (DTMF) передача цифр 0 ÷ 9, *, #, A, B, C, D.
- Импульсная (PULSE) передача цифр 0 ÷ 9, *, #, A.
- Высокий уровень выходного тонального сигнала: 2 дБ.
- Малые нелинейные искажения DTMF сигнала.
- Совместимость с интерфейсом RS-470 и CEPT.

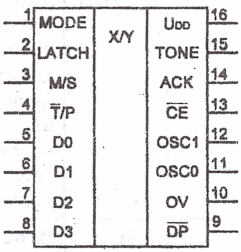

Рис. 8.1. ИС КР1008ВЖ19.

Цоколёвка ИС приведена на рис. 8.1, назначение выводов в табл. 8.1, структурная схема на рис. 8.2. Временные диаграммы входов и выходов ИС КР1008ВЖ19 приведены на рис. 8.3, статические и динамические характеристики в табл. 8.2 и 8.3. Выходные сигналы DTMF и PULSE ИС КР1008ВЖ19, соответствующие параллельному коду на входах D0 ÷ D3, приведены в табл. 8.4.

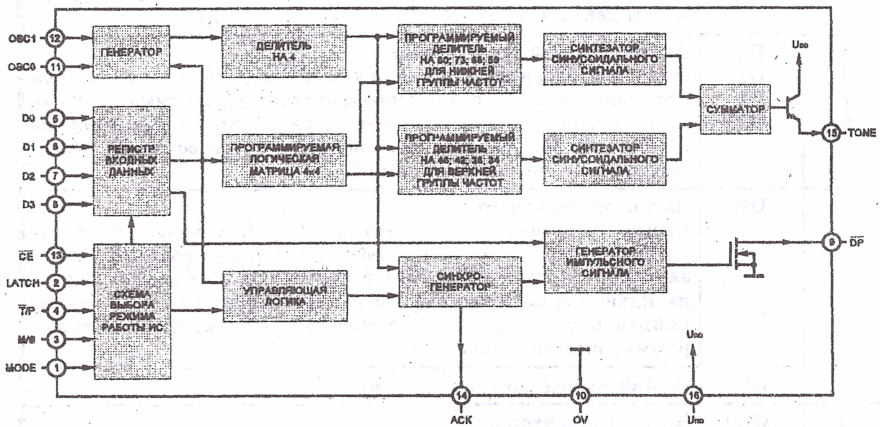

Рис. 8.2. Структурная схема ИС КР1008ВЖ19.

Табл. 8.1. Назначение выводов ИС КР1008ВЖ19.

Вывод	Обозначение	Назначение
1	MODE	**Вход выбора режима тональной (DTMF) передачи.** При "*высоком*" уровне на этом входе работа выхода TONE и ACK нормальна (см. назначение выводов 14 и 15). При "*низком*" уровне DTMF сигнал на выходе TONE генерируется непрерывно и любые новые данные на 4-х разрядном параллельном входе D0 ÷ D3 игнорируются. Этот вход работает только тогда, когда ИС находится в режиме DTMF сигнала (на входе T/P - "*низкий*" уровень).
2	LATCH	**Вход "загрузки".** Когда входной сигнал на этом входе переходит из "*низкого*" уровня в "*высокий*" (по переднему фронту), ИС загружает данные на 4-х разрядном входе данных D0 ÷ D3 и входе T/P (вывод 4). Набор номера начинается при изменении уровня на входе LATCH из "*высокого*" в "*низкий*". Уровень сигнала на входе LATCH не должен изменяться снова от "низкого" к "*высокому*" и новые данные не могут быть загружены, пока уровень на выходе ACK (вывод 14) остаётся "*низким*".
3	M/S	**Вход выбора импульсного коэффициента.** "*Высокий*" уровень на этом входе устанавливает импульсный коэффициент 1,5, "*низкий*" - 2 (вход должен быть подсоединён либо к плюсу питания, либо к общему выводу). Изменение состояния этого вывода, когда вход выборки кристалла CE (вывод 13) находится в активном ("*низкий*" уровень) состоянии, разрешает тестовый режим.
4	T/P	**Вход выбора способа передачи (DTMF или PULSE).** Вход устанавливает, какой из режимов - тональный ("*низкий*" уровень) или импульсный ("*высокий*" уровень) будет активным. Он загружается вместе с 4-х разрядным кодом данных по входам D0 ÷ D3.
5 6 7 8	D0 D1 D2 D3	**4-х разрядный вход данных.** Этот 4-х разрядный параллельный вход используется для получения данных с микроконтроллера. (Диаграмма входных и выходных сигналов показана на рис. 8.3). Входные данные на этих входах должны быть поданы до или во время переднего фронта сигнала "загрузки".
9	DP	**Выход импульсного ключа.** Выход выполнен на n-канальном КМОП транзисторе с открытым стоком. Во время набора импульсы разрыва линии замыкаются ключом на общий провод. Во всех других случаях ключ закрыт. Частота набора составляет 10 Гц, а межсерийная пауза - 823 мс. (Состояние этого вывода в тестовом режиме описано ниже).
10	OV	**Общий вывод** (минус питания).
11	OSC0	**Выход генератора.**

Вывод	Обозначение	Назначение
12	OSC1	**Вход генератора.** ИС содержит генератор с необходимыми развязывающими конденсаторами и резистором обратной связи в своём корпусе. Поэтому для работы генератора достаточно подключить стандартный телевизионный кварц на частоту 3,579545 МГц к выводам OSC0 и OSC1. *(Практика показала, что в некоторых случаях генератор ИС КР1008ВЖ19 не запускается без конденсаторов ёмкостью 30 пкФ, подключенных с выводов OSC0 и OSC1 к общему проводу).* Можно также подать внешнюю тактовую частоту непосредственно на вывод OSC1. Работа генератора возможна только при "*низком*" уровне на входе CE.
13	CS	**Вход выборки кристалла.** Вход контролирует запуск генератора и служит для начальной установки микросхемы. "*Низкий*" уровень разрешает работу микросхемы, "*высокий*" - запрещает.
14	ACK	**Выход "подтверждение".** Формирует сигнал "подтверждение" для микроконтроллера. Когда ИС готова набрать следующую цифру, на выводе ACK появляется "*высокий*" уровень. Он становится "*низким*" сразу после прохождения переднего фронта сигнала "загрузки" и остаётся в этом состоянии до тех пор, пока не освободится регистр входных данных (рис. 8.2), т. е. не закончится набор загруженной цифры.
15	TONE	**Выход тонального (DTMF) сигнала.** Состоит из n-p-n транзистора, коллектор которого подключен внутри ИС к плюсу питания, а эмиттер является выходом DTMF сигнала. Сформированный DTMF сигнал внутри ИС подаётся на базу этого транзистора, включенного по схеме эмиттерного повторителя с резистором, установленным между выводом ИС и общим проводом. С резистора сигнал подаётся на внешний усилитель на транзисторе с общим коллектором, или включенным по схеме Дарлингтона. Длительность DTMF сигнала составляет 70 мс, межцифровой интервал - 70 мс. Типовое выходное сопротивление DTMF сигнала составляет 1,25 кОм. Статический коэффициент передачи тока (h_{21E}) n-p-n транзистора не менее 30 при токе коллектора (I_K) = 3 мА.
16	U_{DD}	**Напряжение питания (2,5...5,5 В). (Плюс питания).**

Предельно допустимые характеристики ИС КР1008ВЖ19:

- Напряжение питания (OV + U_{DD}) ..... от -0.3 В до +10 В.
- Входное напряжение (U_{IN}) ..... от -0,3 В до (U_{DD} + 0,3) В.
- Допустимая рассеиваемая мощность (при 25° С) ..... 600 мВт.
- Рабочая температура (T_{OP}) ..... от -20° С до +70° С.
- Температура хранения (T_{STG}) ..... от -55° С до +125° С.

Работа ИС в предельных режимах не рекомендуется. Их превышение вызывает повреждение микросхемы. Для надёжной работы ИС рекомендуется руководствоваться статическими и динамическими характеристиками, приведёнными в табл. 8.2 и 8.3.

Табл. 8.2. Статические характеристики ИС КР1008ВЖ19.

Параметры	Обозначение	Значение			Режим измерения
		мин.	тип.	макс.	
Напряжение питания, В	U_{DD}	2,5		5,5	
Ток потребления, мА	I_{DD}		0,42	1	CE = "0"
Ток хранения, мкА	I_{SD}		5	8	CE = "1"
Входной ток по выводу DP, мА	I_{OL1} I_{OL2}	1 3			U_{DD}=2,5 В; U_{OL}=0,4 В U_{DD} = 5 В; U_{OL}= 0,4 В
Входное напряжение *"высокого"* уровня, В	U_{IH}	0,8		U_{DD}	
Входное напряжение *"низкого"* уровня, В	U_{IL}	0		0,2	U_{DD} = 3,5 В
Входной ток *"высокого"* уровня, мкА	I_{IH}		0,05		
Входной ток *"низкого"* уровня, мкА	I_{IL}		-0,05		
Выходной ток по выводу ACK, мА	I_{OHACK}	1,6			U_{DD} = 5 В; U_{OH} = 2,4 В
Входной ток по выводу ACK, мА	I_{OLACK}	4			U_{DD} = 5 В; U_{OL} = 0,4 В
Амплитуда DTMF сигнала верхней группы частот, В (от пика до пика)	U_{OR}	0,779 0,98	0,84 1,07	0,91 1,16	U_{DD}=2,5В; R_L=2,2кОм U_{DD}=5В; R_L=2,2кОм
Амплитуда DTMF сигнала нижней группы частот, В (от пика до пика)	U_{OR}	0,98 1,25	1,06 1,35	1,16 1,45	U_{DD}=2,5В; R_L=2,2кОм U_{DD}=5В; R_L=2,2кОм
Нелинейные искажения DTMF сигнала, %	D_{IS}		1	5	

Табл. 8.3. Динамические характеристики ИС КР1008ВЖ19.

Параметры	Обозначение	Значение			Режим измерения
		мин.	тип.	макс.	
Импульсный (PULSE) режим набора					
Импульсный коэффициент	M/S		2 1,5		M/S = "0" M/S = "1"
Длительность замыкающих импульсов набора, мс	T_M		33,3 40		M/S = "0" M/S = "1"
Длительность размыкающих импульсов набора, мс	T_B		66,6 60		M/S = "0" M/S = "1"
Межсерийная пауза, мс	T_{IDP}		783 790		M/S = "1" M/S = "0"
Предсерийная пауза, мс	T_{PDP}		15 15		M/S = "1" M/S = "0"
Тональный (DTMF) режим набора					
Длительность тональной посылки, мс	T_{MFD}	70			
Межцифровая пауза между тональными посылками, мс	T_{TIOP}	70			
Предцифровая пауза, мс	T_{TPDP}		0		
Время запуска генератора, мс	T_{START}		5		

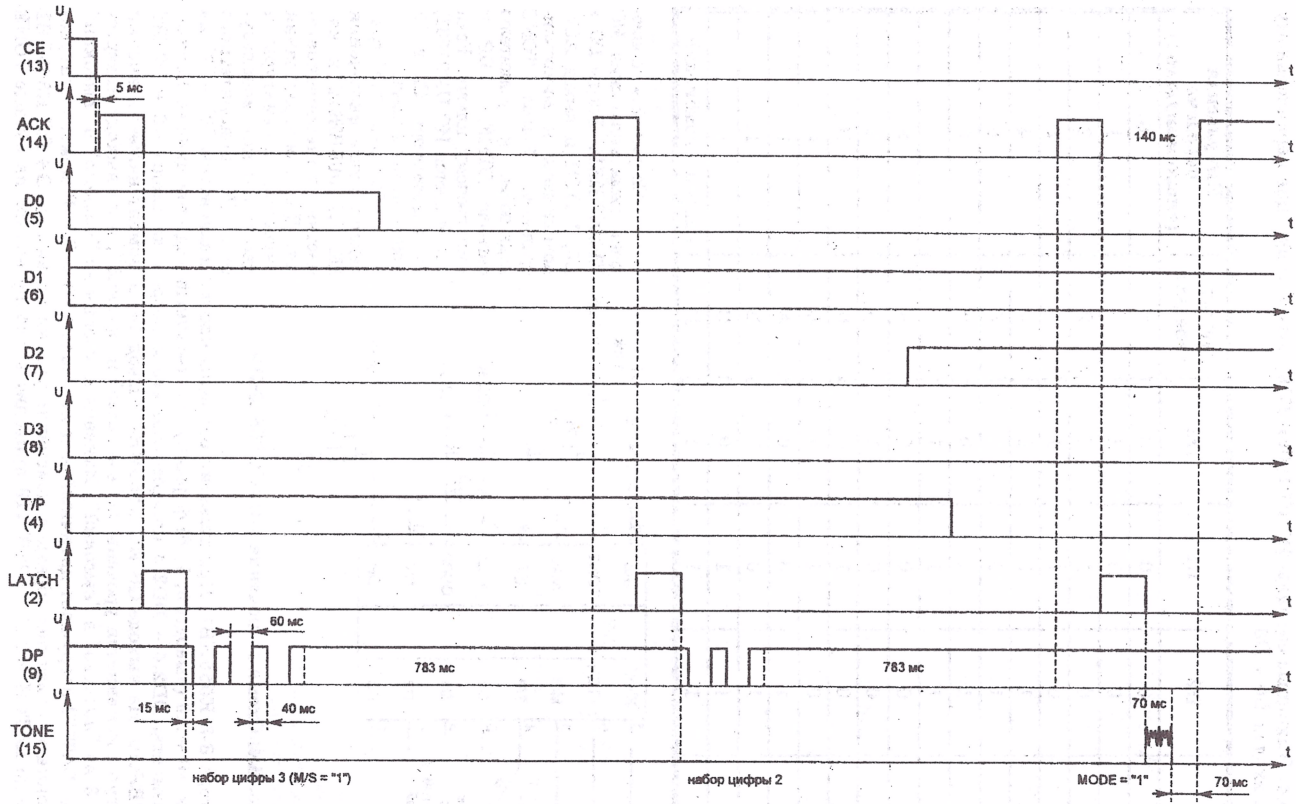

Рис. 8.3. Временные диаграммы входов и выходов микросхемы КР1008ВЖ19.

Табл. 8.4. Выходные сигналы ИС КР1008ВЖ19, соответствующие параллельному коду на входах D0 ÷ D3.

D3	D2	D1	D0	DTMF передача	Импульсная передача (число импульсов)
0	0	0	0	*	10
0	0	0	1	1	1
0	0	1	0	2	2
0	0	1	1	3	3
0	1	0	0	4	4
0	1	0	1	5	5
0	1	1	0	6	6
0	1	1	1	7	7
1	0	0	0	8	8
1	0	0	1	9	9
1	0	1	0	0	10
1	0	1	1	#	11
1	1	0	0	A	12
1	1	0	1	B	13
1	1	1	0	C	14
1	1	1	1	D	Запрещ. комбинация

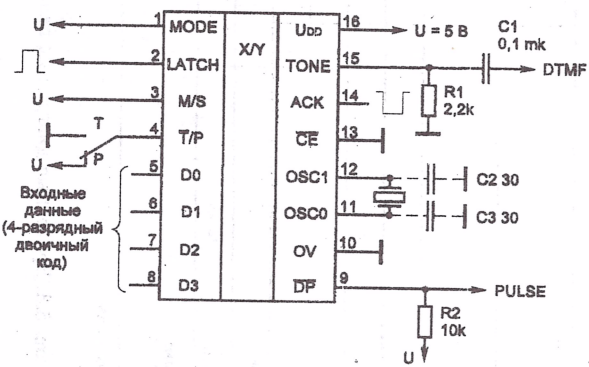

Рис. 8.4. Схема включения ИС КР1008ВЖ19.

На рис. 8.4. приведена схема включения ИС КР1008ВЖ19. Входы D0 ÷ D3, LATCH и выход ACK подключены к микроконтроллеру. Выход TONE подключен к усилителю сигнала DTMF, а DP к импульсному ключу. Если используется ИС UM91531, то конденсаторы C2 и C3 можно не применять.

На рис. 8.5 приведена схема включения ИС КР1008ВЖ19 в качестве номеронабирателя. Для преобразования сигналов клавиатуры в двоичный код используется ИС приоритетного шифратора 8-3 К555ИВ1. При нажатии одной из кнопок клавиатуры "0" ÷ "7" на выходах A0 ÷ A3 (выводы 9, 7, 6) формируется двоичный код этой цифры. Логические элементы DD2.4 ÷ DD2.6 инвертируют его и подают на входы D0 ÷ D2 ИС КР1008ВЖ19. На выходе GS ИС К555ИВ1 (вывод 14) в момент нажатия кнопки клавиатуры изменяется уровень из "*высокого*" в "*низкий*", а на выходе инвертора DD2.3 из "*низкого*" в "*высокий*". Изменение уровня из "*низкого*" в "*высокий*" на входе LATCH загружает двоичный код на входах D0 ÷ D3. В момент отпускания кнопки клавиатуры обратное изменение уровня на выходе GS ИС К555ИВ1 и на входе LATCH ИС КР1008ВЖ19 приводит к набору номера на выходе TONE

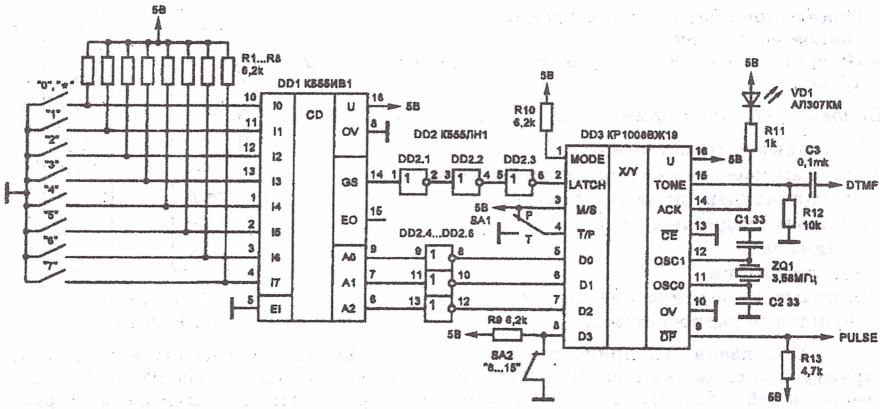

Рис. 8.5 Схема включения ИС КР1008ВЖ19 в качестве номеронабирателя.

или DP (в зависимости от положения переключателя SA1). С момента загрузки двоичного кода и до окончания набора цифры горит светодиод VD1. Во время свечения светодиода VD1 набор следующей цифры невозможен. Если перевести переключатель SA2 в разомкнутое состояние, то это позволит производить набор цифр больше 7.

В тестовом режиме ИС КР1008ВЖ19 позволяет осуществлять тональный и импульсный набор номера с гораздо более высокой скоростью. Если изменить состояние входа M/S, когда вход выборки кристалла CE (вывод 13) находится в активном (*"низкий"* уровень) состоянии, включается тестовый режим. ИС остаётся в тестовом режиме до тех пор, пока не будет отключена. Импульсный набор номера в тестовом режиме осуществляется в 48 раз быстрее (с частотой 480 Гц). Тональный набор номера осуществляется в 8 раз быстрее (длительность тональной посылки и паузы между тональными посылками составляет 8,75 мс). При этом нижняя и верхняя группа частот разделяются по выходам TONE и DP. Для цифр 0, 1, 6, 8 на выходе TONE будет присутствовать сигнал с частотой нижней группы двухчастотной посылки, а на выходе DP - верхней. Для цифр 2, 3, 4, 5, 8, 9, *, #, A, B, C, D на выходе TONE будет присутствовать сигнал с частотой верхней группы, а на выходе DP - нижней. На выход TONE подаётся синусоидальный сигнал, а на выход DP - прямоугольные импульсы соответствующей частоты.

Микросхема **КР1008ВЖ18** представляет собой приёмник - декодер двухтонального (DTMF) сигнала (код 2 из 8). ИС изготавливается в пластмассовом корпусе типа 2104.18-А (DIP-18) по КМОП технологии и содержит полосовые фильтры на переключаемых конденсаторах. Микросхема контролирует длительности поступающих двухтональных посылок и пауз между ними. Выходная информация выводится в виде 4-разрядного двоичного кода. Тактирование микросхемы осуществляется кварцевым генератором.

Основные характеристики ИС КР1008ВЖ18

- Детектирование всех 16 стандартных DTMF сигналов.
- Низкая потребляемая мощность: 15 мВт.
- Один источник питания: 5 В±5%.
- Используется стандартный телевизионный кварцевый резонатор с частотой 3,579545 МГц.
- Выходы с тремя состояниями.

- Режим понижения потребляемой мощности в неактивном состоянии.
- Низкая вероятность ошибки декодирования: 1/10000.

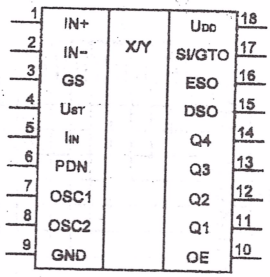

Рис. 8.6. ИС КР1008ВЖ18.

Основные области применения ИС КР1008ВЖ18

- Приёмные устройства АТС.
- Системы передачи сигнала поискового вызова.
- Дистанционные системы управления.
- Системы кредитных карт.
- Пейджеры.
- Автоответчики.
- Бытовые автоматические системы.
- Мобильные радиосистемы.

Цоколёвка ИС приведена на рис. 8.6, назначение выводов в табл. 8.5, структурная схема на рис. 8.7. Электрические и временные характеристики приведёны в табл. 8.6. Временные диаграммы входов и выходов приведёны на рис. 8.8, параллельный код на выходах Q1 ÷ Q4, соответствующий входному двухтональному (DTMF) сигналу, - в табл. 8.7.

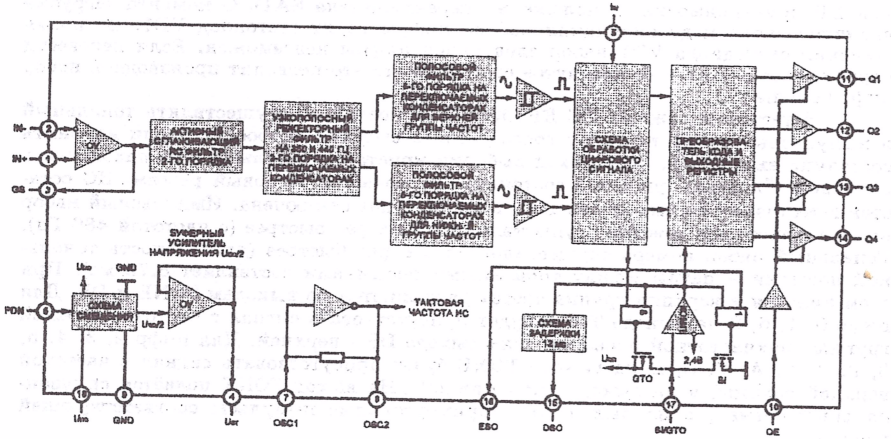

Рис. 8.7. Структурная схема ИС КР1008ВЖ18.

Табл. 8.5. Назначение выводов ИС КР1008ВЖ18.

Вывод	Обозначение	Назначение
1	IN+	**Неинвертирующий вход операционного усилителя.**
2	IN–	**Инвертирующий вход операционного усилителя.**
3	GS	**Выход операционного усилителя.** Используется для подключения резистора, который задаёт коэффициент усиления операционного усилителя.
4	U_{ST}	**Выход опорного напряжения (U/2).** Может использоваться для смещения входов операционного усилителя.

Вывод	Обозначение	Назначение
5	I_{IN}	**Вход запрещения.** "*Высокий*" уровень на этом входе запрещает декодирование DTMF сигнала.
6	PDN	**Вход установки режима понижения потребляемой мощности.** Понижение потребляемой мощности происходит при "*высоком*" уровне на этом входе.
7	OSC1	**Тактовый вход.** Недорогой кварцевый резонатор на частоту 3,579545, подсоединённый к выводам OSC1 и OSC2 обеспечивает работу внутреннего генератора. *(В некоторых случаях для ИС КР1008ВЖ18 необходимо установить конденсаторы ёмкостью 30 пкФ между тактовыми выводами генератора и общим проводом).* Можно также подать внешнюю тактовую частоту непосредственно на тактовый вход.
8	OSC2	**Тактовый выход.**
9	GND	**Общий вывод.**
10	OE	**Вход разрешения выхода данных.** Выходы Q1 ÷ Q4 представляют собой КМОП ключи, которые открыты, если на входе OE "*высокий*" уровень, и закрыты (в высокоимпедансном состоянии) при "*низком*" логическом уровне на входе OE.
11 12 13 14	Q1 Q2 Q3 Q4	**Выходы данных с тремя состояниями.** Когда выходы открыты (OE = "1"), на них представлен двоичный код, соответствующий последнему поступившему тональному сигналу (табл. 8.7).
15	DSO	**Выход задержанного управления.** Продолжительность выходного сигнала ("*высокий*" уровень) на этом выходе соответствует продолжительности тонального сигнала, поступившего на вход ИС. "*Высокий*" уровень присутствует с момента опознавания сигнала DTMF (длительностью не менее 40 мс) и поступления декодированного двоичного кода на выходы данных Q1 ÷ Q4. Выход DSO возвращается в состояние "*низкого*" уровня, когда напряжение на выводе 17 (SI/GTO) становится ниже порогового уровня входа управления SI (U_{TS} = 2,4 В при U_{DD} = 5 В (см. рис. 8.8).
16	ESO	**Выход раннего управления.** На этом выходе немедленно появляется "*высокий*" уровень, когда сигнал DTMF опознаётся схемой обработки цифрового сигнала (рис. 8.7). Любые мгновенные потери сигнала DTMF вызывают возвращение состояния выхода ESO в "*низкий*" уровень.
17	SI/GTO	**Двунаправленный: Вход управления/Выход установки заданного времени.** При напряжении на этом входе выше уровня U_{TS} (2,4 В при U_{DD} = 5 В) DTMF сигнал обрабатывается по цифровому алгоритму ИС, и обновляется состояние выходов 4-разрядного кода данных (Q1 ÷ Q4). При напряжении ниже U_{TN} регистры ИС освобождаются для принятия нового сигнала, а состояние выходов Q1 ÷ Q4 не изменяется. При помощи внешних элементов на выходе GTO можно установить временные параметры обработки сигнала DTMF, а его состояние определяется функционированием выхода ESO и напряжением на входе SI (см. рис. 8.8).
18	U_{DD}	**Плюс питания (+5 В).**

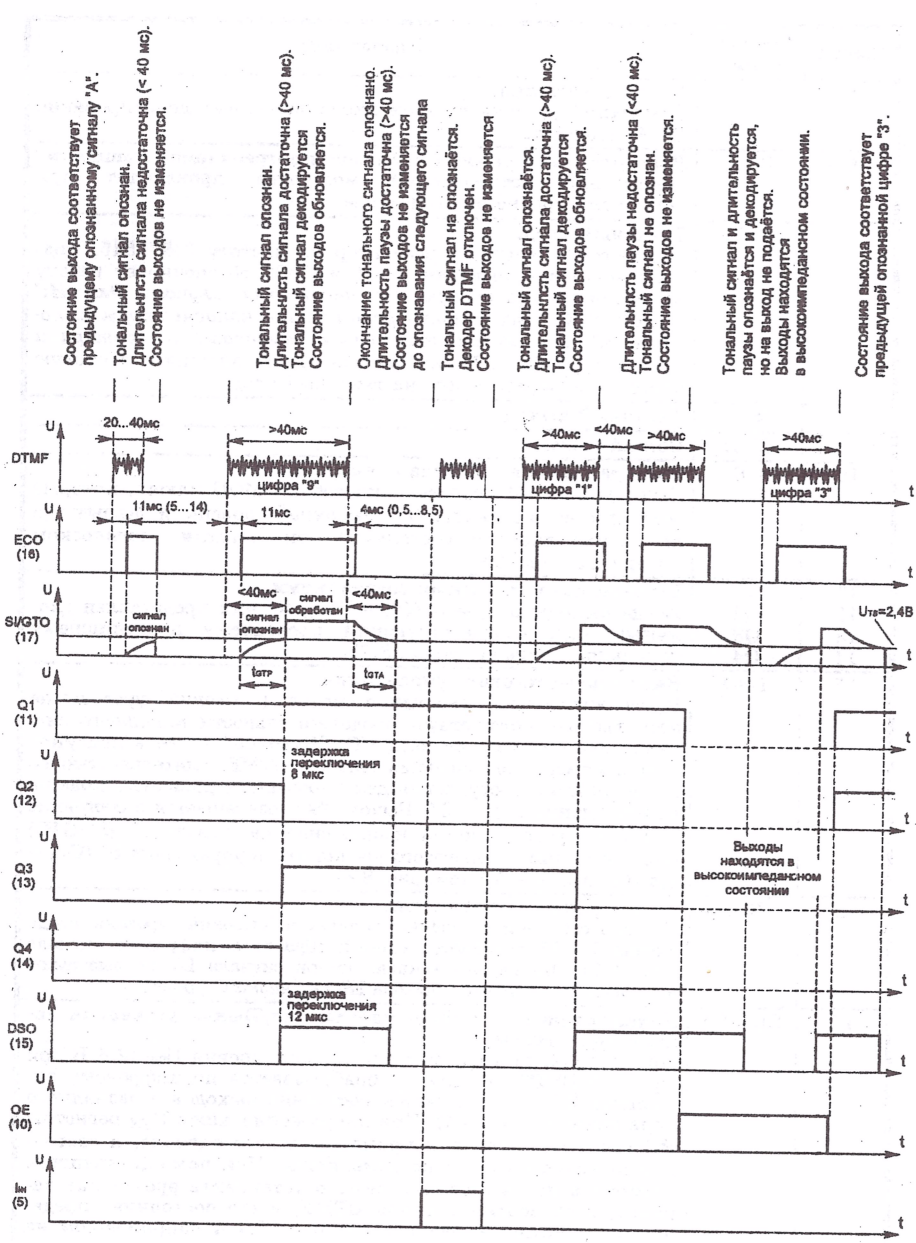

Рис. 8.8. Временные диаграммы входов и выходов микросхемы КР1008ВЖ18.

Предельно допустимые характеристики ИС КР1008ВЖ18:

- Максимальное напряжение питания (U_{DD}) ..... 6 В.
- Входное напряжение аналогового сигнала (U_{INA}) ..... от -0,3 В до (U_{DD} + 0,3) В.
- Входное напряжение цифрового сигнала (U_{IND}) ..... от -0,3 В до (U_{DD} + 0,3) В.
- Максимальный постоянный входной ток для любого вывода (I_{IN}) ..... 10 мА.
- Рабочая температура (T_{OPR}) ..... от -40° С до +85° С.
- Температура хранения (T_{STG}) ..... от -60° С до +150° С.

Табл. 8.6. Электрические и временные характеристики ИС КР1008ВЖ18.

Параметры	Обозначение	Значение			Режим измерения
		мин.	тип.	макс.	
Напряжение питания, В	U_{DD}	4,75	5,0	5,25	
Ток потребления, мА	I_{DD}		3,0	9,0	PDN = "0"
Ток хранения, мкА	I_{DDQ}		10	25	PDN = "1"
Потребляемая мощность, мВт	P_D		15	45	PDN = "0"
Входное напряжение "*высокого*" уровня, В	U_{IH}	3,5			U_{DD} = 5В
Входное напряжение "*низкого*" уровня, В	U_{IL}			1,5	U_{DD} = 5В
Входной ток утечки, мкА	I_{IH}/ I_{IL}		0,1		U_{IN} = 0В или U_{DD}
Входной ток вывода OE, мкА	I_{OEI}		7,5	20	OE = 0В, U_{DD} = 5В
Входное сопротивление аналогового входа, МОм	R_I		10		f_{IN} = 1 кГц
Пороговое напряжение входа управления SI, В	U_{TS}	2,2	2,4	2,5	U_{DD} = 5В
Выходное напряжение "*низкого*" уровня, В	U_{OL}			0,03	
Выходное напряжение "*высокого*" уровня, В	U_{OH}	U_{DD}-0,03			
Выходной ток "*низкого*" уровня, мА	I_{OL}	1,0	2,5		U_{OL} = 0,4В
Выходной ток "*высокого*" уровня, В	I_{OH}	0,4	0,8		U_{OH} = 4,6В
Выходное опорное напряжение на выходе U_{ST}, В	U_{ST}	2,3	2,5	2,7	U_{DD} = 5В
Выходное сопротивление выхода U_{ST}, Ом	R_{OR}		1		
Уровень входного сигнала (каждого тона двухтональной посылки), дБ	U_I	-29		+1	
Уровень входного сигнала (каждого тона двухтональной посылки), мВ	U_I	27,5		869	
Девиация тонального сигнала	Δf			±1,5% ±2Гц	
Длительность обработки тонального сигнала, мс	t_{REC}	20		40	Устанавливается внешними элементами
Длительность обработки межцифровой паузы, мс	t_{ID}	20		40	Устанавливается внешними элементами
Время опознавания тонального сигнала, мс	t_{DP}	5	11	14	
Время опознавания межцифровой паузы, мс	t_{DA}	0,5	4	8,5	

Табл. 8.7. Параллельный код на выходах Q1 - Q4 ИС КР1008ВЖ18, соответствующий входному двухтональному (DTMF) сигналу.

DTMF передача	Частота нижней группы, Гц	Частота верхней группы, Гц	Формируемый код				Символ на выходе КР514ИД1	Символ на индикаторе К490ИП2
			Q4	Q3	Q2	Q1		
1	697	1209	0	0	0	1	1	1
2	697	1336	0	0	1	0	2	2
3	697	1447	0	0	1	1	3	3
4	770	1209	0	1	0	0	4	4
5	770	1336	0	1	0	1	5	5
6	770	1447	0	1	1	0	6	6
7	852	1209	0	1	1	1	7	7
8	852	1336	1	0	0	0	8	8
9	852	1447	1	0	0	1	9	9
*	941	1209	1	0	1	0	A	A
0	941	1336	1	0	1	1	B	0
#	941	1447	1	1	0	0	C	C
A	697	1633	1	1	0	1	D	D
B	770	1633	1	1	1	0	E	E
C	852	1633	1	1	1	1	F	F
D	941	1633	0	0	0	0	0	0

На рис. 8.9 приведена схема включения ИС КР1008ВЖ18. Входной сигнал DTMF через разделительный конденсатор C1 и резистор R1 поступает на инвертирующий вход IN- операционного усилителя. Коэффициент усиления ОУ $K_У$ = R2/R1 (для данной схемы $K_У$ = 1). Для смещения входа ОУ подаётся напряжение 2,5 В с выхода U_{ST} на неинвертирующий вход IN+. Входной импеданс схемы приблизительно равен сопротивлению R1. Если кварцевый резонатор ZQ1 установлен непосредственно у выводов OSC1 и OSC2, и генератор работает устойчиво, то конденсаторы C2 и C3 можно не применять.

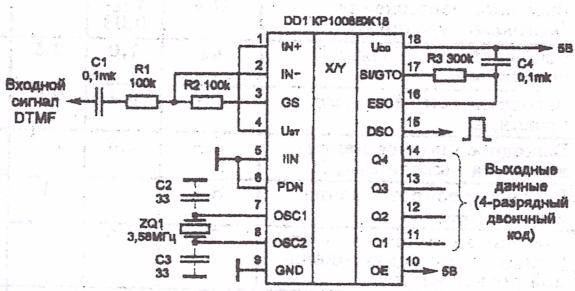

Рис. 8.9. Схема включения ИС КР1008ВЖ18.

Продолжительность выходного сигнала ("*высокий*" уровень) на выходе DSO (вывод 15) соответствует продолжительности тонального сигнала, поступившего на вход ИС. На этом выходе "*высокий*" уровень присутствует с момента опознавания сигнала DTMF и поступления декодированного двоичного кода на выходы данных Q1 ÷ Q4. Выход DSO возвращается в состояние "*низкого*" уровня после опознавания и обработки межцифровой паузы (см. рис. 8.8).

Резистор R3 и конденсатор C4, подключенные к выводам ESO и SI/GTO, задают минимальную длительность обработки тонального сигнала или паузы после того, как сигнал или межцифровая пауза были опознаны:

- длительность обработки тонального сигнала $t_{GTP} = 0{,}875 \times R_3 \times C_4$ (26 мс);
- длительность обработки межцифровой паузы $t_{GTA} = 0{,}956 \times R_3 \times C_4$ (29 мс).

Длительность обработки тонального сигнала и межцифровой паузы для схемы рис. 8.9 приблизительно равны. Если длительность тонального сигнала больше межцифровой паузы, то можно подключить внешние элементы, как показано на рис. 8.10*а*. Если же длительность тонального сигнала меньше межцифровой паузы, то рекомендуется внешние элементы подключить по рис. 8.10*б*.

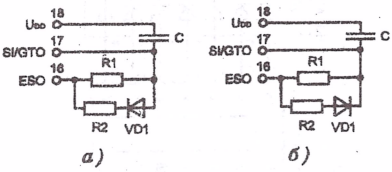

Рис. 8.10. Подключение внешних элементов для установки минимальной длительности обработки тонального сигнала и паузы.

Для схемы рис. 8.10*а*:

$t_{GTP} = 0{,}875 \times R_1 \times C$;

$t_{GTA} = 0{,}956 \times [R_1 \times R2/(R_1+R_2)]C$.

Для схемы рис. 8.10*б*:

$t_{GTP} = 0{,}875 \times [R_1 \times R2/(R_1+R_2)] \times C$;

$t_{GTA} = 0{,}956 \times R_1 \times C$.

На рис. 8.13 приведена схема проверки ИС КР1008ВЖ18. В качестве номеронабирателя тонального сигнала используется ИС КР1008ВЖ16. При нажатии на любую кнопку номеронабирателя с выхода TONE (вывод 12) через разделительный конденсатор С3 DTMF сигнал подаётся на вход ОУ ИС КР1008ВЖ18. Тональный сигнал декодируется и 4-разрядный двоичный код (табл. 8.7), соответствующий входному DTMF сигналу, подаётся на входы 1, 2, 4, 8 дешифратора КР514ИД1. С момента опознавания и до окончания тональной посылки горит светодиод VD1. Выходы *a* ÷ *g* дешифратора подключены к семисегментному светодиодному индикатору.

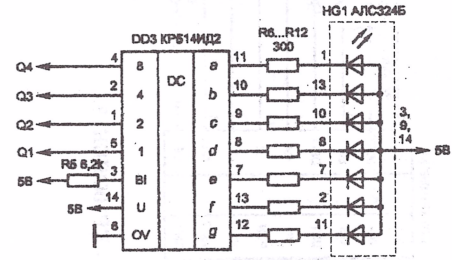

Рис. 8.11. Схема включения ИС КР514ИД2 с семисегментным индикатором с общим катодом.

Символ на индикаторе соответствует предпоследней колонке табл. 8.7. Дешифратор КР514ИД1 содержит внутренние токоограничивающие резисторы (Iвых. = 5 мА), что позволяет подключать индикаторы с общим катодом АЛ304А (Б, В), АЛС314А непосредственно к выходам дешифратора. Для использования индикаторов с общим анодом (АЛС324Б, АЛС333Б,Г и т. п.) следует применить дешифратор КР514ИД2 (рис. 8.11) или К555ИД18. Поскольку выходы ИС КР514ИД2 выполнены на транзисторах с открытым коллектором, то необходимо установить ограничительные резисторы сопротивлением 300 Ом. Схему можно упростить, применив ИС управляемого индикатора со схемой дешифрации К490ИП2 (рис 8.12).

На рис. 8.14 приведена схема совместной проверки ИС КР1008ВЖ19 и КР1008ВЖ18. В исходном состоянии на выходе логических элементов DD1.2, DD1.3 и на выходах Q0 ÷ Q3 десятичного счётчика DD2 К555ИЕ5 - "*низкий*" уровень, а на выходе АСК ИС КР1008ВЖ19 - "*высокий*" уровень. Цепь C1, R3 при включении схемы устанавливает выходы ИС DD2 в состояние логического "0". При нажатии на кнопку SB1 выходы DD1.2 и DD1.3 переходят из "*низкого*" в "*высокий*" и ИС КР1008ВЖ19 загружает двоичный код по входам D0 ÷ D3. В момент отпускания кнопки RS-триггер на логических элементах DD1.1 и DD1.2 перебрасывается обратно, что приводит к набору загруженной цифры и переводит счётчик DD2 на один такт вперёд. Тональный сигнал "*" с выхода TONE ИС КР1008ВЖ19 поступает на вход ИС КР1008ВЖ18 и на индикаторе HG1 отображается символ декодированного сигнала (табл. 8.7). С момента загрузки двоичного кода и до окончания набора номера горит светодиод VD2. При следующем нажатии кнопки SB1, происходит набор очередной цифры "1" и т. д. Если переключатель SA1 находится в положении "Р", то при наборе очередной цифры мигает светодиод VD1 с частотой импульсного набора 10 Гц. Количество импульсов соответствует набранной цифре.

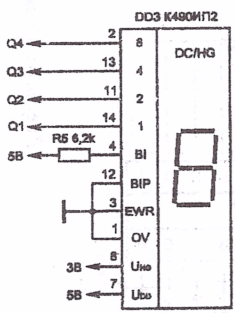

Рис. 8.12. Схема подключения индикатора со схемой дешифрации К490ИП2.

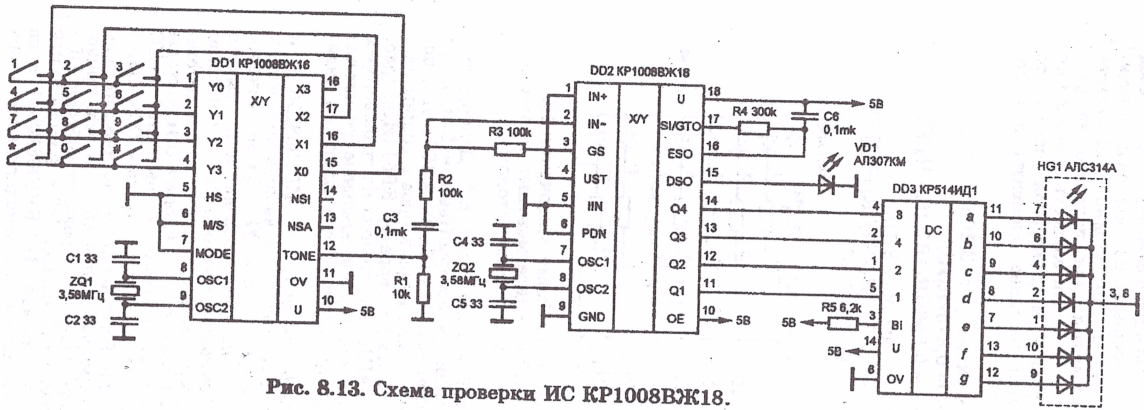

Рис. 8.13. Схема проверки ИС КР1008ВЖ18.

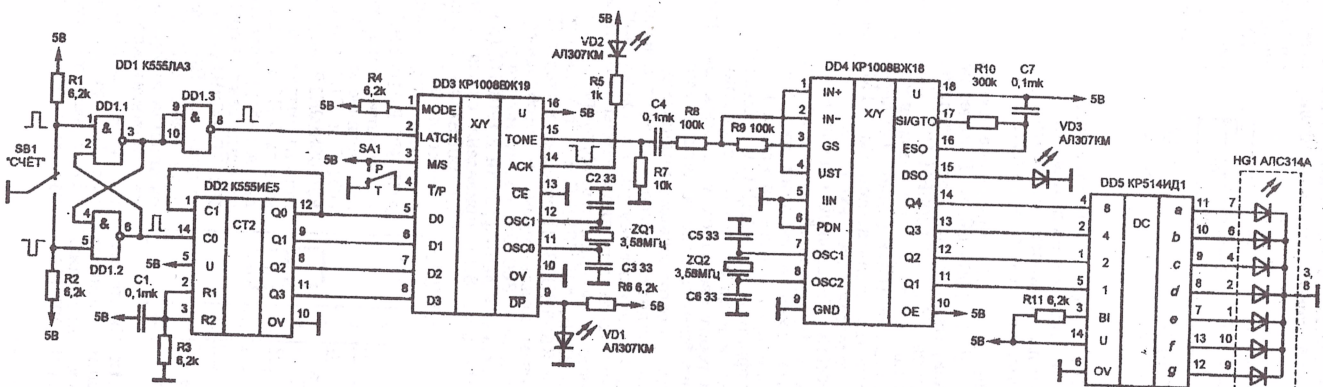

Рис. 8.14. Схема совместной проверки ИС КР1008ВЖ18 и КР1008ВЖ19.

9. СПРАВОЧНЫЙ МАТЕРИАЛ

9.1. КОДОВАЯ И ЦВЕТОВАЯ МАРКИРОВКА РЕЗИСТОРОВ

Кодированное обозначение номинальных сопротивлений резисторов состоит из трёх или четырёх знаков, включающих две цифры и букву или три цифры и букву. Буква кода является множителем, обозначающим сопротивление в омах, и определяет положение запятой десятичного знака. Кодированное обозначение допускаемого отклонения состоит из буквы латинского алфавита (табл. 9.1).

Табл. 9.1. Кодированное обозначение номинального сопротивления, допуска и примеры обозначения.

Сопротивление		Допуск		Примеры обозначения	
Множитель	Код	Допуск, %	Код	Полное обозначение	Код
1	R (Е)	±0,1	B (Ж)	3,9 Ом ±5 %	3R9J
		±0,25	C (У)	215 Ом ±2 %	215RG
10^3	K (К)	±0,5	D (Д)	1 кОм ±5 %	1K0J
		±1	F (Р)	12,4 кОм ±1 %	12K4F
10^6	M (М)	±2	G (Л)	10 кОм ±5 %	10KJ
		±5	J (И)	100кОм ±5 %	M10J
10^9	G (Г)	±10	K (С)	2,2 МОм ±10 %	2M2K
		±20	M (В)	6,8 ГОм ±20 %	6G8M
10^{12}	T (Т)	±30	N (Ф)	1 ТОм ±20 %	1T0M

Примечание. В скобках указано старое обозначение.

Цветовая маркировка наносится в виде четырёх или пяти цветных колец. Каждому цвету соответствует определённое цифровое значение (табл. 9.2). У резисторов с четырмя цветными кольцами первое и второе кольца обозначают величину сопротивления в омах, третье кольцо - множитель, на который необходимо умножить номинальную величину сопротивления, а четвертое кольцо определяет величину допуска в процентах (рис. 9.1,*а*).

Табл. 9.2. Цветовая маркировка номинального сопротивления и допуска.

Цвет знака	Номинальное сопротивление, Ом				Допуск %
	Первая цифра	Вторая цифра	Третья цифра	Множитель	
Серебристый	–	–	–	10^{-2}	±10
Золотистый	–	–	–	10^{-1}	±5
Чёрный	–	0	–	1	–
Коричневый	1	1	1	10	±1
Красный	2	2	2	10^2	±2
Оранжевый	3	3	3	10^3	–
Жёлтый	4	4	4	10^4	–
Зелёный	5	5	5	10^5	±0,5
Голубой	6	6	6	10^6	±0,25
Фиолетовый	7	7	7	10^7	±0,1
Серый	8	8	8	10^8	±0,05
Белый	9	9	9	10^9	–

Резисторы с малой величиной допуска (0,1% + 2%) маркируются пятью цветовыми кольцами (рис. 9.1,*б*). Первые три - численная величина сопротивления, четвертое - множитель, пятое - допуск.

Маркировочные знаки на резисторах сдвинуты к одному из выводов и располагаются слева направо. Если размеры резистора не позволяют разместить маркировку ближе к одному из выводов, ширина полосы первого знака делается примерно в два раза больше других.

Номинальные сопротивления резисторов выбираются из шести стандартных рядов (Е3, Е6, Е12, Е24, Е48, Е96 и Е192) в соответствии с ГОСТ 2825-67.

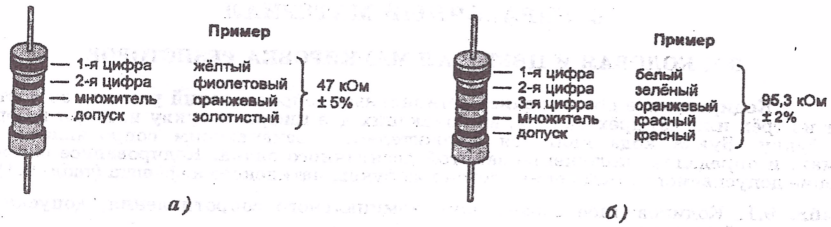

Рис. 9.1. Цветовая маркировка резисторов.

Стандартный ряд E24 соответствует резисторам с допуском ±5%:
1,0; 1,1; 1,2; 1,3; 1,5; 1,8; 2,0; 2,2; 2,4; 2,7; 3,0; 3,3; 3,6; 3,9; 4,3; 4,7; 5,1; 5,6; 6,2; 6,8; 7,5; 8,2; 9,1.

Стандартный ряд E48 соответствует резисторам с допуском ±2%:
100; 105; 110; 115; 121; 127; 133; 140; 147; 154; 162; 169; 178; 187; 196; 205; 215; 226; 237; 249; 261; 274; 287; 301; 316; 332; 348; 365; 383; 402; 422; 442; 464; 487; 511; 536; 562; 590; 619; 649; 681; 715; 750; 787; 825; 866; 909; 953.

Сопротивление резистора получают умножением числа из стандартного ряда на 10^n, где n - целое положительное или отрицательное число.

9.2. КОДОВАЯ И ЦВЕТОВАЯ МАРКИРОВКА КОНДЕНСАТОРОВ

Конденсаторы характеризуются следующими основными параметрами:

- *номинальная ёмкость* - ёмкость, которую должен иметь конденсатор в соответствии с нормативной документацией;
- *допуск* - допускаемое отклонение ёмкости от номинальной;
- *номинальное напряжение* - значение напряжения, при котором конденсатор может работать в течение срока службы с сохранением заданных параметров;
- *температурный коэффициент ёмкости* (ТКЕ) - определяет относительное изменение ёмкости конденсатора при изменении температуры на 1 °С (табл. 9.4).

Маркировка конденсаторов может быть либо буквенно - цифровая, содержащая сокращённое обозначение вышеперечисленных параметров, либо цветовая.

Кодированное обозначение номинальных ёмкостей состоит из двух или трёх цифр и буквы. Буква кода является множителем, составляющим значение ёмкости (табл. 9.3), и определяет положение десятичной дроби.

Допускаемое отклонение величины ёмкости в процентах от номинального значения указывают теми же буквами, что и допуски на сопротивление резисторов, однако, с некоторыми дополнениями. Кодированные значения допустимых отклонений от номинальной ёмкости приведены в табл. 9.3. Для конденсаторов ёмкостью менее 10 пФ допускаемое отклонение устанавливается в пикофарадах:

Допуск, пФ	±0,1	±0,25	±0,5	±1
Код	B	C	D	F

Табл. 9.3. Кодированное обозначение номинальной ёмкости и допуска.

Ёмкость			Допуск			
Множитель	Код	Значение	Допуск, %	Код	Допуск, %	Код
10^{-12}	p	пикофарады	±0,1	B (Ж)	±20	M (В)
10^{-9}	n	нанофарады	±0,25	C (У)	±30	N (Ф)
10^{-6}	μ	микрофарады	±0,5	D (Д)	–10...+30	Q (–)
10^{-3}	m	миллифарады	±1	F (Р)	–10...+50	T (Э)
1	F	фарады	±2	G (Л)	–10...+100	Y (Ю)
			±5	J (И)	–20...+50	S (Б)
			±10	K (С)	–30...+80	Z (А)

Примечание. В скобках указано старое обозначение допуска.

Табл. 9.4. Цветовая и кодовая маркировка температурного коэффициента ёмкости (ТКЕ) керамических и стеклянных конденсаторов.

Группа ТКЕ	Номинальное значение ТКЕ ($\times 10^{-6}$/°C)	Буквенный код	Цветовой код		
			Новое обозначение	Старое обозначение	
				Цвет покрытия конденсатора	Маркировочная точка
П100	+100	A	Красный + фиолетовый	Синий	–
П60	+60	G	–	Синий	Чёрная
П33	+33	N	Серый	Серый	–
МПО	0	C	Чёрный	Голубой	Чёрная
М33	–33	H	Коричневый	Голубой	Коричневая
М47	–47	M	Голубой + красный	Голубой	–
М75	–75	L	Красный	Голубой	Красная
М150	–150	P	Оранжевый	Красный	Оранжевая
М220	–220	R	Жёлтый	Красный	Жёлтая
М330	–330	S	Зелёный	Красный	Зелёная
М470	–470	T	Голубой	Красный	Синяя
М750	–750	U	Фиолетовый	Красный	–
М1500	–1500	V	Оранжевый + оранжевый	Зелёный	–
М2200	–2200	K	Жёлтый + оранжевый	Зелёный	–
М3300	–3300	Y	–	–	–

Для конденсаторов с нелинейной зависимостью ёмкости от температуры, температурную стабильность ёмкости конденсатора характеризуют относительным изменением ёмкости при переходе от нормальной температуры (20 ± 5 °C) к предельным значениям рабочей температуры (табл. 9.5).

Табл. 9.5. Цветовая и кодовая маркировка допуска керамических конденсаторов с ненормируемым ТКЕ.

Группа ТКЕ	Допускаемое изменение ёмкости, %, в интервале t° –60...+80 °C	Буквенный код	Цветовой код		
			Новое обозначение	Старое обозначение	
				Цвет покрытия конденсатора	Маркировочная точка
Н10	±10	B	Оранжевый + чёрный	Оранжевый	Чёрная
Н20	±20	Z	Оранжевый + красный	Оранжевый	Красная
Н30	±30	D	Оранжевый + зелёный	Оранжевый	Зелёная
Н50	±50	X	Оранжевый + голубой	Оранжевый	Синяя
Н70	±70	E	Оранжевый + фиолетовый	Оранжевый	–
Н90	±90	F	Оранжевый + белый	Оранжевый	Белая

Табл. 9.6. Кодированное обозначение номинальных напряжений конденсаторов.

Номинальное напряжение, В	Код	Номинальное напряжение, В	Код	Номинальное напряжение, В	Код
1,0	I	25	G	200	Z
1,6	P	32	H	250	W
2,5	M	40	S	315	X
3,2	A	50	J	350	T
4,0	C	63	K	400	Y
6,3	B	80	L	450	U
10	D	100	N	500	V
16	E	125	P		
20	F	160	Q		

Конденсаторы маркируются кодом в следующем порядке:
- номинальная ёмкость;
- допускаемое отклонение ёмкости;
- ТКЕ и (или) номинальное напряжение.

Приведём примеры кодированной маркировки конденсаторов.

Сокращённая буквенно - цифровая маркировка на конденсаторе 33pKL обозначает номинальную ёмкость 33 пФ с допускаемым отклонением ±10 % и температурной нестабильностью группы М75 (75×10^{-6} °C^{-1}). Надпись m10SF обозначает 100 мкФ с допуском –20...+50 % и номинальным напряжением 20 В.

Номинальная ёмкость 150 пФ может обозначаться 150p или n15; 4700 пФ – 4n7; 0,15 мкФ – μ15; 2,2 мкФ – 2μ2.

Номинальная ёмкость зарубежных конденсаторов часто кодируется тремя или четырьмя цифрами, последняя из которых обозначает число нулей в значении ёмкости в пикофарадах. Например, код 391 обозначает 390 пФ; 132 – 1300 пФ (1,3 нФ); 223 – 22000 пФ (22 нФ); 1623 – 162000 пФ (162 нФ); 154 – 150000 пФ (0,15 мкФ); 105 – 1000000 пФ (1 мкФ). Номинальную ёмкость конденсаторов до 99 пФ обозначают двумя подчёркнутыми цифрами. Ёмкость конденсаторов от 0,001 мкФ до 0,9 мкФ иногда обозначают десятичной дробью без первого нуля. Например, код .001 обозначает 0,001 мкФ; .02 – 0,02 мкФ. За рубежом в качестве разделителя десятичной дроби применяется не запятая, а точка.

Цветовая кодировка применяется для маркировки номинальной ёмкости, допускаемого отклонения ёмкости, номинального напряжения до 63 В (табл. 9.7) и группы ТКЕ (табл. 9.4). Маркировку наносят в виде цветных точек или полосок.

Табл. 9.7. Цветовые коды для маркировки конденсаторов.

Цветовой код	Номинальная ёмкость, пФ		Допускаемое отклонение ёмкости, %	Номинальное напряжение, В
	Первая и вторая цифры	Множитель		
Серый	–	–	–	3,2
Чёрный	10	1	±20	4,0
Коричневый	12	10	±1	6,3
Красный	15	10^2	±2	10
Оранжевый	18	10^3	±0,25	16
Жёлтый	22	10^4	±0,5	40
Зелёный	27	10^5	±5	25 или 20
Голубой	33	10^6	±1	32 или 30
Фиолетовый	39	10^7	–20...+50	50
Серый	47	10^{-2}	–20...+80	–
Белый	56	10^{-1}	±10	63
Серебристый	68	–	–	2,5
Золотистый	82	–	–	1,5

9.3. ЦВЕТОВАЯ МАРКИРОВКА И ПАРАМЕТРЫ ДИОДОВ И СТАБИЛИТРОНОВ

Табл. 9.8. Цветовая маркировка выпрямительных и импульсных диодов.

Тип диода	Цвет корпуса или метка на корпусе	Метка у выводов		Рисунок
		анода (+)	катода (–)	+ –
Д9Б	–	красное кольцо	–	
Д9В	–	оранжевое или красное + оранжевое кольцо	–	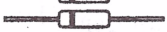
Д9Г	–	жёлтое или красное + жёлтое кольцо	–	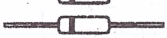
Д9Д	–	белое или красное + белое кольцо	–	
Д9Е	–	голубое или красное + голубое кольцо	–	
Д9Ж	–	зелёное или красное + зелёное кольцо	–	
Д9И	–	два жёлтых кольца	–	
Д9К	–	два белых кольца	–	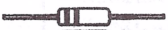
Д9Л	–	два зелёных кольца	–	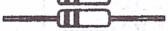
Д9М	–	два голубых кольца	–	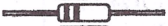
КД102А	–	зелёная точка	–	
КД102Б	–	синяя точка	–	
2Д102А	–	жёлтая точка	–	
2Д102Б	–	оранжевая точка	–	
КД103А	чёрный	синяя точка	–	
КД103Б	зелёный	жёлтая точка	–	
2Д103А	–	белая точка	–	
КД105Б	точка отсутствует	белая или жёлтая полоса	–	
КД105В	зелёная точка	белая или жёлтая полоса	–	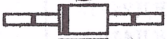
КД105Г	красная точка	белая или жёлтая полоса	–	
КД105Д	белая или желтая точка	белая или жёлтая полоса	–	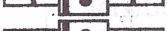
КД208А	жёлтая точка	чёрная, зелёная или жёлтая точка	–	
КД208А	–	зелёная полоса	–	
КД209А	–	чёрная, зелёная или жёлтая точка	–	
КД209Б	белая точка	чёрная, зелёная или жёлтая точка	–	
КД209В	чёрная точка	чёрная, зелёная или жёлтая точка	–	
КД209Г	зелёная точка	чёрная, зелёная или жёлтая точка	–	
КД209А	–	красная полоса на торце корпуса	–	
КД209Б	зелёная точка	красная полоса на торце корпуса	–	
КД209В	красная точка	красная полоса на торце корпуса	–	
КД209Г	белая точка	красная полоса на торце корпуса	–	
КД221А	–	голубая точка	–	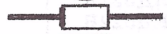
КД221Б	белая точка	голубая точка	–	
КД221В	чёрная точка	голубая точка	–	
КД221Г	зелёная точка	голубая точка	–	
КД221Д	бежевая точка	голубая точка	–	
КД221Е	жёлтая точка	голубая точка	–	
КД226А	–	–	оранжевое кольцо	

Тип диода	Цвет корпуса или метка на корпусе	Метка у выводов		Рисунок
		анода (+)	катода (–)	+ –
КД226Б	–	–	красное кольцо	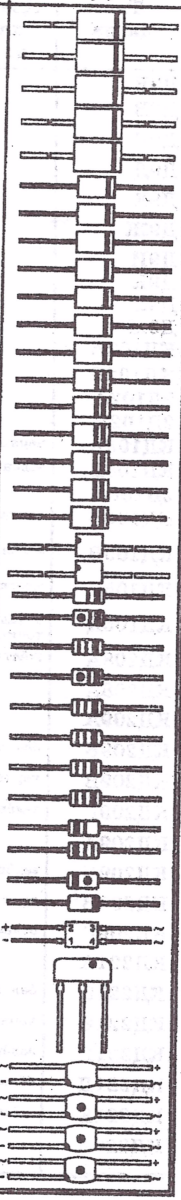
КД226В	–	–	зелёное кольцо	
КД226Г	–	–	жёлтое кольцо	
КД226Д	–	–	белое кольцо	
КД226Е	–	–	голубое кольцо	
КД243А	–	–	фиолетовое кольцо	
КД243Б	–	–	оранжевое кольцо	
КД243В	–	–	красное кольцо	
КД243Г	–	–	зелёное кольцо	
КД243Д	–	–	жёлтое кольцо	
КД243Е	–	–	белое кольцо	
КД243Ж	–	–	голубое кольцо	
КД247А	–	–	два оранжевых кольца	
КД247Б	–	–	два красных кольца	
КД247В	–	–	два зелёных кольца	
КД247Г	–	–	два жёлтых кольца	
КД247Д	–	–	два белых кольца	
КД247Е	–	–	два фиолетовых кольца	
КД410А	–	красная точка	–	
КД410Б	–	синяя точка	–	
КД509А	–	синее узкое кольцо	синее широкое кольцо	
2Д509А	–	синие точка и узкое кольцо	синее широкое кольцо	
КД510А	–	два зелёных узких кольца	зелёное широкое кольцо	
2Д510А	–	зелёные точка и узкое кольцо	зелёное широкое кольцо	
КД521А	–	два синих узких кольца	синее широкое кольцо	
КД521Б	–	два серых узких кольца	серое широкое кольцо	
КД521В	–	два жёлтых узких кольца	жёлтое широкое кольцо	
КД521Г	–	два белых узких кольца	белое широкое кольцо	
КД522А	–	чёрное широкое кольцо	чёрное узкое кольцо	
КД522Б	–	чёрное широкое кольцо	два чёрных узких кольца	
2Д522В	–	чёрное широкое кольцо	чёрная точка	
1N4148	–	–	чёрное кольцо	
КД906	белая полоса у четвёртого вывода	–	–	+ 3 3 ~ - 1 4 ~
КДС111А	красная точка	–	–	
КДС111Б	зелёная точка	–	–	
КДС111В	жёлтая точка	–	–	
КЦ422А	точка отсутствует	–	чёрная точка	~ + - ~
КЦ422Б	белая точка	–	чёрная точка	~ + - ~
КЦ422В	чёрная точка	–	чёрная точка	~ + - ~
КЦ422Г	зелёная точка	–	чёрная точка	~ + - ~

Табл. 9.9. Цветовая маркировка стабилитронов и стабисторов.

Тип диода	Метка у выводов		Рисунок
	катода	анода	К — А
Д814А1	–	чёрное широкое кольцо	
Д814Б1	–	чёрное широкое + чёрное узкое кольца	
Д814В1	–	чёрное узкое кольцо	
Д814Г1	–	два узких чёрных кольца	
Д814Д1	–	три узких чёрных кольца	
Д814А1	–	белое кольцо	
Д814Б1	–	синее кольцо	
Д814В1	–	зелёное кольцо	
Д814Г1	–	жёлтое кольцо	
Д814Д1	–	серое кольцо	
Д818А	чёрная метка на торце корпуса + белое кольцо	–	
Д818Б	чёрная метка на торце корпуса + жёлтое кольцо	–	
Д818В	чёрная метка на торце корпуса + голубое кольцо	–	
Д818Г	чёрная метка на торце корпуса + зелёное кольцо	–	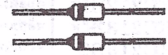
Д818Д	чёрная метка на торце корпуса + серое кольцо	–	
Д818Е	чёрная метка на торце корпуса + оранжевое кольцо	–	
2С107А	серая метка на торце корпуса + красное кольцо	–	
КС115А	оранжевая метка на торце корпуса + голубое кольцо	–	
КС126А	красное широкое + фиолетовое узкое + белое узкое кольца	–	
КС126Б	оранжевое широкое + чёрное узкое + белое узкое кольца	–	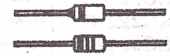
КС126В	оранжевое широкое + оранжевое узкое + белое узкое кольца	–	
КС126Г	оранжевое широкое + белое узкое + белое узкое кольца	–	
КС126Д	жёлтое широкое + фиолетовое узкое + белое узкое кольца	–	
КС126Е	зелёное широкое + голубое узкое + белое узкое кольца	–	
КС126Ж	голубое широкое + красное узкое + белое узкое кольца	–	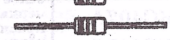
КС126И	голубое широкое + серое узкое + белое узкое кольца	–	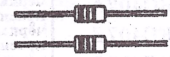
КС126К	фиолетовое широкое + зелёное узкое + белое узкое кольца	–	
КС126Л	серое широкое + красное узкое + белое узкое кольца	–	
КС126М	белое широкое + коричневое узкое + белое узкое кольца	–	
КС207А	коричневое широкое + чёрное узкое + чёрное узкое кольца	–	
КС207Б	коричневое широкое + коричневое узкое + чёрное узкое кольца	–	
КС207В	коричневое широкое + красное узкое + чёрное узкое кольца	–	
КС133А	голубое кольцо	белое кольцо	
2С133А	белое кольцо	черное кольцо	
КС133Г	оранжевая метка на торце корпуса	–	
КС139А	зелёное кольцо	белое кольцо	
2С139А	зелёное кольцо	черное кольцо	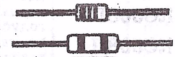
КС139Г	серая метка на торце корпуса	–	
КС147А	серое или синее кольцо	белое кольцо	
2С147А	–	черное кольцо	
КС147Г	зелёная метка на торце корпуса	–	
КС156А	оранжевое кольцо	белое кольцо	
2С156А	оранжевое кольцо	черное кольцо	
КС156Г	красная метка на торце корпуса	–	

Тип диода	Метка у выводов		Рисунок
	катода	анода	К — А
КС162А2	чёрное широкое кольцо	(двуханодный стабилитрон)	
КС168А	красное кольцо	белое кольцо	
2С168А	красное кольцо	чёрное кольцо	
КС168В2	чёрное широкое + чёрное узкое кольцо	(двуханодный стабилитрон)	
КС175Ж*	белое кольцо	–	
КС175А2	два чёрных узких кольца	(двуханодный стабилитрон)	
КС182Ж*	жёлтое кольцо	–	
КС182А2	три чёрных узких кольца	(двуханодный стабилитрон)	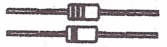
КС191Ж*	красное кольцо	–	
КС191А2	чёрное узкое кольцо	(двуханодный стабилитрон)	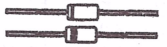
КС210Ж*	зелёное кольцо	–	
КС210Б2	два чёрных широких кольца	(двуханодный стабилитрон)	
КС211Ж*	серое кольцо	–	
КС212Ж*	оранжевое кольцо	–	
КС213Ж*	чёрное кольцо	–	
КС213Б2	чёрное широкое + два чёрных узких кольца	(двуханодный стабилитрон)	
КС215Ж*	белое кольцо	чёрное кольцо	
КС216Ж*	жёлтое кольцо	чёрное кольцо	
КС218Ж*	красное кольцо	чёрное кольцо	
КС220Ж*	зелёное кольцо	чёрное кольцо	
КС222Ж*	серое кольцо	чёрное кольцо	
КС224Ж*	оранжевое кольцо	чёрное кольцо	
КС405А	чёрная метка на торце корпуса + красное кольцо	чёрное кольцо	
КС406А	чёрная метка на торце корпуса + серое кольцо	белое кольцо	
КС406Б	чёрная метка на торце корпуса + белое кольцо	оранжевое кольцо	
КС407А	чёрная метка на торце корпуса + красное кольцо	голубое кольцо	
КС407Б	чёрная метка на торце корпуса + красное кольцо	оранжевое кольцо	
КС407В	чёрная метка на торце корпуса + красное кольцо	жёлтое кольцо	
КС407Г	чёрная метка на торце корпуса + красное кольцо	зелёное кольцо	
КС407Д	чёрная метка на торце корпуса + красное кольцо	серое кольцо	
КС411А	белое кольцо	чёрное кольцо	
КС411Б	синее кольцо	чёрное кольцо	
КС508А	чёрная метка на торце корпуса + оранжевое кольцо	зелёное кольцо	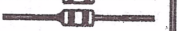
КС508Б	чёрная метка на торце корпуса + жёлтое кольцо	белое кольцо	
КС508В	чёрная метка на торце корпуса + красное кольцо	зелёное кольцо	
КС508Г	чёрная метка на торце корпуса + голубое кольцо	белое кольцо	
КС508Д	чёрная метка на торце корпуса + зелёное кольцо	белое кольцо	
КС510А	оранжевое кольцо	зелёное кольцо	
КС512А	жёлтое кольцо	зелёное кольцо	
КС515А	белое кольцо	зелёное кольцо	
2С516А	зелёное кольцо	чёрное кольцо	
2С516Б	жёлтое кольцо	чёрное кольцо	
2С516В	серое кольцо	чёрное кольцо	
КС518А	голубое кольцо	зелёное кольцо	
КС522А	серое кольцо	зелёное кольцо	
КС527А	чёрное кольцо	зелёное кольцо	

* стабилитроны этой серии (группа Ж) с маркировкой 2С дополнительно помечаются голубой меткой на торце корпуса со стороны катода.

Табл. 9.10. Параметры выпрямительных и импульсных диодов.

Тип диода	$U_{обр}$ (имп) В	$I_{пр\ max}$ (имп) А	$I_{обр}$ max, мкА	$f_д$ max кГц	№ рис.	Тип диода	$U_{обр}$ (имп) В	$I_{пр\ max}$ (имп) А	$I_{обр}$ max, мкА	$f_д$ max кГц	№ рис.
Д9Б	10	90 мА	250	100	Д3	КД257А	200	3	2	50	Д14
Д9В	30	10 мА	250	100	Д3	КД257Б	400	3	2	50	Д14
Д9Г	30	30 мА	250	100	Д3	КД257В	600	3	2	50	Д14
Д9Д	30	60 мА	250	100	Д3	КД257Г	800	3	2	50	Д14
Д9Е	50	30 мА	250	100	Д3	КД257Д	1000	3	2	50	Д14
Д9Ж	100	10 мА	250	100	Д3	КД258А	200	1,5	2	50	Д14
Д9И	30	30 мА	120	100	Д3	КД258Б	400	1,5	2	50	Д14
Д9К	30	60 мА	60	100	Д3	КД258В	600	1,5	2	50	Д14
Д9Л	100	30 мА	250	100	Д3	КД258Г	800	1,5	2	50	Д14
Д9М	30	30 мА	250	100	Д3	КД258Д	1000	1,5	2	50	Д14
КД102А	250	0,1	0,1	10	Д11	КД2997А	200	30	200	100	Д17
КД102Б	300	0,1	1	10	Д11	КД2997Б	100	30	200	100	Д17
КД103А	50	0,1	0,5	20	Д11	КД2997В	50	30	200	100	Д17
КД103Б	50	0,1	0,5	20	Д11	КД2998А	15	30	20 мА	200	Д21
КД105Б	400	0,3	100	1	Д7	КД2998Б	20	30	20 мА	200	Д21
КД105В	600	0,3	100	1	Д7	КД2998В	25	30	20 мА	200	Д21
КД105Г	800	0,3	100	1	Д7	КД2998Г	35	30	20 мА	200	Д21
КД105Д	100	0,3	100	1	Д7	КД2998Д	30	30	20 мА	200	Д21
КД202А	50	5,0	1 мА	5	Д18	КД2999А	200	20	200	100	Д17
КД202В	100	5,0	1 мА	5	Д18	КД2999Б	100	20	200	100	Д17
КД202Д	200	5,0	1 мА	5	Д18	КД2999В	50	20	200	100	Д17
КД202Ж	300	5,0	1 мА	5	Д18	КД410А	1000	50 мА	3 мА	10	Д10
КД202К	400	5,0	1 мА	5	Д18	КД410Б	600	50 мА	3 мА	10	Д10
КД202М	500	5,0	1 мА	5	Д18	КД411АМ	(700)	2,0	300	30	Д15
КД202Р	600	5,0	1 мА	5	Д18	КД411БМ	(750)	2,0	300	30	Д15
2Д202Т	800	5,0	1 мА	5	Д18	КД411ВМ	(600)	2,0	300	30	Д15
КД208А	100	1,0	100	1	Д6, Д12	КД411ГМ	(500)	2,0	300	30	Д15
КД209А	400	0,7	30	1	Д6, Д12	КД411ЕМ	(300)	2,0	10	30	Д15
КД209Б	600	0,7	30	1	Д6, Д12	КД411НМ	(800)	2,0	1	30	Д15
КД209В	800	0,5	30	1	Д6, Д12	КД409А	24	50 мА	0,5	1 ГГц	Д8
КД209Г	1000	0,2	50	1	Д6, Д12	КД503А	30	50 мА	10	350 МГц	Д4
КД212А	200	1,0	50	100	Д16	КД503А	30	50 мА	10	350 МГц	Д4
КД212Б	200	1,0	100	100	Д16	КД509А	50	0,1	5	200 МГц	Д1
КД212В	100	1,0	100	100	Д16	КД510А	50	0,2	5	200 МГц	Д1
КД212Г	100	1,0	100	100	Д16	КД518А	50	0,1	5	50 МГц	Д13
КД213А	200	10,0	200	100	Д17	КД521А	75	50 мА	1	100 МГц	Д1
КД213Б	200	10,0	200	100	Д17	КД521В	50	50 мА	1	100 МГц	Д1
КД213В	200	10,0	200	100	Д17	КД521Г	30	50 мА	1	100 МГц	Д1
КД213Г	100	10,0	200	100	Д17	КД521Д	12	50 мА	1	100 МГц	Д1
КД221А	100	0,7	50	1	Д12	КД522А	30	0,1	5	100 МГц	Д1
КД221Б	200	0,5	50	1	Д12	КД522Б	50	0,1	5	100 МГц	Д1
КД221В	400	0,3	100	1	Д12	КД906А	75	0,1	2	100	Д25
КД221Г	600	0,3	150	1	Д12	КД906Б	50	0,1	2	100	Д25
КД221Д	100	0,7	50	1	Д12	КД906В	30	0,1	2	100	Д25
КД226А	100	2,0	10	50	Д9	КДС111А	300	0,2	3	20	Д19
КД226Б	200	2,0	10	50	Д9	КДС111Б	300	0,2	3	20	Д19
КД226В	400	2,0	10	50	Д9	КДС111В	300	0,2	3	20	Д19
КД226Г	600	2,0	10	50	Д9	КЦ405А	600	1,0	125	5	Д23
КД226Д	800	2,0	10	50	Д9	КЦ405Б	500	1,0	125	5	Д23
КД226Е	600	2,0	10	50	Д9	КЦ405В	400	1,0	125	5	Д23
КД243А	50	1,0	10	1	Д5	КЦ405Г	300	1,0	125	5	Д23
КД243Б	100	1,0	10	1	Д5	КЦ405Д	200	1,0	125	5	Д23
КД243В	200	1,0	10	1	Д5	КЦ405Е	100	1,0	125	5	Д23
КД243Г	400	1,0	10	1	Д5	КЦ405Ж	600	0,6	125	5	Д23
КД243Д	600	1,0	10	1	Д5	КЦ405И	500	0,6	125	5	Д23
КД243Е	800	1,0	10	1	Д5	КЦ407А	300	0,3	5	20	Д24
КД243Ж	1000	1,0	10	1	Д5	КЦ410А	50	3,0	50	1	Д26
КД247А	100	1,0	5	150	Д5	КЦ410Б	100	3,0	50	1	Д26
КД247Б	200	1,0	5	150	Д5	КЦ410В	200	3,0	50	1	Д26
КД247В	400	1,0	5	150	Д5	КЦ422А	50	0,5	50	1	Д22
КД247Г	600	1,0	5	150	Д5	КЦ422Б	100	0,5	50	1	Д22
КД247Д	800	1,0	5	50	Д5	КЦ422В	200	0,5	50	1	Д22
КД247Е	50	1,0	5	150	Д5	КЦ422Г	400	0,5	50	1	Д22

Табл. 9.11. Параметры стабилитронов и стабисторов.

Тип	Uст, В			при Iст, мА	Iст, мА		Рмакс Вт	Rст при		ΔU/°C %	№ рис.
	мин.	ном.	макс.		мин.	макс.		Ом	Iст, мА		
Д814А(1)	7	8,0	8,5	5	3	40	0,34	6	5	+0,07	Д27 (Д1)
Д814Б(1)	8	9,0	9,5	5	3	36	0,34	10	5	+0,08	Д27 (Д1)
Д814В(1)	9	10,0	10,5	5	3	32	0,34	12	5	+0,09	Д27 (Д1)
Д814Г(1)	10	11,0	12	5	3	29	0,34	15	5	+0,095	Д27 (Д1)
Д814Д(1)	11,5	13,0	14	5	3	24	0,34	18	5	+0,095	Д27 (Д1)
Д815А	5	5,6	6,2	1 А	50	1,4 А	8	0,6	1 А	+0,045	Д20
Д815Б	6,1	6,8	7,5	1 А	50	1,15 А	8	0,8	1 А	+0,05	Д20
Д815В	7,4	8,2	9,1	1 А	50	950	8	1,0	1 А	+0,07	Д20
Д815Г	9,0	10,0	11	500	25	800	8	1,8	500	+0,08	Д20
Д815Д	10,8	12,0	13,3	500	25	650	8	2,0	500	+0,09	Д20
Д815Е	13,3	15,0	16,4	500	25	550	8	2,5	500	+0,10	Д20
Д815Ж	16,2	18,0	19,8	500	25	450	8	3,0	500	+0,11	Д20
Д815И	4,2	4,7	5,2	1 А	50	1,4 А	8	0,82	1 А	+0,05	Д20
Д816А	19,6	22	24,4	150	10	230	5	7,0	150	+0,12	Д20
Д816Б	24,2	27	29,5	150	10	180	5	8,0	150	+0,12	Д20
Д816В	29,5	33	36	150	10	150	5	10,0	150	+0,12	Д20
Д816Г	35	39	43	150	10	130	5	12,0	150	+0,12	Д20
Д816Д	42,5	47	51,5	150	10	110	5	15,0	150	+0,12	Д20
Д817А	50,5	56	61,5	50	5	90	5	35	50	+0,14	Д20
Д817Б	61	68	75	50	5	75	5	40	50	+0,14	Д20
Д817В	74	82	90	50	5	60	5	45	50	+0,14	Д20
Д817Г	90	100	110	50	5	50	5	50	50	+0,14	Д20
Д818А	9	9,9	10,8	10	3	33	0,3	70	3	+0,02	Д27, Д1
Д818Б	7,2	8,0	9	10	3	33	0,3	18	10	-0,029	Д27, Д1
Д818В	7,65	9,0	10,35	10	3	33	0,3	18	10	±0,01	Д27, Д1
Д818Г	7,65	9,0	10,35	10	3	33	0,3	18	10	±0,005	Д27, Д1
Д818Д	7,65	9,0	10,35	10	3	33	0,3	18	10	±0,002	Д27, Д1
Д818Е	7,65	9,0	10,35	10	3	33	0,3	18	10	±0,001	Д27, Д1
КС107А	0,63	0,7	0,77	10	1	100	0,125	12	10	-0,3	Д27, Д1
КС113А	1,17	1,3	1,43	10	1	100	0,18	15	10	-0,3	Д27
КС115А	1,4	1,5	1,6	3	1	100	0,2	35	3	-0,3	Д1
КС119А	1,71	1,9	2,09	10	1	100	0,26	65	10	-0,4	Д27
КС126А	2,5	2,7	2,9	5	–	135	0,4	120	5	-0,075	Д1
КС126Б	2,8	3,0	3,2	5	–	125	0,4	120	5	-0,075	Д1
КС126В	3,1	3,3	3,5	5	–	115	0,4	120	5	-0,075	Д1
КС126Г	3,7	3,9	4,1	5	–	95	0,4	120	5	-0,05	Д1
КС126Д	4,4	4,7	5,0	5	–	85	0,4	100	5	-0,01	Д1
КС126Е	5,2	5,6	6,0	5	–	70	0,4	50	5	+0,03	Д1
КС126Ж	5,8	6,2	6,6	5	–	64	0,4	35	5	+0,06	Д1
КС126И	6,4	6,8	7,2	5	–	58	0,4	30	5	+0,06	Д1
КС126К	7,0	7,5	7,9	5	–	53	0,4	20	5	+0,07	Д1
КС126Л	7,7	8,2	8,7	5	–	47	0,4	30	5	+0,06	Д1
КС126М	8,5	9,1	9,6	5	–	43	0,4	30	5	+0,09	Д1
КС207А	9,4	10,0	10,6	5	–	40	0,4	30	5	+0,09	Д1
КС207Б	10,4	11,0	11,6	5	–	36	0,4	30	5	+0,092	Д1
КС207В	11,4	12,0	12,7	5	–	32	0,4	30	5	+0,095	Д1
КС133А	2,97	3,3	3,63	10	3	81	0,3	65	10	-0,11	Д27, Д3
КС133Г	2,95	3,3	3,65	5	1	37,5	0,125	150	5	-0,1	Д3
КС139А	5,51	3,9	4,29	10	3	79	0,3	60	10	-0,1	Д27, Д3
КС139Г	3,5	3,9	4,3	5	1	32	0,125	150	5	–	Д3
КС147А	4,23	4,7	5,17	10	3	58	0,3	56	10	-0,09	Д27, Д3
КС147Г	4,2	4,7	5,2	5	1	26,5	0,125	150	5	-0,07	Д3
КС156А	5,04	5,6	6,16	10	3	55	0,3	46	10	+0,05	Д27, Д3
КС156Г	5,0	5,6	6,2	5	1	22,4	0,125	100	5	+0,07	Д3
КС162А	5,6	6,2	6,76	10	3	22	0,15	35	10	-0,06	Д29
КС168А	6,12	6,8	7,48	10	3	45	0,3	28	10	±0,06	Д3
КС168В	6,24	6,8	7,37	10	3	20	0,15	28	10	±0,05	Д29
КС170А	6,65	7,0	7,35	10	3	20	0,15	20	10	±0,01	Д29
КС175А	7,0	7,5	8,0	5	3	18	0,15	16	6	±0,04	Д29
КС175Ж	7,1	7,5	7,9	1	0,5	17	0,125	40	4	+0,07	Д1
КС182А	7,6	8,2	8,8	5	3	17	0,15	14	5	±0,05	Д29
КС182Ж	7,4	8,2	9,0	1	0,5	15	0,125	14	5	+0,08	Д1
КС191А	8,5	9,1	9,7	25	3	15	0,15	18	5	+0,06	Д29
КС191Ж	8,6	9,1	9,6	1	0,5	14	0,125	40	4	+0,09	Д1
КС191М	8,65	9,1	9,55	10	5	15	0,15	18	10	±0,005	Д27

Тип	Uст, В			при Iст, мА	Iст, мА		Pмакс Вт	Rст Ом	при Iст, мА	δU/°C %	№ рис.
	мин.	ном.	макс.		мин.	макс.					
КС191Н	8,65	9,1	9,55	10	5	15	0,15	18	10	±0,002	Д27
КС191П	8,65	9,1	9,55	10	5	15	0,15	18	10	±0,001	Д27
КС191Р	8,65	9,1	9,55	10	5	15	0,15	18	10	±0,0005	Д27
КС191С	8,65	9,1	9,55	10	3	20	0,2	18	10	±0,005	Д27
КС191Т	8,65	9,1	9,55	10	3	20	0,2	18	10	±0,0025	Д27
КС191У	8,65	9,1	9,55	10	3	20	0,2	18	10	±0,0001	Д27
КС191Ф	8,65	9,1	9,55	10	3	20	0,2	18	10	±0,0005	Д27
КС210Б	9,3	10,0	10,7	5	3	14	0,15	22	5	±0,07	Д29
КС210Ж	9,0	10,0	11,0	4	0,5	13	0,125	40	4	+0,09	Д1
КС211Ж	10,4	11,0	11,6	4	0,5	12	0,125	40	4	+0,092	Д1
КС212Ж	10,8	12,0	13,2	4	0,5	11	0,125	40	4	+0,095	Д1
КС213Б	12,1	13,0	13,9	5	3	10	0,15	25	5	+0,08	Д29
КС213Ж	12,3	13,0	13,7	4	0,5	10	0,125	40	4	+0,095	Д1
КС215Ж	13,5	15,0	16,5	5	0,5	8,3	0,125	70	2	+0,1	Д1
КС216Ж	15,2	16,0	16,8	5	0,5	7,3	0,125	70	2	+0,1	Д1
КС218Ж	16,2	18,0	19,8	5	0,5	6,9	0,125	70	2	+0,1	Д1
КС220Ж	19,0	20,0	21,0	5	0,5	6,2	0,125	70	2	+0,1	Д1
КС222Ж	19,8	22,0	24,2	5	0,5	5,7	0,125	70	2	+0,1	Д1
КС224Ж	22,8	24,0	25,2	5	0,5	5,2	0,125	70	2	+0,1	Д1
КС405А	5,89	6,2	6,51	0,5	0,1	45	0,28	200	0,5	±0,002	Д1
КС406А	7,7	8,2	8,7	15	0,5	35	0,34	6,5	15	–	Д1
КС406Б	9,4	10,0	10,6	12,5	0,25	28	0,34	8,5	12,5	–	Д1
КС407А	3,1	3,3	3,5	20	1	100	0,34	28	20	–	Д1
КС407Б	3,7	3,9	4,1	20	1	83	0,34	23	20	–	Д1
КС407В	4,4	4,7	5,0	20	1	68	0,34	19	20	–	Д1
КС407Г	4,8	5,1	5,4	20	1	59	0,34	17	20	–	Д1
КС407Д	6,4	6,8	7,2	18,5	1	42	0,34	4,5	18,5	–	Д1
КС409А	5,3	5,6	5,9	5	1	48	0,33	20	5	–	Д1
КС433А	2,97	3,3	3,63	60	3	191	1,0	25	60	-0,1	Д27
КС439А	3,51	3,9	4,29	51	3	176	1,0	25	51	-0,1	Д27
КС447А	4,23	4,7	5,17	43	3	159	1,0	18	43	-0,08÷0,03	Д27
КС456А	5,04	5,6	6,16	36	3	139	1,0	10	36	0÷0,05	Д27
КС468А	6,12	6,8	7,48	29	3	119	1,0	5	29	0÷0,065	Д27
КС482А	7,4	8,2	9,0	5	1	96	1,0	25	5	+0,08	Д27
КС508А	11,4	12,0	12,7	10,5	0,25	23	0,34	11,5	10,5	–	Д1
КС508Б	13,8	15,0	15,6	8,5	0,25	18	0,34	16	8,5	–	Д1
КС508В	15,3	16,0	17,1	7,5	0,25	17	0,34	17	7,8	–	Д1
КС508Г	16,8	18,0	19,1	7,0	0,25	15	0,34	21	7,0	–	Д1
КС508Д	22,8	24,0	25,6	5,2	0,25	11	0,34	33	5,2	–	Д1
КС510А	9,0	10,0	11,0	5	1	79	1,0	25	5	+0,1	Д27, Д2
КС512А	10,8	12,0	13,2	5	1	67	1,0	25	5	+0,1	Д27, Д2
КС515А	13,5	15,0	16,5	5	1	53	1,0	25	5	+0,1	Д27, Д2
КС515Г	14,25	15,0	15,75	10	3	31	0,5	35	10	±0,005	Д31
КС518А	16,2	18,0	19,8	5	1	45	1,0	25	5	+0,1	Д27, Д2
КС520В	19,0	20,0	21,0	10	3	22	0,5	120	10	±0,01	Д31
КС522А	19,8	22,0	24,2	5	1	37	1,0	25	5	+0,1	Д27, Д2
КС524Г	22,8	24,0	25,2	10	3	19	0,5	40	10	±0,005	Д31
КС527А	24,3	27,0	29,7	5	1	30	1,0	40	5	+0,1	Д27, Д2
КС531В	29,45	31,0	32,55	10	3	15	0,5	50	10	±0,005	Д31, Д28
КС533А	29,7	33,0	36,3	10	3	17	0,64	40	10	+0,1	Д29
КС539Г	37,0	39,0	41,0	10	3	17	0,72	65	10	±0,005	Д32
КС547В	44,65	47,0	49,35	10	3	10	0,5	280	10	±0,01	Д31
КС551А	48,0	51,0	54,0	1,5	1	14,6	1,0	200	1,5	±0,12	Д27
КС568В(2)	64,6	68,0	71,4	10	3	10	0,72	400	10	±0,01	Д32 (Д30)
КС582Г	77,9	82,0	86,1	10	3	8	0,72	480	10	±0,01	Д32
КС591А	86,0	91,0	96,0	1,5	1	8,8	1,0	400	1,5	±0,12	Д27
КС596В	91,2	96,0	100,8	10	3	7	0,72	560	10	±0,01	Д32
КС600А	95	100	105	1,5	1	8,1	1,0	450	1,5	±0,12	Д27
КС620А	103	120	132	50	5	42	5,0	150	50	+0,2	Д20
КС630А	117	130	143	50	5	38	5,0	180	50	+0,2	Д20
КС650А	135	150	165	25	2,5	33	5,0	270	25	+0,2	Д20
КС680А	162	180	198	25	2,5	28	5,0	330	25	+0,2	Д20
КС920А	109	120	132	50	5	42	5,0	100	50	+0,16	Д20
КС930А	117	130	143	50	5	38	5,0	120	50	+0,16	Д20
КС950А	136	150	164	25	2,5	33	5,0	170	25	+0,16	Д20
КС980А	162	180	198	25	2,5	28	5,0	220	25	+0,16	Д20

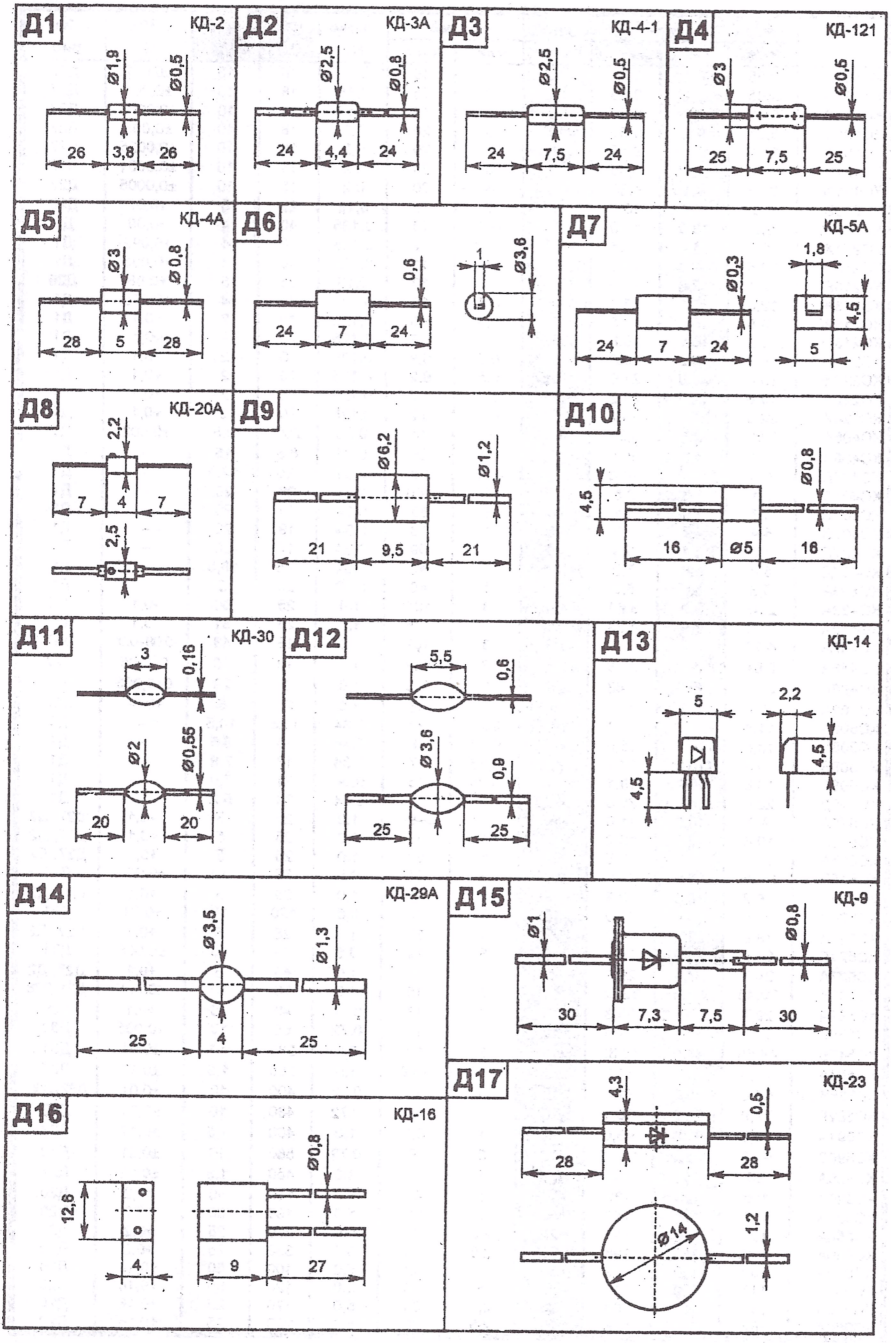
Д1
КД-2
Ø1,8
Ø0,5
26
3,8
26
Д2
КД-3А
Ø2,5
Ø0,8
24
4,4
24
Д3
КД-4-1
Ø2,5
Ø0,5
24
7,5
24
Д4
КД-121
Ø3
Ø0,5
25
7,5
25
Д5
КД-4А
Ø3
Ø0,8
28
5
28
Д6
0,6
1
Ø3,6
24
7
24
Д7
КД-5А
Ø0,3
1,8
4,5
24
7
24
5
Д8
КД-20А
2,2
7
4
7
2,5
Д9
Ø6,2
Ø1,2
21
9,5
21
Д10
4,5
Ø0,8
16
Ø5
16
Д11
КД-30
3
0,16
Ø2
Ø0,55
20
20
Д12
5,5
0,6
Ø3,6
0,9
25
25
Д13
КД-14
5
2,2
4,5
4,5
Д14
КД-29А
Ø3,5
Ø1,3
25
4
25
Д15
КД-9
Ø1
Ø0,8
30
7,3
7,5
30
Д16
КД-16
Ø0,8
12,6
4
9
27
Д17
КД-23
4,3
0,5
28
28
Ø14
1,2

Д18

КДЮ-11-2

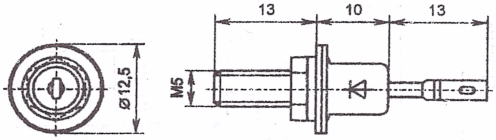

Д19

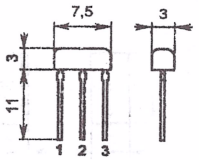

КДС111А КДС111Б КДС111В

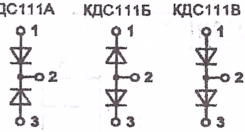

Д20

КДЮ-11-3

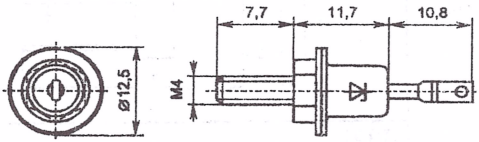

Д21

КД-11

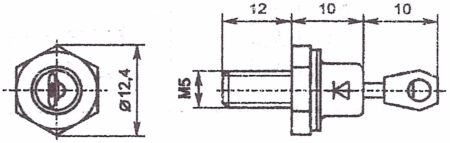

Д22

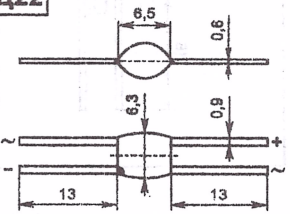

Д23

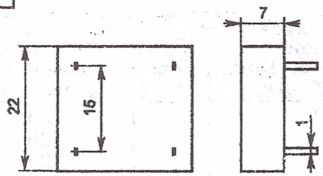

Д24

КБЮ3-9

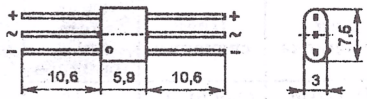

Д25

2Д906А - точка отсутствует
2Д906Б - одна красная точка
2Д906В - две красные точки

КБЮ6-2

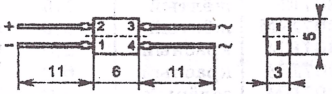

Д26

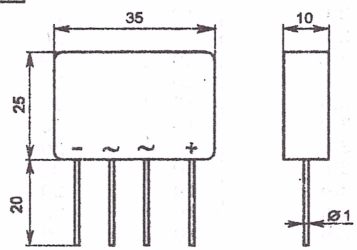

Д27

КД-8

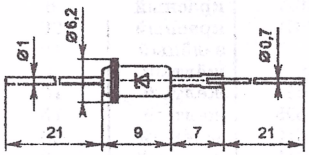

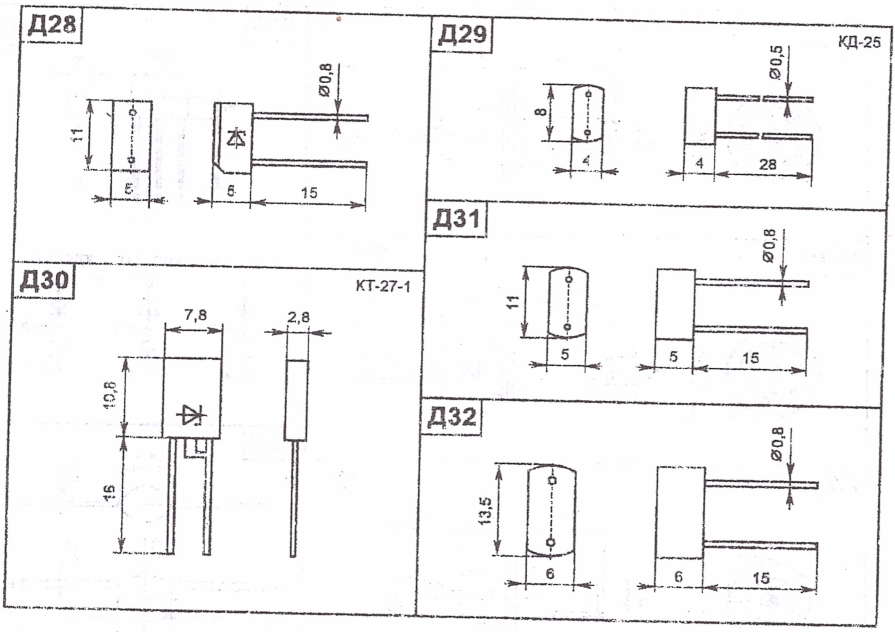

9.4. ПАРАМЕТРЫ СВЕТОДИОДОВ

Табл. 9.12. Параметры светодиодов АЛ307 и АЛ336.

Тип светодиода	Цвет свечения	Сила света, мкд, не менее	Постоянное прямое напряжение (Uпр.) В, не более	При Iпр.	Максимальный постоянный прямой ток (I пр.), мА
АЛ307АМ	красный	0,15	2,0	10	20
АЛ307БМ	красный	0,9	2,0	10	20
АЛ307ВМ	зелёный	0,4	2,8	20	22
АЛ307ГМ	зелёный	1,5	2,8	20	22
АЛ307ДМ	жёлтый	0,4	2,5	10	20
АЛ307ЕМ	жёлтый	1,5	2,5	10	20
АЛ307ЖМ	жёлтый	6,0	2,5	10	20
АЛ307КМ	красный	2,0	2,0	10	20
АЛ307ЛМ	красный	6,0	2,0	10	20
АЛ307НМ	зелёный	6,0	2,8	20	22
АЛ307ПМ	зелёный	16,0	2,8	20	22
АЛ336А	красный	6	2,0	10	20
АЛ336Б	красный	20	2,0	10	20
АЛ336В	зелёный	10	2,8	10	20
АЛ336Д	жёлтый	4	2,8	10	20
АЛ336Е	жёлтый	10	2,8	10	20
АЛ336Ж	жёлтый	15	2,8	10	20
АЛ336И	зелёный	20	2,8	10	20
АЛ336К	красный	40	2,0	10	20
АЛ336Н	зелёный	50	2,8	10	20

9.5. ЦВЕТОВАЯ И КОДОВАЯ МАРКИРОВКА ТРАНЗИСТОРОВ

В цветовой и кодовой маркировке транзисторов, также как и диодов и стабилитронов, нет единых стандартов. Каждый завод, который производит транзисторы, принимает свои цветовые и кодовые обозначения. Вы можете встретить транзисторы одного типа и группы, которые изготовлены разными заводами и маркируются по разному, или разные транзисторы, которые маркируются одинаково. В этом случае их можно отличить только по некоторым дополнительным признакам, таким как длина выводов коллектора и эмиттера или окраска торцевой (противоположной выводам) поверхности транзистора.

Табл. 9.13. Цветовая и кодовая маркировка транзисторов в корпусе КТ-26.

Тип	Код	Цв. точка сбоку	Группа	Цв. точка сверху
КТ203	◢	Тёмно-красная	А	Тёмно-красная
КТ208	●	–	Б	Жёлтая
КТ209	♦ или ◇	Серая	В	Тёмно-зелёная
КТ313	⊥	Оранжевая	Г	Голубая
КТ326	▼	Коричневая	Д	Синяя
КТ339	▲	Голубая	Е	Белая
КТ342	◗	Синяя	Ж	Тёмно-коричневая
КТ502	◗	Жёлтая	И (–*)	Серебристая
КТ503	●	Белая	К (–*)	Оранжевая
КТ3102*	◤	Тёмно-зелёная	Л (И*)	Светло-табачная
КТ3107	▼	–	М (К*)	Серая
КТ3157	◣	–		
КТ3166	⊤	–		
КТ6127	⊔	–		
КТ632	–	Серебристая		
КТ638	–	Оранжевая		
КТ680	Г	–		
КТ681	I	–		
КТ698	П	–		
КП103	⊥	–		
КП364*	А	Табачная		

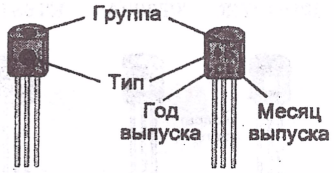

Рис. 9.2. Кодовая и цветовая маркировка транзисторов в корпусе КТ-26.

Табл. 9.14. Маркировка года и месяца изготовления.

Год выпуска	Код	Месяц выпуска	Код
1986	U	Январь	1
1987	V	Февраль	2
1988	W	Март	3
1989	X	Апрель	4
1990	A	Май	5
1991	B	Июнь	6
1992	C	Июль	7
1993	D	Август	8
1994	E	Сентябрь	9
1995	F	Октябрь	O
1996	H	Ноябрь	N
1997	I	Декабрь	D
1998	K		
1999	L		
2000	M		

Цветовая маркировка транзисторов осуществляется двумя точками. Тип транзистора обозначается на боковой поверхности, а маркировка группы на торцевой (рис. 9.2).

Кодовая маркировка наносится на боковую поверхность транзистора (рис. 9.2). Тип транзистора обозначается кодовым знаком (табл. 9.13), а группа - соответствующей буквой. Дата изготовления в соответствии с ГОСТ 25486-82 кодируется двумя буквами или буквой и цифрой (табл. 9.14). Первая буква обозначает год выпуска, а следующая

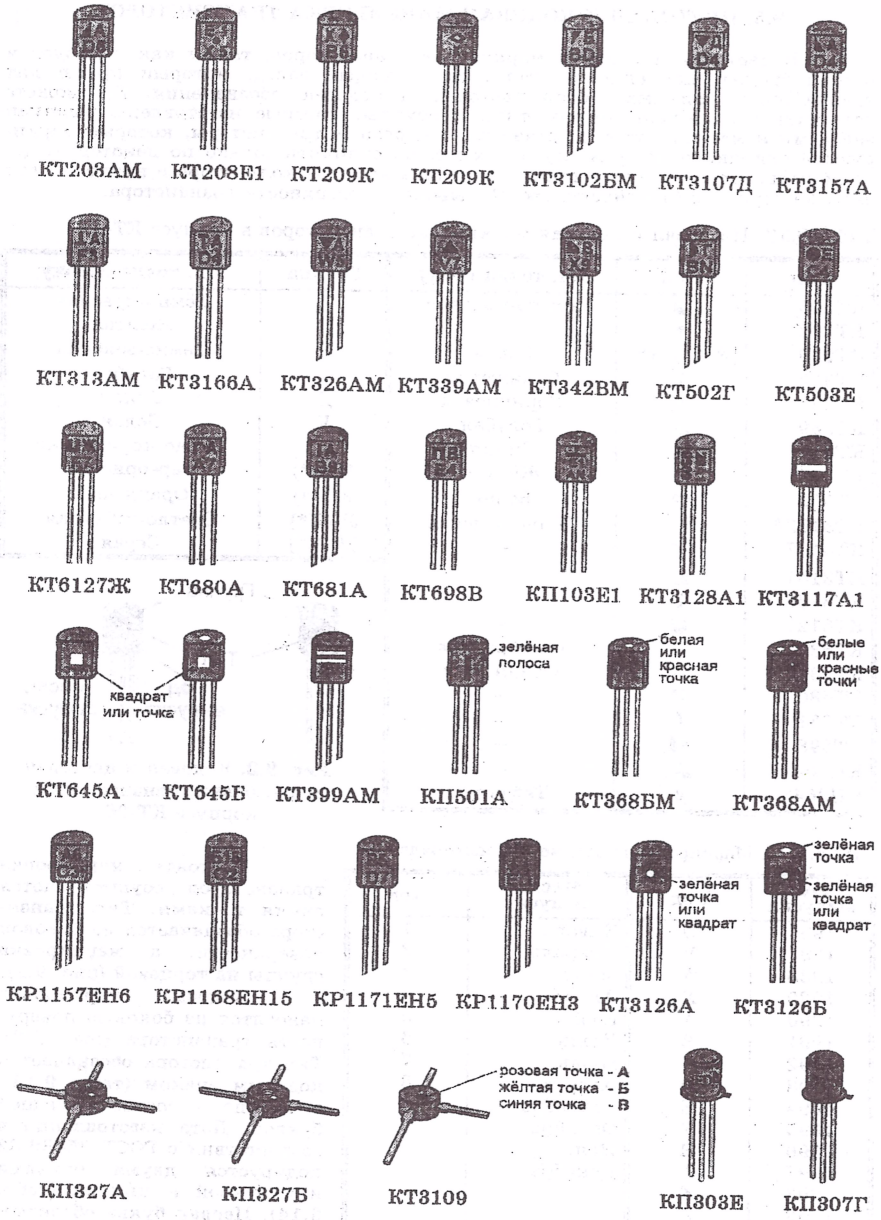

Рис. 9.3. Примеры маркировки радиоэлементов.

за ней цифра или буква - месяц. Кодированное обозначение даты изготовления применяется не только для транзисторов, но и для других радиоэлементов. Дата выпуска зарубежных радиоэлементов обозначается четырьмя цифрами, первые две из которых обозначают год выпуска, а последние две - номер недели в году (например, 9432 обозначает - 1994 год, 32-я неделя года). На рис. 9.3 приведены примеры кодовой и цветовой маркировки транзисторов в корпусе КТ-26.

Табл. 9.15. Кодовая маркировка радиоэлементов в корпусе КТ-27.

Код	Тип
4	КТ814
5	КТ815
6	КТ816
7	КТ817
8	КТ683
9	КТ9115
12	КУ112
40	КТ940

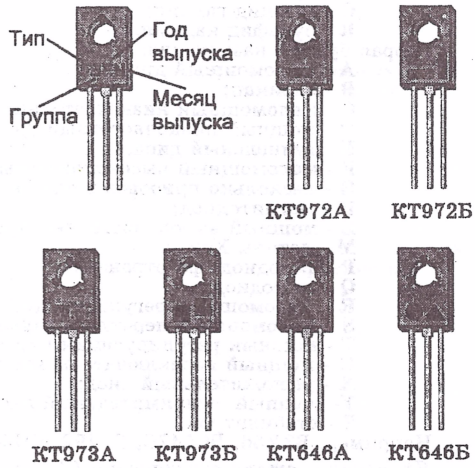

Рис. 9.4. Маркировка транзисторов в корпусе КТ-27.

Транзисторы в корпусе КТ-27 могут маркироваться или буквенно - цифровым кодом (табл. 9.15 и рис. 9.4) или кодом, состоящим из геометрических фигур (рис. 9.4).

Транзисторы в корпусе КТ-27 дополнительно маркируются окрашиванием торца корпуса, противоположного выводам:

КТ814 - серо - бежевый;
КТ815 - серый или сиренево - фиолетовый;
КТ816 - розово - красный;
КТ817 - серо - зелёный;
КТ683 - фиолетовый;
КТ9115 - голубой.



Рис. 9.5. Маркировка транзисторов в корпусе КТ-13.

Транзисторы КТ814Б, КТ815Б, КТ816В и КТ817Б иногда маркируются только окрашиванием торцевой поверхности без нанесения буквенно - цифрового кода.

Примеры маркировки транзисторов в корпусе КТ-13 приведены на рис. 9.5. Буква группы у транзисторов КТ315 наносится сбоку поверхности, а КТ361 - посередине.

Тип транзисторов КП303 и КП307 в корпусе КТ-1-12 маркируется соответственно цифрами 3 и 7, группа - соответствующей буквой. Транзисторы КП327А маркируются одной белой точкой, а КП327Б - двумя (рис. 9.3).

9.6. ОБОЗНАЧЕНИЕ ЗАРУБЕЖНЫХ РАДИОЭЛЕМЕНТОВ

За рубежом существует три основные системы обозначений радиоэлементов: американская (JEDEK), европейская (PRO ELECTRON) и японская (JIS).

Американская система обозначений (JEDEK):

Первая цифра показывает количество p-n переходов:

1 - диод;
2 - транзистор;
3 - тиристор.

За цифрой следует буква N и затем серийный номер. Буквы за номером обозначают разные параметры для приборов одного типа. Например: 1N4148, 2N5551.

Европейская система обозначений (PRO ELECTRON):

Основное обозначение по этой системе состоит из пяти знаков. Две буквы и три цифры - для широкого применения. Три буквы и две цифры - для специ-

альной аппаратуры. Следующая за ними буква обозначает разные параметры для приборов одного типа (для биполярных транзисторов это, как правило, коэффициент шума или статический коэффициент передачи тока).

Первая буква - код материала:

A - германий;
B - кремний;
C - арсенид галлия;
R - сульфид кадмия.

Вторая буква - назначение:

A - маломощный диод;
B - варикап;
C - маломощный низкочастотный транзистор;
D - мощный низкочастотный транзистор;
E - туннельный диод;
F - маломощный высокочастотный транзистор;
G - несколько приборов в одном корпусе;
H - магнитодиод;
L - мощный высокочастотный транзистор;
M - датчик Холла;
P - фотодиод, фототранзистор;
Q - светодиод;
R - маломощный регулирующий или переключающий прибор;
S - маломощный переключательный транзистор;
T - мощный регулирующий или переключающий прибор;
U - мощный переключательный транзистор;
X - умножительный диод;
Y- мощный выпрямительный диод;
Z - стабилитрон.

Например: BZY56, BC547C, BF492, BU508.

Японская система обозначений (JIC):

Условное обозначение состоит из пяти элементов:

Первый элемент - цифра, обозначающая класс полупроводникового прибора:

0 - фотодиод, фототранзистор;
1 - диод;
2 - транзистор;
3 - тиристор.

Второй элемент - буква **S** (Semiconductor).

Третий элемент - тип прибора:

A - высокочастотный p-n-p транзистор;
B - низкочастотный p-n-p транзистор;
C - высокочастотный n-p-n транзистор;
D - низкочастотный n-p-n транзистор;
E - диод Есаки;
F - тиристор;
G - диод Ганна;
H - однопереходный транзистор;
I - полевой транзистор с p-каналом;
K - полевой транзистор с n-каналом;
M - симметричный тиристор (симистор);
Q - светодиод;
R - выпрямительный диод;
S - слаботочный диод;
T - лавинный диод;
V - варикап;
Z - стабилитрон.

Четвёртый элемент обозначает регистрационный номер и начинается с числа 11.

Пятый - одна или две буквы, которые обозначают разные параметры для приборов одного типа (для биполярных транзисторов это коэффициент шума или статический коэффициент передачи тока, реже допустимое напряжение).

Например: 2SA733, 2SB1116A, 2SC945, 2SD1555.

Маркировка на корпусе прибора часто наносится без первой цифры и буквы. Например: 2SA733 маркируется как A733; 2SB1116A - B1116A; 2SC945 - C945; 2SD1555 - D1555 и т. п.

Некоторые фирмы для обозначения своих разработок используют собственную маркировку. Например, фирма "SAMSUNG" в обозначении некоторых транзисторов использует буквы SS (SS8050B, SS9014C). Фирма "MOTOROLA" - MJ, MJE,

MM, MMT, MPQ, MPS (MJ3521, MJE350, MM1812, MPS5551M, MPS A-92).

Популярные транзисторы фирмы "SAMSUNG" – SS8050, SS8550, SS9012, SS9013, SS9014 и SS9015 маркируются без первой буквы S. Аналоги этих транзисторов выпускают многие фирмы разных стран. Поэтому, например, транзистор S9014 Вы можете встретить с маркировкой – C9014, H9014, L9014 или K9014. Транзистор S8050 – C8050 и т. п.

9.7. ПАРАМЕТРЫ ТРАНЗИСТОРОВ

В таблицах 9.16, 9.17 и 9.18 приведены параметры отечественных и зарубежных биполярных и полевых транзисторов (звёздочкой помечены составные транзисторы). Приведём назначения буквенных обозначений параметров транзисторов, используемых в таблицах:

$U_{КБО}$ - максимально допустимое напряжение коллектор - база;

$U_{КБ,\ и\ max}$ - максимально допустимое импульсное напряжение коллектор - база;

$U_{КЭR}$ - постоянное напряжение коллектор - эмиттер при заданном сопротивлении в цепи база - эмиттер;

$U_{КЭО\ гр.}$ - граничное напряжение транзистора - напряжение между коллектором и эмиттером при разомкнутой цепи базы и заданном токе эмиттера;

$U_{КЭ,\ и\ max}$ - максимально допустимое импульсное напряжение коллектор - эмиттер;

$U_{КЭН}$ - напряжение насыщения коллектор - эмиттер;

$U_{СИ\ max}$ - максимально допустимое напряжение сток - исток;

$U_{СИО}$ - напряжение сток - исток при оборванном затворе;

$U_{ЗИ\ max}$ - максимально допустимое напряжение затвор - исток;

$U_{ЗИ\ отс}$ - напряжение отсечки транзистора, при котором ток стока достигает заданного низкого значения (для полевых транзисторов с p-n переходом, и с изолированным затвором);

$U_{ЗИ\ пор}$ - пороговое напряжение транзистора между затвором и стоком, при котором ток стока достигает заданного низкого значения (для полевых транзисторов с изолированным затвором и n-каналом);

$I_{К\ max}$ - максимально допустимый постоянный ток коллектора;

$I_{К\ и\ max}$ - максимально допустимый импульсный ток коллектора;

$I_{С\ max}$ - максимально допустимый постоянный ток стока;

$I_{С\ нач}$ - начальный ток стока;

$I_{С\ ост}$ - остаточный ток стока;

$I_{КБО}$ - обратный ток коллектора;

$I_{КЭО}$ - обратный ток коллектор-эмиттер при разомкнутом выводе базы;

$I_{З\ ут.}$ - ток утечки затвора;

$P_{К\ max}$ - максимально допустимая постоянная рассеиваемая мощность коллектора без теплоотвода;

$P_{К\ т\ max}$ - максимально допустимая постоянная рассеиваемая мощность коллектора с теплоотводом;

$P_{СИ\ max}$ - максимально допустимая постоянная рассеиваемая мощность сток - исток без теплоотвода;

$P_{СИ\ т\ max}$ - максимально допустимая постоянная рассеиваемая мощность сток - исток с теплоотводом;

$P_{и\ max}$ - максимально допустимая импульсная рассеиваемая мощность биполярного (полевого) транзистора;

$P_{вых.}$ - выходная мощность биполярного (полевого) транзистора;

$h_{21Э}$ - статический коэффициент передачи тока биполярного транзистора в схеме с общим эмиттером;

$R_{СИ\ отк}$ - сопротивление сток - исток в открытом состоянии;

$C_К$ - ёмкость коллекторного перехода;

$C_{11И}$ - входная ёмкость полевого транзистора;

S - крутизна характеристики;

$f_{гр.}$ - граничная частота коэффициента передачи тока в схеме с общим эмиттером;

$f_{раб.\ max}$ - максимальная рабочая частота транзистора;

$K_{УР}$ - коэффициент усиления по мощности биполярного (полевого) транзистора;

$K_ш$ - коэффициент шума биполярного (полевого) транзистора;

$t_{рас.}$ - время рассасывания для биполярного транзистора (для транзисторов КТ601÷ КТ997 этот параметр указан в круглых скобках в предпоследней колонке);

$t_{сп.}$ - время спада для биполярного (полевого) транзистора;

$\tau_к$ - постоянная времени цепи обратной связи на высокой частоте биполярного транзистора;

Табл. 9.16. Параметры отечественных биполярных транзисторов.

Тип транзистора	Структура	$U_{КБО}$ (и), В	$U_{КЭR}$ [гр] (и) В	$I_{К\,max}$ (и), мА	$P_{К\,max}$ [т] (и), Вт	$h_{21э}$	$I_{КБО}$ [кэо], мкА	$f_{гр.}$ МГц	$U_{КЭН}$, В [K_P], дБ	$C_К$, пФ	$K_м$, дБ [$t_{рис}$], нс	№ рис.
1Т313А	p-n-p	12 (20)	12	50	0,1	10÷230	<5	≥300	<0,7	<2,5	–	Т36
1Т313Б	p-n-p	12 (20)	12	50	0,1	10÷75	<5	≥450	<0,7	<2,5	–	Т36
1Т313В	p-n-p	12 (20)	12	50	0,1	30÷230	<5	≥350	<0,7	<2,5	<8	Т36
ГТ328А	p-n-p	15	15	10	0,05	20÷200	<10	≥400	–	<1,5	<7	Т36
ГТ328Б	p-n-p	15	15	10	0,05	40÷200	<10	≥300	–	<1,5	<7	Т36
ГТ328В	p-n-p	15	15	10	0,05	10÷50	<10	≥300	–	<1,5	<7	Т36
ГТ346А	p-n-p	20	20	10	0,05	10÷150	<10	≥700	[>10,5]	<1,3	<6	Т3а
ГТ346Б	p-n-p	20	20	10	0,05	10÷150	<10	≥550	[>10,5]	<1,3	<8	Т3а
ГТ346В	p-n-p	20	20	10	0,05	15÷150	<10	≥550	[>10,5]	<1,3	<7	Т3а
ГТ806А	p-n-p	75	[40]	15 (25) А	2 [30]	10÷100	<15мА	≥10	<0,6	–	–	Т34
ГТ806Б	p-n-p	100	[65]	15 (25) А	2 [30]	10÷100	<15мА	≥10	<0,6	–	–	Т34
ГТ806В	p-n-p	120	[80]	15 (25) А	2 [30]	10÷100	<15мА	≥10	<0,6	–	–	Т34
ГТ806Г	p-n-p	50	–	15 (25) А	2 [30]	10÷100	<15мА	≥10	<0,6	–	–	Т34
ГТ806Д	p-n-p	140	–	15 (25) А	2 [30]	10÷100	<15мА	≥10	<0,6	–	–	Т34
1Т813А	p-n-p	–	100	30 (40) А	1,5 [50]	10÷60	<16мА	≥5	<0,8	–	–	Т34
1Т813Б	p-n-p	–	125	30 (40) А	1,5 [50]	10÷60	<16мА	≥5	<0,8	–	–	Т34
1Т813В	p-n-p	–	150	30 (40) А	1,5 [50]	10÷60	<16мА	≥5	<0,8	–	–	Т34
1Т905А	p-n-p	75	75	3 (7) А	1,2 [6]	35÷100	<2мА	≥30	<0,5	<250	[<4000]	Т38
ГТ905А	p-n-p	75	75	3 (7) А	1,2 [6]	35÷100	<2мА	≥30	<0,5	<200	[<4000]	Т35
ГТ905Б	p-n-p	60	60	3 (7) А	1,2 [6]	35÷100	<2мА	≥30	<0,5	<200	[<4000]	Т35
ГТ906А(М)	p-n-p	75	75 (130)	6 А	[15] (300)	30÷150	[<8мА]	≥30	<0,5	–	[<5000]	Т35 (Т38)
КТ201А(М)	n-p-n	20	20	30 (100)	0,15	20÷60	<1	≥10	–	<20	–	Т1а (Т19а)
КТ201Б(М)	n-p-n	20	20	30 (100)	0,15	30÷90	<1	≥10	–	<20	–	Т1а (Т19а)
КТ201В(М)	n-p-n	10	10	30 (100)	0,15	30÷90	<1	≥10	–	<20	–	Т1а (Т19а)
КТ201Г(М)	n-p-n	10	10	30 (100)	0,15	70÷210	<1	≥10	–	<20	–	Т1а (Т19а)
КТ201Д(М)	n-p-n	10	10	30 (100)	0,15	30÷90	<1	≥10	–	<20	<15	Т1а (Т19а)
КТ203А(М)	p-n-p	60	60	10 (50)	0,15	≥9	<1	≥5	–	<10	–	Т1а (Т19а)
КТ203Б(М)	p-n-p	30	30	10 (50)	0,15	30÷150	<1	≥5	<1	<10	–	Т1а (Т19а)
КТ203В(М)	p-n-p	15	15	10 (50)	0,15	30÷200	<1	≥5	<0,5	<10	–	Т1а (Т19а)
КТ208А(1)	p-n-p	20	20	150 (300)	0,2	20÷60	<1	≥5	<0,4	<50	–	Т1б (Т19а)
КТ208Б(1)	p-n-p	20	20	150 (300)	0,2	40÷120	<1	≥5	<0,4	<50	–	Т1б (Т19а)
КТ208В(1)	p-n-p	20	20	150 (300)	0,2	80÷240	<1	≥5	<0,4	<50	≤4	Т1б (Т19а)
КТ208Г(1)	p-n-p	30	30	150 (300)	0,2	20÷60	<1	≥5	<0,4	<50	–	Т1б (Т19а)
КТ208Д(1)	p-n-p	30	30	150 (300)	0,2	40÷120	<1	≥5	<0,4	<50	–	Т1б (Т19а)
КТ208Е(1)	p-n-p	30	30	150 (300)	0,2	80÷240	<1	≥5	<0,4	<50	≤4	Т1б (Т19а)
КТ208Ж(1)	p-n-p	45	45	150 (300)	0,2	20÷60	<1	≥5	<0,4	<50	–	Т1б (Т19а)
КТ208И(1)	p-n-p	45	45	150 (300)	0,2	40÷120	<1	≥5	<0,4	<50	–	Т1б (Т19а)
КТ208К(1)	p-n-p	45	45	150 (300)	0,2	80÷240	<1	≥5	<0,4	<50	≤4	Т1б (Т19а)
КТ208Л(1)	p-n-p	60	60	150 (300)	0,2	20÷60	<1	≥5	<0,4	<50	–	Т1б (Т19а)
КТ208М(1)	p-n-p	60	60	150 (300)	0,2	40÷120	<1	≥5	<0,4	<50	–	Т1б (Т19а)
КТ209А	p-n-p	15	15	300 (500)	0,2	20÷60	<1	≥5	<0,4	<50	–	Т19а (КБЭ)
КТ209Б	p-n-p	15	15	300 (500)	0,2	40÷120	<1	≥5	<0,4	<50	–	Т19а (КБЭ)
КТ209Б1	p-n-p	15	15	300 (500)	0,2	≥12	<1	≥5	<0,4	<50	–	Т19а (КБЭ)
КТ209В	p-n-p	15	15	300 (500)	0,2	80÷240	<1	≥5	<0,4	<50	<5	Т19а (КБЭ)
КТ209В1	p-n-p	15	15	300 (500)	0,2	≥30	<1	≥5	<0,4	<50	<5	Т19а (КБЭ)
КТ209В2	p-n-p	15	15	300 (500)	0,2	≥200	<1	≥5	<0,4	<50	<5	Т19а (КБЭ)
КТ209Г	p-n-p	30	30	300 (500)	0,2	20÷60	<1	≥5	<0,4	<50	–	Т19а (КБЭ)
КТ209Д	p-n-p	30	30	300 (500)	0,2	40÷120	<1	≥5	<0,4	<50	–	Т19а (КБЭ)
КТ209Е	p-n-p	30	30	300 (500)	0,2	80÷240	<1	≥5	<0,4	<50	<5	Т19а (КБЭ)
КТ209Ж	p-n-p	45	45	300 (500)	0,2	20÷60	<1	≥5	<0,4	<50	–	Т19а (КБЭ)
КТ209И	p-n-p	45	45	300 (500)	0,2	40÷120	<1	≥5	<0,4	<50	–	Т19а (КБЭ)
КТ209К	p-n-p	45	45	300 (500)	0,2	80÷160	<1	≥5	<0,4	<50	<5	Т19а (КБЭ)
КТ209Л	p-n-p	60	60	300 (500)	0,2	20÷60	<1	≥5	<0,4	<50	–	Т19а (КБЭ)
КТ209М	p-n-p	60	60	300 (500)	0,2	40÷120	<1	≥5	<0,4	<50	–	Т19а (КБЭ)
КТ306А(М)	n-p-n	15	10	30 (50)	0,15	20÷60	<0,5	≥300	<0,3	<5	<8	Т31б (Т19а)
КТ306Б(М)	n-p-n	15	10	30 (50)	0,15	40÷120	<0,5	≥500	<0,3	<5	<8	Т31б (Т19а)
КТ306В(М)	n-p-n	15	10	30 (50)	0,15	20÷100	<0,5	≥300	<0,3	<5	<8	Т31б (Т19а)
КТ306Г(М)	n-p-n	15	10	30 (50)	0,15	40÷200	<0,5	≥500	<0,3	<5	<8	Т31б (Т19а)
КТ306Д(М)	n-p-n	15	10	30 (50)	0,15	30÷150	<0,5	≥200	<0,3	<5	<8	Т31б (Т19а)

Тип транзистора	Структура	$U_{КБО}$ (и), В	$U_{КЭR}$ (гр) (и) В	$I_{К\ max}$ (и), мА	$P_{К\ max}$ (т) (и), Вт	$h_{21э}$	$I_{КБО}$ (300), мкА	$f_{гр.}$ МГц	$U_{КЭН}$, В [$K_р$], дБ	$C_К$, пФ	$K_ш$, дБ [$t_{уст}$], нс	№ рис.
КТ3101А-2	n-p-n	15	15	20 (40)	0,1	35÷300	<0,5	≥2250	[6÷9,8]	<1,5	<4,5	Т18
КТ3102А(М)	n-p-n	50	50	200 (250)	0,25	100÷200	<0,05	≥200	–	<6	<10	Т1а (Т19а)
КТ3102Б(М)	n-p-n	50	50	200 (250)	0,25	200÷500	<0,05	≥200	–	<6	<10	Т1а (Т19а)
КТ3102В(М)	n-p-n	30	30	200 (250)	0,25	200÷500	<0,015	≥200	–	<6	<10	Т1а (Т19а)
КТ3102Г(М)	n-p-n	20	20	200 (250)	0,25	400÷1000	<0,015	≥300	–	<6	<10	Т1а (Т19а)
КТ3102Д(М)	n-p-n	30	30	200 (250)	0,25	200÷500	<0,015	≥200	–	<6	<4	Т1а (Т19а)
КТ3102Е(М)	n-p-n	20	20	200 (250)	0,25	400÷1000	<0,015	≥300	–	<6	<4	Т1а (Т19а)
КТ3102К(М)	n-p-n	50	50	200 (250)	0,25	100÷250	<0,05	≥200	–	<6	–	Т1а (Т19а)
КТ3102И(М)	n-p-n	50	50	200 (250)	0,25	200÷500	<0,05	≥200	–	<6	–	Т1а (Т19а)
КТ3102К(М)	n-p-n	30	30	200 (250)	0,25	200÷500	<0,015	≥200	–	<6	–	Т1а (Т19а)
КТ3107А	p-n-p	50	45	100 (200)	0,3	70÷140	<0,1	≥250	<0,2	<7	<10	Т19а (КБЭ)
КТ3107Б	p-n-p	50	45	100 (200)	0,3	120÷220	<0,1	≥250	<0,2	<7	<10	Т19а (КБЭ)
КТ3107В	p-n-p	30	25	100 (200)	0,3	70÷140	<0,1	≥250	<0,2	<7	<10	Т19а (КБЭ)
КТ3107Г	p-n-p	30	25	100 (200)	0,3	120÷220	<0,1	≥350	<0,2	<7	<10	Т19а (КБЭ)
КТ3107Д	p-n-p	30	25	100 (200)	0,3	180÷460	<0,1	≥250	<0,2	<7	<10	Т19а (КБЭ)
КТ3107Е	p-n-p	25	20	100 (200)	0,3	120÷220	<0,1	≥350	<0,2	<7	<4	Т19а (КБЭ)
КТ3107Ж	p-n-p	25	20	100 (200)	0,3	180÷460	<0,1	≥250	<0,2	<7	<4	Т19а (КБЭ)
КТ3107И	p-n-p	50	45	100 (200)	0,3	180÷460	<0,1	≥250	<0,2	<7	<10	Т19а (КБЭ)
КТ3107К	p-n-p	30	25	100 (200)	0,3	380÷800	<0,1	≥250	<0,2	<7	<10	Т19а (КБЭ)
КТ3107Л	p-n-p	25	20	100 (200)	0,3	380÷800	<0,1	≥250	<0,2	<7	<4	Т19а (КБЭ)
КТ3108А(1)	p-n-p	60	60	200	0,3 (0,36)	50÷150	<0,2	≥250	<0,25	1,4÷5	<6	Т1а (Т19а)
КТ3108Б(1)	p-n-p	45	45	200	0,3 (0,36)	50÷150	<0,2	≥250	<0,25	1,4÷5	<6	Т1а (Т19а)
КТ3108В(1)	p-n-p	45	45	200	0,3 (0,36)	100÷300	<0,2	≥300	<0,25	1,4÷5	<6	Т1а (Т19а)
КТ3109А(1)	p-n-p	30	25	50	0,17	20÷200	<0,1	≥800	[>15]	<1	<6	Т24 (Т13)
КТ3109Б(1)	p-n-p	25	20	50	0,17	20÷200	<0,1	≥800	[>13]	<1	<7	Т24 (Т13)
КТ3109В(1)	p-n-p	25	20	50	0,17	15÷200	<0,1	≥800	[>13]	<1	<8	Т24 (Т13)
КТ3115А-2	n-p-n	10	10	8,5	0,07	15÷100	<0,5	≥5800	[>5]	<0,6	<5	Т166
КТ3115В-2	n-p-n	10	10	8,5	0,07	15÷110	<0,5	≥5800	[>5]	<0,6	<4,6	Т166
КТ3115Г-2	n-p-n	7	7	8,5	0,05	15÷110	<0,5	≥5800	[>4,4]	<0,6	<4	Т166
КТ3115Д-2	n-p-n	7	7	8,5	0,05	70÷150	<0,5	≥5800	[>8]	<0,6	<2,5	Т166
КТ3115А9	n-p-n	10	10	8,5	0,07	≥70	<0,1	≥6500	[>15]	<0,5	<2	Т29
КТ3117А(1)	n-p-n	60	60	400 (800)	0,3	40÷200	<10	≥200	<0,6	<10	[<80]	Т1а (Т19а)
КТ3117Б	n-p-n	75	75	400 (800)	0,3	100÷300	<10	≥200	<0,6	<10	[<80]	Т1а
КТ312А	n-p-n	20	20	30 (60)	0,225	10÷100	<10	≥80	<0,8	<5	[<100]	Т31а
КТ312Б	n-p-n	35	35	30 (60)	0,225	25÷100	<10	≥120	<0,8	<5	[<130]	Т31а
КТ312В	n-p-n	20	20	30 (60)	0,225	50÷280	<10	≥120	<0,8	<5	[<130]	Т31а
КТ3120А(М)	n-p-n	15	15	20 (40)	0,1	≥40	<0,5	≥1800	[>10]	<2	<2	Т13
КТ3123А-2(М)	p-n-p	15	12	30 (50)	0,15	20÷120	<25	≥4000	[5÷13]	0,5÷1	<3	Т166 (Т24)
КТ3123Б-2(М)	p-n-p	15	12	30 (50)	0,15	20÷120	<25	≥4000	[5÷13]	0,5÷1	<4	Т166 (Т24)
КТ3123В-2(М)	p-n-p	10	10	30 (50)	0,15	20÷120	<25	≥3000	[5÷13]	0,5÷1	<3	Т166 (Т24)
КТ3126А	p-n-p	30	30	30	0,15	25÷100	<0,5	≥500	<1,2	<1,8	<5	Т19а
КТ3126Б	p-n-p	30	30	30	0,15	60÷180	<0,5	≥500	<1,2	<1,8	<5	Т19а
КТ3127А	p-n-p	20	20	25	0,1	25÷150	<1	≥600	–	<1	<5	Т1а
КТ3128А	p-n-p	40	40	20	0,1	15÷150	<1	≥700	[>14]	–	<5	Т1а
КТ3128А1	p-n-p	35	35	30	0,3	35÷150	<0,1	≥800	[>14]	–	<5	Т19а
КТ3128Б1	p-n-p	35	35	30	0,3	25÷150	<0,1	≥800	[>14]	–	<5	Т19а
КТ3129А9	p-n-p	50	40	100 (200)	0,15	30÷120	<1	≥200	<0,2	<10	–	Т29
КТ3129Б9	p-n-p	50	40	100 (200)	0,15	80÷250	<1	≥200	<0,2	<10	–	Т29
КТ3129В9	p-n-p	30	20	100 (200)	0,15	80÷250	<1	≥200	<0,2	<10	–	Т29
КТ3129Г9	p-n-p	30	20	100 (200)	0,15	200÷500	<1	≥200	<0,2	<10	–	Т29
КТ3129Д9	p-n-p	20	20	100 (200)	0,15	200÷500	<1	≥200	<0,2	<10	–	Т29
КТ313А(1)	p-n-p	60	50	350 (700)	0,3	30÷120	<0,5	≥200	<0,5	<12	–	Т1а (Т19а)
КТ313Б(1)	p-n-p	60	50	350 (700)	0,3	80÷300	<0,5	≥200	<0,5	<12	–	Т1а (Т19а)
КТ313В1	p-n-p	50	45	350 (700)	0,3	200÷520	<0,5	≥200	<0,5	<12	–	Т19а
КТ313Г1	p-n-p	30	25	350 (700)	0,3	400÷800	<0,5	≥200	<0,5	<12	–	Т19а
КТ3130А9	n-p-n	50	40	100	0,1	100÷250	<0,1	≥150	–	<12	–	Т29
КТ3130Б9	n-p-n	50	40	100	0,1	200÷500	<0,1	≥150	–	<12	–	Т29
КТ3130В9	n-p-n	30	20	100	0,1	200÷500	<0,1	≥150	–	<12	–	Т29
КТ3130Г9	n-p-n	20	15	100	0,1	400÷1000	<0,1	≥300	–	<12	–	Т29

Тип транзистора	Структура	$U_{КБО}$ (и), В	$U_{КЭR}$ (гр) (и) В	$I_{К\ max}$ (и), мА	$P_{К\ max}$ (т) (и), Вт	$h_{21э}$	$I_{КБО}$ (кэо), мкА	$f_{гр}$, МГц	$U_{КЭН}$, В ($K_р$), дБ	$C_К$, пФ	$K_ш$, дБ ($t_{рас}$), нс	№ рис.
КТ3130Д9	п-р-п	30	20	100	0,1	200÷500	<0,1	≥150	–	<12	<4	Т29
КТ3130Е9	п-р-п	20	15	100	0,1	400÷1000	<0,1	≥300	–	<12	<4	Т29
КТ3130Ж9	п-р-п	30	25	100	0,1	100÷500	<0,1	≥150	–	<12	<4	Т29
КТ3132А-2	п-р-п	10	10	8,5	0,07	15 ÷ 150	<0,5	≥5500	[>6]	<5,5	<2,5	Т15
КТ3132Б-2	п-р-п	10	10	8,5	0,07	15 ÷ 150	<0,5	≥5500	[>4]	<5,5	<5	Т15
КТ3132В-2	п-р-п	10	10	8,5	0,07	15 ÷ 150	<0,5	≥5500	[>5]	<5,5	<5	Т15
КТ3132Г-2	п-р-п	10	10	8,5	0,07	15 ÷ 150	<0,5	≥5500	[>6]	<5,5	<3,6	Т15
КТ3132Д-2	п-р-п	10	10	8,5	0,07	≥20	<0,4	≥5500	[>4]	<5,5	<2	Т15
КТ3132Е-2	п-р-п	10	10	8,5	0,07	≥70	<0,5	≥5500	[>6]	<5,5	<2,5	Т15
КТ315А	п-р-п	–	25	100	0,15	30÷120	[<1]	≥250	<0,4	<7	–	Т12а (ЭКБ)
КТ315Б	п-р-п	–	20	100	0,15	50÷350	[<1]	≥250	<0,4	<7	–	Т12а (ЭКБ)
КТ315В	п-р-п	–	40	100	0,15	30÷120	[<1]	≥250	<0,4	<7	–	Т12а (ЭКБ)
КТ315Г	п-р-п	–	35	100	0,15	50÷350	[<1]	≥250	<0,4	<7	–	Т12а (ЭКБ)
КТ315Г1	п-р-п	–	35	100	0,15	100÷350	[<1]	≥250	<0,4	<7	–	Т12а (ЭКБ)
КТ315Д	п-р-п	–	40	100	0,15	20÷90	[<1]	≥250	<0,6	<7	–	Т12а (ЭКБ)
КТ315Е	п-р-п	–	35	100	0,15	50÷350	[<1]	≥250	<0,6	<7	–	Т12а (ЭКБ)
КТ315Ж	п-р-п	–	20	50	0,1	30÷250	[<10]	≥250	<0,5	<10	–	Т12а (ЭКБ)
КТ315И	п-р-п	–	60	50	0,1	≥30	[<100]	≥250	<0,9	<10	–	Т12а (ЭКБ)
КТ315Н	п-р-п	–	20	100	0,1	50÷350	[<1]	≥250	<0,4	<7	–	Т12а (ЭКБ)
КТ315Р	п-р-п	–	35	100	0,1	150÷350	[<1]	≥250	<0,4	<7	–	Т12а (ЭКБ)
КТ3157А	р-п-р	250	250	30 (100)	0,2	≥50	<0,1	≥60	<1	<3	–	Т19б (КЭБ)
КТ316А(М)	п-р-п	10	10	30 (50)	0,15	20÷60	<0,5	≥600	<0,4	<3	[<10]	Т1а (Т19а)
КТ316Б(М)	п-р-п	10	10	30 (50)	0,15	40÷120	<0,5	≥800	<0,4	<3	[<10]	Т1а (Т19а)
КТ316В(М)	п-р-п	10	10	30 (50)	0,15	40÷120	<0,5	≥800	<0,4	<3	[<15]	Т1а (Т19а)
КТ316Г(М)	п-р-п	10	10	30 (50)	0,15	20÷100	<0,5	≥600	<0,4	<3	–	Т1а (Т19а)
КТ316Д(М)	п-р-п	10	10	30 (50)	0,15	60÷300	<0,5	≥800	<0,4	<3	–	Т1а (Т19а)
КТ3165А	р-п-р	40	35	30	0,16	≥25	<0,1	≥750	–	<0,65	<8	Т24
КТ3168А9	п-р-п	15	15	28 (56)	0,18	60÷180	<0,5	≥3000	[>7]	<1,5	<3	Т29
КТ325А(М)	п-р-п	15	15	30 (60)	0,225	30÷90	<0,5	≥800	–	<2,5	–	Т31 (Т19б)
КТ325Б(М)	п-р-п	15	15	30 (60)	0,225	70÷210	<0,5	≥800	–	<2,5	–	Т31 (Т19б)
КТ325В(М)	п-р-п	15	15	30 (60)	0,225	160÷400	<0,5	≥1000	–	<2,5	–	Т31 (Т19б)
КТ326А(М)	р-п-р	20	15	50	0,2	20÷70	<0,5	≥250	<0,3	<5	–	Т1а (Т19а)
КТ326Б(М)	р-п-р	20	15	50	0,2	45÷160	<0,5	≥400	<0,3	<5	–	Т1а (Т19а)
КТ339А(М)	п-р-п	40	25	25	0,26	≥25	<1	≥300	[>24]	<2	–	Т1б (Т19б)
КТ342А(М)	п-р-п	–	30	50 (300)	0,25	100÷250	<0,05	≥250	<0,1	<8	–	Т1а (Т19а)
КТ342Б(М)	п-р-п	–	25	50 (300)	0,25	200÷500	<0,05	≥300	<0,1	<8	–	Т1а (Т19а)
КТ342В(М)	п-р-п	–	10	50 (300)	0,25	400÷1000	<0,05	≥300	<0,1	<8	–	Т1а (Т19а)
КТ342ГМ	п-р-п	–	30	50 (300)	0,25	100÷250	<0,05	≥250	<0,1	<8	–	Т19а (КБЭ)
КТ342ДМ	п-р-п	–	25	50 (300)	0,25	200÷500	<0,05	≥150	<0,1	<8	–	Т19а (КБЭ)
КТ345А	р-п-р	20	20	200 (300)	0,3 (0,6)	20÷60	<0,5	≥350	<0,3	<15	[<70]	Т19а (КБЭ)
КТ345Б	р-п-р	20	20	200 (300)	0,3 (0,6)	50÷85	<0,5	≥350	<0,3	<15	[<70]	Т19а (КБЭ)
КТ345В	р-п-р	20	20	200 (300)	0,3 (0,6)	70÷105	<0,5	≥350	<0,3	<15	[<70]	Т19а (КБЭ)
КТ347А	р-п-р	15	15	50 (110)	0,15	30÷400	<1	≥500	<0,3	<6	[<25]	Т1а
КТ347Б	р-п-р	9	9	50 (110)	0,15	30÷400	<1	≥500	<0,3	<6	[<25]	Т1а
КТ347В	р-п-р	6	6	50 (110)	0,15	50÷400	<1	≥500	<0,3	<6	[<40]	Т1а
КТ349А	р-п-р	20	15	(40)	0,2	20÷80	<1	≥300	<0,3	<6	–	Т1а,Т19а
КТ349Б	р-п-р	20	15	(40)	0,2	40÷160	<1	≥300	<0,3	<6	–	Т1а,Т19а
КТ349В	р-п-р	20	15	(40)	0,2	120÷300	<1	≥300	<0,3	<6	–	Т1а,Т19а
КТ350А	р-п-р	20	15	(600)	0,3	20÷200	<1	≥100	<1	<70	–	Т19а (КБЭ)
КТ351А	р-п-р	20	15	(400)	0,3	20÷80	<1	≥200	<0,6	<20	–	Т19а (КБЭ)
КТ351Б	р-п-р	20	15	(400)	0,3	50÷200	<1	≥200	<0,9	<20	–	Т19а (КБЭ)
КТ352А	р-п-р	20	15	(200)	0,3	25÷120	<1	≥200	<0,6	<15	–	Т19а (КБЭ)
КТ352Б	р-п-р	20	15	(200)	0,3	70÷300	<1	≥200	<0,6	<15	[<150]	Т19а (КБЭ)
КТ355АМ	п-р-п	15	15	30 (60)	0,225	80÷300	<0,5	≥1500	–	<2	–	Т19а (КБЭ)
КТ361А	р-п-р	25	25	100	0,15	20÷90	<1	≥250	<0,4	<9	–	Т12а (ЭКБ)
КТ361А1	р-п-р	25	25	100	0,15	20÷90	<1	≥150	<0,4	<9	–	Т12а (ЭКБ)
КТ361Б	р-п-р	20	20	100	0,15	50÷350	<1	≥250	<0,4	<9	–	Т12а (ЭКБ)
КТ361В	р-п-р	40	40	100	0,15	40÷160	<1	≥250	<0,4	<7	–	Т12а (ЭКБ)

Тип транзистора	Структура	$U_{КБО}$ (и), В	$U_{КЭR}$ (гр) (и) В	$I_{К\ max}$ (и), мА	$P_{К\ max}$ (т) (и), Вт	$h_{21Э}$	$I_{КБО}$ (кэо), мкА	$f_{гр.}$ МГц	$U_{КЭН}$, В (Кр), дБ	$C_К$, пФ	$K_ш$, дБ ($t_{рас}$), мс	№ рис.
КТ361Г	р-п-р	35	35	100	0,15	50÷350	<1	≥250	<0,4	<7	–	Т12а (ЭКБ)
КТ361Г1	р-п-р	35	35	100	0,15	100÷350	<0,1	≥250	<0,4	<7	–	Т12а (ЭКБ)
КТ361Д	р-п-р	40	40	50	0,15	20÷90	<1	≥250	<1	<7	–	Т12а (ЭКБ)
КТ361Д1	р-п-р	40	40	50	0,15	20÷90	<1	≥150	<1	<7	–	Т12а (ЭКБ)
КТ361Е	р-п-р	35	35	50	0,15	50÷350	<1	≥250	<1	<7	–	Т12а (ЭКБ)
КТ361Ж	р-п-р	10	10	50	0,15	50÷350	<1	≥250	<1	<9	–	Т12а (ЭКБ)
КТ361И	р-п-р	15	15	50	0,15	≥250	<1	≥250	–	<9	–	Т12а (ЭКБ)
КТ361К	р-п-р	60	60	50	0,15	50÷350	<1	≥250	–	<7	–	Т12а (ЭКБ)
КТ361Л	р-п-р	20	20	100	0,15	50 ÷ 350	<0,1	≥250	<0,3	<9	–	Т12а (ЭКБ)
КТ361М	р-п-р	40	40	100	0,15	70 ÷ 160	<0,05	≥250	<0,3	<7	–	Т12а (ЭКБ)
КТ361Н	р-п-р	45	45	50	0,15	20 ÷ 90	<0,5	≥150	<1	<7	–	Т12а (ЭКБ)
КТ361П	р-п-р	50	50	50	0,15	100 ÷ 350	<0,1	≥300	<0,3	<7	–	Т12а (ЭКБ)
КТ363А(М)	р-п-р	15	15	30 (50)	0,15	20÷120	<0,5	≥1200	<0,35	<2	[<10]	Т1а (Т19а)
КТ363Б(М)	р-п-р	15	12	30 (50)	0,15	40÷120	<0,5	≥1500	<0,35	<2	[<5]	Т1а (Т19а)
КТ368А(М)	п-р-п	15	15	30 (60)	0,225	50÷450	<0,5	≥900	–	<1,7	<3,3	Т3а (Т19а)
КТ368Б(М)	п-р-п	15	15	30 (60)	0,225	50÷450	<0,5	≥900	–	<1,7	–	Т3а (Т19а)
КТ371А	п-р-п	10	10	20 (40)	0,1	30÷240	<0,5	≥3000	–	<1,5	<5	Т13
КТ372А	п-р-п	15	15	10	0,05	≥10	<0,5	≥2400	[>10]	<1	<3,5	Т17а
КТ372Б	п-р-п	15	15	10	0,05	≥10	<0,5	≥3000	[>10]	<1	<5,5	Т17а
КТ372В	п-р-п	15	15	10	0,05	≥10	<0,5	≥2400	[>10]	<1	<5,5	Т17а
КТ382А(М)	п-р-п	15	10	20 (40)	0,1	40÷330	<0,5	≥1800	–	<2	<3	Т13 (Т13)
КТ382Б(М)	п-р-п	15	10	20 (40)	0,1	40÷330	<0,5	≥1800	–	<2	<4,5	Т13 (Т13)
КТ391А-2	п-р-п	15	10	10	0,07	20÷150	<0,5	≥5000	[>6]	<0,7	<4,5	Т16б
КТ391Б-2	п-р-п	15	10	10	0,07	20÷150	<0,5	≥5000	[>6]	<0,7	<5,5	Т16б
КТ391В-2	п-р-п	10	10	10	0,07	20÷150	<0,5	≥4000	[>4]	<0,7	<6	Т16б
КТ399А	п-р-п	15	15	20 (40)	0,15	40 ÷ 170	<0,5	≥1800	[>11,5]	<1,7	<2	Т3а
КТ399АМ	п-р-п	15	15	30 (60)	0,15	40 ÷ 170	<0,5	≥1800	[>11,5]	<1,7	<2	Т19а (КБЭ)
КТ501А	р-п-р	15	15	300 (500)	0,35	20÷60	<1	≥5	0,4	<50	–	Т16
КТ501Б	р-п-р	15	15	300 (500)	0,35	40÷120	<1	≥5	0,4	<50	–	Т16
КТ501В	р-п-р	15	15	300 (500)	0,35	80÷240	<1	≥5	0,4	<50	<4	Т16
КТ501Г	р-п-р	30	30	300 (500)	0,35	20÷60	<1	≥5	0,4	<50	–	Т16
КТ501Д	р-п-р	30	30	300 (500)	0,35	40÷120	<1	≥5	0,4	<50	–	Т16
КТ501Е	р-п-р	30	30	300 (500)	0,35	80÷240	<1	≥5	0,4	<50	<4	Т16
КТ501Ж	р-п-р	45	45	300 (500)	0,35	20÷60	<1	≥5	0,4	<50	–	Т16
КТ501И	р-п-р	45	45	300 (500)	0,35	40÷120	<1	≥5	0,4	<50	–	Т16
КТ501К	р-п-р	45	45	300 (500)	0,35	80÷240	<1	≥5	0,4	<50	<4	Т16
КТ501Л	р-п-р	60	60	300 (500)	0,35	20÷60	<1	≥5	0,4	<50	–	Т16
КТ501М	р-п-р	60	60	300 (500)	0,35	40÷120	<1	≥5	0,4	<50	–	Т16
КТ502А	р-п-р	40	[25]	150 (350)	0,35	40÷120	<1	≥5	<0,6	<20	–	Т19а (КБЭ)
КТ502Б	р-п-р	40	[25]	150 (350)	0,35	80÷240	<1	≥5	<0,6	<20	–	Т19а (КБЭ)
КТ502В	р-п-р	60	[40]	150 (350)	0,35	40÷120	<1	≥5	<0,6	<20	–	Т19а (КБЭ)
КТ502Г	р-п-р	60	[40]	150 (350)	0,35	80÷240	<1	≥5	<0,6	<20	–	Т19а (КБЭ)
КТ502Д	р-п-р	80	[60]	150 (350)	0,35	40÷120	<1	≥5	<0,6	<20	–	Т19а (КБЭ)
КТ502Е	р-п-р	90	[80]	150 (350)	0,35	40÷120	<1	≥5	<0,6	<20	–	Т19а (КБЭ)
КТ503А	п-р-п	40	[25]	150 (350)	0,35	40÷120	<1	≥5	<0,6	<20	–	Т19а (КБЭ)
КТ503Б	п-р-п	40	[25]	150 (350)	0,35	80÷240	<1	≥5	<0,6	<20	–	Т19а (КБЭ)
КТ503В	п-р-п	60	[40]	150 (350)	0,35	40÷120	<1	≥5	<0,6	<20	–	Т19а (КБЭ)
КТ503Г	п-р-п	60	[40]	150 (350)	0,35	80÷240	<1	≥5	<0,6	<20	–	Т19а (КБЭ)
КТ503Д	п-р-п	80	[60]	150 (350)	0,35	40÷120	<1	≥5	<0,6	<20	–	Т19а (КБЭ)
КТ503Е	п-р-п	100	[80]	150 (350)	0,35	40÷120	<1	≥5	<0,6	<20	–	Т19а (КБЭ)
КТ504А	п-р-п	400	350	1 (2) А	1 [10]	15÷100	<100	≥20	<1	<30	[<2,7]	Т5
КТ504Б	п-р-п	250	200	1 (2) А	1 [10]	15÷100	<100	≥20	<1	<30	[<2,7]	Т5
КТ504В	п-р-п	300	275	1 (2) А	1 [10]	15÷100	<100	≥20	<1	<30	[<2,7]	Т5
КТ505А	р-п-р	300	300	1 (2) А	1 [10]	25÷140	<100	≥20	<1,8	<70	[<2,6]	Т5
КТ505Б	р-п-р	250	250	1 (2) А	1 [10]	25÷140	<100	≥20	<1,8	<70	[<2,6]	Т5
КТ506А	п-р-п	800	800	2 (5) А	0,8 [10]	30÷150	<1мА	≥10	<0,6	<40	[<1,6]	Т5
КТ506Б	п-р-п	600	600	2 (5) А	0,8 [10]	30÷150	<1мА	≥10	<0,6	<40	[<1,6]	Т5
2Т509А	р-п-р	500	450	20	0,3 [1]	15÷100	<0,5	≥15	<1	<2,9	–	Т5

Тип транзистора	Структура	$U_{КБО}$ (и) В	$U_{КЭR}$ [гр] (и) В	$I_{К\ max}$ (и) А	$P_{К\ max}$ [т] Вт	$h_{21э}$ [$P_{вых}$], Вт	$I_{КБО}$ [КЭО] мкА	$f_{гр}$, МГц	$U_{КЭН}$, В [$K_{ур}$], дБ	$C_К$, пФ	$t_{сп}$, мкс [$\tau_К$] пс	№ рис.
КТ601А(М)	п-р-п	100	100	0,03	0,25 [0,5]	≥16	[<300]	≥40	–	<15	[<15]	Т32 (Т22а)
КТ602А(М)	п-р-п	120	100	0,075 (0,5)	0,85 [2,8]	20÷80	<70	≥150	<3	<4	[<300]	Т33а (Т22а)
КТ602Б(М)	п-р-п	120	100	0,075 (0,5)	0,85 [2,8]	50÷200	<70	≥150	<3	<4	[<300]	Т33а (Т22а)
КТ602В	п-р-п	80	80	0,075 (0,5)	0,85 [2,8]	15÷80	<70	≥150	<3	<4	[<300]	Т33а
КТ602Г	п-р-п	80	80	0,075 (0,5)	0,85 [2,8]	≥50	<70	≥150	<3	<4	[<300]	Т33а
КТ603А	п-р-п	30	30	0,3 (0,6)	0,5	10÷80	<10	≥200	<1	<15	[<400]	Т32
КТ603Б	п-р-п	30	30	0,3 (0,6)	0,5	≥60	<10	≥200	<1	<15	[<400]	Т32
КТ603В	п-р-п	15	15	0,3 (0,6)	0,5	10÷80	<5	≥200	<1	<15	[<400]	Т32
КТ603Г	п-р-п	15	15	0,3 (0,6)	0,5	≥60	<5	≥200	<1	<15	[<400]	Т32
КТ603Д	п-р-п	10	10	0,3 (0,6)	0,5	20÷80	<1	≥200	<1	<15	[<400]	Т32
КТ603Е	п-р-п	10	10	0,3 (0,6)	0,5	60÷200	<1	≥200	<1	<15	[<400]	Т32
2Т603И	п-р-п	30	30	0,3 (0,6)	0,5	≥20	<3	≥200	<1,2	<15	[<400]	Т32
КТ604А(М)	п-р-п	300	250	0,2	0,8 (3)	10÷40	[<20]	≥40	<8	<7	–	Т33а (Т22а)
КТ604Б(М)	п-р-п	300	250	0,2	0,8 (3)	30÷120	[<20]	≥40	<8	<7	–	Т33а (Т22а)
КТ605А(М)	п-р-п	300	250	0,1 (0,2)	0,4	10÷40	[<20]	≥40	<8	<7	–	Т32 (Т22а)
КТ605Б(М)	п-р-п	300	250	0,1 (0,2)	0,4	30÷120	[<20]	≥40	<8	<7	–	Т32 (Т22а)
КТ606А	п-р-п	–	65 (70)	0,4 (0,8)	(2,5)	[>0,8]	[<1,5мА]	≥35	<1	<10	[<10]	Т8а
КТ606Б	п-р-п	–	65 (70)	0,4 (0,8)	(2,5)	[>0,6]	[<1,5мА]	≥35	<1	<10	[<12]	Т8а
КТ608А	п-р-п	60 (80)	60 (80)	0,4 (0,8)	0,5	20÷80	<10	–	<1	<15	–	Т32
КТ608Б	п-р-п	60 (80)	60 (80)	0,4 (0,8)	0,5	40÷160	<10	–	<1	<15	–	Т32
КТ610А	п-р-п	26	26	0,3	1,5	50÷300	<500	≥1000	–	<4,1	[<55]	Т14а
КТ610Б	п-р-п	26	26	0,3	1,5	20÷300	<500	≥700	–	<4,1	[<22]	Т14а
КТ611АМ	п-р-п	200	180	0,1	0,8 (3)	10÷40	[<100]	≥60	<0,8	<5	[<200]	Т22а (ЭКБ)
КТ611БМ	п-р-п	200	180	0,1	0,8 (3)	30÷120	[<100]	≥60	<0,8	<5	[<200]	Т22а (ЭКБ)
КТ6111А	п-р-п	50	45 [45]	0,1	0,45	60÷150	<0,05	≥150	<0,3	<3,5	$K_ш$<10	Т19в (ЭБК)
КТ6111Б	п-р-п	50	45 [45]	0,1	0,45	100÷300	<0,05	≥150	<0,3	<3,5	$K_ш$<10	Т19в (ЭБК)
КТ6111В	п-р-п	50	45 [45]	0,1	0,45	200÷600	<0,05	≥150	<0,3	<3,5	$K_ш$<10	Т19в (ЭБК)
КТ6111Г	п-р-п	50	45 [45]	0,1	0,45	400÷1000	<0,05	≥150	<0,3	<3,5	$K_ш$<10	Т19в (ЭБК)
КТ6112А	р-п-р	50	45 [45]	0,1	0,45	60÷150	<0,05	≥100	<0,7	<7	$K_ш$<10	Т19в (ЭБК)
КТ6112Б	р-п-р	50	45 [45]	0,1	0,45	100÷300	<0,05	≥100	<0,7	<7	$K_ш$<10	Т19в (ЭБК)
КТ6112В	р-п-р	50	45 [45]	0,1	0,45	200÷600	<0,05	≥100	<0,7	<7	$K_ш$<10	Т19в (ЭБК)
КТ6113А	п-р-п	30	15 [15]	0,05	0,4	28÷45	<0,05	≥700	<0,5	<1,7	–	Т19в (ЭБК)
КТ6113Б	п-р-п	30	15 [15]	0,05	0,4	39÷60	<0,05	≥700	<0,5	<1,7	–	Т19в (ЭБК)
КТ6113В	п-р-п	30	15 [15]	0,05	0,4	54÷80	<0,05	≥700	<0,5	<1,7	–	Т19в (ЭБК)
КТ6113Г	п-р-п	30	15 [15]	0,05	0,4	72÷108	<0,05	≥700	<0,5	<1,7	–	Т19в (ЭБК)
КТ6113Д	п-р-п	30	15 [15]	0,05	0,4	97÷146	<0,05	≥700	<0,5	<1,7	–	Т19в (ЭБК)
КТ6113Е	п-р-п	30	15 [15]	0,05	0,4	132÷198	<0,05	≥700	<0,5	<1,7	–	Т19в (ЭБК)
КТ6114А	п-р-п	40	25 [25]	1,5	1	85÷160	<0,1	≥100	<0,5	9	–	Т19в (ЭБК)
КТ6114Б	п-р-п	40	25 [25]	1,5	1	120÷200	<0,1	≥100	<0,5	9	–	Т19в (ЭБК)
КТ6114В	п-р-п	40	25 [25]	1,5	1	160÷300	<0,1	≥100	<0,5	9	–	Т19в (ЭБК)
КТ6114Г	п-р-п	40	25 [25]	1,1	0,7	85÷160	<0,1	≥100	<0,5	9	–	Т19в (ЭБК)
КТ6114Д	п-р-п	40	25 [25]	1,1	0,7	120÷200	<0,1	≥100	<0,5	9	–	Т19в (ЭБК)
КТ6114Е	п-р-п	40	25 [25]	1,1	0,7	160÷300	<0,1	≥100	<0,5	9	–	Т19в (ЭБК)
КТ6115А	р-п-р	40	25 [25]	1,5	1	85÷160	<0,1	≥100	<0,5	15	–	Т19в (ЭБК)
КТ6115Б	р-п-р	40	25 [25]	1,5	1	120÷200	<0,1	≥100	<0,5	15	–	Т19в (ЭБК)
КТ6115В	р-п-р	40	25 [25]	1,5	1	160÷300	<0,1	≥100	<0,5	15	–	Т19в (ЭБК)
КТ6115Г	р-п-р	40	25 [25]	1,1	0,7	85÷160	<0,1	≥100	<0,5	15	–	Т19в (ЭБК)
КТ6115Д	р-п-р	40	25 [25]	1,1	0,7	120÷200	<0,1	≥100	<0,5	15	–	Т19в (ЭБК)
КТ6115Е	р-п-р	40	25 [25]	1,1	0,7	160÷300	<0,1	≥100	<0,5	15	–	Т19в (ЭБК)
КТ6116А	р-п-р	160	150	0,6	0,625	60÷240	<0,05	≥100	<0,5	<6	–	Т19в (ЭБК)
КТ6116Б	р-п-р	130	120	0,6	0,625	40÷180	<0,1	≥100	<0,5	<6	–	Т19в (ЭБК)
КТ6117А	п-р-п	180	160	0,6	0,625	80÷250	<0,05	≥100	<0,2	<6	–	Т19в (ЭБК)
КТ6117Б	п-р-п	160	140	0,6	0,625	60÷250	<0,1	≥100	<0,25	<6	–	Т19в (ЭБК)
КТ6127А	р-п-р	–	90	2	0,8	≥30	[<20]	≥150	<0,15	–	–	Т19а (КБЭ)
КТ6127Б	р-п-р	–	70	2	0,8	≥30	[<20]	≥150	<0,15	–	–	Т19а (КБЭ)
КТ6127В	р-п-р	–	50	2	0,8	≥50	[<20]	≥150	<0,3	–	–	Т19а (КБЭ)
КТ6127Г	р-п-р	–	30	2	0,8	≥50	[<20]	≥150	<0,3	–	–	Т19а (КБЭ)
КТ6127Д	р-п-р	–	20	2	0,8	≥50	[<20]	≥150	<0,3	–	–	Т19а (КБЭ)
КТ6127Е	р-п-р	–	10	2	0,8	≥50	[<20]	≥150	<0,3	–	–	Т19а (КБЭ)
КТ6127Ж	р-п-р	–	120	2	0,8	≥30	[<20]	≥150	<0,2	–	–	Т19а (КБЭ)
КТ6127И	р-п-р	–	160	2	0,8	≥30	[<20]	≥150	<0,2	–	–	Т19а (КБЭ)
КТ6127К	р-п-р	–	200	2	0,8	≥30	[<20]	≥150	<0,25	–	–	Т19а (КБЭ)
КТ626А	р-п-р	45	45	0,5 (1,5)	[6,5]	40÷250	<10	≥75	<1	<150	[<500]	Т22б (БКЭ)
КТ626Б	р-п-р	60	60	0,5 (1,5)	[6,5]	30÷100	<50	≥75	<1	<150	[<500]	Т22б (БКЭ)
КТ626В	р-п-р	80	80	0,5 (1,5)	[6,5]	40÷120	<50	≥75	<1	<150	[<500]	Т22б (БКЭ)

Тип транзистора	Структура	$U_{КБО}$ (и) В	$U_{КЭR}$ (гр) (и) В	$I_{К\ max}$ (и) А	$P_{К\ max}$ (т) Вт	$h_{21э}$ [$P_{вых}$], Вт	$I_{КБО}$ (КЭО) мкА	$f_{гр}$ МГц	$U_{КЭН}$, В [$K_{УР}$], дБ	$C_К$, пФ	$t_{СП}$, мкс [$\tau_К$] пс	№ рис.
КТ626Г	р-п-р	20	20	0,5 (1,5)	[6,5]	15÷60	<150	≥45	<1	<150	[<500]	Т22б (БКЭ)
КТ626Д	р-п-р	20	20	0,5 (1,5)	[6,5]	40÷250	<150	≥45	<1	<150	[<500]	Т22б (БКЭ)
КТ626Е	р-п-р	30	30	1,5	[6,5]	80÷160	<100	≥80	<0,25	–	[<500]	Т22б (БКЭ)
КТ626Ж	р-п-р	25	25	1,5	[6,5]	≥150	<100	≥80	<0,25	–	[<500]	Т22б (БКЭ)
КТ630А	п-р-п	120	120	1 (2)	0,8	40÷120	<1	≥50	<0,3	<15	–	Т5
КТ630Б	п-р-п	120	120	1 (2)	0,8	80÷240	<1	≥50	<0,3	<15	–	Т5
КТ630В	п-р-п	150	150	1 (2)	0,8	40÷120	<1	≥50	<0,3	<15	–	Т5
КТ630Г	п-р-п	100	100	1 (2)	0,8	40÷120	<1	≥50	<0,3	<15	–	Т5
КТ630Д	п-р-п	60	60	1 (2)	0,8	80÷240	<1	≥50	<0,3	<15	–	Т5
КТ630Е	п-р-п	60	60	1 (2)	0,8	160÷480	<1	≥50	<0,3	<15	–	Т5
2Т632А	р-п-р	120	120	0,1 (0,35)	0,5 (1)	≥50	<1	≥200	<0,5	<5	[<100]	Т5
КТ632Б	р-п-р	120	100	0,1 (0,35)	0,5 (1)	≥30	<1	≥200	<0,8	<6	[<100]	Т5
КТ632Б1	р-п-р	110	110	0,1 (0,35)	0,5 (1)	30÷350	<1	≥200	<0,8	<8	[<100]	Т19а (КБЭ)
КТ632В1	р-п-р	110	110	0,1 (0,35)	0,5 (1)	150÷450	<1	≥200	<0,8	<8	[<100]	Т19а (КБЭ)
2Т633А	п-р-п	30	30	0,3 (0,5)	0,36 [1,2]	40÷140	<3	≥500	<0,5	<2,5	[<25]	Т19а (КБЭ)
КТ633Б	п-р-п	30	30	0,3 (0,5)	0,36 [1,2]	20÷160	<10	≥500	<0,6	<4,5	[<25]	Т19а (КБЭ)
2Т635А	п-р-п	60	60	1 (1,2)	0,5	25÷150	<10	≥250	<0,5	<10	[<58]	Т19а (КБЭ)
КТ635Б	п-р-п	60	60	1 (1,2)	0,5	20÷150	<30	≥300	<0,52	<10	[<58]	Т19а (КБЭ)
КТ638А	п-р-п	110	[80]	0,1	0,5	50÷350	<1	≥200	<0,5	<8	–	Т19а (КБЭ)
КТ638Б	п-р-п	110	[80]	0,1	0,5	150÷450	<1	≥200	<0,5	<8	–	Т19а (КБЭ)
КТ639А	р-п-р	45	45	1,5 (2)	1 [12,5]	40÷100	<0,1	≥80	<0,5	<50	–	Т22а (ЭКБ)
КТ639Б	р-п-р	45	45	1,5 (2)	1 [12,5]	63÷160	<0,1	≥80	<0,5	<50	–	Т22а (ЭКБ)
КТ639В	р-п-р	45	45	1,5 (2)	1 [12,5]	100÷250	<0,1	≥80	<0,5	<50	–	Т22а (ЭКБ)
КТ639Г	р-п-р	60	60	1,5 (2)	1 [12,5]	40÷100	<0,1	≥80	<0,5	<50	–	Т22а (ЭКБ)
КТ639Д	р-п-р	60	60	1,5 (2)	1 [12,5]	63÷160	<0,1	≥80	<0,5	<50	–	Т22а (ЭКБ)
КТ639Е	р-п-р	100	100	1,5 (2)	1	40÷100	<0,1	≥80	<0,5	<50	–	Т22а (ЭКБ)
КТ639Ж	р-п-р	100	100	1,5 (2)	1	63÷160	<0,1	≥80	<0,5	<50	–	Т22а (ЭКБ)
КТ639И	р-п-р	30	30	1,5 (2)	1	180÷400	<0,1	≥80	<0,5	<50	–	Т22а (ЭКБ)
КТ640А-2	п-р-п	25	–	0,06	0,6	[>0,1]	<1мА	1÷7ГГц	–	<1,3	[<0,6]	Т13а
КТ640Б-2	п-р-п	25	–	0,06	0,6	[>0,1]	<1мА	1÷7ГГц	–	<1,3	[<1]	Т13а
КТ640В-2	п-р-п	25	–	0,06	0,6	[>0,08]	<1мА	1÷7ГГц	–	<1,3	[<1]	Т13а
КТ642А-2	п-р-п	20	–	0,06	0,5	[>0,1]	<1мА	1÷8ГГц	[>3,5]	<1,1	–	Т13а
КТ643А-2	п-р-п	25	–	0,12	1,1	[>0,5]	<1мА	2÷8ГГц	–	<1,8	–	Т13а
КТ644А	р-п-р	60	[60]	0,6 (1)	1 [12,5]	40÷120	<0,1	≥200	<0,4	<8	–	Т22а (ЭКБ)
КТ644Б	р-п-р	60	[60]	0,6 (1)	1 [12,5]	100÷300	<0,1	≥200	<0,4	<8	–	Т22а (ЭКБ)
КТ644В	р-п-р	60	[40]	0,6 (1)	1 (12,5)	40÷120	<0,1	≥200	<0,4	<8	–	Т22а (ЭКБ)
КТ644Г	р-п-р	60	[40]	0,6 (1)	1 (12,5)	100÷300	<0,1	≥200	<0,4	<8	–	Т22а (ЭКБ)
КТ645А	п-р-п	60	60	0,3 (0,6)	0,5 (1)	20÷200	<10	≥200	<0,5	<5	–	Т19а (КБЭ)
КТ645Б	п-р-п	40	40	0,3 (0,6)	0,5	≥80	<10	≥200	<0,5	<5	–	Т19а (КБЭ)
КТ645В	п-р-п	50	50	0,2	0,3	100 ÷ 250	<0,05	≥300	<0,25	<6	–	Т19а (КБЭ)
КТ645Г	п-р-п	50	50	0,2	0,3	200 ÷ 500	<0,05	≥300	<0,25	<6	–	Т19а (КБЭ)
КТ645Д	п-р-п	30	30	0,2	0,3	200 ÷ 500	<0,015	≥300	<0,25	<6	–	Т19а (КБЭ)
КТ645Е	п-р-п	20	20	0,2	0,3	400 ÷ 1000	<0,015	≥300	<0,25	<6	–	Т19а (КБЭ)
КТ645Ж	п-р-п	30	30	0,2	0,3	200 ÷ 500	<0,015	≥300	<0,25	<6	–	Т19а (КБЭ)
КТ645И	п-р-п	20	20	0,2	0,3	400 ÷ 1000	<0,015	≥300	<0,25	<6	–	Т19а (КБЭ)
КТ645К	п-р-п	50	50	0,2	0,3	100 ÷ 250	<0,05	≥300	<0,25	<6	–	Т19а (КБЭ)
КТ645Л	п-р-п	50	50	0,2	0,3	200 ÷ 500	<0,05	≥300	<0,25	<6	–	Т19а (КБЭ)
КТ645М	п-р-п	30	30	0,2	0,3	200 ÷ 500	<0,015	≥300	<0,25	<6	–	Т19а (КБЭ)
КТ646А	п-р-п	60	60	1 (1,2)	1 [3,5]	40÷200	<10	≥250	<0,85	<10	[<120]	Т22а (ЭКБ)
КТ646Б	п-р-п	40	40	1 (1,2)	1 [3,5]	≥150	<10	≥250	<0,25	<10	[<120]	Т22а (ЭКБ)
КТ646В	п-р-п	40	40	1 (1,2)	1 [3,5]	150÷340	<0,05	≥250	<0,25	<10	[<120]	Т22а (ЭКБ)
КТ647А-2	п-р-п	18	–	0,09	0,56	[>0,17]	<1мА	1÷10ГГц	[>3]	<1,5	–	Т13а
КТ648А-2	п-р-п	18	–	0,06	0,42	[>0,05]	<1мА	2÷12ГГц	[>3]	<1,5	–	Т13а
2Т653А	п-р-п	130	130	1 (2)	0,8 [5]	40÷120	[<10]	≥50	<0,5	<20	–	Т5
2Т653Б	п-р-п	130	130	1 (2)	0,8 [5]	80÷250	[<10]	≥50	<0,5	<20	–	Т5
КТ659А	п-р-п	60	50	1,2	1	≥35	<1	–	<0,9	<10	–	Т5
КТ660А	п-р-п	50	45	0,8 (1)	0,5 (1)	110÷220	<1	≥200	<0,5	<10	–	Т19а (КБЭ)
КТ660Б	п-р-п	30	30	0,8 (1)	0,5 (1)	200÷450	<1	≥200	<0,5	<10	–	Т19а (КБЭ)
КТ668А	р-п-р	50	45	0,1 (0,2)	0,5	75÷140	<15	≥200	<0,3	<10	–	Т19а (КБЭ)
КТ668Б	р-п-р	50	45	0,1 (0,2)	0,5	125÷250	<15	≥200	<0,3	<10	–	Т19а (КБЭ)
КТ668В	р-п-р	50	45	0,1 (0,2)	0,5	220÷475	<15	≥200	<0,3	<10	–	Т19а (КБЭ)
КТ680А	п-р-п	30	25	0,6 (2)	0,35	85÷300	<10	≥120	<0,5	–	–	Т19а (КБЭ)
КТ681А	р-п-р	30	25	0,6 (2)	0,35	85÷300	<10	≥120	<0,5	–	–	Т19а (КБЭ)

Тип транзистора	Структура	$U_{КБО}$ (и) В	$U_{КэR}$ (гр) (и) В	$I_{К\ max}$ (и) А	$P_{К\ max}$ [т] Вт	$h_{21э}$ [$P_{вых}$], Вт	$I_{КБО}$ (кэо) мкА	$f_{гр}$, МГц	$U_{КЭН}$, В [$K_{ур}$], дБ	$C_К$, пФ	$t_{сп}$, мкс [$\tau_К$] пс	№ рис.
КТ683А	п-р-п	150	150	1 (2)	1,2 [8]	40÷120	<1	≥50	<0,45	<15	–	Т22а (ЭКБ)
КТ683Б	п-р-п	120	120	1 (2)	1,2 [8]	80÷240	<1	≥50	<0,45	<15	–	Т22а (ЭКБ)
КТ683В	п-р-п	120	120	1 (2)	1,2 [8]	40÷120	<1	≥50	<0,45	<15	–	Т22а (ЭКБ)
КТ683Г	п-р-п	100	100	1 (2)	1,2 [8]	40÷120	<1	≥50	<0,45	<15	–	Т22а (ЭКБ)
КТ683Д	п-р-п	60	60	1 (2)	1,2 [8]	80÷240	<1	≥50	<0,45	<15	–	Т22а (ЭКБ)
КТ683Е	п-р-п	60	60	1 (2)	1,2 [8]	160÷480	<1	≥50	<0,45	<15	–	Т22а (ЭКБ)
КТ684А	р-п-р	45	45	1 (1,5)	0,8	40÷250	<0,1	≥40	<0,5	<50	–	Т19а (КБЭ)
КТ684Б	р-п-р	60	60	1 (1,5)	0,8	40÷160	<0,1	≥40	<0,5	<50	–	Т19а (КБЭ)
КТ684В	р-п-р	100	100	1 (1,5)	0,8	40÷160	<0,1	≥40	<0,5	<50	–	Т19а (КБЭ)
КТ684Г	р-п-р	30	30	1,5	0,8	180÷400	<0,1	≥80	<0,5	<50	–	Т19а (КБЭ)
КТ685А	р-п-р	60	40	0,6	0,6	40÷120	<0,02	≥200	<0,4	<8	–	Т19а (КБЭ)
КТ685Б	р-п-р	60	60	0,6	0,6	40÷120	<0,01	≥200	<0,4	<8	–	Т19а (КБЭ)
КТ685В	р-п-р	60	40	0,6	0,6	100÷300	<0,02	≥200	<0,4	<8	–	Т19а (КБЭ)
КТ685Г	р-п-р	60	60	0,6	0,6	100÷300	<0,01	≥200	<0,4	<8	–	Т19а (КБЭ)
КТ685Д	р-п-р	30	25	0,6	0,6	70÷200	<0,02	≥300	<0,3	<12	–	Т19а (КБЭ)
КТ685Е	р-п-р	30	25	0,6	0,6	40÷120	<0,02	≥250	<0,3	<12	–	Т19а (КБЭ)
КТ685Ж	р-п-р	30	25	0,6	0,6	100÷300	<0,02	≥250	<0,3	<12	–	Т19а (КБЭ)
КТ686А	р-п-р	50	45	0,8 (1,5)	0,625 (1,4)	100÷250	<0,1	≥100	<0,7	<12	–	Т19а (КБЭ)
КТ686Б	р-п-р	50	45	0,8 (1,5)	0,625 (1,4)	160÷400	<0,1	≥100	<0,7	<12	–	Т19а (КБЭ)
КТ686В	р-п-р	50	45	0,8 (1,5)	0,625 (1,4)	250÷630	<0,1	≥100	<0,7	<12	–	Т19а (КБЭ)
КТ686Г	р-п-р	30	25	0,8 (1,5)	0,625 (1,4)	100÷250	<0,1	≥100	<0,7	<12	–	Т19а (КБЭ)
КТ686Д	р-п-р	30	25	0,8 (1,5)	0,625 (1,4)	160÷400	<0,1	≥100	<0,7	<12	–	Т19а (КБЭ)
КТ686Е	р-п-р	30	25	0,8 (1,5)	0,625 (1,4)	250÷630	<0,1	≥100	<0,7	<12	–	Т19а (КБЭ)
КТ686Ж	р-п-р	30	25	0,8 (1,5)	0,625 (1,4)	100÷250	<0,1	≥100	<0,7	<12	–	Т19а (КБЭ)
КТ698А	п-р-п	–	90	2	0,6	20÷118	[<20]	≥150	<0,25	<74	<0,085	Т19а (КБЭ)
КТ698Б	п-р-п	–	70	2	0,6	20÷172	[<20]	≥150	<0,25	<74	<0,085	Т19а (КБЭ)
КТ698В	п-р-п	–	50	2	0,6	50÷201	[<20]	≥150	<0,25	<74	<0,085	Т19а (КБЭ)
КТ698Г	п-р-п	–	30	2	0,6	50÷291	[<20]	≥150	<0,2	<74	<0,085	Т19а (КБЭ)
КТ698Д	п-р-п	–	12	2	0,6	50÷481	[<20]	≥150	<0,2	<74	<0,085	Т19а (КБЭ)
КТ698Е	п-р-п	–	12	2	0,6	50÷649	[<20]	≥150	<0,12	<74	<0,085	Т19а (КБЭ)
КТ698Ж	п-р-п	–	120	2	0,6	≥30	[<20]	≥150	<0,25	<74	<0,085	Т19а (КБЭ)
КТ698И	п-р-п	–	160	2	0,6	≥30	[<20]	≥150	<0,3	<74	<0,085	Т19а (КБЭ)
КТ698К	п-р-п	–	200	2	0,6	≥30	[<20]	≥150	<0,35	<74	<0,085	Т19а (КБЭ)
КТ704А	п-р-п	1000	500	2,5 (4)	[15]	10÷100	[<5мА[	–	<5	–	–	Т11
КТ704Б	п-р-п	700	400	2,5 (4)	[15]	10÷100	[<5мА[	–	<5	–	–	Т11
КТ704В	п-р-п	500	400	2,5 (4)	[15]	≥10	[<5мА[	–	<5	–	–	Т11
2Т708А*	р-п-р	100	100	2,5 (5)	0,7 [5]	500÷1800	<1мА	≥3	<2	–	–	Т5
2Т708Б*	р-п-р	80	80	2,5 (5)	0,7 [5]	750÷2100	<1мА	≥3	<2	–	–	Т5
2Т708В*	р-п-р	60	60	2,5 (5)	0,7 [5]	750÷2100	<1мА	≥3	<2	–	–	Т5
2Т709А2*	р-п-р	100	100	10 (20)	1 [30]	500÷1800	<1мА	≥5	<2	<250	–	Т23б (ЭКБ)
2Т709Б2*	р-п-р	80	80	10 (20)	1 [30]	750÷2100	<1мА	≥5	<2	<250	–	Т23б (ЭКБ)
2Т709В2*	р-п-р	60	60	10 (20)	1 [30]	750÷2100	<1мА	≥5	<2	<250	–	Т23б (ЭКБ)
2Т713А	п-р-п	–	2500	3	[50]	5÷20	<1мА	≥1,5	<1	–	–	Т10а
КТ716А*	п-р-п	100	100	8	[60]	≥500	<1мА	≥7	<2	–	–	Т23б (ЭКБ)
КТ716Б*	п-р-п	80	80	8	[60]	≥750	<1мА	≥7	<2	–	–	Т23б (ЭКБ)
КТ716В*	п-р-п	60	60	8	[60]	≥750	<1мА	≥7	<2	–	–	Т23б (ЭКБ)
КТ716Г*	п-р-п	45	45	8	[60]	≥750	<1мА	≥7	<2	–	–	Т23б (ЭКБ)
КТ720А	р-п-р	120	120	1,5 (3)	1 [10]	20 ÷ 275	<50	≥3	<0,6	<60	–	Т22а (ЭКБ)
КТ801А	п-р-п	–	80	2	[5]	15÷50	[<10мА]	≥10	<2	–	–	Т33б
КТ801Б	п-р-п	–	60	2	[5]	30÷150	[<10мА]	≥10	<2	–	–	Т33б
КТ802А	п-р-п	150	130	5	[50]	≥15	<60мА	≥10	<5	–	–	Т34
КТ803А	п-р-п	60	(80)	10	[60]	10÷70	<5мА	≥20	<2,5	<500	(<2,5)	Т34
КТ805АМ	п-р-п	–	60 (160)	5 (8)	[30]	15÷60	[<25мА]	≥20	<2,5	<100	–	Т23б (ЭКБ)
КТ805БМ	п-р-п	–	60 (135)	5 (8)	[30]	15÷60	[<25мА]	≥20	<5	<100	–	Т23б (ЭКБ)
КТ805ВМ	п-р-п	–	60 (135)	5 (8)	[30]	15÷60	[<25мА]	≥20	<2,5	<100	–	Т23б (ЭКБ)
КТ805ДМ	п-р-п	–	60 (60)	5 (8)	[30]	150÷650	[<25мА]	≥20	<5	<100	–	Т23б (ЭКБ)
КТ805ИМ	п-р-п	–	60	5 (8)	[30]	≥25	[<25мА]	≥20	<3	<100	–	Т23б (ЭКБ)
КТ807А	п-р-п	–	100 (120)	0,5 (1,5)	[10]	15÷45	[<5мА]	≥5	<1	–	–	Т37
КТ807Б	п-р-п	–	100 (120)	0,5 (1,5)	[10]	30÷100	[<5мА]	≥5	<1	–	–	Т37
КТ808А	п-р-п	–	120 (250)	10	5 [50]	10÷50	[<3мА]	≥7	<2	<500	(<2)	Т34
КТ808АМ	п-р-п	250	130 (250)	10 (12)	[70]	20÷125	[<3мА]	≥7	<2	<500	(<2)	Т10а
КТ808БМ	п-р-п	160	100 (160)	10 (12)	[70]	20÷125	[<3мА]	≥7	<2	<500	(<2)	Т10а
КТ808ВМ	п-р-п	135	80 (135)	10 (12)	[70]	20÷125	[<3мА]	≥7	<2	<500	(<2)	Т10а
КТ808ГМ	п-р-п	80	70 (80)	10 (12)	[70]	20÷125	[<3мА]	≥7	<2	<500	(<2)	Т10а
КТ809А	п-р-п	–	400	3 (5)	[40]	15÷100	<3мА	≥5,1	<1,5	<270	<300	Т34

Тип транзистора	Струк-тура	$U_{КБО}$ (и) В	$U_{КЭR}$ (гр) (и) В	$I_{К\ max}$ (и) А	$P_{К\ max}$ [т] Вт	$h_{21э}$ [$P_{вых}$], Вт	$I_{КБО}$ [КЭО] мкА	$f_{гр}$, МГц	$U_{КЭН}$, В [Кур], дБ	$C_К$, пФ	$t_{сп}$, мкс [$\tau_К$] пс	№ рис.
КТ8101А	п-р-п	200	200	16 (25)	2 [150]	≥20	<2мА	≥10	<2	<1000	–	Т25 (БК3)
КТ8101Б	п-р-п	160	160	16 (25)	2 [150]	≥20	<2мА	≥10	<2	<1000	–	Т25 (БК3)
КТ8102А	р-п-р	200	200	16 (25)	2 [150]	≥20	<2мА	≥10	<2	<1000	–	Т25 (БК3)
КТ8102Б	р-п-р	160	160	16 (25)	2 [150]	≥20	<2мА	≥10	<2	<1000	–	Т25 (БК3)
КТ8104А*	п-р-п	350	350	20 (25)	[150]	≥1000	<5мА	≥10	<2,2	–	–	Т10а
КТ8105А*	п-р-п	200	200	20 (25)	[150]	≥1000	<5мА	≥10	<2,2	–	–	Т10а
КТ8106А	п-р-п	90	80	20 (30)	[125]	750÷10000	<5мА	≥4	<2	–	–	Т25 (БК3)
КТ8106Б	п-р-п	60	45	20 (30)	[125]	750÷10000	<5мА	≥4	<2	–	–	Т25 (БК3)
КТ8107А(1)	п-р-п	1500	[700]	8 (10)	[100]	2,3÷10	<2мА	≥6,9	<1	–	<500	Т25 (Т28)
КТ8107Б(1)	п-р-п	1500	[700]	8 (10)	[100]	2,3÷10	<2мА	≥6,9	<3	–	<500	Т25 (Т28)
КТ8107В(1)	п-р-п	1500	[700]	8 (10)	[100]	2,3÷10	<2мА	≥9,9	<1	–	<500	Т25 (Т28)
КТ8107Г(1)	п-р-п	1500	[700]	8 (10)	[100]	2,3÷10	<2мА	≥9,9	<3	–	<500	Т25 (Т28)
КТ8107А2	п-р-п	1500	[700]	8 (10)	[100]	2,3÷10	<2мА	≥6,9	<1	–	<500	Т10а
КТ8107Б2	п-р-п	1500	[700]	8 (10)	[100]	2,3÷10	<2мА	≥6,9	<3	–	<500	Т10а
КТ8107В2	п-р-п	1500	[700]	8 (10)	[100]	2,3÷10	<2мА	≥9,9	<1	–	<500	Т10а
КТ8107Г2	п-р-п	1500	[700]	8 (10)	[100]	2,3÷10	<2мА	≥9,9	<3	–	<500	Т10а
КТ8108А	п-р-п	850	[500]	5 (7)	[70]	10÷50	[<0,5мА]	≥5	<0,5	–	<300	Т23а (БК3)
КТ8108Б	п-р-п	850	[500]	5 (7)	[70]	40÷80	[<0,5мА]	≥5	<0,5	–	<300	Т23а (БК3)
КТ8109А*	п-р-п	350	350	7 (10)	[80]	≥150	<1мА	≥7	<1,5	–	<1500	Т23а (БК3)
КТ8109Б*	п-р-п	300	300	7 (10)	[80]	≥150	<1мА	≥7	<1,5	–	<1500	Т23а (БК3)
КТ8110А	п-р-п	500	500	7 (14)	[60]	15÷30	<1мА	20	<0,8	–	<300	Т23а (БК3)
КТ8110Б	п-р-п	500	500	7 (14)	[60]	≥15	<1мА	20	<0,8	–	<300	Т23а (БК3)
КТ8110В	п-р-п	500	500	7 (14)	[60]	≥15	<1мА	20	<0,8	–	<300	Т23а (БК3)
КТ8111А*	п-р-п	100	50	20	[125]	750÷18000	<500	≥4	<2	–	–	Т26а (БК3)
КТ8111Б*	п-р-п	80	40	20	[125]	750÷18000	<500	≥4	<2	–	–	Т26а (БК3)
КТ8111В*	п-р-п	60	30	20	[125]	750÷18000	<500	≥4	<2	–	–	Т26а (БК3)
КТ8114А	п-р-п	(1500)	[700]	8 (15)	[125]	8÷40	<100	≥7	<1	–	<500	Т26а (БК3)
КТ8114Б	п-р-п	(1200)	[700]	8 (15)	[125]	≥6	<100	≥7	<1	–	<500	Т26а (БК3)
КТ8114В	п-р-п	(1200)	[700]	8 (15)	[100]	≥6	<100	≥7	<1	–	<500	Т26а (БК3)
КТ8114Г	п-р-п	(1500)	[700]	8 (15)	[100]	8÷40	<100	≥7	<1	–	<500	Т26а (БК3)
КТ8116А*	п-р-п	100	100	8 (16)	[65]	≥1000	<10	≥4	<2	–	–	Т23а (БК3)
КТ8116Б*	п-р-п	80	80	8 (16)	[65]	≥1000	<10	≥4	<2	–	–	Т23а (БК3)
КТ8116Б*	п-р-п	60	60	8 (16)	[65]	≥1000	<10	≥4	<2	–	–	Т23а (БК3)
КТ8117А	п-р-п	500	400	10 (15)	[100]	≥10	<1мА	≥4	<1,5	–	<300	Т25 (БК3)
КТ8118А	п-р-п	900	800	3 (10)	[50]	10÷40	<1мА	≥15	<2	–	<700	Т23а (БК3)
КТ812А	п-р-п	(700)	400 (700)	8 (12)	[50]	≥4	<5мА	≥3	<2,5	<100	<1300	Т10а
КТ812Б	п-р-п	(500)	300 (500)	8 (12)	[50]	≥4	<5мА	≥3	<2,5	<100	<1300	Т10а
КТ812В	п-р-п	(300)	200 (300)	8 (12)	[50]	10÷125	<5мА	≥3	<2,5	<100	<1300	Т10а
2Т812А	п-р-п	(700)	400 (700)	10 (17)	[50]	5÷30	<5мА	≥3	<2,5	<100	<1300	Т10а
2Т812Б	п-р-п	(500)	300 (500)	10 (17)	[50]	5÷30	<5мА	≥3	<2,5	<100	<1300	Т10а
КТ8120А	п-р-п	600	450	8 (16)	[60]	≥10	<1мА	≥20	<1	–	<200	Т23а (БК3)
КТ8121А	п-р-п	700	400	4 (8)	[75]	8÷60	<1мА	≥4	<1	–	<400	Т23а (БК3)
КТ8121Б	п-р-п	600	300	4 (8)	[75]	8÷60	<1мА	≥4	<1	–	<400	Т23а (БК3)
КТ8123А	п-р-п	200	150	2 (3)	[25]	≥40	<1мА	≥5	<1	–	–	Т23а (БК3)
КТ8124А	п-р-п	400	200	7 (15)	[60]	≥10	<1мА	≥10	<1	–	<700	Т23а (БК3)
КТ8124Б	п-р-п	400	200	7 (15)	[60]	≥10	<1мА	≥10	<1	–	<400	Т23а (БК3)
КТ8124В	п-р-п	330	150	7 (15)	[60]	≥10	<1мА	≥10	<1	–	<700	Т23а (БК3)
КТ8127А(1)	п-р-п	1500	[700]	5 (7,5)	[56]	<35	<0,9мА	2	<1	–	<700	Т10а (Т28)
КТ8127Б(1)	п-р-п	1200	[700]	5 (7,5)	[56]	≥6	<0,6мА	2	<5	–	<700	Т10а (Т28)
КТ8127В(1)	п-р-п	1500	[700]	5 (7,5)	[56]	<35	<0,9мА	2	<5	–	<700	Т10а (Т28)
КТ8129А	п-р-п	1500	[700]	5	[100]	≥2,25	<4,5мА	≥4	<4,5	–	–	Т10а
КТ8130А*	р-п-р	40	[40]	4	[20]	500÷15000	<0,5мА	≥25	<2	–	–	Т22а (ЭК5)
КТ8130Б*	р-п-р	60	[60]	4	[20]	500÷15000	<0,5мА	≥25	<2	–	–	Т22а (ЭК5)
КТ8130В*	р-п-р	80	[80]	4	[20]	500÷15000	<0,5мА	≥25	<2	–	–	Т22а (ЭК5)
КТ8131А*	п-р-п	40	[40]	4	[20]	500÷15000	<0,5мА	≥25	<2	–	–	Т22а (ЭК5)
КТ8131Б*	п-р-п	60	[60]	4	[20]	500÷15000	<0,5мА	≥25	<2	–	–	Т22а (ЭК5)
КТ8131В*	п-р-п	80	[80]	4	[20]	500÷15000	<0,5мА	≥25	<2	–	–	Т22а (ЭК5)
КТ8136А	п-р-п	450	[450]	7 (14)	[60]	≥7	<0,1мА	≥7	<1	–	<300	Т23а (БК3)
КТ8136Б	п-р-п	400	[400]	7 (14)	[40]	≥10	<0,1мА	≥7	<1	–	<300	Т23а (БК3)
КТ8136В	п-р-п	400	[400]	7 (14)	[50]	≥10	<0,1мА	≥7	<1	–	<300	Т23а (БК3)
КТ814А	р-п-р	–	40	1,5 (3)	1 [10]	40÷275	<50	≥3	<0,6	<60	–	Т22а (ЭК5)
КТ814А2	р-п-р	–	40	1,5 (3)	1 [10]	≥200	<50	≥3	<0,6	<60	–	Т22а (ЭК5)
КТ814Б	р-п-р	–	50	1,5 (3)	1 [10]	40÷275	<50	≥3	<0,6	<60	–	Т22а (ЭК5)

Тип транзистора	Структура	$U_{КБО}$ (и) В	$U_{КЭR}$ [гр] (и) В	$I_{К\ max}$ (и) А	$P_{К\ max}$ [т] Вт	$h_{21Э}$ [$P_{вых}$], Вт	$I_{КБО}$ [R3O] мкА	$f_{гр}$, МГц	$U_{КЭН}$, В [$K_{ур}$], дБ	$C_К$, пФ	$t_{сп}$, мкс [$\tau_К$] пс	№ рис.
КТ814В	р-п-р	–	70	1,5 (3)	1 [10]	40÷275	<50	≥3	<0,6	<60	–	Т22а (ЭКБ)
КТ814Г	р-п-р	–	100	1,5 (3)	1 [10]	30÷275	<50	≥3	<0,6	<60	–	Т22а (ЭКБ)
КТ8140А1	п-р-п	400	[200]	7 (10)	[60]	≥10	<1мА	≥10	<1	–	<750	Т23а (БКЭ)
КТ8140Б1	п-р-п	400	[200]	7 (10)	[40]	≥10	<1мА	≥10	<1	–	<750	Т23а (БКЭ)
КТ815А	п-р-п	–	40	1,5 (3)	1 [10]	40÷275	<50	≥3	<0,6	<60	–	Т22а (ЭКБ)
КТ815А2	п-р-п	–	40	1,5 (3)	1 [10]	≥200	<50	≥3	<0,6	<60	–	Т22а (ЭКБ)
КТ815Б	п-р-п	–	50	1,5 (3)	1 [10]	40÷275	<50	≥3	<0,6	<60	–	Т22а (ЭКБ)
КТ815В	п-р-п	–	70	1,5 (3)	1 [10]	40÷275	<50	≥3	<0,6	<60	–	Т22а (ЭКБ)
КТ815Г	п-р-п	–	100	1,5 (3)	1 [10]	30÷275	<50	≥3	<0,6	<60	–	Т22а (ЭКБ)
КТ816А	р-п-р	40	40	3 (6)	1 [25]	25÷275	<100	≥3	<0,6	<60	–	Т22а (ЭКБ)
КТ816А2	р-п-р	40	40	3 (6)	1 [25]	≥200	<100	≥3	<0,6	<60	–	Т22а (ЭКБ)
КТ816Б	р-п-р	45	45	3 (6)	1 [25]	25÷275	<100	≥3	<0,6	<60	–	Т22а (ЭКБ)
КТ816В	р-п-р	60	60	3 (6)	1 [25]	25÷275	<100	≥3	<0,6	<60	–	Т22а (ЭКБ)
КТ816Г	р-п-р	100	100	3 (6)	1 [25]	25÷275	<100	≥3	<0,6	<60	–	Т22а (ЭКБ)
КТ8163А	п-р-п	600	[500]	(10)	1,5 [50]	6÷40	<100	≥10	<0,5	<100	<300	Т23б (БКЭ)
КТ8167А	р-п-р	100	100 [60]	2 (4)	0,8 [10]	80÷250	<0,2	≥30	<0,35	<400	(<1,8)	Т5
КТ8167Б	р-п-р	80	80 [60]	2 (4)	0,8 [10]	80÷250	<0,2	≥30	<0,35	<400	(<1,8)	Т5
КТ8167В	р-п-р	50	50 [40]	2 (4)	0,8 [10]	80÷250	<0,2	≥30	<0,35	<400	(<1,8)	Т5
КТ8167Г	р-п-р	100	100 [80]	2 (4)	0,8 [10]	40÷160	<0,2	≥30	<0,35	<400	(<1,8)	Т5
КТ8167Д	р-п-р	80	80 [60]	2 (4)	0,8 [10]	160÷350	<0,2	≥30	<0,35	<400	(<1,8)	Т5
КТ8168А	п-р-п	100	100 [60]	2 (4)	0,8 [10]	80÷250	<0,2	≥30	<0,35	<400	(<1,8)	Т5
КТ8168Б	п-р-п	80	80 [60]	2 (4)	0,8 [10]	80÷250	<0,2	≥30	<0,35	<400	(<1,8)	Т5
КТ8168В	п-р-п	50	50 [40]	2 (4)	0,8 [10]	80÷250	<0,2	≥30	<0,35	<400	(<1,8)	Т5
КТ8168Г	п-р-п	100	100 [80]	2 (4)	0,8 [10]	40÷160	<0,2	≥30	<0,35	<400	(<1,8)	Т5
КТ8168Д	п-р-п	80	80 [60]	2 (4)	0,8 [10]	160÷350	<0,2	≥30	<0,35	<400	(<1,8)	Т5
КТ817А	п-р-п	40	40	3 (6)	1 [25]	25÷275	<100	≥3	<0,6	<60	–	Т22а (ЭКБ)
КТ817Б	п-р-п	45	45	3 (6)	1 [25]	25÷275	<100	≥3	<0,6	<60	–	Т22а (ЭКБ)
КТ817Б2	п-р-п	45	45	3 (6)	1 [25]	≥100	<100	≥3	<0,12	<60	–	Т22а (ЭКБ)
КТ817В	п-р-п	60	60	3 (6)	1 [25]	25÷275	<100	≥3	<0,6	<60	–	Т22а (ЭКБ)
КТ817Г	п-р-п	100	100	3 (6)	1 [25]	25÷275	<100	≥3	<0,6	<60	–	Т22а (ЭКБ)
КТ817Г2	п-р-п	100	100	3 (6)	1 [25]	≥100	<100	≥3	<0,12	<60	–	Т22а (ЭКБ)
КТ8175А	п-р-п	700	[400]	1,5 (3)	[25]	8÷40	<1мА	≥4	<3	<21	<400	Т22а (ЭКБ)
КТ8175Б	п-р-п	600	[300]	1,5 (3)	[25]	5÷25	<1мА	≥4	<3	<21	<400	Т22а (ЭКБ)
КТ818А	р-п-р	40	40 [25]	10 (15)	1,5 [60]	15÷225	<1мА	≥3	<2	<1000	(<1,2)	Т23б (ЭКБ)
КТ818Б	р-п-р	50	50 [40]	10 (15)	1,5 [60]	20÷225	<1мА	≥3	<2	<1000	(<1,2)	Т23б (ЭКБ)
КТ818В	р-п-р	70	70 [60]	10 (15)	1,5 [60]	15÷225	<1мА	≥3	<2	<1000	(<1,2)	Т23б (ЭКБ)
КТ818Г	р-п-р	90	90 [80]	10 (15)	1,5 [60]	12÷225	<1мА	≥3	<2	<1000	(<1,2)	Т23б (ЭКБ)
КТ818АМ	р-п-р	40	40	15 (20)	2 [100]	15÷250	<1мА	≥3	<2	<1000	(<1,2)	Т10а
КТ818БМ	р-п-р	50	50	15 (20)	2 [100]	20÷225	<1мА	≥3	<2	<1000	(<1,2)	Т10а
КТ818ВМ	р-п-р	70	70	15 (20)	2 [100]	15÷225	<1мА	≥3	<2	<1000	(<1,2)	Т10а
КТ818ГМ	р-п-р	90	90	15 (20)	2 [100]	12÷225	<1мА	≥3	<2	<1000	(<1,2)	Т10а
2Т818А	р-п-р	100	100	15 (20)	3 [100]	20÷200	<1мА	≥3	<1	<1000	(<1,2)	Т10а
2Т818Б	р-п-р	80	80	15 (20)	3 [100]	20÷225	<1мА	≥3	<1	<1000	(<1,2)	Т10а
2Т818В	р-п-р	60	60	15 (20)	3 [100]	20÷225	<1мА	≥3	<1	<1000	(<1,2)	Т10а
КТ8181А	п-р-п	700	[400]	4 (8)	[50]	10÷60	<1мА	≥4	<1	<65	<400	Т23а (БКЭ)
КТ8181Б	п-р-п	600	[300]	4 (8)	[50]	8÷60	<1мА	≥4	<1	<65	<400	Т23а (БКЭ)
КТ8182А	п-р-п	700	[400]	8 (16)	[50]	8÷60	<1мА	≥4	<1,5	<110	<150	Т23а (БКЭ)
КТ8182Б	п-р-п	600	[300]	8 (16)	[50]	5÷30	<1мА	≥4	<1,5	<110	<150	Т23а (БКЭ)
КТ8183А	п-р-п	1500	[700]	5 (8)	[100]	≥3,5	0,5мА	–	–	–	<300	Т10а
КТ8183Б	п-р-п	1300	[600]	5 (8)	[100]	≥5	0,5мА	–	–	–	<300	Т10а
КТ8183А1	п-р-п	1500	[700]	5 (8)	[100]	≥3,5	0,5мА	–	–	–	<300	Т28
КТ8183Б1	п-р-п	1300	[600]	5 (8)	[100]	≥5	0,5мА	–	–	–	<300	Т28
КТ819А	п-р-п	40	40	10 (15)	1,5 [60]	15÷275	<1мА	≥3	<2	<1000	(<1,2)	Т23б (ЭКБ)
КТ819Б	п-р-п	50	50	10 (15)	1,5 [60]	20÷275	<1мА	≥3	<2	<1000	(<1,2)	Т23б (ЭКБ)
КТ919В	п-р-п	70	70	10 (15)	1,5 [60]	15÷275	<1мА	≥3	<2	<1000	(<1,2)	Т23б (ЭКБ)
КТ819Г	п-р-п	100	100	10 (15)	1,5 [60]	12÷275	<1мА	≥3	<2	<1000	(<1,2)	Т23б (ЭКБ)
КТ819АМ	п-р-п	40	40	15 (20)	2 [100]	15÷275	<1мА	≥3	<2	<1000	(<1,2)	Т10а
КТ819БМ	п-р-п	50	50	15 (20)	2 [100]	20÷275	<1мА	≥3	<2	<1000	(<1,2)	Т10а
КТ919ВМ	п-р-п	70	70	15 (20)	2 [100]	15÷275	<1мА	≥3	<2	<1000	(<1,2)	Т10а
КТ819ГМ	п-р-п	100	100	15 (20)	2 [100]	12÷275	<1мА	≥3	<2	<1000	(<1,2)	Т10а
2Т819А	р-п-р	100	100	15 (20)	3 [100]	20÷200	<1мА	≥3	<1	<1000	(<1,2)	Т10а
2Т819Б	р-п-р	80	80	15 (20)	3 [100]	20÷200	<1мА	≥3	<1	<1000	(<1,2)	Т10а
2Т819В	р-п-р	60	60	15 (20)	3 [100]	20÷200	<1мА	≥3	<1	<1000	(<1,2)	Т10а
2Т825А*	р-п-р	–	100	20 (40)	3 [125]	500÷18000	[<1мА]	≥4	<2	<600	–	Т10а
2Т825Б*	р-п-р	–	80	20 (40)	3 [125]	750÷18000	[<1мА]	≥4	<2	<600	–	Т10а
2Т825В*	р-п-р	–	60	20 (40)	3 [125]	750÷18000	[<1мА]	≥4	<2	<600	–	Т10а

Тип транзистора	Структура	$U_{КБО}$ (и) В	$U_{КЭR}$ (гр) (и) В	$I_{К\ max}$ (и) А	$P_{К\ max}$ [т] Вт	$h_{21Э}$ [$P_{вых}$], Вт	$I_{КБО}$ (КЭО) мкА	$f_{гр.}$ МГц	$U_{КЭН}$, В [$K_{УР}$], дБ	$C_К$, пФ	$t_{СП}$, мкс [$T_К$] пс	№ рис.
КТ825Г*	p-n-p	–	90	20 (30)	3 [125]	750÷18000	[<1мА]	≥4	<2	<600	–	Т10а
КТ825Д*	p-n-p	–	60	20 (30)	3 [125]	750÷18000	[<1мА]	≥4	<2	<600	–	Т10а
КТ825Е*	p-n-p	–	30	20 (30)	3 [125]	750÷18000	[<1мА]	≥4	<2	<600	–	Т10а
КТ826А	n-p-n	700	[500]	1 (1)	[15]	10÷120	[<2мА]	≥6	<2,5	<25	<1500	Т10а
КТ826Б	n-p-n	1000	[600]	1 (1)	[15]	10÷120	[<2мА]	≥6	<2,5	<25	<700	Т10а
КТ826В	n-p-n	700	[500]	1 (1)	[15]	10÷120	[<2мА]	≥6	<2,5	<25	<1500	Т10а
КТ827А*	n-p-n	100	100	20 (40)	[125]	500÷18000	[<3мА]	≥4	<2	<400	(<4,5)	Т10а
КТ827Б*	n-p-n	80	80	20 (40)	[125]	750÷18000	[<3мА]	≥4	<2	<400	(<4,5)	Т10а
КТ827В*	n-p-n	60	60	20 (40)	[125]	750÷18000	[<3мА]	≥4	<2	<400	(<4,5)	Т10а
КТ828А	n-p-n	(1400)	[700]	5 (7,5)	[50]	≥2,25	<5мА	≥4	<3	–	<1200	Т10а
КТ828Б	n-p-n	(1200)	[600]	5 (7,5)	[50]	≥2,25	<5мА	≥4	<3	–	<1200	Т10а
КТ829А*	n-p-n	100	100	8 (12)	[60]	≥750	<0,2мА	≥4	<2	<120	–	Т23а (БКЭ)
КТ829Б*	n-p-n	80	80	8 (12)	[60]	≥750	<0,2мА	≥4	<2	<120	–	Т23а (БКЭ)
КТ829В*	n-p-n	60	60	8 (12)	[60]	≥750	<0,2мА	≥4	<2	<120	–	Т23а (БКЭ)
КТ829Г*	n-p-n	45	45	8 (12)	[60]	≥750	<0,2мА	≥4	<2	<120	–	Т23а (БКЭ)
КТ829Д*	n-p-n	140	140	8 (12)	[60]	≥750	<0,2мА	≥4	<2	<120	–	Т23а (БКЭ)
КТ830А	p-n-p	35	30	2 (4)	1 [5]	20÷55	<0,1	≥4	<0,8	<150	(<1)	Т5
КТ830Б	p-n-p	60	60	2 (4)	1 [5]	20÷55	<0,1	≥4	<0,8	<150	(<1)	Т5
КТ830В	p-n-p	80	80	2 (4)	1 [5]	20÷55	<0,1	≥4	<0,8	<150	(<1)	Т5
КТ830Г	p-n-p	100	100	2 (4)	1 [5]	20÷50	<0,1	≥4	<0,8	<150	(<1)	Т5
КТ831А	p-n-p	35	30	2 (4)	1 [5]	20÷55	<0,1	≥4	<0,8	<150	(<1)	Т5
КТ831Б	p-n-p	60	60	2 (4)	1 [5]	20÷55	<0,1	≥4	<0,8	<150	(<1)	Т5
КТ831В	p-n-p	80	80	2 (4)	1 [5]	20÷55	<0,1	≥4	<0,8	<150	(<1)	Т5
КТ831Г	p-n-p	100	100	2 (4)	1 [5]	20÷50	<0,1	≥4	<0,8	<150	(<1)	Т5
КТ834А	n-p-n	500	500	15 (20)	[100]	≥150	[<3мА]	≥4	<2	–	<1200	Т10а
КТ834Б	n-p-n	450	450	15 (20)	[100]	≥150	[<3мА]	≥4	<2	–	<1200	Т10а
КТ834В	n-p-n	400	400	15 (20)	[100]	≥150	[<3мА]	≥4	<2	–	<1200	Т10а
КТ835А	p-n-p	30	30	3	[25]	≥25	<100	≥1	<0,35	<800	–	Т23б (ЭКБ)
КТ835Б	p-n-p	45	45	7,5	[25]	10÷100	<150	≥1	<0,25	<800	–	Т23б (ЭКБ)
2Т836А	p-n-p	90	90	3 (4)	0,7 [5]	20 ÷ 100	<0,1	≥4	<0,6	<370	<600	Т6
2Т836Б	p-n-p	85	85	3 (4)	0,7 [5]	20 ÷ 100	<0,1	≥4	<0,35	<370	<600	Т6
2Т836В	p-n-p	60	60	3 (4)	0,7 [5]	20 ÷ 100	<0,1	≥4	<0,45	<370	<600	Т6
КТ837А	p-n-p	80	60	7,5	1 [30]	10÷40	<150	≥1	<2,5	–	–	Т23б (ЭКБ)
КТ837Б	p-n-p	80	60	7,5	1 [30]	20÷80	<150	≥1	<2,5	–	–	Т23б (ЭКБ)
КТ837В	p-n-p	80	60	7,5	1 [30]	50÷150	<150	≥1	<2,5	–	–	Т23б (ЭКБ)
КТ837Г	p-n-p	60	45	7,5	1 [30]	10÷40	<150	≥1	<0,9	–	–	Т23б (ЭКБ)
КТ837Д	p-n-p	60	45	7,5	1 [30]	20÷80	<150	≥1	<0,9	–	–	Т23б (ЭКБ)
КТ837Е	p-n-p	60	45	7,5	1 [30]	50÷150	<150	≥1	<0,9	–	–	Т23б (ЭКБ)
КТ837Ж	p-n-p	45	30	7,5	1 [30]	10÷40	<150	≥1	<0,5	–	–	Т23б (ЭКБ)
КТ837И	p-n-p	45	30	7,5	1 [30]	20÷80	<150	≥1	<0,5	–	–	Т23б (ЭКБ)
КТ837К	p-n-p	45	30	7,5	1 [30]	50÷150	<150	≥1	<0,5	–	–	Т23б (ЭКБ)
КТ837Л	p-n-p	80	60	7,5	1 [30]	10÷40	<150	≥1	<2,5	–	–	Т23б (ЭКБ)
КТ837М	p-n-p	80	60	7,5	1 [30]	20÷80	<150	≥1	<2,5	–	–	Т23б (ЭКБ)
КТ837Н	p-n-p	80	60	7,5	1 [30]	50÷150	<150	≥1	<2,5	–	–	Т23б (ЭКБ)
КТ837П	p-n-p	60	45	7,5	1 [30]	10÷40	<150	≥1	<0,9	–	–	Т23б (ЭКБ)
КТ837Р	p-n-p	60	45	7,5	1 [30]	20÷80	<150	≥1	<0,9	–	–	Т23б (ЭКБ)
КТ837С	p-n-p	60	45	7,5	1 [30]	50÷150	<150	≥1	<0,9	–	–	Т23б (ЭКБ)
КТ837Т	p-n-p	45	30	7,5	1 [30]	10÷40	<150	≥1	<0,5	–	–	Т23б (ЭКБ)
КТ837У	p-n-p	45	30	7,5	1 [30]	20÷80	<150	≥1	<0,5	–	–	Т23б (ЭКБ)
КТ837Ф	p-n-p	45	30	7,5	1 [30]	50÷150	<150	≥1	<0,5	–	–	Т23б (ЭКБ)
КТ837Х	p-n-p	80	70	7,5	1 [30]	15÷60	<150	≥1	<0,5	–	–	Т23б (ЭКБ)
КТ838А	n-p-n	1500	[700]	5 (7,5)	[52]	5÷35	[<1мА]	≥10	<5	<170	<1200	Т10а
КТ838Б	n-p-n	1200	[650]	5 (7,5)	[52]	6÷45	[<1мА]	≥10	<5	<170	<1200	Т10а
КТ839А	n-p-n	1500	[700]	10 (10)	[50]	≥5	[<1мА]	≥20	<1,5	<240	<1500	Т10а
КТ840А	n-p-n	(900)	[400]	6 (8)	[60]	10÷60	<3мА	≥8	<3	–	<600	Т10а
КТ840Б	n-p-n	(750)	[350]	6 (8)	[60]	≥10	<3мА	≥8	<3	–	<600	Т10а
КТ840В	n-p-n	(800)	[375]	6 (8)	[60]	10÷100	<3мА	≥8	<3	–	<600	Т10а
КТ841А	n-p-n	600	600	10 (15)	3 [50]	12÷45	<3мА	≥10	<1,5	<300	<500	Т10а
КТ841Б	n-p-n	400	400	10 (15)	3 [50]	12÷45	<3мА	≥10	<1,5	<300	<500	Т10а
КТ841В	n-p-n	600	600	10 (15)	3 [50]	10÷40	<3мА	≥10	<1,5	<300	<500	Т10а
КТ844А	n-p-n	250	[250]	10 (20)	[50]	10÷50	[<3мА]	≥10	<2,5	<300	<300	Т10а
КТ845А	n-p-n	400	400	5 (7,5)	[40]	15÷100	[<3мА]	≥4,5	1,5	<45	<350	Т10а
КТ846А	n-p-n	1500	[700]	5 (7,5)	[52]	6÷35	<1мА	≥2	<1	<200	<700	Т10а
КТ846Б	n-p-n	1200	[600]	5 (7,5)	[52]	6÷35	<1мА	≥2	<5	<200	<700	Т10а
КТ846В	n-p-n	1500	[700]	5 (7,5)	[52]	6÷35	<1мА	≥2	<5	<200	<700	Т10а
КТ846Г	n-p-n	1700	[800]	5 (7,5)	[52]	6÷35	<1мА	≥2	<5	<200	<700	Т10а

Тип транзистора	Структура	$U_{КБО}$ (и) В	$U_{КЭR}$ (гр) (и) В	$I_{К\ max}$ (и) А	$P_{К\ max}$ [т] Вт	$h_{21Э}$ [$P_{вых}$], Вт	$I_{КБО}$ [КЭО] мкА	$f_{гр}$, МГц	$U_{КЭН}$, В [$K_{УР}$], дБ	$C_К$, пФ	$t_{СП}$, мкс [$\tau_К$] пс	№ рис.
КТ847А	n-p-n	650	[360]	15 (25)	[125]	8÷25	<5мА	≥15	<1,5	<200	<1500	Т10а
КТ848А	n-p-n	520	400	15 (15)	[87]	20÷80	[<3мА]	≥3	<2	–	–	Т10а
КТ850А	n-p-n	250	200	2 (3)	[25]	40÷200	<100	≥20	<1	–	–	Т23а (БКЭ)
КТ850Б	n-p-n	300	250	2 (3)	[25]	≥20	<500	≥20	<1	–	–	Т23а (БКЭ)
КТ850В	n-p-n	130	150	2 (3)	[25]	≥20	<500	≥20	<1	–	–	Т23а (БКЭ)
КТ851А	p-n-p	250	200	2 (3)	[25]	40÷200	<100	≥20	<1	–	–	Т23а (БКЭ)
КТ851Б	p-n-p	300	250	2 (3)	[25]	≥20	<500	≥20	<1	–	–	Т23а (БКЭ)
КТ851В	p-n-p	130	150	2 (3)	[25]	≥20	<500	≥20	<1	–	–	Т23а (БКЭ)
КТ852А*	p-n-p	100	[100]	2,5 (4)	[50]	500÷3000	<1мА	≥7	<2,5	<28	–	Т23а (БКЭ)
КТ852Б*	p-n-p	80	[80]	2,5 (4)	[50]	500÷3000	<1мА	≥7	<2,5	<28	–	Т23а (БКЭ)
КТ852В*	p-n-p	60	[60]	2,5 (4)	[50]	500÷3000	<1мА	≥7	<2,5	<28	–	Т23а (БКЭ)
КТ852Г*	p-n-p	45	[45]	2,5 (4)	[50]	500÷3000	<1мА	≥7	<2,5	<28	–	Т23а (БКЭ)
КТ853А*	p-n-p	100	[100]	8 (12)	[60]	750÷3000	<200	≥7	<2	<120	–	Т23а (БКЭ)
КТ853Б*	p-n-p	80	[80]	8 (12)	[60]	750÷3000	<200	≥7	<2	<120	–	Т23а (БКЭ)
КТ853В*	p-n-p	60	[60]	8 (12)	[60]	750÷3000	<200	≥7	<2	<120	–	Т23а (БКЭ)
КТ853Г*	p-n-p	45	[45]	8 (12)	[60]	750÷3000	<200	≥7	<2	<120	–	Т23а (БКЭ)
КТ854А	n-p-n	600	500	10 (15)	[60]	≥20	<3мА	≥10	<2	–	–	Т23а (БКЭ)
КТ854Б	n-p-n	400	300	10 (15)	[60]	≥20	<3мА	≥10	<2	–	–	Т23а (БКЭ)
КТ855А	p-n-p	250	250	5 (8)	1,2 [40]	20÷80	<1мА	≥5	<1	–	–	Т23а (БКЭ)
КТ855Б	p-n-p	150	150	5 (8)	1,2 [40]	20÷80	<100	≥5	<1	–	–	Т23а (БКЭ)
КТ855В	p-n-p	150	150	5 (8)	1,2 [40]	15÷60	<1мА	≥5	<1	–	–	Т23а (БКЭ)
КТ857А	n-p-n	250	250	7 (10)	[60]	7,5÷25	<5мА	≥10	<1	–	<1000	Т23а (БКЭ)
КТ858А	n-p-n	400	[200]	7 (10)	[60]	10÷60	<1мА	≥10	<1	–	<750	Т23а (БКЭ)
КТ858Б	n-p-n	400	[200]	7 (10)	[40]	10÷60	<1мА	≥10	<1	–	<750	Т23а (БКЭ)
КТ859А	n-p-n	800	800	3 (4)	[40]	10÷60	<1мА	≥10	<1,5	–	<350	Т23а (БКЭ)
КТ863А	n-p-n	30	30	10	1,5 [50]	100÷500	<1мА	≥4	<0,3	–	–	Т23а (БКЭ)
КТ863Б	n-p-n	30	30	10	1,5 [50]	70÷300	<1мА	≥4	<0,5	–	–	Т23а (БКЭ)
КТ863В	n-p-n	160	160 [30]	10	1,5 [50]	≥70	[<1мА]	≥4	<0,5	–	–	Т23а (БКЭ)
КТ864А	n-p-n	200	200	10 (15)	1,5 [100]	40÷200	<100	≥15	<2	300	–	Т10а
КТ865А	p-n-p	200	200	10 (15)	1,5 [100]	40÷200	<100	≥15	<2	300	–	Т10а
КТ866А	n-p-n	200	[100]	20 (20)	[30]	15÷100	<25мА	25	<1,5	<400	<100	Т10а
КТ866Б	n-p-n	200	[80]	20 (20)	[30]	15÷100	<25мА	25	<1,5	<400	<100	Т10а
КТ867А	n-p-n	–	[180]	25 (40)	[100]	≥10	<3мА	25	<1,5	<400	<400	Т10а
КТ872А	n-p-n	(1500)	[700]	8 (15)	[100]	6÷35	<1мА	≥3	<1	125	<1000	Т26а (БКЭ)
КТ872Б	n-p-n	(1500)	[700]	8 (15)	[100]	6÷35	<1мА	≥3	<5	125	<1000	Т26а (БКЭ)
КТ872В	n-p-n	(1200)	[600]	8 (15)	[100]	6÷35	<0,6мА	≥3	<1	125	<1000	Т26а (БКЭ)
КТ878А	n-p-n	900	[450]	30 (50)	2 [100]	12÷50	<3мА	≥10	<1,5	<500	<500	Т10а
КТ878Б	n-p-n	800	[400]	30 (50)	2 [100]	12÷50	<3мА	≥10	<1,5	<500	<500	Т10а
КТ878В	n-p-n	600	[300]	30 (50)	2 [100]	12÷50	<3мА	≥10	<1,5	<500	<500	Т10а
КТ879А	n-p-n	–	200	50 (75)	[250]	10÷40	<5мА	≥10	<2	<800	<250	Т9а
КТ879Б	n-p-n	–	150	50 (75)	[250]	10÷40	<5мА	≥10	<2,5	<800	<1500	Т9а
2Т886А	n-p-n	1400	[700]	10 (15)	[175]	≥6	<100	≥15	<1	<135	<300	Т10а
КТ886А1	n-p-n	1400	[700]	10 (15)	[75]	6÷25	[<500]	≥15	<1	<135	<300	Т28 (БКЭ)
КТ886Б1	n-p-n	1000	[500]	10 (15)	[75]	6÷25	[<500]	≥15	<1	<135	<300	Т28 (БКЭ)
КТ887А	p-n-p	700	700	2 (5)	3 [75]	20÷120	<250	≥15	<1,4	<400	<500	Т10а
КТ887Б	p-n-p	600	600	2 (5)	3 [75]	20÷120	<250	≥15	<1,4	<400	<500	Т10а
КТ890А*	n-p-n	350	[350]	20	[120]	≥700	[<500]	≥40	<2	–	–	Т25 (БКЭ)
КТ890Б*	n-p-n	350	[350]	20	[120]	≥700	[<250]	≥40	<2	–	–	Т25 (БКЭ)
КТ890В*	n-p-n	350	[350]	20	[120]	≥700	[<250]	≥40	<2	–	–	Т25 (БКЭ)
КТ892А*	n-p-n	350	[350]	15 (30)	[100]	300÷6000	<3мА	≥8	<1,8	–	<10000	Т10а
КТ892Б*	n-p-n	400	[400]	15 (30)	[100]	300÷6000	<3мА	≥8	<1,8	–	<10000	Т10а
КТ892В*	n-p-n	300	[300]	15 (30)	[100]	≥300	<3мА	≥8	<1,8	–	<10000	Т10а
КТ892А1*	n-p-n	350	[350]	15 (30)	[70]	300÷6000	<3мА	≥8	<1,8	–	<10000	Т25 (БКЭ)
КТ892Б1*	n-p-n	400	[400]	15 (30)	[70]	300÷6000	<3мА	≥8	<1,8	–	<10000	Т25 (БКЭ)
КТ896А*	p-n-p	90	90	20	[75]	750÷18000	<2мА	≥8	<2	–	–	Т25 (БКЭ)
КТ896Б*	p-n-p	60	60	20	[75]	750÷18000	<2мА	≥8	<2	–	–	Т25 (БКЭ)
КТ896В*	p-n-p	60	30	20	[75]	750÷18000	<2мА	≥8	<2	–	–	Т25 (БКЭ)
КТ897А*	n-p-n	350	350	20 (30)	3 [150]	400÷12000	<250	≥10	<1,6	–	–	Т10а
КТ897Б*	n-p-n	200	200	20 (30)	3 [150]	400÷12000	<250	≥10	<1,6	–	–	Т10а
КТ898А*	n-p-n	350	350	20 (30)	1,5 [125]	400÷12000	<250	≥10	<1,6	–	–	Т25 (БКЭ)
КТ898Б*	n-p-n	200	200	20 (30)	1,5 [125]	400÷12000	<250	≥10	<1,6	–	–	Т25 (БКЭ)
КТ898А1*	n-p-n	350	350	20 (30)	[60]	400÷12000	<5мА	≥10	<1,6	–	–	Т27 (БКЭ)
КТ898Б1*	n-p-n	200	200	20 (30)	[60]	400÷12000	<5мА	≥10	<1,6	–	–	Т27 (БКЭ)

Тип транзистора	Структура	$U_{КБО}$ (и) В	$U_{КЭR}$ [гр] (и) В	$I_{К\ max}$ (и) А	$P_{К\ max}$ [т] Вт	$h_{21э}$ [$P_{вых}$], Вт	$I_{КБО}$ [$I_{ЭО}$] мкА	$f_{гр}$, МГц	$U_{КЭН}$, В [$K_{ур}$], дБ	$C_К$, пФ	$t_{сп}$, мкс [$\tau_К$] пс	№ рис.
КТ899А*	n-p-n	160	150	8 (15)	[65]	≥1000	<0,5мА	≥7	<1,3	–	–	Т23а (БКЭ)
КТ903А	n-p-n	60 (80)	60 (80)	3 (5)	[30] (60)	15÷70	[<10мА]	≥120	<2	<180	[<500]	Т34
КТ903Б	n-p-n	60 (80)	60 (80)	3 (5)	[30] (60)	40÷180	[<10мА]	≥120	<2	<180	[<500]	Т34
КТ904А	n-p-n	–	60 (70)	0,8 (1,5)	[5]	≥10 [>2,5]	[<1,5мА]	≥350	<1	<12	<15	Т8а
КТ904Б	n-p-n	–	60 (70)	0,8 (1,5)	[5]	≥10 [>3]	[<1,5мА]	≥350	<1	<12	<20	Т8а
КТ907А	n-p-n	–	60 (70)	1 (3)	[13,5]	≥10 [>8]	[<3мА]	≥350	<1	<20	<15	Т8а
КТ907Б	n-p-n	–	60 (70)	1 (3)	[13,5]	≥10 [>6]	[<3мА]	≥350	<1	<20	<20	Т8а
КТ908А	n-p-n	140	100	10	[50]	8÷60	<25мА	≥30	<1,5	<700	<300	Т34
КТ908Б	n-p-n	140	60	10	[50]	20÷80	<50мА	≥30	<1,5	<700	<300	Т34
КТ9115А	p-n-p	300	300	0,1 (0,3)	1,2 [10]	25÷250	<0,05	≥90	<1	<5,5	–	Т22а (ЭКБ)
КТ9115Б	p-n-p	150	150	0,1 (0,3)	1,2 [10]	25÷250	<0,1	≥90	<1	<5,5	–	Т22а (ЭКБ)
КТ9120А	p-n-p	–	45	12 (30)	[50]	≥40	<0,1	≥50	<0,6	<1900	–	Т23а (БКЭ)
КТ9166А	n-p-n	60	60 [50]	15 (25)	1 [50]	≥70	<300	≥300	<0,5	–	–	Т23а (БКЭ)
КТ9170А	p-n-p	100	100 [80]	1,5 (2)	1 [12,5]	40÷100	<10	≥50	<0,5	<45	–	Т22а (ЭКБ)
КТ9170Б	p-n-p	80	80 [60]	1,5 (2)	1 [12,5]	63÷160	<10	≥50	<0,5	<45	–	Т22а (ЭКБ)
КТ9170В	p-n-p	60	60 [45]	1,5 (2)	1 [12,5]	100÷250	<10	≥50	<0,5	<45	–	Т22а (ЭКБ)
КТ9171А	n-p-n	100	100 [80]	1,5 (2)	1 [12,5]	40÷100	<10	≥50	<0,5	<45	–	Т22а (ЭКБ)
КТ9171Б	n-p-n	80	80 [60]	1,5 (2)	1 [12,5]	63÷160	<10	≥50	<0,5	<45	–	Т22а (ЭКБ)
КТ9171В	n-p-n	60	60 [45]	1,5 (2)	1 [12,5]	100÷250	<10	≥50	<0,5	<45	–	Т22а (ЭКБ)
КТ9176А	p-n-p	40	30 [30]	3 (7)	1 [10]	60÷400	<1	≥90	<0,5	<70	–	Т22а (ЭКБ)
КТ9177А	n-p-n	40	30 [30]	3 (7)	1 [10]	60÷400	<1	≥90	<0,5	<70	–	Т22а (ЭКБ)
КТ9178А	p-n-p	–	300	0,1 (0,3)	1,2 [10]	≥25	<50	≥90	<1	<4,2	–	Т22а (ЭКБ)
КТ9178Б	p-n-p	–	250	0,1 (0,3)	1,2 [10]	≥25	<50	≥90	<1	<4,2	–	Т22а (ЭКБ)
КТ9178В	p-n-p	–	160	0,1 (0,3)	1,2 [10]	≥25	<50	≥90	<1	<4,2	–	Т22а (ЭКБ)
КТ9179А	n-p-n	–	300	0,1 (0,3)	1,2 [10]	≥25	<50	≥90	<1	<4,2	–	Т22а (ЭКБ)
КТ9179Б	n-p-n	–	250	0,1 (0,3)	1,2 [10]	≥25	<50	≥90	<1	<4,2	–	Т22а (ЭКБ)
КТ9179В	n-p-n	–	160	0,1 (0,3)	1,2 [10]	≥25	<50	≥90	<1	<4,2	–	Т22а (ЭКБ)
КТ9184А	n-p-n	70	70 [40]	10 (20)	[50]	≥60	<1мА	≥30	<0,8	–	–	Т23а (БКЭ)
КТ926А	n-p-n	200	150	15 (25)	[50] (450)	10÷60	[<25 мА]	≥51	<2,5	–	–	Т11
КТ926Б	n-p-n	200	150	15 (25)	[50] (450)	10÷60	[<25 мА]	≥51	<2,5	–	–	Т11
КТ928А	n-p-n	60	60	0,8 (1,2)	0,5 [2]	20 ÷ 100	<5	≥250	<1	<10	–	Т5
КТ928Б	n-p-n	60	60	0,8 (1,2)	0,5 [2]	50 ÷ 200	<5	≥250	<1	<10	–	Т5
КТ928В	n-p-n	75	75	0,8 (1,2)	0,5 [2]	100 ÷ 300	<1	≥250	<1	<10	–	Т5
КТ935А	n-p-n	100	80	20 (30)	[60]	20 ÷ 100	[<25 мА]	≥51	<1	<800	–	Т11
КТ940А	n-p-n	300	300	0,1 (0,3)	1,2 [10]	≥25	<0,05	≥90	<1	<5,5	–	Т22а (ЭКБ)
КТ940Б	n-p-n	250	250	0,1 (0,3)	1,2 [10]	≥25	<0,05	≥90	<1	<5,5	–	Т22а (ЭКБ)
КТ940В	n-p-n	160	160	0,1 (0,3)	1,2 [10]	≥25	<0,05	≥90	<1	<5,5	–	Т22а (ЭКБ)
КТ944А	n-p-n	–	100	12,5 (20)	[55]	10÷80	[<80мА]	100	<2,5	<350	–	Т9а
КТ945А	n-p-n	–	150	15 (25)	[50]	10 ÷ 60	[<25мА]	≥51	<2,5	<200	<240	Т10а
КТ945Б	n-p-n	–	150	15 (25)	[50]	10 ÷ 60	[<25мА]	≥51	<2,5	<200	<240	Т10а
КТ945В	n-p-n	–	150	10 (20)	[50]	10 ÷ 60	[<25мА]	≥51	<2,5	<200	<240	Т10а
КТ945Г	n-p-n	–	200	15 (25)	[50]	12÷60	[<2мА]	≥51	<2,5	<200	<240	Т10а
КТ947А	n-p-n	–	100	20 (50)	[200]	10÷80	[<0,1 А]	100	–	<850	–	Т9а
КТ961А	n-p-n	100	100 [80]	1,5 (2)	1 [12,5]	40÷100	<10	≥50	<0,5	32	–	Т22а (ЭКБ)
КТ961Б	n-p-n	80	80 [60]	1,5 (2)	1 [12,5]	63÷160	<10	≥50	<0,5	32	–	Т22а (ЭКБ)
КТ961В	n-p-n	60	60[45]	1,5 (2)	1 [12,5]	100÷250	<10	≥50	<0,5	32	–	Т22а (ЭКБ)
КТ961Г	n-p-n	40	40 [35]	1,5 (2)	1 [12,5]	200÷500	<10	≥50	<0,5	32	–	Т22а (ЭКБ)
2Т968А	n-p-n	300	300	0,1 (0,2)	0,8 (4)	25÷150	<0,5	≥90	<1	<2,8	–	Т5
КТ969А	n-p-n	300	250	0,1 (0,2)	1 [6]	50÷250	<0,05	≥60	<1	<1,8	–	Т22а (ЭКБ)
КТ972А*	n-p-n	60	60	4	[8]	≥750	[<1мА]	≥200	<1,5	–	(<0,2)	Т22а (ЭКБ)
КТ972Б*	n-p-n	45	45	4	[8]	≥750	[<1мА]	≥200	<1,5	–	(<0,2)	Т22а (ЭКБ)
КТ972В*	n-p-n	60	60	2 (4)	[8]	750÷5000	[<1мА]	≥200	<1,5	–	(<0,2)	Т22а (ЭКБ)
КТ972Г*	n-p-n	60	60	2 (4)	[8]	750÷5000	[<300]	≥200	<0,95	–	(<0,2)	Т22а (ЭКБ)
2Т974А	p-n-p	80	70	2 (10)	[5]	10÷120	<5	≥450	<1	<80	–	Т6
2Т974Б	p-n-p	60	60	2 (10)	[5]	10÷120	<5	≥450	<0,6	<80	–	Т6
2Т974В	p-n-p	50	50	2 (10)	[5]	10÷120	<5	≥450	<1	<80	–	Т6
2Т974Г	p-n-p	60	60	2 (10)	[5]	10÷120	<5	≥450	<0,6	<80	–	Т6
КТ973А*	p-n-p	60	60	4	[8]	≥750	[<1мА]	≥200	<1,5	–	(<0,2)	Т22а (ЭКБ)
КТ973Б*	p-n-p	45	45	4	[8]	≥750	[<1мА]	≥200	<1,5	–	(<0,2)	Т22а (ЭКБ)
КТ997А	n-p-p	45	45	10 (20)	[50]	≥40	<10	≥51	<1	<270	<140	Т23а (БКЭ)
КТ997Б	n-p-n	45	45	10 (20)	[50]	≥20	<10	≥51	<1	<270	<140	Т23а (БКЭ)
КТ997В	n-p-n	60	60	10 (20)	[50]	≥10	<10	≥51	<1	<270	<140	Т23а (БКЭ)

Табл. 9.17. Параметры отечественных полевых транзисторов.

Тип транзистора	Структура	$U_{СИ}$ max, В	$U_{ЗИ}$ max [$U_{СИ0}$], В	$I_С$ max мА	$P_{СИ\,[т]}$ max, Вт	$U_{ЗИ}$ отс [пор], В	$I_С$ нач [ост], мА	S, мА/В [$h_{21Е}$]	$f_{раб}$ max, МГц	$I_{зут.}$, нА	$K_Ш$, дБ [$R_{СИ\,отк}$], Ом	$C_{11и}$, пФ	№ рис.
КП103Е(Р1)	*p-n* переход, *p*-канал	10	10	–	0,007	0,4÷1,5	0,3÷2,5	0,4÷2,4	3	<20	<3	<20	T2 (T19e)
КП103Ж(Р1)		10	10	–	0,012	0,5÷2,2	0,35÷3,8	0,5÷2,8	3	<20	<3	<20	
КП103И(Р1)		12	10	–	0,021	0,8÷3	0,8÷1,8	0,8÷2,6	3	<20	<3	<20	
КП103К(Р1)		10	10	–	0,038	1,4÷4	1÷5,5	1÷3,3	3	<20	<3	<20	
КП103Л(Р1)		12	10	–	0,066	2÷6	1,8÷6,6	1,8÷3,8	3	<20	<3	<20	
КП103М(Р1)		10	10	–	0,12	2,8÷7	3÷12	1,3÷4,4	3	<20	<3	<20	
КП302АМ	*p-n* переход, *n*-канал	20	10	24	0,3	1÷5	3÷24 [6]	5÷12,5	–	<10	<2,75	<20	T1в
КП302БМ		20	10	43	0,3	2,5÷7	18÷43 [6]	7÷14	–	<10	[<150]	<20	T1в
КП302ВМ		20	12	–	0,3	3÷10	<33 [6]	–	–	<10	[<100]	<20	T1в
КП302ГМ		20	10	–	0,3	2÷7	15÷65 [6]	7÷14,5	–	<10	[<150]	<20	T1в
КП303А	*p-n* переход, *n*-канал	25	30	20	0,2	0,5÷3	0,5÷2,5 [5]	1÷4	100	<1	–	<6	T3в
КП303Б		25	30	20	0,2	0,5÷3	0,5÷2,5 [5]	1÷4	100	<1	–	<6	T3в
КП303В		25	30	20	0,2	1÷4	1,5÷2 [5]	2÷5	100	<1	–	<6	T3в
КП303Г		25	30	20	0,2	<8	3÷12 [5]	3÷7	100	<0,1	–	<6	T3в
КП303Д		25	30	20	0,2	<8	3÷9 [5]	≥2,6	100	<1	≤4	<6	T3в
КП303Е		25	30	20	0,2	<8	5÷20 [5]	≥4	100	<1	≤4	<6	T3в
КП303Ж		25	30	20	0,2	0,3÷3	0,3÷3 [5]	1÷4	100	<5	–	<6	T3в
КП303И		25	30	20	0,2	0,5÷2	1,5÷5 [5]	2÷6	100	<5	≤4	<6	T3в
КП304А	изолированный затвор, *p*-канал	25	30	30	0,2	[≥5]	<0,0001	≥4	–	<20	[<100]	<9	T4a
2П305А	изолированный затвор, *n*-канал	15	±30	15	0,15	<6	–	6÷10	–	<1	<6,5	<5	T3г
2П305Б		15	±30	15	0,15	<6	–	6÷10	–	<1	–	<5	T3г
2П305В		15	±30	15	0,15	<6	–	6÷10	–	<1	<6,5	<5	T3г
2П305Г		15	±30	15	0,15	<6	–	6÷10	–	<1	–	<5	T3г
КП305Д		15	±15	15	0,15	<6	–	5,2÷10,5	–	<1	<7,5	<5	T3г
КП305Е		15	±15	15	0,15	<6	–	4÷8	–	<1	–	<5	T3г
КП305Ж		15	±15	15	0,15	<6	–	5,2÷10,5	–	<1	<7,5	<5	T3г
КП305И		15	±15	15	0,15	<6	–	4÷10,5	–	<1	–	<5	T3г
КП306А	два изолированных затвора, *n*-канал	20	20	20	0,15	-4...-0,8	–	3÷8	–	<1	4÷6	<5	T3д
КП306Б		20	20	20	0,15	-4...-0,2	–	3÷8	–	<1	4÷6	<5	T3д
КП306В		20	20	20	0,15	-6...-1,3	–	3÷8	–	<1	4÷6	<5	T3д
КП307А	*p-n* переход, *n*-канал	25	27	25	0,25	0,5÷3	3÷9	4÷9	600	<1	–	<5	T3в
КП307Б		25	27	25	0,25	1÷5	5÷15	5÷10	600	<1	<6	<5	T3в
КП307Г		25	27	25	0,25	1,5÷6	8÷24	6÷12	600	<1	<6	<5	T3в
КП307Е		25	27	25	0,25	<2,5	1,5÷5	3÷8	600	<1	–	<5	T3в
КП307Ж		25	27	25	0,25	<7	3÷25	4÷14	600	<0,1	–	<5	T3в
КП312А	*p-n* переход, *n*-канал	20	25	25	0,1	2÷8	8÷25	≥4	–	<10	1÷4	2÷4	T17б
КП312Б		20	25	25	0,1	0,8÷6	1,5÷7	≥2	–	<10	1÷6	2÷4	T17б
КП313А	изолированный затвор, *n*-канал	15	10	15	0,075	>6	–	4,5÷10,5	300	<8	<7,5	<7	T12б
КП313Б		15	10	15	0,075	>6	–	4,5÷10,5	300	<8	<7,5	<7	T12б
КП313В		15	10	15	0,075	>6	–	4,5÷10,5	300	<8	<7,5	<7	T12б
КП327А	два изолированных затвора, *n*-канал	14	5	30	0,2	<2,7	0,5÷17	≥9,5	1200	<50	<3,9	<6	T30
КП327Б		14	5	30	0,2	<2,7	0,5÷17	≥9,5	1200	<50	<2,8	<6	T30
КП327В		14	5	30	0,2	<2,7	<17	≥9,5	1200	<50	<4,5	<6	T30
КП327Г		14	5	30	0,2	<2,7	<17	≥9,5	1200	<50	<3	<6	T30
КП333А	*p-n* переход, *n*-канал	50	45	–	0,25	1÷8	[<0,001]	4÷5,8	–	<0,2	[<1500]	<6	T1в
КП333Б		40	35	–	0,25	0,6÷4	[<0,001]	2÷5	–	<100	[<1500]	<6	T1в
КП341А	*p-n* переход, *n*-канал	15	10	–	0,15	<3	5÷20	≥12	–	<1	<1,8	<5	T17б
КП341Б		15	10	–	0,15	<3	12÷35	≥18	–	<10	<1,8	<5,5	T17б
КП350А	два изолированных затвора, *n*-канал	15	15	30	0,2	0,07÷6	<3,5	6÷13	–	<1	3,7÷6	<6	T4б
КП350Б		15	15	30	0,2	0,07÷6	<3,5	6÷13	–	<1	2÷5	<6	T4б
КП350В		15	15	30	0,2	0,07÷6	<3,5	6÷13	–	<1	4,1÷8	<6	T4б
КП364А	диффузионный затвор *n*-канал	25	30	20	0,2	0,5÷3	0,5÷2,5	1÷4	–	<1	–	<6	T19ж
КП364Б		25	30	20	0,2	0,5÷3	0,5÷2,5	1÷4	–	<1	–	<6	T19ж
КП364В		25	30	20	0,2	1÷4	1,5÷5	2÷5	–	<1	–	<6	T19ж
КП364Г		25	30	20	0,2	<8	3÷12	3÷7	–	<0,1	–	<6	T19ж
КП364Д		25	30	20	0,2	<8	3÷9	≥2,6	–	<1	≤4	<6	T19ж
КП364Е		25	30	20	0,2	<8	5÷20	≥4	–	<1	≤4	<6	T19ж
КП364Ж		25	30	20	0,2	0,3÷3	0,3÷3	1÷4	–	<5	–	<6	T19ж
КП364И		25	30	20	0,2	0,5÷2	1,5÷5	2÷6	–	<5	–	<6	T19ж

Тип транзистора	Структура	$U_{СИ}$ max, В	$U_{ЗИ\,max}$ [$U_{СИ0}$], В	$I_{С\,max}$ мА	$P_{СИ\,[Т]\,max}$, Вт	$U_{ЗИ\,отс}$ [пор], В	$I_{С\,нач}$ [ост], мА	S, мА/В [$h_{21Е}$]	$f_{раб\,max}$, МГц	$I_{зут}$., нА	$K_Ш$, дБ [$R_{СИ\,отк}$], Ом	$C_{11и}$, пФ	№ рис.
КП601А	*р-п* переход, *п*-канал	20	15	–	2	4÷9	160÷400	40÷87	–	<10	2,6÷6	7,2÷10	Т7
КП601Б		20	15	–	2	6÷12	160÷400	40÷87	–	<10	2,6÷6	7,2÷10	Т7
КП707А1	изолированный затвор, *п*-канал	400	20	≥15 А	[50]	[2÷4,5]	<0,25 [<1]	≥1500	–	<0,1мА	[<1]	<1500	Т23в
КП707А2		400	20	≥15 А	[50]	[2÷4,5]	<0,25 [<1]	≥1500	–	<0,1мА	[<1]	<1500	Т23в
КП707Б1		600	20	≥10 А	[50]	[2÷4,5]	<0,25 [<1]	≥1500	–	<0,1мА	[<2]	<1500	Т23в
КП707Б2		600	20	≥10 А	[50]	[2÷4,5]	<0,25 [<1]	≥1500	–	<0,1мА	[<2]	<1500	Т23в
КП707В1		800	20	≥7 А	[50]	[2÷4,5]	<0,25 [<1]	≥1500	–	<0,1мА	[<3]	<1500	Т23в
КП707В2		800	20	≥6 А	[50]	[2÷4,5]	<0,25 [<1]	≥1500	–	<0,1мА	[<2,8]	<1500	Т23в
КП707Г1		700	20	≥8 А	[50]	[2÷4,5]	<0,25 [<1]	≥1500	–	<0,1мА	[<2,5]	<1500	Т23в
КП707Д1		500	20	≥12 А	[50]	[2÷4,5]	<0,25 [<1]	≥1500	–	<0,1мА	[<1,5]	<1500	Т23в
КП707Е1		750	20	≥8 А	[50]	[2÷4,5]	<0,25 [<1]	≥1500	–	<0,1мА	[<5]	<1500	Т23в
КП810А	п-канальный со статической индукцией	1500	[650]	7 А	[50]	–	[<0,5]	–	15	<2мА	[<0,2]	–	Т26б
КП810Б		1300	[650]	7 А	[50]	–	[<0,5]	–	15	<2мА	[<0,2]	–	Т26б
КП810В		1000	[700]	5 А	[50]	–	[<0,5]	–	15	<2мА	[<0,2]	–	Т26б
КП901А	изолированный затвор, *п*-канал	70	85	4 А	[20]	–	15÷200	50÷160	400	–	–	–	Т8б
КП901Б		70	85	4 А	[20]	–	15÷200	60÷170	400	–	–	–	Т8б
КП903А	*р-п* переход, *п*-канал	20	15	700	[6]	5÷12	<700	85÷140	–	<100	[3÷9,8]	–	Т8в
КП903Б		20	15	700	[6]	1÷6,5	<480	50÷130	–	<100	[2÷21]	–	Т8в
КП903В		20	15	700	[6]	1÷10	<600	60÷140	–	<100	[2÷10]	–	Т8в
КП904А	изолированный затвор, *п*-канал	70	30	10 А	[70]	–	<350 [200]	250÷520	400	–	–	–	Т9б
КП904Б		70	30	5 А	[70]	–	<350 [200]	250÷520	400	–	–	–	Т9б
КП905А	изолированный затвор, *п*-канал	60	±30	350	[4]	–	0,5÷20 [<1]	18÷39	1500	–	–	3÷7	Т14б
КП905Б		60	±30	350	[4]	–	0,5÷20 [<1]	18÷39	1500	–	<6,5	7÷11	Т14б
КП905В		60	±30	350	[4]	–	0,5÷20 [<1]	18÷39	1500	–	–	11÷13	Т14б
КП907А	изолированный затвор, *п*-канал	60	±30	1,7 А	[11,5]	–	20÷100 [<10]	110÷200	1500	–	–	–	Т14б
КП907Б		60	±30	1,3 А	[11,5]	–	20÷100 [<10]	100÷200	1500	–	–	–	Т14б
КП907В		60	±30	1 А	[11,5]	–	20÷100 [<10]	80÷110	1500	–	–	–	Т14б
КП922А(1)	изолированный затвор, *п*-канал	100	±30	10 А	[60]	[2÷8]	[<2]	1÷2,1 А/В	–	<5мкА	[0,13÷0,2]	<2000	Т10б
КП922Б(1)		100	±30	10 А	[60]	[2÷8]	[<2]	1÷2,1 А/В	–	<5мкА	[0,2÷0,4]	<2000	(Т23в)
КП934А	п-канальный со статической индукцией	450	5	10 А	[40]	–	[<3]	[>12]	50	<5мА	[<0,1]	–	Т10б
КП934Б		300	5	10 А	[40]	–	[<3]	[>12]	50	<5мА	[<0,1]	–	Т10б
КП934В		400	5	10 А	[40]	–	[<3]	[>12]	50	<5мА	[<0,1]	–	Т10б
КП948А	п-канальный со статической индукцией	800	[450]	5 А	[30]	–	[<0,5]	–	30	<0,5мА	[<0,15]	–	Т23в
КП948Б		800	[300]	5 А	[30]	–	[<0,5]	–	30	<0,5мА	[<0,15]	–	Т23в
КП948В		700	[370]	5 А	[30]	–	[<0,5]	–	30	<0,5мА	[<0,15]	–	Т23в
КП948Г		600	[250]	5 А	[30]	–	[<0,5]	–	30	<0,5мА	[<0,15]	–	Т23в
КП953А	п-канальный со статической индукцией	800	[450]	15 А	[50]	–	[<0,5]	–	20	<0,5мА	[<0,06]	–	Т26б
КП953Б		800	[300]	5 А	[50]	–	[<0,5]	–	20	<0,5мА	[<0,06]	–	Т26б
КП953В		700	[430]	15 А	[50]	–	[<0,5]	–	20	<0,5мА	[<0,06]	–	Т26б
КП953Г		600	[300]	15 А	[50]	–	[<0,5]	–	20	<0,5мА	[<0,06]	–	Т26б
КП953Д		800	[450]	15 А	[50]	–	[<0,5]	–	20	<0,5мА	[<0,065]	–	Т26б
КП954А	п-канальный со статической индукцией	150	[80]	20 А	[40]	–	[<0,3]	–	60	<0,3мА	[<0,03]	–	Т23в
КП954Б		100	[50]	20 А	[40]	–	[<0,3]	–	60	<0,3мА	[<0,03]	–	Т23в
КП954В		60	[40]	20 А	[40]	–	[<0,3]	–	60	<0,3мА	[<0,03]	–	Т23в
КП954Г		20	[20]	20 А	[40]	–	[<0,3]	–	60	<0,3мА	[<0,03]	–	Т23в
КП957А	п-канальный со статической индукцией	800	[400]	1 А	[10]	–	[<0,1]	–	30	<0,1мА	[<0,8]	–	Т22в
КП957Б		850	[300]	1 А	[10]	–	[<0,1]	–	30	<0,1мА	[<0,8]	–	Т22в
КП957В		700	[400]	1 А	[10]	–	[<0,1]	–	30	<0,1мА	[<0,8]	–	Т22в
КП958А	п-канальный со статической индукцией	150	–	20 А	[70]	–	[<0,5]	–	70	<0,5мА	[<0,02]	–	Т26б
КП958Б		100	–	20 А	[70]	–	[<0,5]	–	70	<0,5мА	[<0,02]	–	Т26б
КП958В		60	–	20 А	[70]	–	[<0,5]	–	70	<0,5мА	[<0,02]	–	Т26б
КП958Г		20	–	20 А	[70]	–	[<0,5]	–	70	<0,5мА	[<0,02]	–	Т26б
КП959А	п-канальный со статической индукцией	300	[220]	0,2 А	[7]	–	[<0,02]	[>40]	20	<20μА	[<5,7]	<2	Т22в
КП959Б		250	[200]	0,2 А	[7]	–	[<0,02]	[>40]	20	<20μА	[<5,7]	<2	Т22в
КП959В		200	[120]	0,2 А	[7]	–	[<0,02]	[>40]	20	<20μА	[<5,7]	<2	Т22в
КП960А	р-канальный со статической индукцией	300	[220]	0,2 А	[7]	–	[<0,02]	[>40]	20	<20μА	[<5,7]	<1,5	Т22в
КП960Б		250	[200]	0,2 А	[7]	–	[<0,02]	[>40]	20	<20μА	[<5,7]	<1,5	Т22в
КП960В		200	[120]	0,2 А	[7]	–	[<0,02]	[>40]	20	<20μА	[<5,7]	<1,5	Т22в
КП964А	р-канальный со статической индукцией	150	[80]	20 А	[40]	–	[<0,3]	–	60	<0,3мА	[<0,015]	–	Т23в
КП964Б		100	[50]	20 А	[40]	–	[<0,3]	–	60	<0,3мА	[<0,015]	–	Т23в
КП964В		60	[40]	20 А	[40]	–	[<0,3]	–	60	<0,3мА	[<0,013]	–	Т23в
КП964Г		20	[20]	20 А	[40]	–	[<0,3]	–	60	<0,3мА	[<0,013]	–	Т23в

Табл. 9.18. Параметры зарубежных биполярных транзисторов.

Тип транзистора	Струк-тура	$U_{кбо}$ В	$U_{кэо}$ В	$I_{кmax}$ мА	$P_{кmax}$ Вт	$h_{21э}$	$I_{кбо}$ мкА	$f_{гр}$. МГц	$К_ш$ дБ	№ рис.
BC223A	n-p-n	50	30	350	0,35	100÷300	<0,1	≥90	–	T19a (КБЭ)
BC223B	n-p-n	50	30	350	0,35	200÷450	<0,1	≥90	–	T19a (КБЭ)
BC237A	n-p-n	50	45	100	0,3	120÷220	<0,015	≥150	<10	T19a (КБЭ)
BC237B	n-p-n	50	45	100	0,3	180÷460	<0,015	≥150	<10	T19a (КБЭ)
BC237C	n-p-n	50	45	100	0,3	380÷800	<0,015	≥150	<10	T19a (КБЭ)
BC238A	n-p-n	30	25	100	0,3	120÷220	<0,015	≥150	<10	T19a (КБЭ)
BC238B	n-p-n	30	25	100	0,3	180÷460	<0,015	≥150	<10	T19a (КБЭ)
BC238C	n-p-n	30	25	100	0,3	380÷800	<0,015	≥150	<10	T19a (КБЭ)
BC239A	n-p-n	30	25	100	0,3	120÷220	<0,015	≥150	<4	T19a (КБЭ)
BC239B	n-p-n	30	25	100	0,3	180÷460	<0,015	≥150	<4	T19a (КБЭ)
BC239C	n-p-n	30	25	100	0,3	380÷800	<0,015	≥150	<4	T19a (КБЭ)
BC307A	p-n-p	50	45	100	0,3	120÷220	<0,015	130	<10	T19a (КБЭ)
BC307B	p-n-p	50	45	100	0,3	180÷460	<0,015	130	<10	T19a (КБЭ)
BC307C	p-n-p	50	45	100	0,3	380÷800	<0,015	130	<10	T19a (КБЭ)
BC308A	p-n-p	30	25	100	0,3	120÷220	<0,015	130	<10	T19a (КБЭ)
BC308B	p-n-p	30	25	100	0,3	180÷460	<0,015	130	<10	T19a (КБЭ)
BC308C	p-n-p	30	25	100	0,3	380÷800	<0,015	130	<10	T19a (КБЭ)
BC309A	p-n-p	30	25	100	0,3	120÷220	<0,015	130	<4	T19a (КБЭ)
BC309B	p-n-p	30	25	100	0,3	180÷460	<0,015	130	<4	T19a (КБЭ)
BC309C	p-n-p	30	25	100	0,3	380÷800	<0,015	130	<4	T19a (КБЭ)
BC327-16	p-n-p	50	45	800	0,625	100÷250	<0,1	100	–	T19a (КБЭ)
BC327-25	p-n-p	50	45	800	0,625	160÷400	<0,1	100	–	T19a (КБЭ)
BC327-40	p-n-p	50	45	800	0,625	250÷630	<0,1	100	–	T19a (КБЭ)
BC328-16	p-n-p	30	25	800	0,625	100÷250	<0,1	100	–	T19a (КБЭ)
BC328-25	p-n-p	30	25	800	0,625	160÷400	<0,1	100	–	T19a (КБЭ)
BC328-40	p-n-p	30	25	800	0,625	250÷630	<0,1	100	–	T19a (КБЭ)
BC337-16	n-p-n	50	45	800	0,625	100÷250	<0,1	100	–	T19a (КБЭ)
BC337-25	n-p-n	50	45	800	0,625	160÷400	<0,1	100	–	T19a (КБЭ)
BC337-40	n-p-n	50	45	800	0,625	250÷630	<0,1	100	–	T19a (КБЭ)
BC338-16	n-p-n	30	25	800	0,625	100÷250	<0,1	100	–	T19a (КБЭ)
BC338-25	n-p-n	30	25	800	0,625	160÷400	<0,1	100	–	T19a (КБЭ)
BC338-40	n-p-n	30	25	800	0,625	250÷630	<0,1	100	–	T19a (КБЭ)
BC516	p-n-p	40	30	400	0,625	≥30	<0,2	≥250	–	T19a (КБЭ)
BC517	n-p-n	40	30	400	0,625	≥30	<0,2	≥250	–	T19a (КБЭ)
BC546A	n-p-n	80	65	100	0,5	110÷220	<0,015	300	<10	T19a (КБЭ)
BC546B	n-p-n	80	65	100	0,5	200÷450	<0,015	300	<10	T19a (КБЭ)
BC546C	n-p-n	80	65	100	0,5	420÷800	<0,015	300	<10	T19a (КБЭ)
BC547A	n-p-n	50	45	100	0,5	110÷220	<0,015	300	<10	T19a (КБЭ)
BC547B	n-p-n	50	45	100	0,5	200÷450	<0,015	300	<10	T19a (КБЭ)
BC547C	n-p-n	50	45	100	0,5	420÷800	<0,015	300	<10	T19a (КБЭ)
BC548A	n-p-n	30	30	100	0,5	110÷220	<0,015	300	<10	T19a (КБЭ)
BC548B	n-p-n	30	30	100	0,5	200÷450	<0,015	300	<10	T19a (КБЭ)
BC548C	n-p-n	30	30	100	0,5	420÷800	<0,015	300	<10	T19a (КБЭ)
BC549A	n-p-n	30	30	100	0,5	110÷220	<0,015	300	<4	T19a (КБЭ)
BC549B	n-p-n	30	30	100	0,5	200÷450	<0,015	300	<4	T19a (КБЭ)
BC549C	n-p-n	30	30	100	0,5	420÷800	<0,015	300	<4	T19a (КБЭ)
BC550A	n-p-n	50	45	100	0,5	110÷220	<0,015	300	<3	T19a (КБЭ)
BC550B	n-p-n	50	45	100	0,5	200÷450	<0,015	300	<3	T19a (КБЭ)
BC550C	n-p-n	50	45	100	0,5	420÷800	<0,015	300	<3	T19a (КБЭ)
BC556A	p-n-p	80	65	100	0,5	110÷220	<0,015	150	<10	T19a (КБЭ)
BC556B	p-n-p	80	65	100	0,5	200÷450	<0,015	150	<10	T19a (КБЭ)
BC556C	p-n-p	80	65	100	0,5	420÷800	<0,015	150	<10	T19a (КБЭ)
BC557A	p-n-p	50	45	100	0,5	110÷220	<0,015	150	<10	T19a (КБЭ)
BC557B	p-n-p	50	45	100	0,5	200÷450	<0,015	150	<10	T19a (КБЭ)
BC557C	p-n-p	50	45	100	0,5	420÷800	<0,015	150	<10	T19a (КБЭ)
BC558A	p-n-p	30	30	100	0,5	110÷220	<0,015	150	<10	T19a (КБЭ)
BC558B	p-n-p	30	30	100	0,5	200÷450	<0,015	150	<10	T19a (КБЭ)
BC558C	p-n-p	30	30	100	0,5	420÷800	<0,015	150	<10	T19a (КБЭ)
BC559A	p-n-p	30	30	100	0,5	110÷220	<0,015	150	<4	T19a (КБЭ)
BC559B	p-n-p	30	30	100	0,5	200÷450	<0,015	150	<4	T19a (КБЭ)
BC559C	p-n-p	30	30	100	0,5	420÷800	<0,015	150	<4	T19a (КБЭ)
BC560A	p-n-p	50	45	100	0,5	110÷220	<0,015	150	<2	T19a (КБЭ)
BC560B	p-n-p	50	45	100	0,5	200÷450	<0,015	150	<2	T19a (КБЭ)
BC560C	p-n-p	50	45	100	0,5	420÷800	<0,015	150	<2	T19a (КБЭ)

Тип транзистора	Струк-тура	Uкбо В	Uкэо В	Ikmax мА	Pkmax Вт	h21э	Iкбо мкА	fгр. МГц	Кш дБ	№ рис.
BC635	n-p-n	50	45	400	0,75	40÷250	<0,1	100	–	T19г (ЭКБ)
BC636	p-n-p	50	45	400	0,75	40÷250	<0,1	100	–	T19г (ЭКБ)
BC637	n-p-n	80	60	400	0,75	40÷160	<0,1	100	–	T19г (ЭКБ)
BC638	p-n-p	80	60	400	0,75	40÷160	<0,1	100	–	T19г (ЭКБ)
BC639	n-p-n	100	80	400	0,75	40÷160	<0,1	100	–	T19г (ЭКБ)
BC640	p-n-p	100	80	400	0,75	40÷160	<0,1	100	–	T19г (ЭКБ)
BF391	n-p-n	200	200	500	0,625	50÷200	<0,1	≥70	–	T19в (ЭБК)
BF392	n-p-n	250	250	500	0,625	50÷200	<0,1	≥70	–	T19в (ЭБК)
BF393	n-p-n	300	300	500	0,625	50÷200	<0,1	≥70	–	T19в (ЭБК)
BF422	n-p-n	250	250	100	0,83	≥50	<0,1	≥60	–	T19г (ЭКБ)
BF423	p-n-p	250	250	100	0,83	≥50	<0,1	≥60	–	T19г (ЭКБ)
BF459	n-p-n	300	300	100	1,2	25÷240	<0,1	≥100	–	T22а (ЭКБ)
BF491	p-n-p	200	200	500	0,625	50÷200	<0,1	≥70	–	T19в (ЭБК)
BF492	p-n-p	250	250	500	0,625	50÷200	<0,1	≥70	–	T19в (ЭБК)
BF493	p-n-p	300	300	500	0,625	50÷200	<0,1	≥70	–	T19в (ЭБК)
MJE340	n-p-n	300	300	500	(20)	30÷240	<0,1	≥100	–	T22а (ЭКБ)
MJE350	p-n-p	300	300	500	(20)	30÷240	<0,1	≥100	–	T22а (ЭКБ)
MPSA-05	n-p-n	60	60	500	0,5	50÷150	<0,1	≥100	–	T19в (ЭБК)
MPSA-06	n-p-n	80	80	500	0,5	50÷150	<0,1	≥100	–	T19в (ЭБК)
MPSA-10	n-p-n	30	30	100	0,35	60÷400	<0,1	≥650	–	T19в (ЭБК)
MPSA-11	n-p-n	25	25	100	0,35	60÷400	<0,1	≥650	–	T19в (ЭБК)
MPSA-12*	n-p-n	20	10	100	0,31	≥20000	<0,1	≥125	–	T19в (ЭБК)
MPSA-13*	n-p-n	30	30	500	0,5	≥10000	<0,1	≥125	–	T19в (ЭБК)
MPSA-14*	n-p-n	30	30	500	0,5	≥20000	<0,1	≥125	–	T19в (ЭБК)
MPSA-17	n-p-n	20	15	50	0,35	25÷250	<0,1	≥800	24	T19в (ЭБК)
MPSA-20	n-p-n	40	30	100	0,3	≥25	<0,05	≥400	23	T19в (ЭБК)
MPSA-42	n-p-n	300	300	500	0,625	≥40	<0,1	≥50	–	T19в (ЭБК)
MPSA-43	n-p-n	200	200	500	0,625	≥40	<0,1	≥50	–	T19в (ЭБК)
MPSA-55	p-n-p	60	80	500	0,5	50÷150	<0,1	≥50	–	T19в (ЭБК)
MPSA-56	p-n-p	60	80	500	0,5	50÷150	<0,1	≥50	–	T19в (ЭБК)
MPSA-65*	p-n-p	30	30	300	0,5	≥50000	<0,1	≥175	–	T19в (ЭБК)
MPSA-66*	p-n-p	30	30	300	0,5	≥75000	<0,1	≥175	–	T19в (ЭБК)
MPSA-70	p-n-p	40	40	100	0,3	40÷400	<0,1	≥10	–	T19в (ЭБК)
MPSA-92	p-n-p	300	300	500	0,625	≥40	<0,25	≥50	–	T19в (ЭБК)
MPSA-93	p-n-p	200	200	500	0,625	≥40	<0,25	≥50	–	T19в (ЭБК)
SS8050B	n-p-n	40	25	1,5 A	1,0	85÷160	<0,1	≥100	–	T19в (ЭБК)
SS8050C	n-p-n	40	25	1,5 A	1,0	120÷200	<0,1	≥100	–	T19в (ЭБК)
SS8050D	n-p-n	40	25	1,5 A	1,0	160÷300	<0,1	≥100	–	T19в (ЭБК)
SS8550C	p-n-p	40	25	1,5 A	1,0	85÷160	<0,1	≥100	–	T19в (ЭБК)
SS8550C	p-n-p	40	25	1,5 A	1,0	120÷200	<0,1	≥100	–	T19в (ЭБК)
SS8550D	p-n-p	40	25	1,5 A	1,0	160÷300	<0,1	≥100	–	T19в (ЭБК)
SS9011D	n-p-n	50	30	30	0,4	28÷45	<0,1	≥150	≤4	T19в (ЭБК)
SS9011E	n-p-n	50	30	30	0,4	39÷60	<0,1	≥150	≤4	T19в (ЭБК)
SS9011F	n-p-n	50	30	30	0,4	54÷80	<0,1	≥150	≤4	T19в (ЭБК)
SS9011G	n-p-n	50	30	30	0,4	72÷108	<0,1	≥150	≤4	T19в (ЭБК)
SS9011H	n-p-n	50	30	30	0,4	97÷146	<0,1	≥150	≤4	T19в (ЭБК)
SS9011I	n-p-n	50	30	30	0,4	132÷198	<0,1	≥150	≤4	T19в (ЭБК)
SS9012D	p-n-p	40	20	500	0,625	64÷91	<0,1	150	–	T19в (ЭБК)
SS9012E	p-n-p	40	20	500	0,625	78÷112	<0,1	150	–	T19в (ЭБК)
SS9012F	p-n-p	40	20	500	0,625	96÷135	<0,1	150	–	T19в (ЭБК)
SS9012G	p-n-p	40	20	500	0,625	112÷166	<0,1	150	–	T19в (ЭБК)
SS9012H	p-n-p	40	20	500	0,625	144÷202	<0,1	150	–	T19в (ЭБК)
SS9013D	n-p-n	40	20	500	0,625	64÷91	<0,1	200	–	T19в (ЭБК)
SS9013E	n-p-n	40	20	500	0,625	78÷112	<0,1	200	–	T19в (ЭБК)
SS9013F	n-p-n	40	20	500	0,625	96÷135	<0,1	200	–	T19в (ЭБК)
SS9013G	n-p-n	40	20	500	0,625	112÷166	<0,1	200	–	T19в (ЭБК)
SS9013H	n-p-n	40	20	500	0,625	144÷202	<0,1	200	–	T19в (ЭБК)
SS9014A	n-p-n	50	45	100	0,45	60÷150	<0,05	≥150	<10	T19в (ЭБК)
SS9014B	n-p-n	50	45	100	0,45	100÷300	<0,05	≥150	<10	T19в (ЭБК)
SS9014C	n-p-n	50	45	100	0,45	200÷600	<0,05	≥150	<10	T19в (ЭБК)
SS9014D	n-p-n	50	45	100	0,45	400÷1000	<0,05	≥150	<10	T19в (ЭБК)
SS9015A	p-n-p	50	45	100	0,45	60÷150	<0,05	≥100	<10	T19в (ЭБК)
SS9015B	p-n-p	50	45	100	0,45	100÷300	<0,05	≥100	<10	T19в (ЭБК)
SS9015C	p-n-p	50	45	100	0,45	200÷600	<0,05	≥100	<10	T19в (ЭБК)
SS9016D	n-p-n	30	20	25	0,4	28÷45	<0,1	≥400	<5	T19в (ЭБК)
SS9016E	n-p-n	30	20	25	0,4	39÷60	<0,1	≥400	<5	T19в (ЭБК)
SS9016F	n-p-n	30	20	25	0,4	54÷80	<0,1	≥400	<5	T19в (ЭБК)
SS9016G	n-p-n	30	20	25	0,4	72÷108	<0,1	≥400	<5	T19в (ЭБК)
SS9016H	n-p-n	30	20	25	0,4	97÷146	<0,1	≥400	<5	T19в (ЭБК)
SS9016I	n-p-n	30	20	25	0,4	132÷198	<0,1	≥400	<5	T19в (ЭБК)

Тип транзистора	Структура	Uкбо В	Uкэо В	Iкmax мА	Pкmax Вт	h21э	Iкбо мкА	fгр. МГц	Кш дБ	№ рис.
SS9018D	n-p-n	30	15	50	0,4	28÷45	<0,05	≥700	–	T19в (ЭБК)
SS9018E	n-p-n	30	15	50	0,4	39÷60	<0,05	≥700	–	T19в (ЭБК)
SS9018F	n-p-n	30	15	50	0,4	54÷80	<0,05	≥700	–	T19в (ЭБК)
SS9018G	n-p-n	30	15	50	0,4	72÷108	<0,05	≥700	–	T19в (ЭБК)
SS9018H	n-p-n	30	15	50	0,4	97÷146	<0,05	≥700	–	T19в (ЭБК)
SS9018I	n-p-n	30	15	50	0,4	132÷198	<0,05	≥700	–	T19в (ЭБК)
2N3903	n-p-n	60	40	200	0,31	50÷150	<0,05	≥250	–	T19в (ЭБК)
2N3904	n-p-n	60	40	200	0,31	100÷300	<0,05	≥300	–	T19в (ЭБК)
2N3905	p-n-p	40	40	200	0,31	50÷150	<0,05	≥200	–	T19в (ЭБК)
2N3906	p-n-p	40	40	200	0,31	100÷300	<0,05	≥250	–	T19в (ЭБК)
2N4123	n-p-n	40	30	200	0,35	50÷150	<0,05	≥250	–	T19в (ЭБК)
2N4124	n-p-n	30	25	200	0,35	120÷360	<0,05	≥300	–	T19в (ЭБК)
2N4125	p-n-p	30	30	200	0,35	50÷150	<0,05	≥200	<5	T19в (ЭБК)
2N4126	p-n-p	25	25	200	0,35	120÷360	<0,05	≥250	<4	T19в (ЭБК)
2N4400	n-p-n	60	40	600	0,35	50÷150	<0,1	≥200	–	T19в (ЭБК)
2N4401	n-p-n	60	40	600	0,35	100÷300	<0,1	≥250	–	T19в (ЭБК)
2N4402	p-n-p	40	40	600	0,35	50÷150	<0,1	≥150	–	T19в (ЭБК)
2N4403	p-n-p	40	40	600	0,35	100÷300	<0,1	≥200	–	T19в (ЭБК)
2N5086	p-n-p	50	50	50	0,35	150÷500	<0,05	≥40	<3	T19в (ЭБК)
2N5087	p-n-p	50	50	50	0,35	250÷800	<0,05	≥40	<2	T19в (ЭБК)
2N5088	n-p-n	35	30	50	0,35	350÷900	<0,05	≥50	<3	T19в (ЭБК)
2N5089	n-p-n	30	25	50	0,35	450÷1200	<0,05	≥50	<2	T19в (ЭБК)
2N5210	n-p-n	50	50	50	0,31	250÷600	<0,05	≥30	<3	T19в (ЭБК)
2N5400	p-n-p	130	120	600	0,35	40÷180	<0,1	100÷400	<8	T19в (ЭБК)
2N5401	p-n-p	160	150	600	0,35	60÷240	<0,1	100÷400	<8	T19в (ЭБК)
2N5550	n-p-n	160	150	600	0,35	60÷250	<0,1	100÷300	<8	T19в (ЭБК)
2N5551	n-p-n	180	140	600	0,35	80÷250	<0,05	100÷300	<8	T19в (ЭБК)
2N6428	n-p-n	60	50	200	0,625	250÷650	<0,01	100÷700	<3,5	T19в (ЭБК)
2N6428A	n-p-n	60	50	200	0,625	250÷650	<0,01	100÷700	<3	T19в (ЭБК)
2N6515	n-p-n	250	250	500	0,625	50÷300	<0,05	40÷200	–	T19в (ЭБК)
2N6516	n-p-n	300	300	500	0,625	45÷270	<0,05	40÷200	–	T19в (ЭБК)
2N6517	n-p-n	350	350	500	0,625	30÷200	<0,05	40÷200	–	T19в (ЭБК)
2N6518	p-n-p	250	250	500	0,625	50÷300	<0,05	40÷200	–	T19в (ЭБК)
2N6519	p-n-p	300	300	500	0,625	45÷270	<0,05	40÷200	–	T19в (ЭБК)
2N6520	p-n-p	350	350	500	0,625	30÷200	<0,05	40÷200	–	T19в (ЭБК)
2SA539R	p-n-p	60	45	200	0,4	40÷80	<0,1	≥250	–	T19в (ЭБК)
2SA539O	p-n-p	60	45	200	0,4	70÷140	<0,1	≥250	–	T19в (ЭБК)
2SA539Y	p-n-p	60	45	200	0,4	120÷240	<0,1	≥250	–	T19в (ЭБК)
2SA542R	p-n-p	30	25	50	0,25	40÷80	<0,1	100	–	T19в (ЭБК)
2SA542O	p-n-p	30	25	50	0,25	70÷140	<0,1	100	–	T19в (ЭБК)
2SA542Y	p-n-p	30	25	50	0,25	120÷240	<0,1	100	–	T19в (ЭБК)
2SA542G	p-n-p	30	25	50	0,25	200÷400	<0,1	100	–	T19в (ЭБК)
2SA608	p-n-p	40	30	10	0,2	60÷180	<0,1	160	–	T19г (ЭКБ)
2SA642O	p-n-p	30	25	300	0,4	70÷140	<0,1	≥100	–	T19в (ЭБК)
2SA642Y	p-n-p	30	25	300	0,4	120÷240	<0,1	≥100	–	T19в (ЭБК)
2SA642G	p-n-p	30	25	300	0,4	200÷400	<0,1	≥100	–	T19в (ЭБК)
2SA643R	p-n-p	40	20	500	0,5	40÷80	<0,2	≥100	–	T19в (ЭБК)
2SA643O	p-n-p	40	20	500	0,5	70÷140	<0,2	≥100	–	T19в (ЭБК)
2SA643Y	p-n-p	40	20	500	0,5	120÷240	<0,2	≥100	–	T19в (ЭБК)
2SA643G	p-n-p	40	20	500	0,5	200÷400	<0,2	≥100	–	T19в (ЭБК)
2SA708R	p-n-p	80	60	700	0,8	40÷80	<0,1	50	–	T19в (ЭБК)
2SA708O	p-n-p	80	60	700	0,8	70÷140	<0,1	50	–	T19в (ЭБК)
2SA708Y	p-n-p	80	60	700	0,8	120÷240	<0,1	50	–	T19в (ЭБК)
2SA709R	p-n-p	160	150	700	0,8	40÷80	<0,1	50	–	T19в (ЭБК)
2SA709O	p-n-p	160	150	700	0,8	70÷140	<0,1	50	–	T19в (ЭБК)
2SA709Y	p-n-p	160	150	700	0,8	120÷240	<0,1	50	–	T19в (ЭБК)
2SA709G	p-n-p	160	150	700	0,8	200÷400	<0,1	50	–	T19в (ЭБК)
2SA733R	p-n-p	60	50	150	0,25	40÷80	<0,1	180	6	T19в (ЭБК)
2SA733O	p-n-p	60	50	150	0,25	70÷140	<0,1	180	6	T19в (ЭБК)
2SA733Y	p-n-p	60	50	150	0,25	120÷240	<0,1	180	6	T19в (ЭБК)
2SA733G	p-n-p	60	50	150	0,25	200÷400	<0,1	180	6	T19в (ЭБК)
2SA733L	p-n-p	60	50	150	0,25	350÷700	<0,1	180	6	T19в (ЭБК)
2SA910R	p-n-p	150	150	50	0,8	40÷80	<0,1	100	–	T21 (ЭКБ)
2SA910O	p-n-p	150	150	50	0,8	70÷140	<0,1	100	–	T21 (ЭКБ)
2SA910Y	p-n-p	150	150	50	0,8	120÷240	<0,1	100	–	T21 (ЭКБ)
2SA916O	p-n-p	120	120	800	0,9	80÷160	<0,1	120	–	T21 (ЭКБ)
2SA916Y	p-n-p	120	120	800	0,9	120÷240	<0,1	120	–	T21 (ЭКБ)

Тип транзистора	Структура	Uкбо В	Uкэо В	Ikmax мА	Pkmax Вт	h21э	Iкбо мкА	fгр. МГц	Кш дБ	№ рис.
2SA928AO	p-n-p	30	30	2A	1,0	100÷200	<0,1	120	–	T21 (ЭКБ)
2SA928AY	p-n-p	30	30	2A	1,0	160÷320	<0,1	120	–	T21 (ЭКБ)
2SA931R	p-n-p	80	60	700	1,0	40÷80	<0,1	100	–	T21 (ЭКБ)
2SA931O	p-n-p	80	60	700	1,0	70÷140	<0,1	100	–	T21 (ЭКБ)
2SA931Y	p-n-p	80	60	700	1,0	120÷240	<0,1	100	–	T21 (ЭКБ)
2SA954O	p-n-p	80	80	300	0,6	90÷180	<0,1	100	–	T19г (ЭКБ)
2SA954Y	p-n-p	80	80	300	0,6	135÷270	<0,1	100	–	T19г (ЭКБ)
2SA954G	p-n-p	80	80	300	0,6	200÷400	<0,1	100	–	T19г (ЭКБ)
2SA970	p-n-p	120	120	100	0,3	200÷700	<0,1	100	–	T19г (ЭКБ)
2SA992P	p-n-p	120	120	50	0,5	200÷400	<0,05	100	–	T19г (ЭКБ)
2SA992F	p-n-p	120	120	50	0,5	300÷600	<0,05	100	–	T19г (ЭКБ)
2SA992E	p-n-p	120	120	50	0,5	400÷800	<0,05	100	–	T19г (ЭКБ)
2SA1013R	p-n-p	160	160	500	0,9	60÷120	<1	50	–	T21 (ЭКБ)
2SA1013O	p-n-p	160	160	500	0,9	100÷200	<1	50	–	T21 (ЭКБ)
2SA1013Y	p-n-p	160	160	500	0,9	160÷320	<1	50	–	T21 (ЭКБ)
2SA1150R	p-n-p	40	20	500	0,3	40÷80	<0,1	40÷400	–	T20 (ЭКБ)
2SA1150O	p-n-p	40	20	500	0,3	70÷140	<0,1	40÷400	–	T20 (ЭКБ)
2SA1150Y	p-n-p	40	20	500	0,3	120÷240	<0,1	40÷400	–	T20 (ЭКБ)
2SA1150G	p-n-p	40	20	500	0,3	200÷400	<0,1	40÷400	–	T20 (ЭКБ)
2SA1174P	p-n-p	120	120	50	0,3	200÷400	<0,1	100	LN	T20 (ЭКБ)
2SA1174F	p-n-p	120	120	50	0,3	300÷600	<0,1	100	LN	T20 (ЭКБ)
2SA1174E	p-n-p	120	120	50	0,3	400÷800	<0,1	100	LN	T20 (ЭКБ)
2SA1175R	p-n-p	60	50	150	0,25	40÷80	<0,1	180	6	T20 (ЭКБ)
2SA1175O	p-n-p	60	50	150	0,25	70÷140	<0,1	180	6	T20 (ЭКБ)
2SA1175Y	p-n-p	60	50	150	0,25	120÷240	<0,1	180	6	T20 (ЭКБ)
2SA1175G	p-n-p	60	50	150	0,25	200÷400	<0,1	180	6	T20 (ЭКБ)
2SA1175L	p-n-p	60	50	150	0,25	350÷700	<0,1	180	6	T20 (ЭКБ)
2SA1319	p-n-p	180	160	700	0,7	200÷400	<0,1	120	–	T19г (ЭКБ)
2SA1370D	p-n-p	200	200	100	1,0	60÷120	<0,1	150	–	T21 (ЭКБ)
2SA1370E	p-n-p	200	200	100	1,0	100÷200	<0,1	150	–	T21 (ЭКБ)
2SA1370F	p-n-p	200	200	100	1,0	160÷320	<0,1	150	–	T21 (ЭКБ)
2SA1378O	p-n-p	30	25	300	0,3	70÷140	<0,1	200	–	T20 (ЭКБ)
2SA1378Y	p-n-p	30	25	300	0,3	120÷240	<0,1	200	–	T20 (ЭКБ)
2SA1378G	p-n-p	30	25	300	0,3	200÷400	<0,1	200	–	T20 (ЭКБ)
2SA1625M	p-n-p	400	400	500	0,75	40÷80	<1	≥10	–	T19в (ЭБК)
2SA1625L	p-n-p	400	400	500	0,75	60÷120	<1	≥10	–	T19в (ЭБК)
2SA1625K	p-n-p	400	400	500	0,75	100÷200	<1	≥10	–	T19в (ЭБК)
2SB564AO	p-n-p	30	25	1,0A	0,8	70÷140	<0,1	110	–	T19в (ЭБК)
2SB564AY	p-n-p	30	25	1,0A	0,8	120÷240	<0,1	110	–	T19в (ЭБК)
2SB564AG	p-n-p	30	25	1,0A	0,8	200÷400	<0,1	110	–	T19в (ЭБК)
2SB810O	p-n-p	30	25	700	0,35	70÷140	<0,1	160	–	T20 (ЭКБ)
2SB810Y	p-n-p	30	25	700	0,35	120÷240	<0,1	160	–	T20 (ЭКБ)
2SB810G	p-n-p	30	25	700	0,35	200÷400	<0,1	160	–	T20 (ЭКБ)
2SB811O	p-n-p	30	25	1,0A	0,35	70÷140	<0,1	110	–	T20 (ЭКБ)
2SB811Y	p-n-p	30	25	1,0A	0,35	120÷240	<0,1	110	–	T20 (ЭКБ)
2SB811G	p-n-p	30	25	1,0A	0,35	200÷400	<0,1	110	–	T20 (ЭКБ)
2SB1116Y	p-n-p	60	50	1,0A	0,75	135÷270	<0,1	120	–	T19г (ЭКБ)
2SB1116G	p-n-p	60	50	1,0A	0,75	200÷400	<0,1	120	–	T19г (ЭКБ)
2SB1116L	p-n-p	60	50	1,0A	0,75	300÷600	<0,1	120	–	T19г (ЭКБ)
2SB1116AY	p-n-p	80	60	1,0A	0,75	135÷270	<0,1	120	–	T19г (ЭКБ)
2SB1116AG	p-n-p	80	60	1,0A	0,75	200÷400	<0,1	120	–	T19г (ЭКБ)
2SB1116AL	p-n-p	80	60	1,0A	0,75	300÷600	<0,1	120	–	T19г (ЭКБ)
2SC184R	n-p-n	30	25	50	0,25	40÷80	<0,1	≥100	–	T19в (ЭБК)
2SC184O	n-p-n	30	25	50	0,25	70÷140	<0,1	≥100	–	T19в (ЭБК)
2SC184Y	n-p-n	30	25	50	0,25	120÷240	<0,1	≥100	–	T19в (ЭБК)
2SC184G	n-p-n	30	25	50	0,25	200÷400	<0,1	≥100	–	T19в (ЭБК)
2SC184L	n-p-n	30	25	50	0,25	350÷700	<0,1	≥100	–	T19в (ЭБК)
2SC184V	n-p-n	30	25	50	0,25	600÷1000	<0,1	≥100	–	T19в (ЭБК)
2SC380	n-p-n	35	30	50	0,2	40÷240	<0,5	230	–	T19г (ЭКБ)
2SC388	n-p-n	30	25	50	0,3	20÷200	<0,1	≥300	–	T19г (ЭКБ)
2SC815R	n-p-n	60	45	200	0,4	40÷80	<0,1	250	–	T19в (ЭБК)
2SC815O	n-p-n	60	45	200	0,4	70÷140	<0,1	250	–	T19в (ЭБК)
2SC815Y	n-p-n	60	45	200	0,4	120÷240	<0,1	250	–	T19в (ЭБК)
2SC815G	n-p-n	60	45	200	0,4	200÷400	<0,1	250	–	T19в (ЭБК)
2SC838R	n-p-n	35	25	30	0,25	40÷80	<0,1	250	–	T19в (ЭБК)
2SC838O	n-p-n	35	25	30	0,25	70÷140	<0,1	250	–	T19в (ЭБК)
2SC838Y	n-p-n	35	25	30	0,25	120÷240	<0,1	250	–	T19в (ЭБК)

Тип транзистора	Струк-тура	Uкбо В	Uкэо В	Iкmax мА	Pкmax Вт	h21э	Iкбо мкА	fгр. МГц	Кш дБ	№ рис.
2SC839R	n-p-n	35	30	100	0,25	40÷80	<0,1	240	–	T19в (ЭБК)
2SC839O	n-p-n	35	30	100	0,25	70÷140	<0,1	240	–	T19в (ЭБК)
2SC839Y	n-p-n	35	30	100	0,25	120÷240	<0,1	240	–	T19в (ЭБК)
2SC839G	n-p-n	35	30	100	0,25	200÷400	<0,1	240	–	T19в (ЭБК)
2SC900Y	n-p-n	30	25	50	0,25	120÷240	<0,05	100	–	T19в (ЭБК)
2SC900G	n-p-n	30	25	50	0,25	200÷400	<0,05	100	–	T19в (ЭБК)
2SC900L	n-p-n	30	25	50	0,25	120÷240	<0,05	100	–	T19в (ЭБК)
2SC900V	n-p-n	30	25	50	0,25	200÷400	<0,05	100	–	T19в (ЭБК)
2SC945R	n-p-n	60	50	150	0,25	40÷80	<0,1	300	4	T19в (ЭБК)
2SC945O	n-p-n	60	50	150	0,25	70÷140	<0,1	300	4	T19в (ЭБК)
2SC945Y	n-p-n	60	50	150	0,25	120÷240	<0,1	300	4	T19в (ЭБК)
2SC945G	n-p-n	60	50	150	0,25	200÷400	<0,1	300	4	T19в (ЭБК)
2SC945L	n-p-n	60	50	150	0,25	350÷700	<0,1	300	4	T19в (ЭБК)
2SC1008R	n-p-n	80	60	700	0,8	40÷80	<0,1	50	–	T19в (ЭБК)
2SC1008O	n-p-n	80	60	700	0,8	70÷140	<0,1	50	–	T19в (ЭБК)
2SC1008Y	n-p-n	80	60	700	0,8	120÷240	<0,1	50	–	T19в (ЭБК)
2SC1008G	n-p-n	80	60	700	0,8	200÷400	<0,1	50	–	T19в (ЭБК)
2SC1009R	n-p-n	160	140	700	0,8	40÷80	<0,1	50	–	T19в (ЭБК)
2SC1009O	n-p-n	160	140	700	0,8	70÷140	<0,1	50	–	T19в (ЭБК)
2SC1009Y	n-p-n	160	140	700	0,8	120÷240	<0,1	50	–	T19в (ЭБК)
2SC1009G	n-p-n	160	140	700	0,8	200÷400	<0,1	50	–	T19в (ЭБК)
2SC1187R	n-p-n	30	20	30	0,25	40÷80	<0,1	700	–	T19в (ЭБК)
2SC1187O	n-p-n	30	20	30	0,25	70÷140	<0,1	700	–	T19в (ЭБК)
2SC1187Y	n-p-n	30	20	30	0,25	120÷240	<0,1	700	–	T19в (ЭБК)
2SC1222Y	n-p-n	50	45	50	0,25	120÷240	<0,05	100	–	T19в (ЭБК)
2SC1222G	n-p-n	50	45	50	0,25	200÷400	<0,05	100	–	T19в (ЭБК)
2SC1222L	n-p-n	50	45	50	0,25	350÷700	<0,05	100	–	T19в (ЭБК)
2SC1222V	n-p-n	50	45	50	0,25	600÷1000	<0,05	100	–	T19в (ЭБК)
2SC1393R	n-p-n	30	30	20	0,25	40÷80	<0,1	700	<3	T19д (БЭК)
2SC1393O	n-p-n	30	30	20	0,25	60÷140	<0,1	700	<3	T19д (БЭК)
2SC1393Y	n-p-n	30	30	20	0,25	90÷180	<0,1	700	<3	T19д (БЭК)
2SC1394R	n-p-n	30	30	20	0,25	40÷80	<0,1	700	<3,5	T19д (БЭК)
2SC1394O	n-p-n	30	30	20	0,25	60÷140	<0,1	700	<3,5	T19д (БЭК)
2SC1394Y	n-p-n	30	30	20	0,25	90÷180	<0,1	700	<3,5	T19д (БЭК)
2SC1395R	n-p-n	30	15	20	0,25	40÷80	<0,1	1100	–	T19в (ЭБК)
2SC1395O	n-p-n	30	15	20	0,25	70÷140	<0,1	1100	–	T19в (ЭБК)
2SC1395Y	n-p-n	30	15	20	0,25	12÷240	<0,1	1100	–	T19в (ЭБК)
2SC1674M	n-p-n	30	20	20	0,25	20÷60	<0,1	600	<5	T19в (ЭБК)
2SC1674L	n-p-n	30	20	20	0,25	60÷120	<0,1	600	<5	T19в (ЭБК)
2SC1674K	n-p-n	30	20	20	0,25	90÷180	<0,1	600	<5	T19в (ЭБК)
2SC1675M	n-p-n	50	30	30	0,25	20÷60	<0,1	300	–	T19в (ЭБК)
2SC1675L	n-p-n	50	30	30	0,25	60÷120	<0,1	300	–	T19в (ЭБК)
2SC1675K	n-p-n	50	30	30	0,25	90÷180	<0,1	250	–	T19в (ЭБК)
2SC1730M	n-p-n	30	15	50	0,25	20÷60	<0,1	1100	–	T19г (ЭКБ)
2SC1730L	n-p-n	30	15	50	0,25	60÷120	<0,1	1100	–	T19г (ЭКБ)
2SC1730K	n-p-n	30	15	50	0,25	90÷180	<0,1	1100	–	T19г (ЭКБ)
2SC1815BL	n-p-n	60	50	150	0,4	350÷700	<0,1	≥80	<10	T19г (ЭКБ)
2SC1815GR	n-p-n	60	50	150	0,4	200÷400	<0,1	≥80	<10	T19г (ЭКБ)
2SC1815O	n-p-n	60	50	150	0,4	70÷140	<0,1	≥80	<10	T19г (ЭКБ)
2SC1815Y	n-p-n	60	50	150	0,4	120÷240	<0,1	≥80	<10	T19г (ЭКБ)
2SC1815L	n-p-n	60	50	150	0,4	70÷700	<0,1	≥80	<3	T19г (ЭКБ)
2SC1845P	n-p-n	120	120	50	0,5	200÷400	<0,05	110	–	T19г (ЭКБ)
2SC1845F	n-p-n	120	120	50	0,5	300÷600	<0,05	110	–	T19г (ЭКБ)
2SC1845E	n-p-n	120	120	50	0,5	400÷800	<0,05	110	–	T19г (ЭКБ)
2SC1845U	n-p-n	120	120	50	0,5	600÷1200	<0,05	110	–	T19г (ЭКБ)
2SC2001M	n-p-n	30	25	700	0,6	90÷180	<0,1	170	–	T19г (ЭКБ)
2SC2001L	n-p-n	30	25	700	0,6	135÷270	<0,1	170	–	T19г (ЭКБ)
2SC2001K	n-p-n	30	25	700	0,6	400÷200	<0,1	170	–	T19г (ЭКБ)
2SC2240GR	n-p-n	120	120	100	0,3	200÷400	<0,1	100	–	T19г (ЭКБ)
2SC2240BL	n-p-n	120	120	100	0,3	350÷700	<0,1	100	<4	T19г (ЭКБ)
2SC2310R	n-p-n	200	150	50	0,8	40÷80	<0,1	100	–	T21 (ЭКБ)
2SC2310O	n-p-n	200	150	50	0,8	70÷140	<0,1	100	–	T21 (ЭКБ)
2SC2310Y	n-p-n	200	150	50	0,8	120÷240	<0,1	100	–	T21 (ЭКБ)
2SC2316O	n-p-n	120	120	800	0,9	80÷160	<0,1	120	–	T21 (ЭКБ)
2SC2316Y	n-p-n	120	120	800	0,9	120÷240	<0,1	120	–	T21 (ЭКБ)
2SC2328AO	n-p-n	30	30	2A	1,0	100÷200	<0,1	120	–	T21 (ЭКБ)
2SC2328AY	n-p-n	30	30	2A	1,0	160÷320	<0,1	120	–	T21 (ЭКБ)

Тип транзистора	Структура	Uкбо В	Uкэо В	Iкmax мА	Pкmax Вт	h21э	Iкбо мкА	fгр. МГц	Кш дБ	№ рис.
2SC2330R	n-p-n	300	300	100	1,0	40÷80	<0,1	50	–	T21 (ЭКБ)
2SC2330O	n-p-n	300	300	100	1,0	70÷140	<0,1	50	–	T21 (ЭКБ)
2SC2330Y	n-p-n	300	300	100	1,0	120÷240	<0,1	50	–	T21 (ЭКБ)
2SC2331R	n-p-n	80	60	700	1,0	40÷80	<0,1	50	–	T21 (ЭКБ)
2SC2331O	n-p-n	80	60	700	1,0	70÷140	<0,1	50	–	T21 (ЭКБ)
2SC2331Y	n-p-n	80	60	700	1,0	120÷240	<0,1	50	–	T21 (ЭКБ)
2SC2383O	n-p-n	160	160	1 A	0,9	100÷200	<1	100	–	T21 (ЭКБ)
2SC2383R	n-p-n	160	160	1 A	0,9	60÷120	<1	100	–	T21 (ЭКБ)
2SC2383Y	n-p-n	160	160	1 A	0,9	100÷200	<1	100	–	T21 (ЭКБ)
2SC2500A	n-p-n	30	10	2 A	0,9	140÷240	<0,1	150	–	T21 (ЭКБ)
2SC2500B	n-p-n	30	10	2 A	0,9	200÷330	<0,1	150	–	T21 (ЭКБ)
2SC2500C	n-p-n	30	10	2 A	0,9	300÷450	<0,1	150	–	T21 (ЭКБ)
2SC2500D	n-p-n	30	10	2 A	0,9	420÷600	<0,1	150	–	T21 (ЭКБ)
2SC2669R	n-p-n	35	30	30	0,2	40÷80	<0,1	250	–	T20 (ЭКБ)
2SC2669O	n-p-n	35	30	30	0,2	70÷140	<0,1	250	–	T20 (ЭКБ)
2SC2669Y	n-p-n	35	30	30	0,2	120÷240	<0,1	250	–	T20 (ЭКБ)
2SC2710R	n-p-n	40	20	500	0,3	40÷80	<0,1	120	–	T20 (ЭКБ)
2SC2710O	n-p-n	40	20	500	0,3	70÷140	<0,1	120	–	T20 (ЭКБ)
2SC2710Y	n-p-n	40	20	500	0,3	120÷240	<0,1	120	–	T20 (ЭКБ)
2SC2710G	n-p-n	40	20	500	0,3	200÷400	<0,1	120	–	T20 (ЭКБ)
2SC2753	n-p-n	17	12	70	0,3	30÷180	<1	1000	–	T19д (БЭК)
2SC2784P	n-p-n	120	120	50	0,3	200÷400	<0,05	110	–	T20 (ЭКБ)
2SC2784F	n-p-n	120	120	50	0,3	300÷600	<0,05	110	–	T20 (ЭКБ)
2SC2784E	n-p-n	120	120	50	0,3	400÷800	<0,05	110	–	T20 (ЭКБ)
2SC2784U	n-p-n	120	120	50	0,3	600÷1200	<0,05	110	–	T20 (ЭКБ)
2SC2785O	n-p-n	60	50	150	0,25	70÷140	<0,1	300	–	T20 (ЭКБ)
2SC2785Y	n-p-n	60	50	150	0,25	120÷240	<0,1	300	–	T20 (ЭКБ)
2SC2785G	n-p-n	60	50	150	0,25	200÷400	<0,1	300	–	T20 (ЭКБ)
2SC2785L	n-p-n	60	50	150	0,25	350÷700	<0,1	300	–	T20 (ЭКБ)
2SC2786R	n-p-n	30	20	20	0,25	40÷80	<0,1	300	–	T20 (ЭКБ)
2SC2786O	n-p-n	30	20	20	0,25	70÷140	<0,1	300	–	T20 (ЭКБ)
2SC2786Y	n-p-n	30	20	20	0,25	120÷240	<0,1	300	–	T20 (ЭКБ)
2SC2787R	n-p-n	50	30	50	0,25	40÷80	<0,1	300	–	T20 (ЭКБ)
2SC2787O	n-p-n	50	30	50	0,25	70÷140	<0,1	300	–	T20 (ЭКБ)
2SC2787U	n-p-n	50	30	50	0,25	120÷240	<0,1	300	–	T20 (ЭКБ)
2SC3488O	n-p-n	30	25	300	0,3	70÷140	<0,1	300	–	T20 (ЭКБ)
2SC3488Y	n-p-n	30	25	300	0,3	120÷240	<0,1	300	–	T20 (ЭКБ)
2SC3488G	n-p-n	30	25	300	0,3	200÷400	<0,1	300	–	T20 (ЭКБ)
2SC5019L	n-p-n	30	10	2A	0,75	140÷240	<0,1	150	–	T19г (ЭКБ)
2SC5019M	n-p-n	30	10	2A	0,75	200÷330	<0,1	150	–	T19г (ЭКБ)
2SC5019N	n-p-n	30	10	2A	0,75	300÷450	<0,1	150	–	T19г (ЭКБ)
2SC5019P	n-p-n	30	10	2A	0,75	420÷600	<0zz,1	150	–	T19г (ЭКБ)
2SD227O	n-p-n	30	25	300	0,4	70÷140	<0,1	100	–	T19в (ЭБК)
2SD227Y	n-p-n	30	25	300	0,4	120÷240	<0,1	100	–	T19в (ЭБК)
2SD227G	n-p-n	30	25	300	0,4	200÷400	<0,1	100	–	T19в (ЭБК)
2SD261R	n-p-n	40	20	500	0,5	40÷80	<0,1	100	–	T19в (ЭБК)
2SD261O	n-p-n	40	20	500	0,5	70÷140	<0,1	100	–	T19в (ЭБК)
2SD261Y	n-p-n	40	20	500	0,5	120÷240	<0,1	100	–	T19в (ЭБК)
2SD261G	n-p-n	40	20	500	0,5	200÷400	<0,1	100	–	T19в (ЭБК)
2SD471AO	n-p-n	40	30	1,0A	0,8	70÷140	<0,1	130	–	T19в (ЭБК)
2SD471AY	n-p-n	40	30	1,0A	0,8	120÷240	<0,1	130	–	T19в (ЭБК)
2SD471AG	n-p-n	40	30	1,0A	0,8	200÷400	<0,1	130	–	T19в (ЭБК)
2SD1020O	n-p-n	30	25	700	0,35	70÷140	<0,1	170	–	T20 (ЭКБ)
2SD1020Y	n-p-n	30	25	700	0,35	120÷240	<0,1	170	–	T20 (ЭКБ)
2SD1020G	n-p-n	30	25	700	0,35	200÷400	<0,1	170	–	T20 (ЭКБ)
2SD1021O	n-p-n	40	30	1,0A	0,35	70÷140	<0,1	130	–	T20 (ЭКБ)
2SD1021Y	n-p-n	40	30	1,0A	0,35	120÷240	<0,1	130	–	T20 (ЭКБ)
2SD1021G	n-p-n	40	30	1,0A	0,35	200÷400	<0,1	130	–	T20 (ЭКБ)
2SD1616Y	n-p-n	60	50	1,0A	0,75	135÷270	<0,1	160	–	T19г (ЭКБ)
2SD1616G	n-p-n	60	50	1,0A	0,75	200÷400	<0,1	160	–	T19г (ЭКБ)
2SD1616L	n-p-n	60	50	1,0A	0,75	300÷600	<0,1	160	–	T19г (ЭКБ)
2SD1616AY	n-p-n	120	60	1,0A	0,75	135÷270	<0,1	160	–	T19г (ЭКБ)
2SD1616AG	n-p-n	120	60	1,0A	0,75	200÷400	<0,1	160	–	T19г (ЭКБ)
2SD1616AL	n-p-n	120	60	1,0A	0,75	300÷600	<0,1	160	–	T19г (ЭКБ)
2SD5041P	n-p-n	40	20	5,0A	0,75	180÷270	<0,1	150	–	T19г (ЭКБ)
2SD5041Q	n-p-n	40	20	5,0A	0,75	230÷380	<0,1	150	–	T19г (ЭКБ)
2SD5041R	n-p-n	40	20	5,0A	0,75	340÷600	<0,1	150	–	T19г (ЭКБ)

9.8. ЗАМЕНА ЗАРУБЕЖНЫХ РАДИОЭЛЕМЕНТОВ

Для замены малосигнальных диодов типа 1N4148 можно использовать любой из перечисленных: КД510, КД521, КД522.

Замену выпрямительных диодов типа 1N4001…1N4004 которые устанавливаются на входе ТА и в вызывном устройстве, можно произвести на КД105, КД208, КД209, КД243.

Кольцевая метка на корпусе зарубежных диодов и стабилитронов обычно расположена у катода.

Табл. 9.19. Возможная замена зарубежных транзисторов.

Транзистор	Возможная замена	Транзистор	Возможная замена	Транзистор	Возможная замена	Транзистор	Возможная замена
2N1221	КТ501Г	2N5178	КТ909Б	2SA611	КТ361А3	2SD882	КТ9177А
2N1613	КТ630Г	2N5210	КТ3102Б	2SA733G	КТ3107И	2SD900B	КТ8183А
2N1715	КТ630В	2N5400	КТ6116Б	2SA733L	КТ3107И	BC119	КТ630Б
2N2218	КТ928А	2N5401	КТ6116А	2SA733O	КТ3107А	BC140	КТ630Д
2N2219	КТ928Б	2N5483	2Т919А	2SA733R	КТ3107А	BC223A	КТ660Б
2N2219A	КТ928В	2N5550	КТ6117Б	2SA733Y	КТ3107Б	BC223B	КТ660Б
2N2221	КТ3117А	2N5551	КТ6117А	2SB506A	2Т842А	BC237A	КТ3102А
2N2222A	КТ3117Б	2N5589	КТ920А	2SB546A	КТ851В	BC237B	КТ3102Б
2N2332	2Т208Б	2N5590	КТ920Б	2SB710	КТ3173А9	BC237C	КТ3102Б
2N2334	2Т208Г	2N5591	КТ920В	2SB772	КТ9176А	BC238A	КТ645А
2N2335	2Т208Д	2N5641	КТ922А	2SB970	КТ3171А9	BC238B	КТ3102В
2N2336	2Т208Л	2N5642	КТ922Б	2SC1618	КТ808БМ	BC238C	КТ3102В
2N2337	2Т208М	2N5643	КТ922В	2SC1619A	КТ808АМ	BC239A	КТ3102Д
2N2369	КТ3142А	2N5650	2Т3114А-6	2SC1815BL	КТ3102Б	BC239B	КТ3102Д
2N2405	2Т630А	2N5672	2Т974А	2SC1815GR	КТ3102Б	BC239C	КТ3102Д
2N2440	2Т630Б	2N5709	КТ944А	2SC1815L	КТ3102Б	BC307A	КТ3107Б
2N2904	КТ692А	2N5758	2Т818А	2SC1815O	КТ3102А	BC307B	КТ3107И
2N3055	КТ8150А	2N5773	КТ8101А	2SC1815Y	КТ3102Б	BC307C	КТ3107И
2N3250	КТ3108А	2N5875	2Т818Б	2SC1929	КТ504В	BC308A	КТ3107Г
2N3250A	КТ3108Б	2N6034	КТ8130А	2SC2122	КТ841Б	BC308B	КТ3107Д
2N3251	КТ3108В	2N6035	КТ8130Б	2SC216B	КТ850А	BC308C	КТ3107К
2N3448	2Т504А	2N6036	КТ8130В	2SC2240BL	КТ503Е	BC309A	КТ3107Е
2N3725	КТ635Б	2N6037	КТ8131А	2SC2240GR	КТ503Е	BC309B	КТ3107Ж
2N3733	КТ907А	2N6038	КТ8131Б	2SC2270	КТ9157	BC309C	КТ3107Л
2N3903	КТ645А	2N6039	КТ8131В	2SC3150	КТ8118А	BC327-16	КТ686А
2N3904	КТ6137А	2N6047	КТ947А	2SC3217	2Т9155А	BC327-25	КТ686Б
2N3905	КТ313А	2N6053	КТ825Б	2SC3218	2Т9155Б	BC327-40	КТ686В
2N3906	КТ6136А	2N6054	КТ825А	2SC3257	КТ854А	BC328-16	КТ686Г
2N3939	2Т506А	2N6093	КТ912А	2SC3277M	2Т718А	BC328-25	КТ686Д
2N4001	2Т653Б	2N6202	КТ934А	2SC3306	КТ8117А	BC328-40	КТ686Е
2N4060	КТ681А	2N6203	КТ934Б	2SC3360	2Т9155В	BC337-16	КТ660А
2N4123	КТ503А	2N6204	КТ934В	2SC3412	КТ886А1	BC337-25	КТ660А
2N4124	КТ503Б	2N6253	2Т818В	2SC3750	КТ8108А	BC337-40	КТ660А
2N4125	КТ502А	2N6278	КТ879Б	2SC380	КТ315Г	BC338-16	КТ660Б
2N4126	КТ502Б	2N6279	КТ879А	2SC388	КТ315Г	BC338-25	КТ660Б
2N4236	КТ830Г	2N6362	КТ930А	2SC4055	КТ8120А	BC338-40	КТ660Б
2N4239	КТ831Г	2N6364	КТ930Б	2SC4106	КТ8136А	BC516	КТ686Ж
2N4260	КТ363АМ	2N6369	КТ931А	2SC4173	КТ645Б	BC517	КТ645А
2N4261	КТ363БМ	2N6388	КТ899А	2SC4242	КТ8110А	BC546A	КТ503Д
2N4271	2Т653А	2N6428	КТ3117Б	2SC456	КТ645А	BC546B	КТ3117Б
2N4400	КТ660А	2N6515	КТ504Б	2SC544	КТ315А1	BC546C	КТ3117Б
2N4401	КТ660А	2N6516	КТ504В	2SC548	КТ315Б1	BC547A	КТ645А
2N4402	КТ685А	2N6517	КТ504А	2SC714	КТ645Б	BC547B	КТ3102БМ
2N4403	КТ685В	2N6518	КТ505Б	2SC730	КТ610А	BC547C	КТ3102БМ
2N4411	КТ3127А	2N6519	КТ505А	2SC9110	КТ637Б-2	BC548A	КТ3102ВМ
2N4440	2Т921А	2N6520	КТ505А	2SC945G	КТ3102Б	BC548B	КТ3102ВМ
2N4494	КТ645А	2N6542	КТ840Б	2SC945L	КТ3102Б	BC548C	КТ3102ВМ
2N4930	КТ505Б	2N6543	КТ840А	2SC945O	КТ3102А	BC549A	КТ3102ВМ
2N4931	КТ505А	2N6546	2Т878Б	2SC945R	КТ3102А	BC549B	КТ3102ВМ
2N4933	КТ927А	2N6618	2Т3132А-2	2SC945Y	КТ3102Б	BC549C	КТ3102ДМ
2N5086	КТ3107Б	2N6721	КТ504Б	2SD1172	2Т713А	BC550A	КТ3102АМ
2N5087	КТ3107К	2N6853	2Т708Б	2SD1565	2Т9136АС	BC550B	КТ3102БМ
2N5088	КТ3102Е	2N6972	КТ874А	2SD401A	КТ8123А	BC550C	КТ3102БМ
2N5089	КТ3102Е	2N940	2Т208Ж	2SD415	КТ683Д	BC556A	КТ502Д
2N5092	КТ504А	2SA1106	КТ8101Б	2SD602	КТ3176А9	BC556B	КТ502Д
2N5177	КТ909А	2SA610	КТ361А2	2SD814	КТ3179А9	BC556C	КТ502Д

Транзистор	Возможная замена	Транзистор	Возможная замена	Транзистор	Возможная замена	Транзистор	Возможная замена
BC557A	КТ668Б	BD295	КТ819В	BU407	КТ8124В	PN2907	КТ644В
BC557B	КТ668В	BD534	КТ837А	BU407	КТ857А	PN2907A	КТ644Г
BC557C	КТ3107И	BD536	КТ837Б	BU408	КТ8124Б	SS8050B	КТ6114А
BC558A	КТ3107Г	BD875	КТ972А	BU426	КТ868Б	SS8050C	КТ6114Б
BC558B	КТ3107Д	BD876	КТ973А	BU426A	КТ868А	SS8050D	КТ6114В
BC558C	КТ3107К	BDV64	КТ8159В	BU508	КТ872А	SS8550B	КТ6115А
BC559A	КТ3107Е	BDV65	КТ8158В	BU508A	КТ8107А	SS8550C	КТ6115Б
BC559B	КТ3107Ж	BDW210	КТ819ГМ	BU508D	КТ872В	SS8550D	КТ6115В
BC559C	КТ3107Л	BDW22	КТ818БМ	BU931PFI	КТ898А1	SS9012D	КТ6109А
BC560A	КТ3107Б	BDW51	КТ819АМ	BU931Z	КТ897А	SS9012E	КТ6109Б
BC560B	КТ3107И	BDW51B	2Т819А	BU931ZP	КТ898А	SS9012F	КТ6109В
BC560C	КТ3107И	BDW64A	КТ896А	BU932Z	КТ892Б	SS9012G	КТ6109Г
BC635	КТ503Б	BDW65A	КТ8106А	BUT92A	2Т891А	SS9012H	КТ6109Д
BC636	КТ684А	BDX53	КТ829Г	BUW76	КТ847А	SS9013D	КТ6110А
BC637	КТ503Г	BDX53A	КТ829В	BUX12	2Т862А	SS9013E	КТ6110Б
BC638	КТ684Б	BDX53B	КТ829Б	BUX17B	2Т718Б	SS9013F	КТ6110В
BC639	КТ503Е	BDX53E	КТ829Д	BUX21	2Т866А	SS9013G	КТ6110Г
BC640	КТ684В	BDX54	КТ853Г	BUX37	КТ848А	SS9013H	КТ6110Д
BC847A	КТ3189А9	BDX54F	КТ712А	BUX48	КТ856Б	SS9014A	КТ6111А
BC847B	КТ3189Б9	BDX62	КТ825Д	BUX48A	2Т856А	SS9014B	КТ6111Б
BC847C	КТ3189В9	BDX63A	КТ827А	BUX54	КТ506А	SS9014C	КТ6111В
BC857A	КТ3129Б9	BDY20	2Т819В	BUX98	КТ878А	SS9014D	КТ6111Г
BC857B	КТ3129Г9	BDY73	КТ819ВМ	BUX98A	КТ878В	SS9015A	КТ6112А
BC858A	КТ3129В9	BDY98	2Т841Б	BUY21	КТ867А	SS9015B	КТ6112Б
BCF32	КТ3172А9	BF391	КТ698К	BUZ60	КП707А1	SS9015C	КТ6112В
BCW31	КТ3130Д9	BF392	КТ504Б	BUZ90	КП707Б1	SS9016D	КТ6128А
BCW33LT1	КТ3130Е9	BF393	КТ504В	BV807	КТ8156А	SS9016E	КТ6128Б
BCW71	КТ3139А	BF419	КТ969А	BVS98A	2Т885А	SS9016F	КТ6128В
BCW72	КТ3139Б	BF422	КТ940А	BY67A	КТ630А	SS9016G	КТ6128Г
BCW73	КТ3139В	BF423	КТ9115А	DTC114E	КР1054НК1В	SS9016H	КТ6128Д
BCX53	2Т664А9	BF458	КТ940Б	DTC124E	КР1054НК1Б	SS9016I	КТ6128Е
BCX56	КТ665А9	BF459	КТ940А	DTC144E	КР1054НК1А	SS9018D	КТ6113А
BCX70	КТ3153А9	BF472	КТ9115А	DTA124E	КР1054НК2Б	SS9018E	КТ6113Б
BCY38	КТ501Д	BF491	КТ6127К	DTA144E	КР1054НК2А	SS9018F	КТ6113В
BCY39	КТ501М	BF492	КТ505Б	FJ401E	2Т3115А-2	SS9018G	КТ6113Г
BCY54	КТ501К	BF493	КТ505А	KSA539	КТ502А	SS9018H	КТ6113Д
BCY92	2Т3152А	BF506	КТ3126А	KSC5021	КТ8108Б	SS9018I	КТ6113Е
BCY93B	КТ501Л	BF554	КТ3170А9	KSD227	КТ503А	STF143	КТ501Ж
BD130	КТ819БМ	BF565	КТ3169А9	KSD362	КТ805БМ	STF144	КТ501И
BD135	КТ815Б	BF569	КТ3192А9	KSD363	КТ805АМ	TIP110	КТ716В
BD136	КТ814Б	BF595	КТ3169А9	MD5000A	КТС3103А	TIP111	КТ716Б
BD136-6	КТ639Б	BF599	КТ368А9	MD5000F	КТС3103Б	TIP112	КТ716А
BD136-10	КТ639В	BF820S	КТ666А9	MJ2955	КТ8102А	TIP115	КТ852В
BD136-16	КТ639А	BF821S	КТ667А9	MJ4645	2Т505Б	TIP116	КТ852Б
BD137	КТ815В	BF970	КТ3165А	MJ4646	2Т505А	TIP117	КТ852А
BD138	КТ814В	BF979S	КТ3109А	MJE13002	КТ8175Б	TIP120	КТ8116В
BD138-6	КТ639Д	BFP194	КТ6129А9	MJE13003	КТ8175А	TIP121	КТ8116Б
BD138-10	КТ639Е	BFR90	КТ3198А	MJE13004	КТ8164Б	TIP122	КТ8116А
BD138-16	КТ639Г	BFR90A	КТ3198Б	MJE13005	КТ8164А	TIP125	КТ853В
BD139	КТ815Г	BFR91	КТ3198В	MJE13006	КТ8182Б	TIP125	КТ8115В
BD140	КТ814Г	BFR91A	КТ3198Г	MJE13007	КТ8182А	TIP126	КТ853Б
BD140-6	КТ639И	BFR92	КТ3187А9	MJE13009	КТ8145А	TIP126	КТ8115Б
BD140-10	КТ639Ж	BFT92	КТ3191А9	MJE2955T	КТ8149А2	TIP127	КТ853А
BD142	2Т819Б	BFY68	КТ630Е	MJE3055T	КТ8150А2	TIP127	КТ8115А
BD202	КТ818Б	BLX96	КТ983А	MJE340	КТ504В	TIP140	КТ8111В
BD203	КТ819Г	BLX97	КТ983Б	MJE350	КТ505А	TIP141	КТ8111Б
BD204	КТ818В	BLX98	КТ983В	MPS2923	КТ680А	TIP142	КТ8111А
BD233	КТ817Б	BLY38	КТ925А	MPS404	КТ209А	TIP150	КТ8109Б
BD234	КТ816Б	BLY53	КТ925Б	MPSA-42	КТ6135Б	TIP151	КТ8109А
BD235	КТ817В	BU106	2Т841А	MPSA-43	КТ6135В	TIP2955	КТ8149А1
BD236	КТ816В	BU126	КТ845А	MPSA-92	КТ505А	TIP3055	КТ8150А1
BD237	КТ817Г	BU207	КТ846Б	MPSA-93	КТ698К	TIP41A	КТ8125В
BD238	КТ816Г	BU208	КТ8127Б	MPSL01	КТ638А	TIP41B	КТ8125Б
BD242B	КТ818Г	BU208A	КТ8127А	MPSL51	КТ6325Б1	TIP41C	КТ8125А
BD291	КТ819А	BU209	КТ846Г	PN2905A	КТ644А	TIP48	КТ859А
BD292	КТ818А	BU406	КТ8124А	PN2906	КТ644Б	TIP661	КТ892А
BD293	КТ819Б	BU406	КТ858А	PN2906A	КТ685Б	VN1231	КР1054НК3А

Т1 1,2:1 — КТ-1-7 (ТО-18)

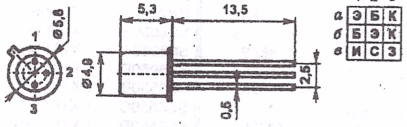

	1	2	3
а	Э	Б	К
б	Б	Э	К
в	И	С	З

Т2 1,2:1 — КТ-1-7 (ТО-18)

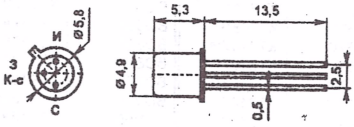

Т3 1,2:1 — КТ-1-12 (ТО-72)

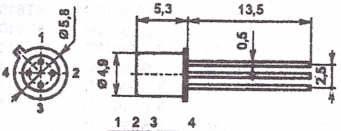

	1	2	3	4
а	З	Б	К	К-с
б	Б	Э	К	К-с
в	И	С	З	К-с
г	С	З	И	П-ка, К-с
д	С	32	31	И, К-с

Т4 1,2:1 — КТ-1-14 (ТО-72)

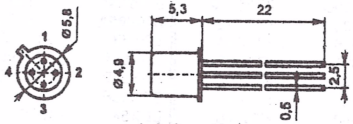

	1	2	3	4
а	З	И	С	П-ка, К-с
б	С	32	31	И, К-с

Т5 1,1:1 — КТ-2-7 (ТО-39)

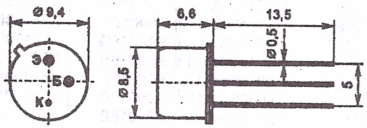

Т6 1,1:1 — КТ-3-7

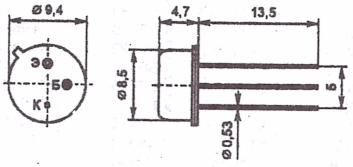

Т7 1,1:1 — КТ-3-12

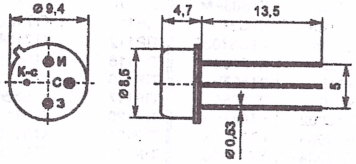

Т8 1,1:1 — КТ-4-2 (ТО-60)

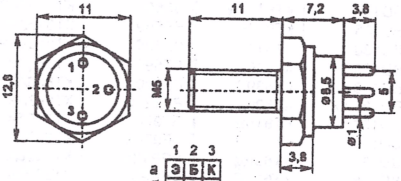

	1	2	3
а	Э	Б	К
б	С	З	И
в	И	С	З

Т9 0,7:1 — КТ-5-2 (ТО-63)

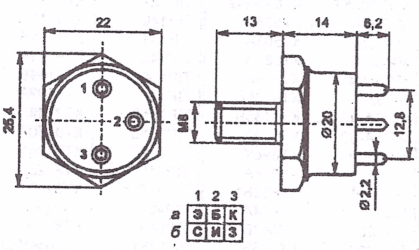

	1	2	3
а	Э	Б	К
б	С	И	З

Т10 0,7:1 — КТ-9 (ТО-3)

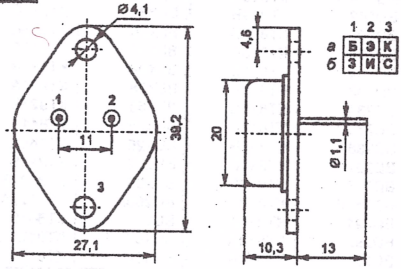

	1	2	3
а	Б	Э	К
б	З	И	С

T11 0,9:1 КТ-10

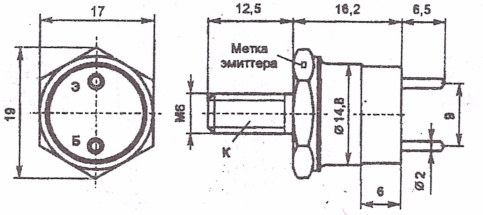

T12 1,5:1 КТ-13

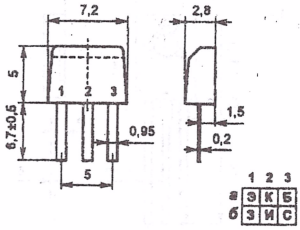

T13 1,2:1 КТ-14

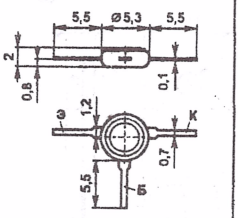

T14 1:1 КТ-16-2

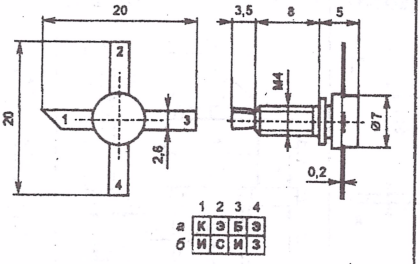

T15 КТ-21

1,5:1

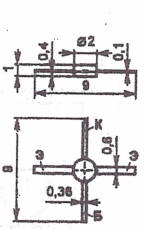

T16 1,5:1 КТ-22

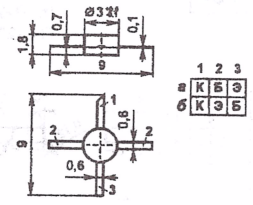

T17 1,5:1 КТ-23

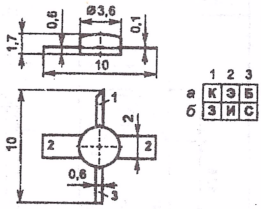

T18 1,5:1 Н/С

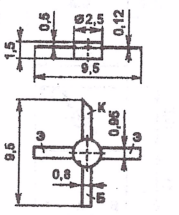

T19 1:1 КТ-26 (ТО-92)

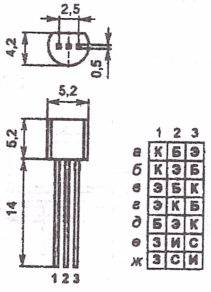

T20 1:1 ТО-92S

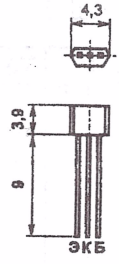

T21 1:1 ТО-92L

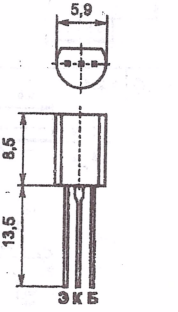

T22

1:1

КТ-27-2
(ТО-126)

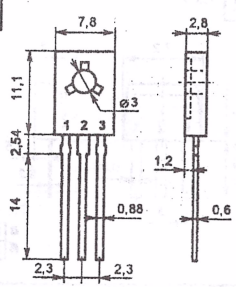

	1	2	3
а	Э	К	Б
б	Б	К	Э
в	И	С	З

T23

1:1

КТ-28-2
(ТО-220)

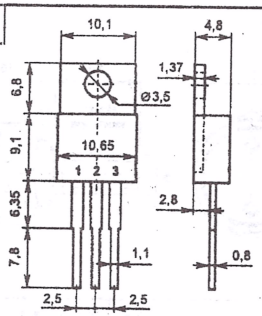

	1	2	3
а	Б	К	Э
б	Э	К	Б
в	З	С	И

T24

1,2:1

КТ-29
(SOT-37)

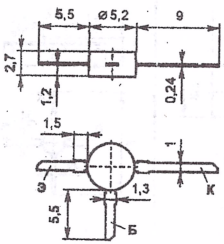

T25

0,8:1

КТ-43-1
(ТО-218)

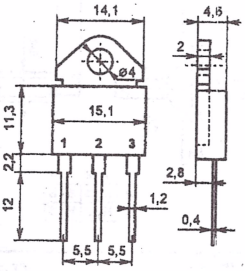

T26

0,8:1

КТ-43-2
(SOT-93)

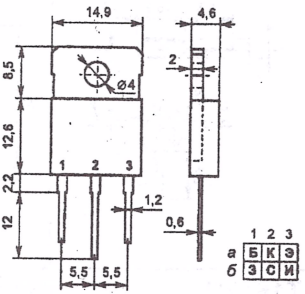

	1	2	3
а	Б	К	Э
б	З	С	И

T27

0,8:1

КТ-43А-2
(ТО-3РМ)

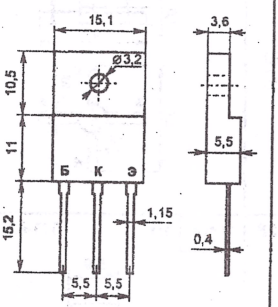

T28

0,8:1

КТ-43В-2
(ТО-3PJ)

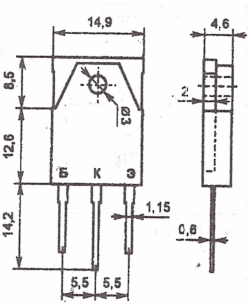

T29

3:1

КТ-46
(SOT-23)
(ТО-236)

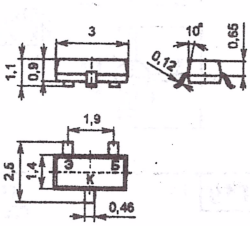

T30

1,2:1

КТ-53
(SOT-103)

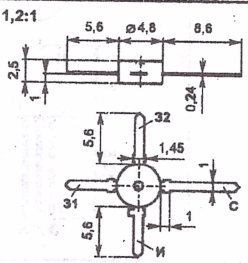

T31

1,5:1

КТЮ-3-1

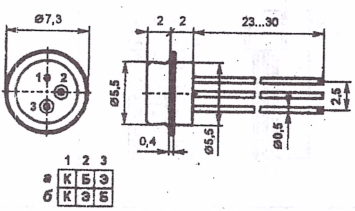

	1	2	3
а	К	Б	Э
б	К	Э	Б

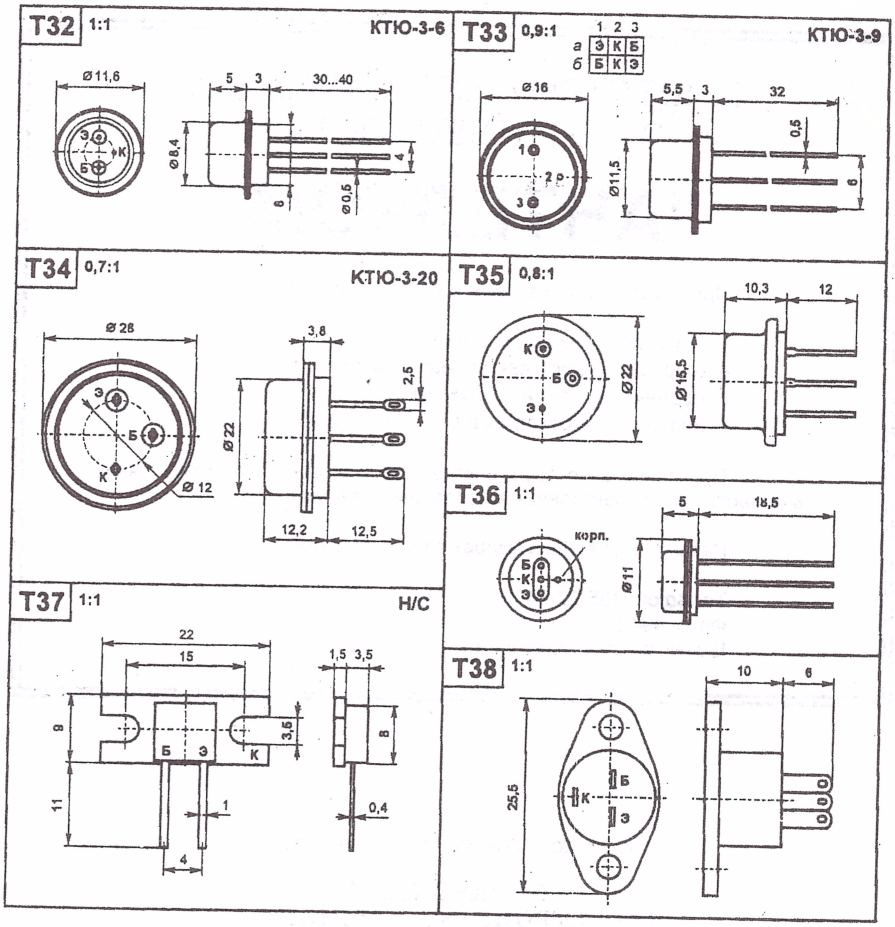

ЛИТЕРАТУРА

1. А.И. Кизлюк. Справочник по устройству и ремонту телефонных аппаратов зарубежного и отечественного производства. Москва, "Библион", 1995.
2. Transistor Data Book, Vol. 1. Samsung Electronics, 1994.
3. Transistor Data Book, Vol. 2. Samsung Electronics, 1994.
4. Communications Device Data, Motorola. USA, 1996.
5. Telephone Set ICs Data Book, SGS-Thomson. France, 1991.
6. ICs for Communications, Siemens. Munchen, 1996.
7. Semiconductors for Telecom Systems, Philips Semiconductors, USA, 1994.
8. Telephone ICs, 1966-1977 Data Book, UMC Microelectronics Co. Taiwan, 1996.
9. Digital/Analog Communications Handbook, Mitel Co. Canada, 1996.

ОБЩЕСТВО С ОГРАНИЧЕННОЙ ОТВЕТСТВЕННОСТЬЮ

“АНТЕЛКОМ”

Предлагает организациям и частным лицам:

- Установка и эксплуатация мини-АТС.
- Широкий выбор электронных компонентов.
- Издание печатной продукции.
- Размещение рекламы в своих изданиях.

Приглашаем к сотрудничеству авторов, специализирующихся в области радиоэлектроники и программирования.

Рассмотрим любые деловые предложения.

Телефон: 495-27-74.
Факс: 494-98-31.
E-mail: a.kizluk@relcom.ru

Кизлюк Анатолий Иванович

СПРАВОЧНИК ПО УСТРОЙСТВУ И РЕМОНТУ ТЕЛЕФОННЫХ АППАРАТОВ ЗАРУБЕЖНОГО И ОТЕЧЕСТВЕННОГО ПРОИЗВОДСТВА

Формат 60x90/16. Объем 13,0 печ. л.
Тираж 5000 экз. Заказ № 468.

Издательство “ЛАЙТ Лтд”
113093 г. Москва, ул. Б. Серпуховская, 8/7
ЛР № 065625 от 15.01.98

ISBN № 5-89818-005-2

Московская типография № 6
Комитета Российской Федерации по печати,
109088 Москва, Ж-88, Южнопортовая ул., 24

БК 28

вх. 10.

вых. 20.

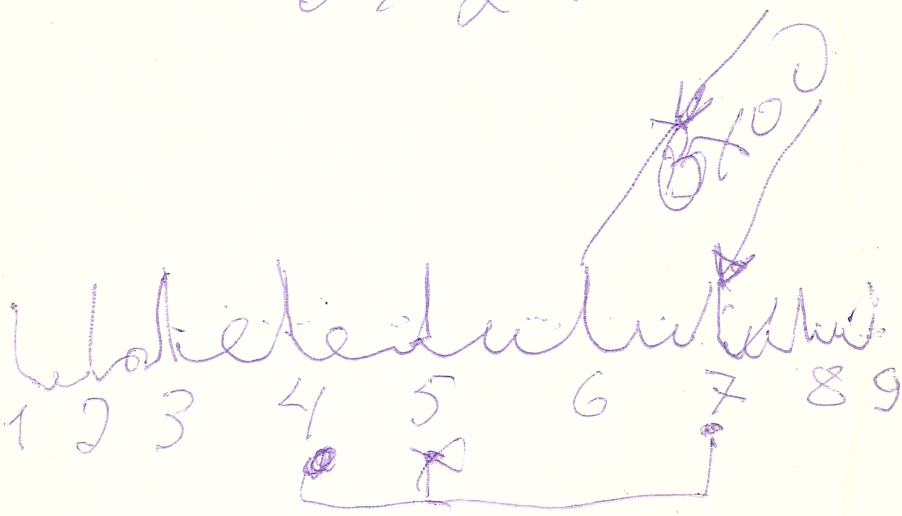

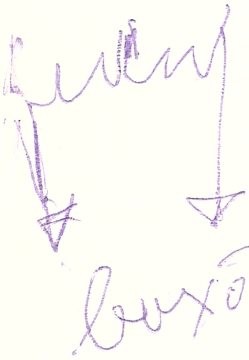

ЦВЕТОВАЯ МАРКИРОВКА РЕЗИСТОРОВ

Цвет знака	Номинальное сопротивление, Ом				Допуск %
	Первая цифра	Вторая Цифра	Третья цифра	Множитель	
Серебристый	–	–	–	10^{-2}	±10
Золотистый	–	–	–	10^{-1}	±5
Чёрный	–	0	–	1	–
Коричневый	1	1	1	10	±1
Красный	2	2	2	10^2	±2
Оранжевый	3	3	3	10^3	–
Жёлтый	4	4	4	10^4	–
Зелёный	5	5	5	10^5	±0,5
Голубой	6	6	6	10^6	±0,25
Фиолетовый	7	7	7	10^7	±0,1
Серый	8	8	8	10^8	±0,05
Белый	9	9	9	10^9	–



ЦОКОЛЁВКИ РАДИОЭЛЕМЕНТОВ



n-p-n

КТ201 КТ638
КТ306 КТ645
КТ316 КТ660
КТ342 КТ680
КТ355 КТ698
КТ368 КТ3102
КТ399 КТ3117
КТ503 КТ3143

p-n-p

КТ203 КТ668
КТ209 КТ681
КТ313 КТ684
КТ326 КТ685
КТ345 КТ686
КТ350 КТ3107
КТ363 КТ3126
КТ502 КТ3128
КТ632 КТ6127



n-p-n

КТ601 КТ817
КТ602 КТ840
КТ604 КТ961
КТ605 КТ972
КТ611 КТ969
КТ646 КТ8131
КТ683 КТ9171
КТ715 КТ9177
КТ721 КТ9179
КТ815 КТ9181

p-n-p

КТ639 КТ9130
КТ644 КТ9115
КТ720 КТ9170
КТ814 КТ9176
КТ816 КТ9178
КТ973 КТ9180



n-p-n

КТ829 КТ8121
КТ850 КТ8123
КТ854 КТ8124
КТ857 КТ8136
КТ858 КТ8138
КТ859 КТ8140
КТ863 КТ8141
КТ897 КТ8150
КТ8108 КТ8163
КТ8109 КТ8181
КТ8110 КТ8182
КТ8116 КТ9166
КТ8120 КТ9184

p-n-p

КТ851 КТ855
КТ852 КТ8115
КТ853 КТ9120



n-p-n

КТ315

(буква группы сбоку)

p-n-p

КТ361

(буква группы посередине)



КУ112А

(буква в кружочке обозначает год выпуска)



p-n-p

КТ626



n-p-n

КТ716 КТ805
КТ723 КТ819

p-n-p

2Т709(2) КТ818
КТ712 КТ835
КТ724 КТ837



n-p-n

КТ325
КТ339

p-n-p

КТ3157



n-p-n *p-n-p*

КТ6110 КТ6109
КТ6111 КТ6112
КТ6113 КТ6115
КТ6114 КТ6116
КТ6117 КТ6136
КТ6128
КТ6137

